

อภินันทนาการ



สำนักหอสมุด

# แบบจำลอง ของนิวเคลียส และการประยุกต์

NUCLEAR MODELS AND APPLICATIONS

จรัญ พรมสุวรรณ

ภาควิชาฟิสิกส์ มหาวิทยาลัยนเรศวร

สำนักหอสมุด มหาวิทยาลัยนเรศวร
๕ - ส.ร. ๙๘๖
วันลงทะเบียน.....
เลขทะเบียน... ๑๑๓๓๙๒๗๒
เลขเรียกหนังสือ... ๗ QP
๖๐๙
๗๗๙
๑๔๖๖
๗๕๕๖



ภาพปกหน้า :

ภาพเข้ามือจาก <http://aboutnuclearphysics.blogspot.com/2010/07/liquid-drop-model-of-nucleus.html>

ภาพขาวมือจาก [http://en.wikipedia.org/wiki/Nuclear\\_shell\\_model](http://en.wikipedia.org/wiki/Nuclear_shell_model)



แบบจำลองของนิวเคลียสและการประยุกต์

พิมพ์ครั้งที่ 1 พ.ศ. 2556

ผู้เรียนเรียง และพิมพ์ จรัญ พรหมสุวรรณ

ที่ทำงาน ภาควิชาฟิสิกส์ คณะวิทยาศาสตร์ มหาวิทยาลัยแม่ฟ้า

คำนวณทำไฟช์ อําเภอเมือง จังหวัดพิษณุโลก 65000

โทรศัพท์ 0-5596-3501, 3502 โทรสาร 0-5596-3501

บ้าน เลขที่ 441/6 ถนนบรรหารีโอลิเกอร์ ซอย 13

คำนวณในเมือง อําเภอเมือง จังหวัดพิษณุโลก 65000, โทร (055) 217536

ภูมิลำเนา 806 ถนนเนินน้ำตก คำนวณพานิมมาศ อําเภอดันแดง จังหวัดอุตรดิตถ์

## คำนำ

ความรู้ในเรื่องแบบจำลองของนิวเคลียส มีความสำคัญอย่างยิ่งในการใช้ทำความเข้าใจ และอธิบายเกี่ยวกับสมบัติและกลไกการเปลี่ยนแปลงของนิวเคลียส รวมทั้งใช้เป็นพื้นฐานในการ พัฒนาทฤษฎีและสร้างสูตรต่าง ๆ แต่ในปัจจุบันเราคั้งไม่มีแบบจำลองใดที่สมบูรณ์แบบที่จะ สามารถอธิบายสมบัติและกลไกการเปลี่ยนแปลงของนิวเคลียสได้อย่างครบถ้วนบริบูรณ์ ดังนั้น จึง ยังต้องมีข้อเสนอแนะในหลายแบบจำลอง ที่พัฒนากันขึ้นมาโดยมีจุดประสงค์เพื่อการอธิบายสมบัติและ กลไกการเปลี่ยนแปลงเฉพาะเรื่อง

สำหรับตัวการที่เรียนเรียงเรื่องแบบจำลองนิวเคลียสโดยเฉพาะในปัจจุบันมีน้อยมาก ที่ เป็นภาษาต่างประเทศมีเพียงไม่กี่เล่ม ส่วนที่เป็นภาษาไทยไม่เคยเห็น ส่วนใหญ่จะแทรกอยู่ในบท ต่าง ๆ ของตำราเรียนนิวเคลียร์ฟิสิกส์โดยทั่วไป ด้วยเหตุนี้ผู้เรียนเรียงจึงได้รวบรวมเนื้อหาเกี่ยวกับ แบบจำลองทั้งหลายที่มีอยู่ในปัจจุบันที่แทรกอยู่ในบทต่าง ๆ ของตำราต่างประเทศแต่ละเล่มมาไว้ ให้อยู่ในตัวฯเล่มเดียว ก็โดยมีวัตถุประสงค์เพื่อให้สะดวกต่อการศึกษา และใช้เป็นพื้นฐานให้ ในการศึกษาหรือวิจัยต่อยอดความรู้ทางค้านนิวเคลียร์ฟิสิกส์ต่อไป

ตัวพัทภาษาไทยที่ใช้ในตัวฯเล่มนี้ ผู้เรียนเรียงบัดตามแบบหนังสือพัทวิทยาศาสตร์ อังกฤษ-ไทย ไทย-อังกฤษ ฉบับราชบัณฑิตยสถาน ฉบับพิมพ์ครั้งที่ 5 แก้ไขเพิ่มเติม พ.ศ. 2546 และพจนานุกรมพัทท์คณิตศาสตร์ ฉบับราชบัณฑิตยสถาน ฉบับพิมพ์ครั้งที่ 10 พ.ศ. 2553 ซึ่งจะมี ข้อดีตรงที่จะ ได้ใช้คำพัทภาษาไทยให้เหมือนกัน และสะดวกต่อการสืบค้นข้อมูลนี้ไปหาคำ ภาษาอังกฤษเดินที่แปลมา แต่อย่างไรก็ตาม ยังมีพัทท์อีกเป็นจำนวนมากที่ยังไม่ได้บัญญัติไว้ใน พจนานุกรมดังกล่าว ผู้เรียนเรียงจึงขอบัญญัติขึ้นใช้เองในตัวฯเล่มนี้ไปพลาังก่อน

หนังสือเล่มนี้อาจยังมีข้อบกพร่องอยู่มาก เพราะนอกจากเป็นการพิมพ์ครั้งแรกแล้ว ยัง ต้องรีบเร่งพิมพ์ให้เสร็จภายในเวลาจำกัด 1 ปี ด้วย ซึ่งปรกติการเรียนเรียงและจัดพิมพ์หนังสือ ฟิสิกส์ ต้องใช้หักเวลาและความอุตสาหะมากพอสมควร

ตลอดเวลาของการสอน วิจัย และเรียนเรียงตำรา ทางนิวเคลียร์ฟิสิกส์ อยู่ที่ มหาวิทยาลัยศรีนครินทร์วิโรฒ พิษณุโลก หรือปัจจุบันคือมหาวิทยาลัยนเรศวร แห่งนี้ ได้ระลึก อยู่เสมอๆ ถึงพระคุณของอาจารย์ที่เคยสอนวิชานิวเคลียร์ฟิสิกส์แก่ข้าพเจ้าขณะเป็นนิสิตอยู่ที่ วิทยาลัยวิชาการศึกษา พิษณุโลก และ จุฬาลงกรณ์มหาวิทยาลัย คือ ศาสตราจารย์วิชัย หโยคม ศาสตราจารย์ ดร. รั่ว เมฆาศิริ รองศาสตราจารย์ดาวรุ ฤทธิพงศ์ และ

ผู้ช่วยศาสตราจารย์วินล จิตวัฒนากร โดยเฉพาะอย่างยิ่งอาจารย์ผู้มีคุณปการ ที่ช่วยให้คำปรึกษา ตลอดจนชี้แนะแนวทางการทำงาน และการดำเนินชีวิตให้ผู้เรียนเรียงเสมอมา คือ ศาสตราจารย์ ดร. สุทธัน พกสัน

กudos ให้บังเกิดจากการเรียนเรียงหนังสือเล่มนี้ ขออุทิศให้แก่ พ่อพา พรนสุวรรณ พ่อผู้สร้างชีวิตและอนาคตให้แก่ผู้เรียนเรียง และอาจารย์เจริญ พรนสุวรรณ พี่ชาย ผู้สอนห่วงใย ดูแล และช่วยเหลือผู้เรียนเรียงมาตลอดชีวิต และหากหนังสือเล่มนี้มีความคืออยู่บ้าง ก็ขอบอกให้แม่ ภรรยา และลูก ๆ

จรัญ พรนสุวรรณ



# สารบัญ

กล่าวก่อน	1
บทที่ 1 แบบจำลองหยดของเหลว	5
1.1 แนวคิดของแบบจำลองหยดของเหลว	5
1.2 สูตรเชิงกําการทดลอง	6
1.3 ทฤษฎีของการแบ่งแยกนิวเคลียส	12
1.3.1 แบบจำลองหยดของเหลวของการแบ่งแยกนิวเคลียส	12
1.3.2 การแบ่งแยกนิวเคลียสโดยการกระตุ้นคัวบันนิวตรอน	16
1.3.3 กำแพงการแบ่งแยกตัว	17
1.3.4 การแบ่งแยกตัวแบบอสมมาตรและไอโซเมอร์	19
1.3.5 การแก้ค่าแบบจำลองหยดของเหลวเนื่องจากโครงสร้างชั้น	21
1.3.6 แบบการหมุนไอโซเมอร์การแบ่งแยกตัว	24
แบบฝึกหัด	28
บทที่ 2 แบบจำลองชั้น	30
แบบฝึกหัด	52
บทที่ 3 แบบจำลองกลุ่ม	55
แบบฝึกหัด	63
บทที่ 4 แบบจำลองแก๊สเฟรนซ์	64
แบบฝึกหัด	72
บทที่ 5 แบบจำลองนิวเคลียสประกอบ	73
5.1 แบบจำลองนิวเคลียสประกอบ	73
5.1.1 ข้อสมมุติของໂປຣ	73
5.1.2 ปฏิกิริยานิวเคลียร์, ภาคตัดขวาง, และอัตราการคำนวณ	76
5.2 ทฤษฎีของการกระเจิงเรโซแนนซ์	79

5.3 ทฤษฎีภาวะต่อเนื่องแบบฝึกหัด	86 98
<b>บทที่ 6 ปฏิกริยานิวเคลียร์ต่าง</b>	<b>100</b>
6.1 กระบวนการของปฏิกริยาตรร	100
6.2 ปฏิกริยาปลดเปลือกและปฏิกริยาอบพิว	106
6.3 การแยกแข่งเชิงมุน	110
แบบฝึกหัด	116
<b>บทที่ 7 แบบจำลองทัศน์</b>	<b>118</b>
7.1 อนุพันธ์เชิงรูปแบบของศักย์แบบจำลองทัศน์	120
7.2 ศักย์แบบจำลองทัศน์เชิงประถมภารณฑ์วิทยา	124
7.3 ศักย์แบบจำลองทัศน์ชุดภาค	129
แบบฝึกหัด	136
<b>ภาคผนวก ก การปฏิบัติกับการกระเจิงในแบบกลศาสตร์คลื่น</b>	<b>137</b>
ก.1 กลศาสตร์คลื่นของการกระเจิง	137
ก.2 ปฏิกริยานิวเคลียร์กับนิวเคลียร์ที่มีพื้นผิวแฉ่งชัด	151
ก.3 การหาภาคตัดขวางจากการใช้เงื่อนไขที่พื้นผิวนิวเคลียร์, กรณีทั่วไป	155
ก.4 การแยกแข่งเชิงมุนของอนุภาคที่กระเจิงแบบขีดหยุ่น	161
ก.5 ทฤษฎีบทส่วนกลับของปฏิกริยานิวเคลียร์	162
<b>ภาคผนวก ข ตารางแสดงสมบัติของนิวเคลียส</b>	<b>165</b>
<b>ภาคผนวก ค ค่าคงตัวเชิงฟิสิกส์</b>	<b>177</b>
<b>บรรณานุกรม</b>	<b>180</b>
<b>ดัชนี</b>	<b>182</b>

# กล่าวก่อน (PREVIEWS)

นิวเคลียสของอะตอมถูกค้นพบโดยเออร์เนสต์ รัทเทอร์ฟอร์ด (Ernest Rutherford) ในค.ศ. 1911 เป็นผลมาจากการที่เขาตรวจสอบแบบจำลองอะตอมของ เจ.เจ. ทอมสัน (J.J. Thomson) (แบบจำลองขั้นพื้นฐาน) โดยการระดมยิงอนุภาคแอลไฟเข้าไปยังแผ่นโลหะบาง และพบว่ามีการบ่ายเบนของอนุภาคแอลไฟเป็นมุมมาก ๆ ทั้งที่อนุภาคแอลไฟมีมวลมากกว่าอิเล็กตรอนถึง 8000 เท่า ทำให้ได้ข้อสรุปว่า ใจกลางของอะตอมจะต้องมีความหนาแน่นมากและมีประจุบวก ซึ่งเป็นที่มาของคำว่า “นิวเคลียส”

แม้ว่าหากดูตามประวัติ จะพบว่ามีการพัฒนาแบบจำลองของนิวเคลียสขึ้นมาหลายแบบจำลอง แต่ก็ยังไม่มีแบบจำลองใดที่สมบูรณ์แบบ ที่สามารถอธิบายสมบัติของนิวเคลียสได้ครบถ้วนหมดยังบริบูรณ์ด้วยแบบจำลองเดียว ซึ่งต่างจากแบบจำลองของอะตอม ที่สามารถอธิบายสมบัติทั้งหมดของอะตอมได้อย่างบริบูรณ์ด้วยแบบจำลองของโบวร์ (Bohr atomic model) แบบจำลองของโบวร์จึงเป็นแบบจำลองที่สมบูรณ์แบบ และก่อตัวมาเป็นทฤษฎีของอะตอมที่เรียกว่า “ทฤษฎีอะตอมของโบวร์” (Bohr theory of atom) ในที่สุด เหตุที่แบบจำลองอะตอมของโบวร์ อธิบายสมบัติอะตอมได้อย่างบริบูรณ์ ก็เนื่องมาจากการรู้ชัดในกฎของแรง (แรง Coulomb) ที่ขึ้นส่วนประกอบของอะตอม (อิเล็กตรอนและนิวเคลียส) เข้าไว้ด้วยกัน และสามารถเขียนกฎของแรงเป็นสูตรเชิงคณิตศาสตร์ที่ชัดเจนและแน่นอนได้ การคำนวณหาแบบจำลองจึงทำได้ไม่ยาก แต่ในส่วนของนิวเคลียสนั้นเราซึ่งไม่มีแบบจำลองของนิวเคลียสแบบจำลองใดที่เป็นแบบจำลองในอุดมคติ ที่จะสามารถอธิบายสมบัติของนิวเคลียสได้ครบถ้วนอย่างบริบูรณ์ด้วยแบบจำลองเดียว สาเหตุเนื่องมาจากการเราซึ่งขาดความรู้ที่แม่ชัดของแรงนิวเคลียร์ (nuclear force) ที่มีนิวเคลียร์สอง (โปรตอนและนิวตรอน) ไว้ในนิวเคลียส และซึ่งไม่สามารถเขียนกฎของแรงนิวเคลียร์นี้ให้ออกมาเป็นสูตรที่ชัดเจนและสมบูรณ์ได้ ทำให้การคำนวณหาแบบจำลองทำได้ลำบาก ดังนั้นจึงยังต้องดำเนินแบบจำลองทั้งหลายไว้ เพื่อเลือกเอาแบบจำลองที่เหมาะสมมาใช้ในการอธิบายสมบัติของนิวเคลียสในแต่ละอย่าง แบบจำลองของนิวเคลียสในปัจจุบันอาจจัดแบ่งออกได้เป็นสองกลุ่ม กลุ่มแรกเป็นกลุ่มของแบบจำลองที่ใช้อธิบายสมบัติของนิวเคลียส ซึ่งจะแบบจำลองที่แสดงโครงสร้าง (structure) ของนิวเคลียส กลุ่มที่สองเป็นแบบจำลองที่พัฒนาขึ้นมาเพื่อใช้อธิบายกลไก

## 2 กล่าวก่อน

ของปฏิกริยานิวเคลียร์ และอธินายสถานะถูกกระตุ้น (excited state) ของนิวเคลียสในแต่ละช่วง พลังงานของอนุภาคที่ตกกระทบ

การพัฒนาแบบจำลองในกลุ่มแรก ขึ้นแบ่งแนวทางการพัฒนาออกเป็นสองแนวทาง ดังนี้ แนวทางแรกจะอยู่บนพื้นฐานทางสถิติ แบบจำลองที่อยู่ในแนวทางนี้ได้แก่แบบจำลองหยดน้ำ เหลว (liquid drop model) ซึ่งถือว่านิวเคลียสเหมือนกับหยดน้ำเหลว และนิวเคลียนที่อยู่ภายในนิวเคลียสอยู่แบบสุ่ม คล้ายกับโน้มเลกุลหยดน้ำเหลว อีกแบบจำลองหนึ่งคือแบบจำลองแก๊สเฟอร์นิ (Fermi gas model) ที่ให้นิวเคลียนที่อยู่ในนิวเคลียสเหมือนเป็นแก๊สที่บรรจุอยู่ในนิวเคลียส ซึ่งประสบผลสำเร็จย่างดีกับการอธินายนิวเคลียสหนัก อีกแนวทางหนึ่งนั้นเป็นการพยากรณ์ทางสร้างชั้น (คล้ายกับชั้นของอะลีกตรอนในอะตอม) และโครงแบบ (configuration) การเรียงตัวของนิวเคลียนภายในนิวเคลียส แบบจำลองที่อยู่ในแนวทางนี้ได้แก่แบบจำลองชั้น (shell model) และอีกแบบจำลองหนึ่งคือแบบจำลองกลุ่ม (collective model) ที่เกิดจากการแก้ไขแบบจำลองชั้นให้สมบูรณ์

ส่วนแบบจำลองในกลุ่มที่สอง ซึ่งเป็นแบบจำลองที่ถูกพัฒนาขึ้นมา เพื่อใช้อธินายกลไก (mechanism) ของการเกิดปฏิกริยานิวเคลียร์ และอธินายสมบัติของสถานะถูกกระตุ้นของนิวเคลียสไอในแต่ละช่วงพลังงานของอนุภาคตกกระทบ แบบจำลองในกลุ่มนี้ได้แก่ แบบจำลองนิวเคลียสประกอบ (compound nucleus model) ที่ใช้อธินายปฏิกริยาของนิวเคลียสกับอนุภาคตกกระทบที่มีพลังงานอยู่ในย่านพลังงานต่ำ และแบบจำลองปฏิกริยาตรง (direct reaction model) ที่ใช้อธินายปฏิกริยาในย่านพลังงานสูง และแบบจำลองทัศน์ (optical model) ที่เป็นแบบจำลองเกลี่ย หรือเกลี่ยอยู่ระหว่างสองแบบจำลองดังกล่าว นอกจากนี้แบบจำลองหยดน้ำเหลวที่ยังสามารถจัดอยู่ในแนวทางนี้ได้ด้วย

ในการนำเสนอแบบจำลองของนิวเคลียสนี้ จะขอแยกกล่าวออกเป็นแบบจำลองระบบเรียงลำดับกันไป โดยเริ่มจากกลุ่มแรก มีสีแบบจำลอง จะกล่าวไว้ในบทที่ 1 - 4 และกลุ่มหลัง อีกสามแบบจำลองจะกล่าวไว้ในบทที่ 5 - 7 โดยมีรายละเอียดย่อ ๆ ของแต่ละบทดังนี้

บทที่ 1 เป็นบทของแบบจำลองหยดน้ำเหลว ซึ่งเป็นแบบจำลองมีนานา และมีมาก่อนแบบจำลองอื่น และยังเป็นแบบจำลองที่ง่ายที่สุด ในบทนี้จะกล่าวถึงแนวคิดของแบบจำลองแบบหยดน้ำเหลว และวิธีการสร้างสูตรหารพลังงานบีดเหนี่ยวที่เรียกว่าสูตรมวลกึ่งการทดลอง (semi-empirical mass formula) ซึ่งพัฒนาขึ้นมาโดยใช้แบบจำลองหยดน้ำเหลวเป็นพื้นฐานของนอกจากนี้ยังจะกล่าวถึงทฤษฎีการแบ่งแยกนิวเคลียส (fission theory) ที่อยู่บนพื้นฐานของแบบจำลองหยดน้ำเหลวนี้ เช่นเดียวกัน เพราะแบบจำลองหยดน้ำเหลวสามารถมาอธินายกระบวนการของการแบ่งแยกนิวเคลียสได้ดีอีกด้วย

บทที่ 2 เป็นบทของแบบจำลองชั้น ในบทนี้จะกล่าวถึงความเป็นมาของหลักฐานที่ทำให้เกิดแนวคิดแบบโครงสร้างชั้น และชั้นปิด (closed shell) นิวเคลียส และแสดงวิธีการหาโครงแบบ (configuration) ของนิวเคลียสภายในนิวเคลียส ซึ่งเป็นที่มาของการมีชั้นและชั้นปิด หรือเลขกล (magic number) ของนิวเคลียส รวมทั้งกล่าวถึงวิธีการทำนายสpin (spin) และเพรตี (parity) ของนิวเคลียสของอยู่ที่สถานะพื้น (ground state) ตามแบบจำลองนี้ โดยใช้กฎการคุ้มครอง (Coupling Rule) อีกด้วย

บทที่ 3 เป็นบทของแบบจำลองกลุ่ม ซึ่งเป็นแบบจำลองที่เกิดจากการที่แก้ไขรูปทรงของนิวเคลียสที่เป็นแบบทรงกลมในแบบจำลองชั้น ให้สามารถบิดเบี้ยวได้หากมีนิวเคลียสนอยู่นอกชั้นปิด หรือไม่เต็มชั้นปิด เพื่อให้สามารถอธิบายสpinของบางนิวเคลียสได้ต่างกับข้อมูลทางการทดลองได้ด้วย การพิจารณาสถานะถูกกระตุ้นในแบบจำลองนี้มีสองแนวทาง คือสถานะถูกกระตุ้นเกิดจากการสั่น (vibration) กับเกิดจากการหมุนตัว (rotation) ของนิวเคลียสอันเนื่องมาจากรูปทรงที่บิดเบี้ยวไปจากทรงกลม แต่เราอาจจะเลือกเสนอในแนวทางการหมุนตัวที่มีความน่าสนใจ

บทที่ 4 เป็นบทของแบบจำลองแก๊สเฟอร์นิ หรือนิยมเรียกในอีกชื่อหนึ่งว่าแบบจำลองเชิงสถิติ (statistical model) ซึ่งแบบจำลองนี้ถือว่าภายในนิวเคลียสมีแก๊สสองชนิดบรรจุอยู่ คือแก๊สโปรตอนและแก๊สนิวตรอน โดยทั้ง โปรตอนและนิวตรอนมีระดับพลังงานตามแบบระดับพลังงานเฟร์นิ ในบทนี้จะแสดงวิธีการหาระดับพลังงานเฟร์นิของ โปรตอนและนิวตรอน และวิธีการนำไปคำนวณหาความลึกของหลุนศักย์ของแรงนิวเคลียร์อกมาเป็นตัวเลขได้ ซึ่งความลึกของหลุนศักย์นี้เป็นสารสนเทศ (information) ของแรงนิวเคลียร์ นอกเหนือไปยังแสดงวิธีการหาพจน์ที่สี่ ที่เป็นพจน์ของพลังงานการสมมาตร (symmetry energy) ที่อยู่สูตรมวลกึ่งการทดลองด้วย

บทที่ 5 เป็นบทของแบบจำลองนิวเคลียสประกอบ ซึ่งเป็นแบบจำลองที่ใช้อธิบายกลไกและขั้นตอนของการเกิดปฏิกิริยาในนิวเคลียร์ และอธิบายการเกิดสถานะถูกกระตุ้นของนิวเคลียส ที่มีอนุภาคต่อกันที่มีพลังงานต่ำ ในบทนี้นอกจากกล่าวถึงแนวคิดของกระบวนการเกิดปฏิกิริยาที่ผ่านขั้นตอนของการเป็นนิวเคลียสประกอบแล้ว ยังจะกล่าวถึงรายละเอียดของหลุนศักย์ของการกระเจิงเรโซแนนซ์ (resonance scattering) และทฤษฎีของภาวะต่อเนื่อง (continuum theory) ที่อยู่บนพื้นฐานของแบบจำลองประกอบนี้ด้วย

บทที่ 6 เป็นบทของแบบจำลองปฏิกิริยาตรง หรือมักเรียกว่าปฏิกิริยาตรง (direct reaction) หรืออันตรกิริยาตรง (direct interaction) ซึ่งในบทนี้เราจะใช้คำว่าปฏิกิริยาตรง ภายในบทจะกล่าวถึงการอธิบายกลไกของการปฏิกิริยานิวเคลียร์ในกรณีที่อนุภาคต่อกันที่มีพลังงานสูงขึ้น (อยู่ในย่าน 10 – 20 MeV) โดยใช้แบบจำลองนี้ ซึ่งกระบวนการของปฏิกิริยาจะขึ้นขั้นตอน

#### 4 ก้าวก่อน

ของการเป็นนิวเคลียสประกอบ แบบจำลองนิวเคลียสประกอบไม่สามารถอธิบายปฏิกริยาในยานพลังงานสูงขึ้นนี้ โดยจะก้าวถึงแนวคิดของกระบวนการเกิดปฏิกริยาตรง และการอธิบายกลไกของการเกิดปฏิกริยานิดต่าง ๆ ที่เกิดขึ้นในช่วงพลังงานสูงที่ว่ามานี้ พร้อมทั้งจะแสดงรายละเอียดในทางทฤษฎีของปฏิกริยาที่ยกมาพิจารณาเป็นกรณีตัวอย่าง

บทที่ 7 ในบทสุดท้ายนี้ จะเป็นบทของแบบจำลองทัศน์ ซึ่งอธิบายปฏิกริยาในส่วนที่แบบจำลองนิวเคลียสประกอบและปฏิกริยาตรงไม่อาจอธิบายได้ โดยจะก้าวถึงแนวคิดของการเกิดปฏิกริยาโดยอาศัยการอธิบายในเชิงทัศนศาสตร์ ซึ่งทำให้ผลลัพธ์ที่ได้เป็นแบบเกลี่ย หรือเกลี่ยระหว่างสองแบบจำลองดังกล่าว ในบทนี้จะแสดงและอภิปรายศักย์ที่อยู่ในรูปแบบต่าง ๆ ที่นำมาจากแบบจำลองนี้ เพื่อใช้ศักย์นี้มาอธิบายการแปรผันของภาคตัดขวางการระเจิง

เนื้อหาอย่างย่อ ๆ ของตำราเล่นนี้ ที่ยกนำมากก้าวก่อน จะมีเนื้อหาอย่างละเอียดอยู่ในแต่ละบท ที่จะได้พบในต่อจากนี้ไป



# บทที่ 1

## แบบจำลองหยดของเหลว (LIQUID DROP MODEL)

### 1.1 แนวคิดของแบบจำลองหยดของเหลว (Concept of Liquid Drop Model)

แบบจำลองหยดของเหลว (liquid drop model) ถูกเริ่มโดยกานาว (Gamow) และนีลส์ โบร์ (Niels Bohr) เป็นผู้พัฒนาต่อ แบบจำลองหยดของเหลวเป็นผลลัพธ์ที่ได้มาจากการพยากรณ์ สร้างสูตรคำนวณพลังงานยึดเหนี่ยวของนิวเคลียสให้พอดี (fit) กับข้อมูลมากที่สุด โดยโบร์ได้เป็นผู้เสนอแนะให้การสร้างสูตรอยู่บนพื้นฐานของการให้นิวเคลียสเป็นแบบหยดของเหลว และต่อมา วอน ไวซ์เซคเกอร์ (Von Weizsäcker) ได้สร้างสูตรทางพลังงานยึดเหนี่ยวของนิวเคลียสขึ้น โดยอาศัยแบบจำลองของนิวเคลียสแบบหยดของเหลวเป็นพื้นฐานตามการเสนอแนะของโบร์ (Bohr) สูตรทางพลังงานยึดเหนี่ยวที่ได้นี้ เรียกว่า สูตรเชิงกึ่งการทดลอง (semiempirical formula)

แนวคิดตามแบบจำลองหยดของเหลว คือ

- 1) ถือว่านิวเคลียสประกอบไปด้วยวัตถุของแข็งชิ้นเล็ก ๆ ซึ่งวัตถุชิ้นเล็ก ๆ เหล่านี้ก็คือ นิวเคลียสนั่นเอง เพราะจะนั่นรัศมีนิวเคลียส  $R \sim A^{1/3}$
- 2) แรงนิวเคลียร์ระหว่างนิวเคลียสนั่นจะเหมือนกันหมด ไม่ว่านิวเคลียสนั่นจะเป็น โปรตอนหรือนิวตรอนก็ตาม
- 3) แรงนิวเคลียร์เป็นแรงอิมตัว

ตามแบบจำลองหยดของเหลวนี้ ถือว่านิวเคลียสมีลักษณะเหมือนหยดของเหลว ซึ่งมีความตึงผิวสูง จะพยากรณ์รักษาแรงปร่องเป็นทรงกลม โดยไม่เปลี่ยนรูปร่าง แต่หยดของเหลวนิวเคลียสจะเป็นหยดของเหลวที่มีความหนาแน่นสูงมาก ( $\sim 10^{14} \text{ g/cm}^3$ )

แบบจำลองนี้เป็นแบบจำลองที่ง่ายสุด คือไม่ระบุโครงสร้างของนิวเคลียส หรือ โครงแบบ (configuration) การเรียงตัวของนิวเคลียสน้ำในนิวเคลียส ดังนั้นจึงให้นิวเคลียสนั่นที่อยู่

## 6 แบบจำลองหยดของเหลว

ภาษาในนิวเคลียสอยู่แบบสุ่ม ๆ คล้ายกับเป็นโนเมเลกูลของหยดของเหลว ถึงแม้ว่าแบบจำลองนี้จะเป็นแบบจำลองอย่างง่าย ๆ แต่ก็เป็นแบบจำลองที่ประสบผลสำเร็จเป็นอย่างดีในสองเรื่อง ต่อไปนี้ คือ

1. ใช้เป็นสมมุติฐานในการสร้างสูตรพลังงานยึดเหนี่ยวที่เรียกว่าสูตรกึ่งการทดลอง ซึ่งค่าที่ได้จากการคำนวณ ให้พอดี ( $\approx$ ) กับข้อมูลพลังงานยึดเหนี่ยวของนิวเคลียสที่มีจำนวนนิวเคลียน  $A > 20$

2. สามารถอธิบายกระบวนการแบ่งแยกนิวเคลียส (nuclear fission) ได้เป็นอย่างดี

แต่อย่างไรก็ตี แบบจำลองนี้ไม่ได้ระบุโครงสร้างของนิวเคลียส หรือโครงแบบของการเรียงตัวของนิวเคลียนที่อยู่ภายในนิวเคลียส ดังนั้นจึงไม่สามารถอธิบายหรือทำนายสปิน (spin) ของนิวเคลียสได้ ซึ่งถือเป็นข้อบกพร่องของแบบจำลองนี้ ซึ่งการอธิบายหรือทำนายสปินของนิวเคลียส จะใช้แบบจำลองชั้น (shell model) ซึ่งจะกล่าวในหัวข้อถัดไป

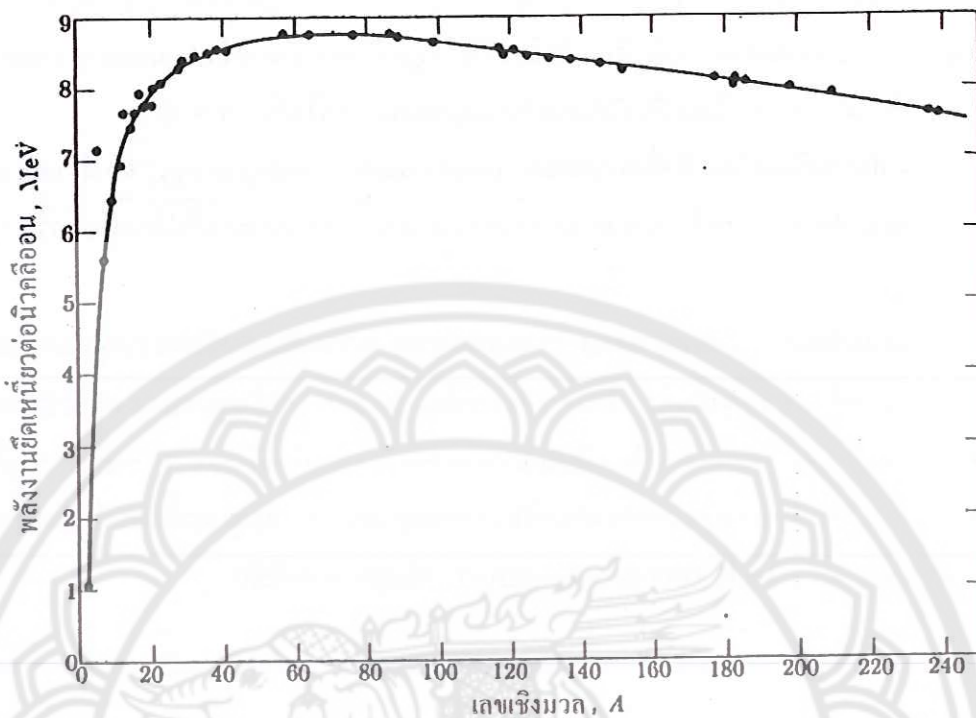
## 1.2 สูตรเชิงกึ่งการทดลอง (Semiempirical Formula)

ให้ลองพิจารณาเล่น โถงของพลังงานยึดเหนี่ยว (binding energy),  $BE$ , ของนิวเคลียสที่เราสามารถได้ ปรกติจะมีเล่น โถงดังในรูป 1.1 โดยเส้น โถงจะมีค่าสูงสุดบริเวณที่  $A = 50$  พลังงานยึดเหนี่ยวต่อนิวเคลียน  $BE/A \sim 8.8 \text{ MeV}$  ที่  $A$  มีค่าต่ำ ๆ  $BE/A$  จะมีค่าน้อย และเพิ่มค่าขึ้นอย่างรวดเร็วตามการเพิ่มของ  $A$  จนกระทั่งถึง  $A \sim 20$  ในช่วง  $A \sim 20$  และ  $A \sim 40$  ค่า  $BE/A$  แตกต่างกันไม่มาก ค่าเฉลี่ยของ  $BE/A$  ในช่วงนี้  $\sim 8.5 \text{ MeV}$  เมื่อ  $A > 140$ ,  $BE/A$  จะลดลงอย่างช้า ๆ และค่อนข้างตามการเพิ่มของ  $A$  และจะมีค่า  $7.6 \text{ MeV}$  ที่  $A = 238$  ( $^{238}\text{U}$ )

สูตรหาพลังงานยึดเหนี่ยวที่สร้างขึ้นอย่างง่าย ๆ ที่รู้จักกันดี ได้มาจากการมวลส่วนที่หายไป ที่เรียกว่าส่วนพร่องมวล (mass defect)  $\Delta M = ZM_p + (A - Z)M_n - {}_Z^A M$  ของนิวเคลียนหลังยึดเหนี่ยวที่ยกเป็นนิวเคลียสคุณค่าวิความเร็วแสง  $c$  ยกกำลังสอง ตามความสัมพันธ์มวล-พลังงานของไอน์สไตน์ (Einstein) [ $E = (\Delta M)c^2$ ] ซึ่งจะได้สูตรออกมานี้เป็น

$$BE = [ZM_p + (A - Z)M_n - {}_Z^A M]c^2 \quad (1.1)$$

เมื่อ  $Z$  เป็นจำนวนโปรตอน,  $A - Z$  เป็นจำนวนนิวตรอน,  $m_p$ ,  $m_n$  และ  ${}_Z^A m$  เป็นมวลนิ่งของ



รูป 1.1 เส้นโค้งของพลังงานยึดเหนี่ยวต่อนิวเคลียน  $BE/A$  ของแต่นิวเคลียส เทียบกับเลขเชิงมวล  $A$  (คัดแปลงจาก A. P. Arya, *Elementary Modern Physics*, Addison-Wesley, Reading, Massachusetts, 1974, p. 359)

โปรดอน นิวตรอน และนิวเคลียส ตามลำดับ [หมายเหตุ : ถ้าเอาความเร็วแสงยกกำลังสองหาร พลังงานยึดเหนี่ยว,  $BE/c^2$ , จะได้เป็นส่วนพร่องมวล,  $\Delta M$ ] และจากสมการ (1.1) มวลของนิวเคลียส ก็จะหาได้จาก

$$M = ZM_p + (A - Z)M_n - BE/c^2 \quad (1.2)$$

ค่า  $BE$  ที่ได้จากสูตรดังกล่าวนี้จะไม่พอดี กับข้อมูลในรูป 1.1 ถ้าหาก  $A > 20$  ทั้งนี้ เพราะการสร้างสูตร สร้างมาจากการคำนวณโดยใช้ตัวอย่างเป็นพลาสติก ไม่ได้นำตัวอย่างจริงๆ มาใช้ในการสร้างสูตร

ในการพยายามหาสูตรของพลังงานยึดเหนี่ยวของนิวเคลียส ในตอนแรกบรู๊คเนอร์ (Brueckner) กับเพื่อนร่วมงาน (ค.ศ. 1954 - 1961) ได้หาสูตร โดยใช้เทคนิคทางคณิตศาสตร์ผสมกับกฎเกณฑ์ทางฟิสิกส์ แต่เป็นการหาสูตรที่heavyมาก เพราะว่าไม่ได้นำแรงนิวเคลียร์มาเก็บข้อมูล ด้วย เพียงเน้นเรื่องการคุณภาพของนิวเคลียนที่อยู่ภายในนิวเคลียสต่อมา ต่อมาอ่อนไว้แซคเกอร์ ได้หาสูตรพลังงานยึดเหนี่ยวขึ้นมาใหม่ โดยอาศัยพื้นฐานของแบบจำลองนิวเคลียส

## 8 แบบจำลองheyดของเหลว

แบบheyดของเหลวตามการเสนอแนะของบอร์ดังที่ได้กล่าวไว้ข้างต้น สูตรพลังงานยีดเหนี่ยวที่ได้รีบิกว่า สูตรเชิงกึ่งการทดลอง หรือเรียกอีกชื่อหนึ่งว่า สูตรไวซ์เซคเกอร์ (Weizsäcker formula) ซึ่งเป็นสูตรที่ใช้หาค่าพลังงานยีดเหนี่ยวได้พอดีกับข้อมูลของนิวเคลียสที่มี  $A > 20$

สูตรพลังงานยีดเหนี่ยวเชิงกึ่งการทดลอง (semiempirical binding energy) ของนิวเคลียสที่สร้างขึ้นโดยบีดแนววิศวกรรมแบบจำลองheyดของเหลวเป็นหลักนี้ จะประกอบไปด้วยพจน์ต่างๆ ดังต่อไปนี้

ก. พจน์ปริมาตร (volume term) เมื่อจากแรงนิวเคลียร์เป็นแรงอิมตัว (saturate) และจะมีผลกระทบว่า wenn นิวเคลียสที่อยู่ใกล้กัน ดังนั้นพลังงานยีดเหนี่ยวต่อนิวเคลียสของนิวเคลียสซึ่งคงตัว หรืออีกนัยหนึ่งคือพลังงานยีดเหนี่ยวเป็นปฏิภาคตรงกับจำนวนนิวเคลียส  $A$  แต่โดยเหตุที่จำนวนนิวเคลียส  $A$  เป็นสัดส่วนโดยตรงกับปริมาตรของนิวเคลียส เพราะฉะนั้นพจน์นี้จึงเรียกว่า พจน์ปริมาตร หรือพลังงานปริมาตร (volume energy) พลังงานพจน์นี้คือ

$$E_v = a_v A \quad (1.3)$$

พลังงานยีดเหนี่ยวที่คิดอย่างหมายจากพจน์นี้ จะมากกว่าพลังงานยีดเหนี่ยวที่เป็นจริง

ข. พจน์คูลอมบ์ (coulomb term) เมื่อจาก proton มีประจุ เมื่ออัดกันอยู่ในนิวเคลียส ย่อมมีแรงผลักกันเนื่องจากแรงคูลอมบ์ ทำให้พลังงานยีดเหนี่ยวที่คำนวณจากพจน์แรกมีค่าลดลง พจน์นี้จึงมีค่าเป็นลบ พจน์นี้เรียกอีกอย่างหนึ่งว่า พลังงานคูลอมบ์ (coulomb energy) พลังงานคูลอมบ์ของนิวเคลียสที่มีจำนวนนิวเคลียส  $A$  คือ

$$\begin{aligned} E_c &= -a'_c \frac{3}{5} \frac{Z(Z-1)e^2}{R} \\ &= -4a_c \frac{Z(Z-1)}{A^{1/3}} \end{aligned} \quad (1.4)$$

เมื่อ

$$a_c = \frac{3}{20} \frac{e^2}{R_0 \times 10^{-13}} \quad (1.5)$$

ในสมการ (1.4) เราให้รัศมี  $R$  อยู่ในพจน์ของ  $A^{1/3}$  และเลข 4 ใส่เข้าไว้เพื่อให้สูตรมีสัญลักษณ์น้อยลง ง่ายแก่การจดจำ

ค. พจน์ผิว (surface term) พจน์นี้จะทำให้พลังงานยีดเหนี่ยวมีค่าน้อยลงเนื่องจากนิวเคลียสที่อยู่บริเวณผิวของนิวเคลียสจะได้รับแรงดูดหรือได้รับอันตรกิริยาน้อยกว่าอนุภาคที่อยู่

ภายในโดยเฉลี่ยประมาณครึ่งหนึ่ง เพราะจะน้ำหนักพัลงงานยึดเหนี่ยวของนิวเคลียสที่จะต้องถูกลดลง ด้วยพจน์นี้ ซึ่งเรียกอีกอย่างหนึ่งว่า พลังงานผิว (surface energy) พลังงานผิวนี้คือ

$$E_s = -a_s A^{2/3} \quad (1.6)$$

### ตัวคงคล้ายคลึงกับความตึงผิวของเหลว

จ. พจน์สมมาตร (symmetry term) สำหรับนิวเคลียสที่เสถียร จำนวนนิวเคลียส  $A$  กับจำนวนโปรตอน  $Z$  จะต้องได้สัดส่วนกันพอเหมาะสม สำหรับนิวเคลียสของธาตุเบา (light nuclei) ส่วนมากจะมีจำนวนโปรตอน  $Z = A/2$  หรือเท่ากับจำนวนนิวตรอน ถ้าไม่คิดผลของ คูลโอลบ (coulomb effect) จำนวนโปรตอนที่ต่างไปจากนิวตรอนจะเป็นตัวบวกความไม่เสถียรภาพ ของนิวเคลียส และทำให้พลังงานยึดเหนี่ยวลดลง เพราะจะน้ำหนักพัลงงานนี้ซึ่งขึ้นกับผลต่าง ของจำนวนโปรตอนกับนิวตรอน คือ  $|A-Z| - Z = |A-2Z|$  แต่เราทำให้อยู่ในรูปของยกกำลัง สองเพื่อมีให้พจน์นี้เป็นศูนย์ พจน์นี้เรียกอีกอย่างหนึ่งว่า พลังงานสมมาตร (symmetry energy) พลังงานสมมาตรนี้ คือ

$$E_a = -a_a \frac{(A-2Z)^2}{A} \quad (1.7)$$

ฉ. พจน์ของการเข้าคู่ (pairing term) ดักยจะอยู่ห่างหนึ่งในเสถียรภาพของนิวเคลียสคือ ถ้าโปรตอนและนิวตรอนในนิวเคลียสนี้จำนวนเป็นเลขคู่ นิวเคลียสจะเสถียรภาพที่สุด และ นิวเคลียสของธาตุแบบนี้จะมีอยู่มากที่สุด แต่ถ้าหั้งโปรตอนและนิวตรอนเป็นจำนวนเป็นเลขคี่แล้ว นิวเคลียสนี้จะเสถียรภาพน้อยที่สุด สำหรับนิวเคลียสที่มีโปรตอนและนิวตรอนมีจำนวนเป็นเลข คู่กับคี่ หรือคี่กับคู่ จะเสถียรภาพอยู่ระหว่างสองแบบแรก ผลที่เกิดจากการเป็นจำนวนคี่-คู่ ของ โปรตอนและนิวตรอนนี้ ให้อยู่ในพจน์ของ พลังงานการเข้าคู่ (pairing energy)  $E_\delta$  ค่าของ  $E_\delta$  จะ ขึ้นอยู่กับจำนวนนิวเคลียสที่อยู่ในนิวเคลียสคู่ ดังตาราง 4.1 ต่อไปนี้

สูตรของพลังงานยึดเหนี่ยวหาได้จากการรวมพจน์ต่าง ๆ ทุกพจน์ที่กล่าวมาเข้าด้วยกันเป็น

$$BE = a_v A - 4a_c \frac{Z(Z-1)}{A^{1/3}} - a_s A^{2/3} - a_a \frac{(A-2Z)^2}{A} + E_\delta \quad (1.8)$$

จากสูตรของพลังงานยึดเหนี่ยวในสมการ (1.1) ซึ่งเราเขียนมวลของนิวเคลียสได้เป็นสมการ (1.2) คือ

$$M = ZM_p + (A-Z)M_n - BE/c^2$$

## 10 แบบจำลองหยดของเหลว

ตาราง 1.1 แสดงค่า  $E_\delta$  ของนิวเคลียสที่มีจำนวนนิวคลีอันเป็นเลขคู่หรือคี่

$A$	$Z$	$N$	$E_\delta$
คู่	คู่	คู่	$\delta / 2A$
คู่	คู่	คู่	0
คู่	คู่	คู่	0
คู่	คู่	คี่	$-\delta / 2A$

เมื่อ  $M_p$ ,  $M_n$  และ  $M$  เป็นมวลของโปรตอน นิวตรอน และนิวเคลียส ตามลำดับ ดังนั้นเราจึงเขียนสูตรกึ่งการทดลองของพลังงานยึดเหนี่ยวได้ให้อยู่ในรูปเป็นสูตรกึ่งการทดลองของมวล (mass semiempirical formula) ได้เป็น

$$M = ZM_p + (A - Z)M_n - \frac{a_v}{c^2} + \frac{4a_c}{c^2} \frac{Z(Z-1)}{A^{1/3}} + \frac{a_s}{c^2} A^{2/3} + \frac{a_a}{c^2} \frac{(A-2Z)^2}{A} - \frac{\delta}{2c^2 A} \quad (1.9)$$

ค่าคงตัวต่าง ๆ ที่ปรากฏในสมการ (1.9) นี้ หาได้จากการคำนวณทางทฤษฎีและการทดลองประกอบกัน ค่าของค่าคงตัว  $a_v$ ,  $a_c$ ,  $a_a$ ,  $a_s$  ที่ได้มาจากการวัดค่าวนั้มีค่าต่าง ๆ ดังนี้

$$\begin{aligned} a_v &= 14.0 \text{ MeV}, & a_c &= 0.146 \text{ MeV} \\ a_a &= 19.4 \text{ MeV}, & a_s &= 13.1 \text{ MeV} \end{aligned}$$

ค่า  $\delta$  จะมีค่าดังนี้ นิวเคลียสที่มี  $A$  และ  $Z$  เป็นเลขคู่ จะมีค่าเป็น 270 MeV นิวเคลียสที่มี  $A$  เป็นเลขคี่จะมีค่าเป็น 0 และนิวเคลียสที่มี  $A$  เป็นเลขคู่ และ  $Z$  เป็นเลขคี่ จะมีค่า  $-270$  MeV ในทางปฏิบัติ เวลาคำนวณจะเป็นการวัดมวลของอะตอม และสมการ (4.7) ถูกนำมาใช้คำนวณมวลของอะตอม โดยแทนมวลของโปรตอนด้วยมวลของอะตอมไฮโดรเจน ถ้าแทนสูตรด้วยมวลนิวตรอน  $M_n = 1.008982 \text{ amu}$  และแทนมวลของโปรตอนด้วยมวลของอะตอมไฮโดรเจน  $M_H = 1.008142 \text{ amu}$  สมการ (1.9) จะเปลี่ยนไปดังนี้

$$M = 0.99395A - 0.00084Z + 0.0141A^{2/3} + 0.021 \frac{(A-2Z)^2}{A} + \frac{0.00063Z(Z-1)}{A^{1/3}} - \frac{\delta'}{A} \quad (1.10)$$

เมื่อ

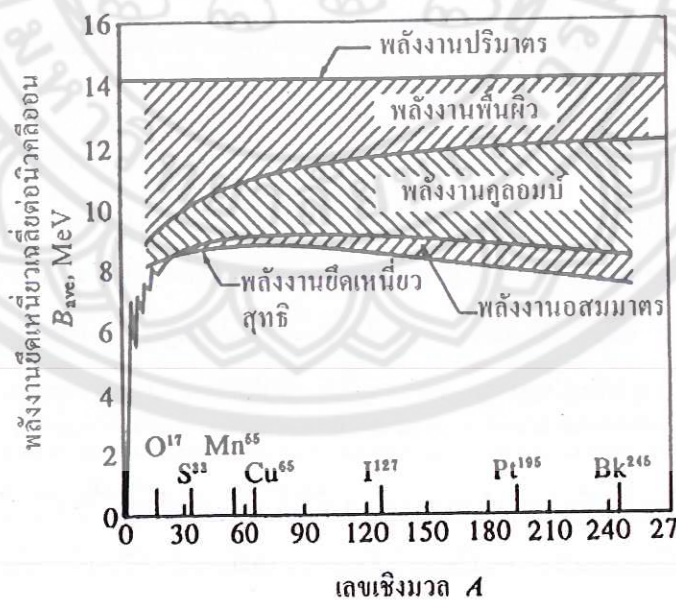
$$\delta' = \begin{cases} 0.145 \text{ amu} & \text{เมื่อ } A \text{ เป็นเลขคู่ } Z \text{ เป็นเลขคู่} \\ 0 & \text{เมื่อ } A \text{ เป็นเลขคี่ } Z \text{ เป็นเลขคู่ หรือ } A \text{ เป็นเลขคี่ } Z \text{ เป็นเลขคี่} \\ -0.145 \text{ amu} & \text{เมื่อ } A \text{ เป็นเลขคู่ } Z \text{ เป็นเลขคี่} \end{cases} \quad (1.11)$$

และสมการของ  $BE$  ในสมการ (1.8) ก็จะเขียนได้เป็น

$$BE(\text{MeV}) = 14.0A - 0.584 \frac{Z(Z-1)}{A^{1/3}} - 13.1A^{2/3} - 19.4 \frac{(A-2Z)^2}{A} + E_\delta \quad (1.12)$$

เมื่อ

$$E_\delta = \begin{cases} 135/A \text{ MeV} & \text{เมื่อ } A \text{ เป็นเลขคู่ } Z \text{ เป็นเลขคู่} \\ 0 & \text{เมื่อ } A \text{ เป็นเลขคี่ } Z \text{ เป็นเลขคู่ หรือ } A \text{ เป็นเลขคี่ } Z \text{ เป็นเลขคี่} \\ -135/A \text{ MeV} & \text{เมื่อ } A \text{ เป็นเลขคู่ } Z \text{ เป็นเลขคี่} \end{cases} \quad (1.13)$$



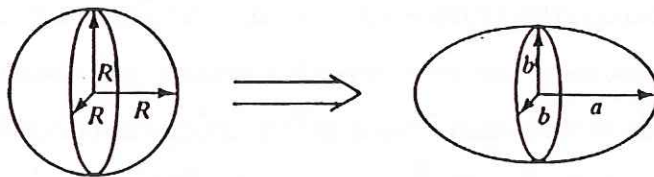
รูป 1.2 สรุปแบบจำลองของเหลวที่กระทำต่อพลังงานเฉลี่ย  
(คัดแปลงจาก W. E. Meyerhof, *Elements of Nuclear Physics*,  
McGraw-Hill, New York, 1985, p. 45)

## 1.3 ทฤษฎีของการแบ่งแยกนิวเคลียส (Fission Theory)

### 1.3.1 แบบจำลองหยดของเหลวของการแบ่งแยกนิวเคลียส (The Liquid Drop Model of Fission)

การแบ่งแยกนิวเคลียส (nuclear fission) ถูกพบโดยบังเอิญ ระหว่างที่มีการค้นหาธาตุทรานสูเรเนียม (transuranium) ด้วยการระคายยิงนิวตรอนไปยังยูเรเนียมธรรมชาติ (natural uranium) ซึ่งเป็นธาตุหนักที่สุดที่มีอยู่ตามธรรมชาติด้วยเปลือกโลก ซึ่งจากการวิเคราะห์ทางเคมีเพื่อหาราดูผลิตผล ฮาห์น (Hahn) และสตราส์เม่นน์ (Strassmann) ได้ได้สรุปออกมาใน ค.ศ. 1393 ว่า การระคายยูเรเนียมด้วยนิวตรอนชนิดนี้ จะได้อิโซโทปของแบบเรียม ( $A \approx 140$ ) เกิดขึ้น และใน ค.ศ. 1939 ไมท์เนอร์ (Meitner) และฟริช (Frisch) ได้อธิบายปรากฏการณ์ที่เกิดขึ้นนี้ในพจน์ของแบบจำลองหยดของเหลวของนิวเคลียส โดยพากเจ้าชี้ว่านิวเคลียสของธาตุหนักที่มีพลังงานเพิ่มขึ้นเพียงเล็กน้อยจะคล้ายรูปร่างผิดไปจากเดิมมากและไม่เสถียร มีการแบ่งแยกตัวออกเป็นนิวเคลียสใหม่สองนิวเคลียสที่มีขนาดไม่เท่ากัน คล้ายกับการแบ่งแยกตัวออกเป็นสองส่วนของหยดของเหลว พร้อมกับเสนอแนะว่า นิวเคลียสของยูเรเนียม ได้พลังงานส่วนนึงจากการจับนิวตรอน ซึ่งการแบ่งแยกตัวเข่นนี้จะเรียกว่า เป็นการแบ่งแยกตัวที่กระตุ้นด้วยนิวตรอน (neutron-induced fission) และต่อมาใน ค.ศ. 1940 ได้มีการสังเกตพบการแบ่งแยกตัวของนิวเคลียสแบบเกิดขึ้นเอง (spontaneous fission) ใน  $^{239}\text{Pu}$

การอธิบายการแบ่งแยกตัวของนิวเคลียสคือแบบจำลองหยดของเหลว จะเริ่มต้นจากสูตรกึ่งการทดลองมวลไวซ์เซกเกอร์ (Weizsäcker semi-empirical mass formula) ตามสมการ (1.8) ซึ่งเป็นสูตรที่อยู่บนพื้นฐานของการให้นิวเคลียสเป็นแบบหยดของเหลว ความจริงสูตรนี้เป็นสูตรของพลังงานยึดเหนี่ยว (เพื่อความสะดวก ในหัวข้อนี้เราจะใช้สัญลักษณ์เป็น  $E_B$ แทน  $BE$ ) แต่เนื่องจากสามารถเปลี่ยนให้อยู่ในรูปสูตรของมวลได้ จึงมักเรียกันว่าเป็นสูตรมวลกึ่งการทดลอง โดยเราอาจสร้างแบบจำลองเพื่อใช้ทำความเข้าใจเรื่องการแบ่งแยกตัวของนิวเคลียสได้จากสูตรมวลกึ่งการทดลองนี้ โดยเราจะพิจารณาจากผลกระทบที่มีต่อพลังงานยึดเหนี่ยวเมื่อนิวเคลียสซึ่งเดิมเป็นทรงกลมมีการเปลี่ยนแปลงรูปร่างโดยการยึดออกทีละน้อยอย่างช้า ๆ ไปเป็นรูปร่างรี ในการยึดออกนี้ปริมาตรของนิวเคลียสซึ่งเปลี่ยนแปลงไปอย่างช้าๆ จึงมีผลกระทบต่อสูตรมวลกึ่งการทดลองจะไม่ได้รับผลกระทบใด ๆ จากการยึดออกนี้ จึงข้ามพจน์นี้ไปไม่ต้องนำมายก็ได้ ส่วนพจน์ของพลังงานการสมมาตรและพลังงานการเข้ากู่ก็จะมีการเปลี่ยนแปลงค่าน้อยมากเมื่อเทียบกับการ



รูป 1.3 การผิดรูปจากทรงกลมไปเป็นทรงรีที่ปริมาตรคงเดิม;

$$a = R(1 + \varepsilon) : b = R(1 + \varepsilon)^{-1/2} \text{ สำหรับการผิดรูปแบบทรง}$$

แบบขี้ว (prolate) นี้  $\varepsilon$  เป็นบวก (จาก N.A. Jolley, *Fundamentals*

*of Nuclear Physics.*, Cambridge: Cambridge University, 1990, p. 145)

เปลี่ยนแปลงในพจน์ของพลังงานพื้นผิวและพจน์ของพลังงานคุลอนบ์ซึ่งได้รับผลกระทบจากการ  
ดึงออกมาก ดังนั้นพจน์ที่เปลี่ยนแปลงเมื่อนิวเคลียสผิดรูป ได้แก่ พจน์ของพลังงานพื้นผิวกับพจน์  
ของพลังงานคุลอนบ์

การผิดรูปทรงของนิวเคลียสจากทรงกลมรัศมี  $R$  ไปเป็นรูปทรงที่มีปริมาตร  $\frac{4}{3}\pi ab^2$   
เมื่อ  $a$  เป็นครึ่งแกนหลัก (semimajor axis) และ  $b$  เป็นครึ่งแกนรอง (semiminor axis) ดูได้จากใน  
รูป 1.3 เราจะกำหนดให้  $a$  และ  $b$  อยู่ในพจน์ของพารามิเตอร์การบิดเบี้ยว  $\varepsilon$  คือ

$$\begin{aligned} a &= R(1 + \varepsilon) \\ b &= R(1 + \varepsilon)^{-1/2} \end{aligned} \tag{1.14}$$

เมื่อ  $\varepsilon$  เป็นความเบี้ยงคุณย์กลาง (eccentricity) ของรูปทรงรี ซึ่งสัมพันธ์กับพารามิเตอร์การผิดรูป  $\beta$  (deformation parameter) ตามนิยาม  $\varepsilon = \beta \sqrt{\frac{5}{4\pi}}$  (หมายเหตุ: เนื่องจาก  $R^3 = ab^2$  ดังนั้น  
ปริมาตรจึงยังคงเดิม) เมื่อทรงกลมค่อยๆ ดึงออกเป็นรูปทรงรี พื้นที่พื้นผิวของมันจะเพิ่มขึ้นเป็น  $S = 4\pi R^2 (1 + \frac{2}{5}\varepsilon^2 + \dots)$  และส่วนผลให้พจน์ของพลังงานพื้นผิวที่อยู่ในสูตรมวลกิ่งการทดลองมี  
ค่าเพิ่มขึ้นตาม ขณะที่พจน์ของพลังงานคุลอนบ์จะลดลงโดยตัวประกอบ  $(1 - \frac{1}{5}\varepsilon^2 + \dots)$  (เมื่อ  
สมนุติให้การแจกแจงประจุเป็นแบบเอกรูป) เพราะฉะนั้นผลต่างของพลังงาน  $\Delta E$  (อันที่จริงเป็น  
ค่าที่ลดลงของพลังงานนิวเคลียส) ในระหว่างเมื่อนิวเคลียสเป็นรูปทรงกลมกับเมื่อดึงออกเป็น  
รูปทรงรี แต่ปริมาตรยังคงเดิม จะเป็น

$$\begin{aligned} \Delta E &= E_B(\varepsilon) - E_B(\varepsilon = 0) \\ &= -a_s A^{2/3} (1 + \frac{2}{5}\varepsilon^2 + \dots) - a_c Z^2 A^{-1/3} (1 - \frac{1}{5}\varepsilon^2 + \dots) \\ &\quad + a_s A^{2/3} + a_c Z^2 A^{-1/3} \\ &\cong \left( -\frac{2}{5}a_s A^{2/3} + \frac{1}{5}a_c Z^2 A^{-1/3} \right) \varepsilon^2 \end{aligned} \tag{1.15}$$

เราอาจให้ความหมายของพจน์ที่สองที่อยู่ทางด้านขวาเมื่อของสมการ ดังต่อไปนี้ พจน์แรกแทนงานที่ทำ (work done) โดยแรง "ความตึงผิว" ("surface-tention" force) เหตุที่มีเครื่องหมายเป็นลบ เพราะว่าแรงนี้ต้านการแบ่งแยกตัวของนิวเคลียส เมื่อมีน้ำก็แรงความตึงผิวที่ต้านการเพิ่มน้ำเพิ่มขึ้นเมื่อหยดของเหลวยึดออกและแบ่งแยกออกเป็นสองหยด ส่วนพจน์ที่สองแทนงานที่ทำโดยแรงคูลомн์ พจน์นี้มีเครื่องหมายเป็นบวกเพราะว่าแรงคูลомн์ในที่นี่เป็นแรงผลักระหว่างประจุ (โปรตอน) ในนิวเคลียส ซึ่งส่งเสริมการแบ่งแยกตัวของนิวเคลียส

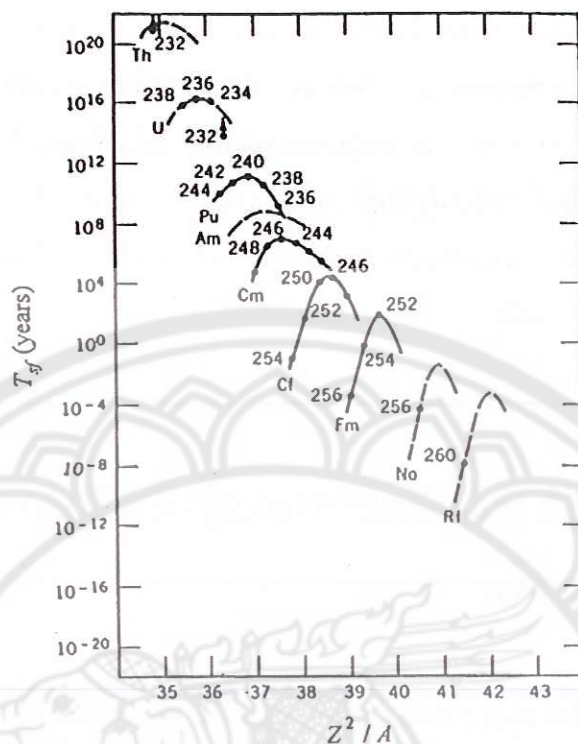
ถ้าพจน์ที่สองมากกว่าพจน์แรก การเปลี่ยนแปลงของพลังงานจะเป็นบวกหรือเพิ่มขึ้น และนิวเคลียสก็จะยึดออก -- ก็เมื่อมีน้ำกันเราเพิ่มพลังงานให้แก่นิวเคลียสโดยการอุดแรงดึงเพื่อให้นิวเคลียสยึดออก ยิ่งเราเพิ่มพลังงานมากขึ้นเท่าใด (อุดแรงดึงมากขึ้น) ก็จะทำให้นิวเคลียสยึดออกได้มากขึ้นเท่านั้น-- แต่การเสถียรของนิวเคลียสจะคงอยู่ยังส่วนทางกับการยึดออก เมื่อนิวเคลียสยึดออกนิวเคลียสก็พร้อมที่จะการแบ่งแยกตัว ดังนั้นเงื่อนไขของการแบ่งแยกตัวแบบเกิดขึ้นเองก็คือ

$$\frac{1}{5} a_c Z^2 A^{-1/3} > \frac{2}{5} a_s A^{2/3}$$

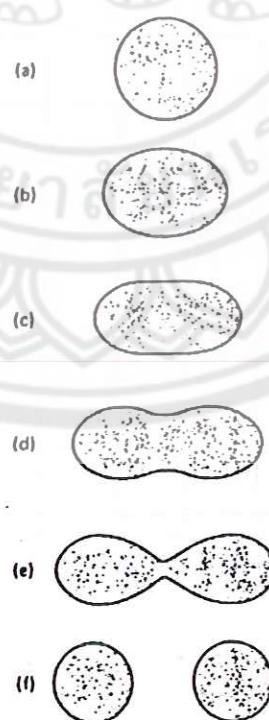
และถ้าแทนค่า  $a_s$  และ  $a_c$  ก็จะได้

$$\frac{Z^2}{A} > 47 \quad (1.16)$$

ซึ่งถือเป็นเกณฑ์ที่การแบ่งแยกตัวแบบเกิดขึ้นเองจะสามารถเกิดขึ้นได้ การประมาณนี้ต้องปรับปรุงบางอย่างอีก เพื่อให้รักน้ำกันปะก្យาดภารณ์การสะท้อนผ่านกำแพงหักย์ในทางกลศาสตร์กวนตัน ซึ่งขึ้นอยู่กับการแบ่งแยกตัวแบบเกิดขึ้นเองได้ แม้ว่าพลังงานการผิดรูปจะเป็นลบก็ตาม นอกจากนี้วิศวีไอที่อยู่ในบริเวณแตรๆ ยูเรเนียมบังมีการผิดรูปอยู่อย่างสมดุลовар (รูปร่างสมดุลอยู่เป็นรูปทรงรีนาอกกว่าจะเป็นทรงกลม) แต่ถึงอย่างไรก็ตาม พารามิเตอร์  $Z^2 / A$  ก็ใช้เป็นตัวบ่งชี้ถึงความสามารถในการแบ่งแยกตัวแบบเกิดขึ้นเองของนิวเคลียสอย่างหนาๆ ได้ ดังแสดงในรูป 1.4 ซึ่งจะเห็นว่า ถ้าค่า  $Z^2 / A$  มีค่าเพิ่มขึ้น ครึ่งชีวิตของการแบ่งแยกตัวของนิวเคลียสก็จะสั้นลง ซึ่งจากรูปเราอาจจะประมาณค่าในช่วงหากว่าชีวิตของการแบ่งแยกตัวแบบเกิดขึ้นเองในกรณีของ  $(Z^2 / A) \approx 47$  ได้ว่ามีชีวิตประมาณ  $10^{-20}$  s เพราะฉะนั้นนิวเคลียสไอที่มี  $Z^2 / A$  อยู่เหนือค่าวิกฤตินี้ขึ้นไปจะแบ่งแยกตัวได้ "ทัน" กับสเกลของเวลาของนิวเคลียร์



รูป 1.4 ชั่วชีวิตสำหรับการแบ่งแยกตัวแบบเกิดขึ้นเอง ชั่วชีวิตมีแนวโน้มลดลงตามการเพิ่มของ  $Z^2 / A$  (จาก K.S. Krane, *Introductory Nuclear Physics*, Singapore: John Wiley & Sons, 1988, p. 483)



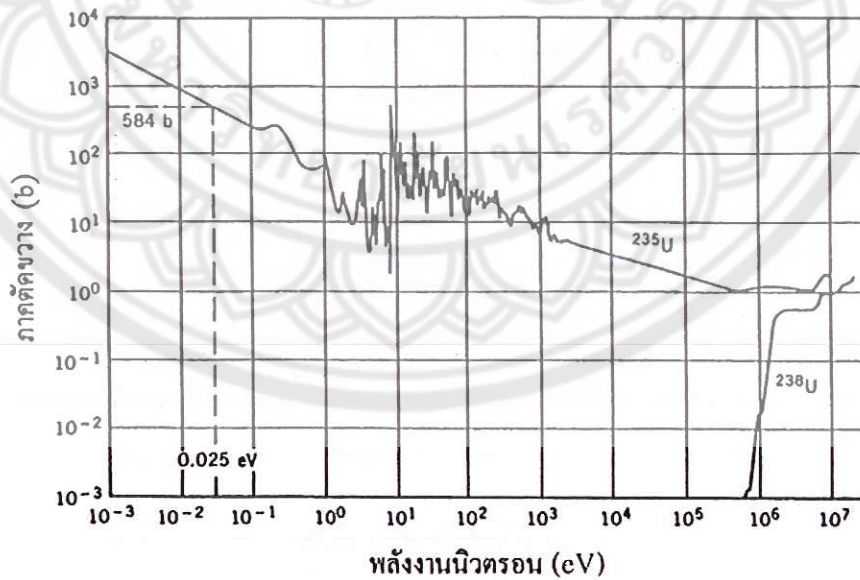
รูป 1.5 การแบ่งแยกตัวของนิวเคลียสแบบหยาดของเหลว

สำคัญของการแบ่งแยกตัวนิวเคลียสพิจารณาอย่างง่าย ๆ ได้จากการกำหนดให้ นิวเคลียสมีลักษณะเหมือนหยดของเหลว เริ่มต้นด้วยนิวเคลียสเป็นรูปทรงกลม (ดังรูป 1.5a); ต่อมาก็จะออกเด็กน้อย (ดังรูป 1.5b); ถัดมาเมื่อออกมากขึ้นและเริ่มเห็นการโป่งออกของส่วนที่จะ เป็นส่วนแบ่งแยกตัว แต่ยังเชื่อมกันอยู่เห็นเป็นคอกอด (ดังรูป 1.5c,d); ถัดมาคอกอดก็จะลดมาก จนส่วนแบ่งแยกตัวหลุดออกจากกันเป็นสองส่วน (ดังรูป 1.5e,f) จะเห็นได้ว่าดังนี้

ดึงผิวต้านการยึดออกของนิวเคลียส

### 1.3.2 การแบ่งแยกนิวเคลียสโดยการกระตุ้นด้วยนิวตรอน (Neutron-Induced Fission)

ในรูป 1.6 แสดงภาคตัดขวางของการแบ่งแยกตัวโดยการกระตุ้นด้วยนิวตรอนของ  $^{235}\text{U}$  และ  $^{238}\text{U}$  จะเห็นว่าภาคตัดขวางของ  $^{235}\text{U}$  ในย่านพลังงานของการเป็นเทอร์มัณฑานิวตรอน ภาคตัดขวางจะขึ้นกับ  $1/\nu$  และมีเรโซแนนซ์อย่างแรงในช่วงพลังงาน  $1 - 100 \text{ eV}$  อันเนื่องมาจากการสร้างภัยในของนิวเคลียส ภาคตัดขวางการแบ่งแยกตัวของ  $^{235}\text{U}$  ที่กระตุ้นด้วยเทอร์มัณฑานิวตรอน



รูป 1.6 ภาคตัดขวางการแบ่งแยกตัวแบบกระตุ้นด้วยนิวตรอน

ของ  $^{235}\text{U}$  และ  $^{238}\text{U}$  (ดัดแปลงจาก K.S. Krane, *Introductory*

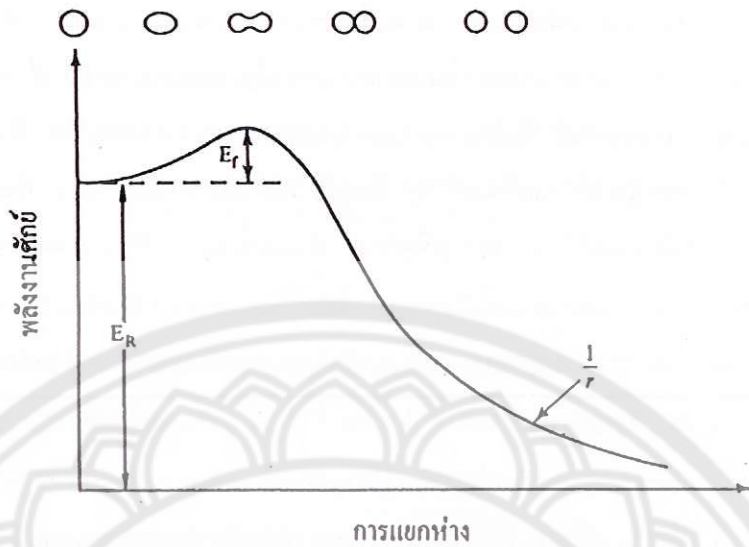
*Nuclear Physics*, Singapore: John Wiley & Sons, 1988, p. 488)

นิวตรอน (584 b) จะมีค่าบ่อกาตต์ดของแรงกระเจิง (9 b) และกาตต์ดของแรงจับแห่งรังสี (94 b) และมีมากกว่ากาตต์ดของแรงแบ่งแยกตัวที่เกิดจากการกระตุ้น โดยนิวตรอนเร็วค่วยอันดับขนาด เป็น 3 ดังนั้นถ้าจะเอานิวตรอนเร็วที่เกิดจากการแบ่งแยกตัวของนิวเคลียสหนึ่ง ซึ่งมีพลังงานในหน่วยของ MeV ไปกระตุ้นให้นิวเคลียส  $^{235}\text{U}$  ที่อยู่ดัดไปเกิดการแบ่งแยกตัว ก็จะต้องหาวิธีลดความเร็วของนั้นลงให้เป็นเทอร์มันนิวตรอนเสียก่อน ส่วนกรณีของ  $^{238}\text{U}$  กาตต์ดของแรง  
แบ่งแยกตัวในย่านพลังงานของเทอร์มันนิวตรอนจะไม่มี นอกจากในย่านพลังงานของนิวตรอนเร็ว เท่านั้น ดังนั้นนิวเคลียส  $^{238}\text{U}$  จึงเกิดการแบ่งแยกตัวได้เฉพาะกับนิวตรอนเร็วเท่านั้น พฤติกรรม การแบ่งแยกตัวที่แตกต่างกันอย่างมากของ  $^{235}\text{U}$  กับ  $^{238}\text{U}$  นี้ เป็นผลลัพธ์มาจากการรับประทานซึ่งมีพลังงานการกระตุ้นของระบบประกอบ (นิวเคลียสประกอบ) กับพลังงานการก่อภัยมันต์ (activation energy) ซึ่งเป็นพลังงานที่ต้องการในการอาจน้ำทำเพียงการแบ่งแยกตัว (หรือคือ ส่วนสูงของกำแพงการแบ่งแยกตัวนั้นเอง)

ในการแบ่งแยกตัวของนิวเคลียสโดยการกระตุ้นค่วยนิวตรอนนี้ การแบ่งแยกตัวจะเกิดขึ้น ถ้าหากว่านิวเคลียสประกอบที่เกิดจากการจับนิวตรอนของนิวเคลียสหนักมีพลังงานการกระตุ้นมากกว่ากำแพงศักย์ ซึ่งโดยทั่วไปขึ้นอยู่กับจำนวนโปรตอน Z ของนิวเคลียสเป้า และการมีจำนวนนิวเคลียส A เป็นเลขคู่หรือคี่ของนิวเคลียสเป้าอันเนื่องมาจากผลของการเข้ากู้ ตัวอย่าง เช่นในการจับนิวตรอนช้า ( $E_n \approx 1/40 \text{ MeV}$ ) ของ  $^{235}\text{U}$  นิวเคลียสประกอบ  $^{236}\text{U}$  ก่อรูปขึ้นโดย มีพลังงานการกระตุ้นเท่ากับพลังงานการแยก  $S_n^{236} > E_f$ , ส่วนสูงของกำแพง ดังนั้นการแบ่งแยกตัวจึงเกิดขึ้นทันที แต่กับ  $^{238}\text{U}$  ถ้าหาก  $^{238}\text{U}$  จับนิวตรอนช้าดังกล่าว นิวเคลียสประกอบ  $^{239}\text{U}$  จะอยู่ที่พลังงานการกระตุ้น  $S_n^{239} < E_f$  ดังนั้นการแบ่งแยกตัวจะไม่เกิด จนกว่า  $E_n > 1.4$  ซึ่งคือ ผลต่างของ  $S_n^{239}$  และ  $E_f$

### 1.3.3 กำแพงการแบ่งแยกตัว (Fission Barrier)

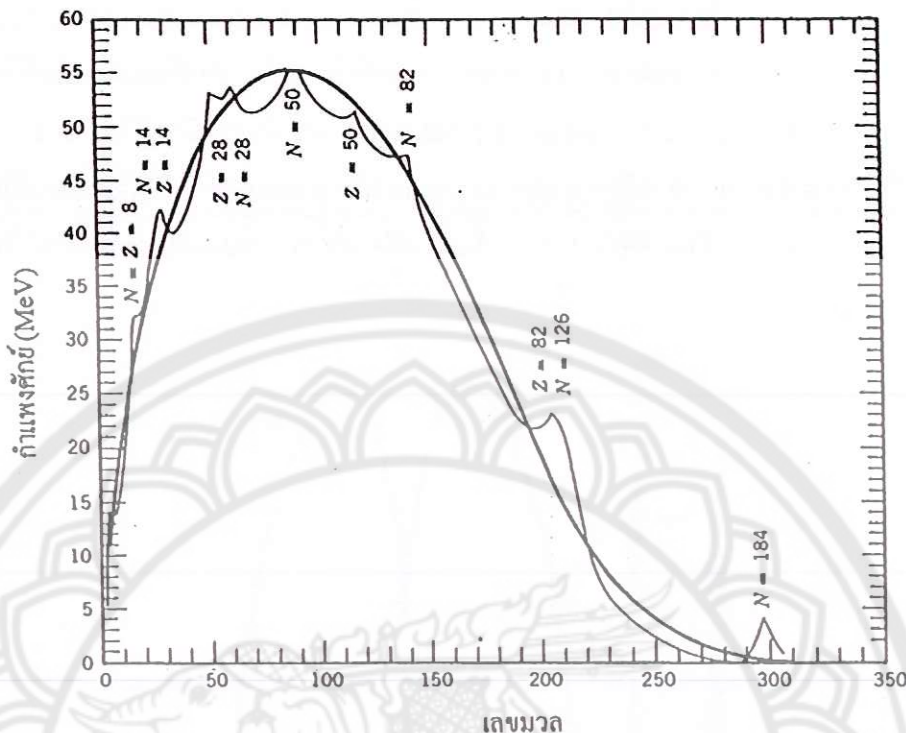
กำแพงศักย์ของการแบ่งแยกตัวเป็นค่าสูทธิ ซึ่งเป็นผลลัพธ์ของการหักด้านระหว่าง พลังงานพื้นผิวซึ่งมีค่าเพิ่มขึ้นตามการเพิ่มของพื้นผิวกับพลังงานคูลอมบ์ซึ่งมีค่าลดลงตามการแยกห่างของประจุเมื่อนิวเคลียสผิดรูปร่างมากขึ้น ดังจะเห็นได้ในรูป 1.7 ซึ่งในรูป  $E$ , จะเป็นส่วนสูงของกำแพงการแบ่งแยกตัว ที่อาจประมาณค่าได้จากสมการ (1.15) ดังตัวอย่างเช่น การประมาณค่า  $E_f$  ของนิวเคลียส  $A = 240$  จากสมการ (1.15) ซึ่งทำได้โดยการให้  $|e| = 0.29$  ซึ่งจากการใช้วิธีนี้จะประมาณค่า  $E_f$  ของกำแพงการแบ่งแยกตัวของ  $^{238}\text{U}$  ได้มีค่าประมาณ 6.1 MeV เป็นต้น



รูป 1.7 แสดงรูปแบบของกำแพงการแบ่งแยกตัว (คัดแปลงจาก N.A. Jelley, *Fundamentals of Nuclear Physics.*, Cambridge: Cambridge University, 1990, p. 145)

กำแพงการแบ่งแยกตัวนี้จะคล้ายคลึงกับกำแพงคุณอนบ์ในเรื่องการถ่ายตัวให้แออฟฟ่า และการแบ่งแยกตัวที่เกิดขึ้นได้โดยผ่านทางอุโมงค์ทางกลศาสตร์ค่อนต้มเข่นเดียวกัน ชั่วชีวิตของการแบ่งแยกตัวอาจหาได้จากเส้นโค้งของกำแพงการแบ่งแยกตัวนี้ (กล่าวคือชั่วชีวิตของการแบ่งแยกตัวนี้กับลักษณะการซึ่งกำลังของ  $E_f$ ) คล้ายกับการหาชั่วชีวิตของการถ่ายตัวให้แออฟฟ่า สำหรับ  $E_R$  ที่อยู่ในรูปเดียวกัน เป็นพลังงานที่ถูกคำนวณจากการแบ่งแยกตัวของนิวเคลียส หากค่าได้จากสมการ (1.8) โดยให้  $E_R = E_B(Z, A) - 2E_B(Z/2, A/2)$  เมื่อ  $E_B(Z, A)$  เป็นพลังงานยึดเหนี่ยวของนิวเคลียสใหม่ที่เป็นส่วนแบ่งแยกตัวจากการแบ่งแยกตัวแบบสมมาตร (หมายเหตุ: เราใช้สัญลักษณ์  $E_B$  แทน  $BE$  แล้ว)

ส่วนสูงของกำแพงการแบ่งแยกตัวเหนือสถานะพื้น,  $E_f$  นี้ อาจเรียกได้อีกอย่างหนึ่งว่า เป็นพลังงานการก่อ分子ต์ ซึ่งเป็นพลังงานที่ต้องการในการอาบน้ำกำแพงการแบ่งแยกตัว หรือ เป็นพลังงานที่ต้องกระตุ้นต่อนิวเคลียสเพื่อให้นิวเคลียสเกิดการแบ่งแยกตัว ในรูป 1.8 แสดงส่วนสูงของกำแพงการแบ่งแยกตัว (หรือพลังงานการก่อ分子ต์) แปรผันตามเลขมวล  $A$  ของแต่ละนิวเคลียสไอที่คำนวณได้มาบนพื้นฐานของแบบจำลองหยดของเหลว (เห็นเป็นเส้นโค้งหนาในรูป) แต่ในรูปจะแสดงให้เห็นผลลัพธ์ของการคำนวณที่มีรายละเอียดมากยิ่งขึ้น โดยการนำเอาผลของการมีโครงสร้างแบบชั้นของนิวเคลียสเข้ามาเกี่ยวข้องด้วย (เห็นเป็นเส้นโค้งบางในรูป) อยู่ด้วยซึ่งผลการคำนวณได้ให้อบุргีประการหนึ่งว่า นิวเคลียสพากที่หนักมากที่มีเลขมวล  $A$  และๆ



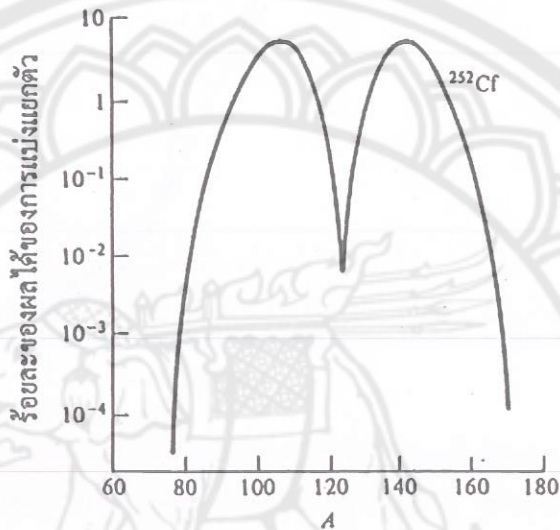
รูป 1.8 การแบ่งกันของพลังงานการก่อกัมมันค์ของการแบ่งแยกตัวเทียบกับเลขมวล  $A$  เส้นโค้งหนาเป็นผลลัพธ์ของการคำนวณโดยอาศัยพื้นฐานของแบบจำลองหยดของเหลว และเลือกคำนวณเฉพาะกับเลขมวลของไอโซโทปที่เสถียรที่สุด ส่วนเส้นโค้งบางเกิดจากการนำเอาผลของการมีโครงสร้างแบบขั้นของนิวเคลียสมาเกี่ยวข้องด้วย (ดัดแปลงจาก K.S. Krane, *Introductory Nuclear Physics.*, Singapore: John Wiley & Sons, 1988, p. 482)

300 อาจจะต้านการแบ่งแยกตัว (หรือเสถียรต่อการแบ่งแยกตัว) ได้มากกว่าที่คาดหมายจากพื้นฐานของแบบจำลองหยดของเหลว ซึ่งคำนวณการแบ่งแยกตัวควรเป็นศูนย์แล้ว เหตุที่เป็นเช่นนี้คาดว่าเนื่องมาจากการมีจำนวนนิวตรอนครบขั้นของนิวเคลียสในนั้นเอง

### 1.3.4 การแบ่งแยกตัวแบบอสมมาตรและไอโซเมอร์ (Asymmetric Fission and Isomer)

ในการแบ่งแยกตัวของนิวเคลียส ไม่ว่าจะเป็นแบบเกิดขึ้นเองหรือกระตุ้นให้เกิดก็ตาม

ส่วนแบ่งแยกตัวของนิวเคลียสจะมีขนาดพอ ๆ กัน ซึ่งจากการทำนายโดยใช้แบบจำลองหยดของเหลวจะได้ว่า ส่วนแตกตัวต้องมีขนาดเท่ากันอย่างแท้จริง หรือถ้าวอิกอย่างหนึ่งก็คือการแบ่งแยกตัวต้องเป็นแบบสมมาตร แต่จากการสังเกตการแบ่งแยกตัวของนิวเคลีย索ที่มี  $A > 200$  กลับขัดแย้งกับการทำนาย กล่าวคือการแยกมวลของส่วนแบ่งแยกตัวกลับมีลักษณะเป็นแบบสองโหนก (two humps) ดังจะเห็นในรูป 1.9 ซึ่งเป็นเส้นโค้งการแยกมวลของนิวเคลีย索ที่เป็น



รูป 1.9 การลงจุระหว่างผลได้ของการแบ่งแยกตัว (fission yield) ตามแกนชั้นของ กับมวลของส่วนแตกตัวของ  $^{252}\text{Cf}$  (ดัดแปลงจาก N.A. Jelley, *Fundamentals of Nuclear Physics*, Cambridge: Cambridge University, 1990, p. 148)

ส่วนแตกตัวของ  $^{252}\text{Cf}$  (เส้นโค้งที่เห็นในรูปมีคุณลักษณะของเส้นโค้งอยู่ที่acco  $A = 124$  มากกว่าที่จะอยู่远acco 126 นั้นเนื่องจากว่า เมื่อนิวเคลียสแบ่งแยกตัว จะมีการคายนิวตรอนออกมาย่างกันพลัน) จึงนับได้ว่าแบบจำลองหยดของเหลวล้มเหลวเมื่อทำการแบ่งแยกตัวแบบสมมาตร

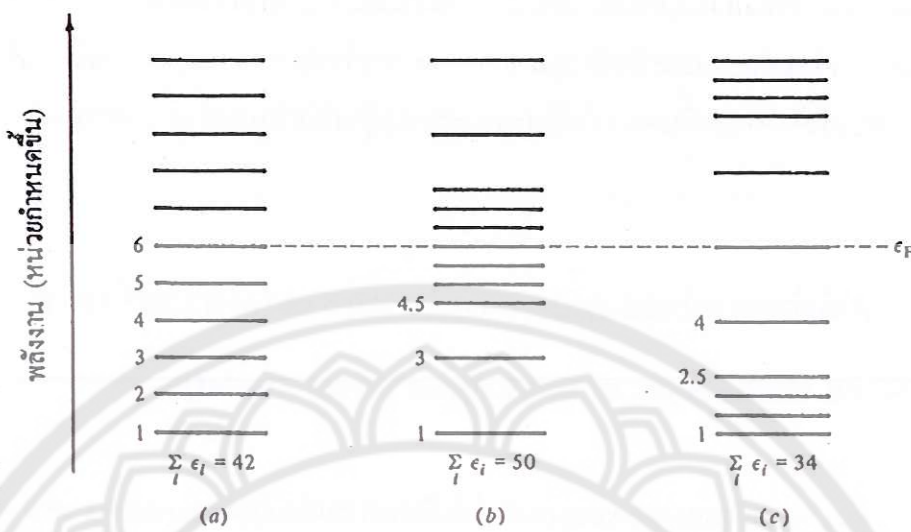
รายละเอียดของความล้มเหลวอื่น ๆ ของแบบจำลองหยดของเหลว นอกเหนือจากการอธิบายการแบ่งแยกตัวแบบสมมาตรก็คือ ความล้มเหลวในการอธิบายการประภาคของไอโซเมอร์ การแบ่งแยกตัว (fission isomer) ซึ่งค้นพบโดยโพลิกานอฟและคณะ (Polikanov et al.) ใน ค.ศ. 1692 สถานะไอโซเมอริกถูกพบในนิวเคลีย索acco  $A = 240$  ที่การกระตุ้น  $2 - 3 \text{ MeV}$  ด้วยชั่วชีวิตอยู่ในช่วง  $10^{-2}$  ถึง  $10^{-9} \text{ s}$  ซึ่งจะสลายตัวต่อนาโดยการแบ่งแยกตัวมากกว่าการคายแกมนา ตามแบบจำลองหยดของเหลว การที่สถานะถูกกระตุ้น  $2 - 3 \text{ MeV}$  มีชั่วชีวิตในช่วงสั้นเช่นนี้

เนื่องมาจากการลดลงของส่วนสูงกำแพงศักย์  $E_f$  แต่สถานะเช่นนี้คาดว่าจะเป็นการสลายตัวให้แก่กันมากกว่า เว้นแต่สถานะจะมีสpinสูงมาก ๆ แต่ย่างไรก็ตามการทดลองวัดอัตราส่วนระหว่างไอโซเมอร์ต่อสถานะพื้นพบว่าไม่มีสถานะถูกกระตุ้นที่มีสpinสูงมาก ๆ เช่นนั้น

### 1.3.5 การแก้ค่าแบบจำลองหยดของเหลวเนื่องจากโครงสร้างชั้น (Shell Collections to the Liquid Drop Model)

ในการนำแบบจำลองหยดของเหลวมาใช้อธิบายการแบ่งแยกตัวแบบสมมาตรและการประกูลของไอโซเมอร์ การแบ่งแยกตัวที่เราสังเกตพบนั้นจะต้องมีการแก้ค่าอันเนื่องจากการนี้โครงสร้างชั้นของนิวเคลียสด้วย ซึ่งในการพิจารณาเรียงแบบจำลองชั้นเราจะให้นิวคลีอ่อนที่อยู่ในนิวเคลียสอยู่ต่ำระดับนับตั้งแต่ระดับพลังงานล่างสุดขึ้นมาเรื่อยจนถึงระดับเฟร์นิ (Fermi level) และพลังงานสถานะพื้นของนิวเคลียส ก็หาได้โดยการรวมพลังงานของระดับที่ถูกนิวคลีอ่อนยึดครองทุกระดับเข้าด้วยกัน วิธีการเช่นนี้สามารถใช้คำนวณการผิดรูปอย่างอิ่มตัวของนิวเคลียสได้โดยเริ่มต้นจากการใช้แบบจำลองนิลลส์สัน (Nilsson Model) กำหนดค่าระดับพลังงานก่อน และต่อมารวมระดับพลังงานที่มีนิวคลีอ่อนยึดครองอยู่ทั้งหมดเข้าด้วยกัน (รวมในทางที่จะให้ค่าน้อยที่สุด) พลังงานรวมที่ได้มานี้จะเป็นฟังก์ชันของการผิดรูป เพราะแต่ละระดับพลังงานที่นำมารวมกันอยู่ขึ้นกับการผิดรูป ปรากฏว่าวิธีเช่นนี้ให้ผลลัพธ์ของกันเดียวกับผลการสังเกตการผิดรูปที่สถานะพื้น แต่กับการผิดรูปมาก ๆ เมื่อกับที่ปรากฏในการแบ่งแยกตัว ปรากฏว่ากลวิธีนี้ล้มเหลว ซึ่งก็อาจเป็นไปได้ว่าในการคำนวณตามกลวิธีดังกล่าวมันไม่ได้กำหนดให้การแยกແวงศ์ๆ (หมายถึงนิวคลีอ่อน) ดำเนินตามการแยกແങค์ก์ย์

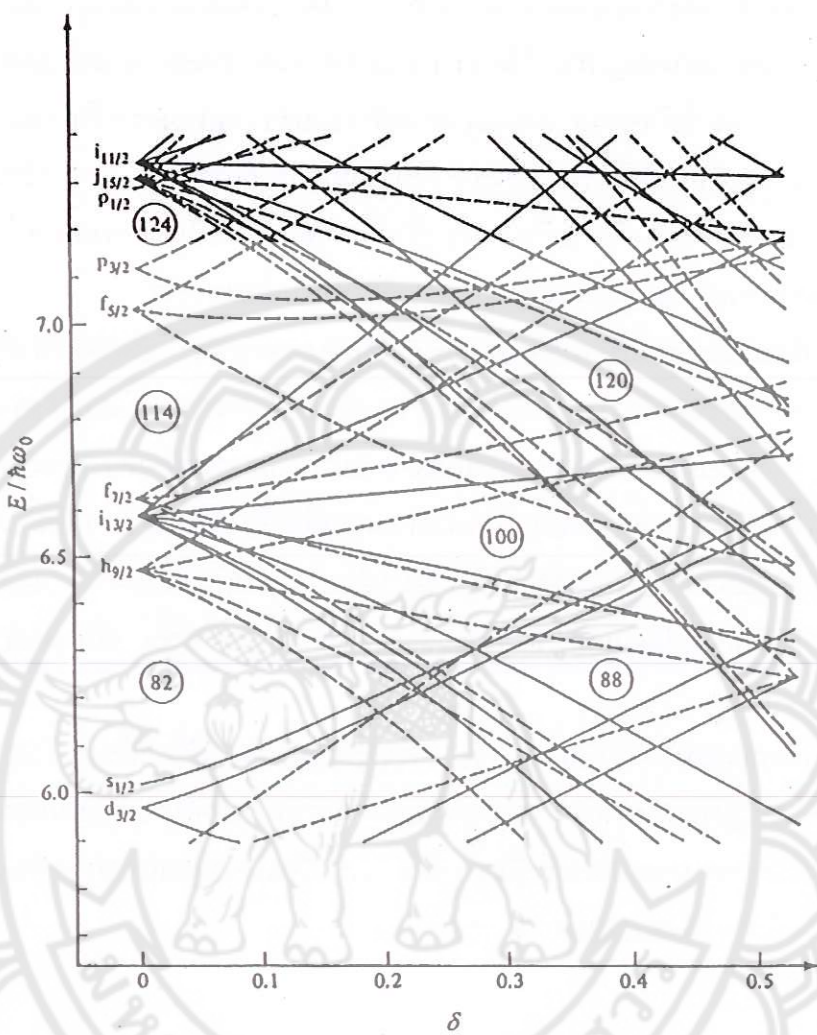
เพื่อเป็นการหลีกเลี่ยงปัญหาดังกล่าว สรุตินสกี (Strutinsky) ได้พัฒนากลวิธีขึ้นมาอีกใน ค.ศ. 1968 โดยพิจารณาถึงความแตกต่างกันระหว่างแบบจำลองหยดของเหลวกับแบบจำลองชั้น โดยเมื่อพิจารณาตามแบบจำลองหยดของเหลวที่ถือว่าภายในนิวเคลียสไม่มีโครงสร้างชั้น ก็สมนัยได้กับการสมนูดิว่าความหนาแน่นของระดับพลังงาน  $\rho(\varepsilon)$  เป็นแบบเอกรูปดังแสดงในรูป 1.10a แต่เมื่อ  $\bar{\rho}(\varepsilon)$  ได้รับผลกระทบจากการนี้โครงสร้างชั้น ความหนาแน่นของระดับพลังงานจะเปลี่ยนไปเป็นแบบในรูป 1.10b และ 1.10c ซึ่งมีความหนาแน่นของสถานะที่พื้นผิวเฟร์นิ (Fermi surface),  $\rho_F(\varepsilon)$ , มากกว่าและน้อยกว่า  $\rho(\varepsilon)$  ตามลำดับ



รูป 1.10 ความหนาแน่นระดับที่พื้นผิวเฟอร์นิ  $\rho_F(\varepsilon)$ : (a)  $\rho_F(\varepsilon) = \bar{\rho}(\varepsilon)$   
 (b)  $\rho_F(\varepsilon) > \bar{\rho}(\varepsilon)$ ; (c)  $\rho_F(\varepsilon) < \bar{\rho}(\varepsilon)$  ผลกระทบของทุกระดับที่ถูกขึ้น  
 (สมมุติให้มีสองนิวเคลียต่อระดับ) แสดงอยู่ข้างล่างของแต่ละชุดระดับ  
 (คัดแปลงจาก N.A. Jelley, *Fundamentals of Nuclear Physics.*, Cambridge:  
 Cambridge University, 1990, p. 149)

ถ้าคุณรวมของทั่วทุกระดับยึดครอง (สมมุติว่าในแต่ละระดับยึดครองมีสองนิวเคลียต่อ) ที่แสดงไว้ที่ได้รูปแต่ละรูป ก็จะเห็นว่ามีเคสเล็กซะยึดแน่นยิ่งขึ้น หาก  $\rho_F(\varepsilon)$  มีค่าน้อยกว่าค่าในแบบจำลองหยดของเหลว  $\bar{\rho}(\varepsilon)$  โดยการเพิ่มขึ้นของพลังงานยึดเหนี่ยวอันเป็นผลจากโครงสร้างขึ้นนี้เป็นสัดส่วนกับ  $[\bar{\rho}(\varepsilon) - \rho_F(\varepsilon)]$  และการแก้ค่าที่ได้จากแบบจำลองหยดของเหลวที่สามารถทำได้โดยการประเมินค่าหานปริมาณอันนี้ การหาค่า  $\bar{\rho}(\varepsilon)$  และ  $\rho_F(\varepsilon)$  สามารถทำได้โดยการใช้แบบจำลองนิลส์สันหา  $\rho(\varepsilon)$  สำหรับเฉพาะรายของการผิดรูปก่อน แล้วต่อจากนั้นค่อยคำนวณหา  $\bar{\rho}(\varepsilon)$  และ  $\rho_F(\varepsilon)$  โดยการเฉลี่ย  $\rho(\varepsilon)$  ตลอดช่วงพลังงานที่มากกว่าหรือน้อยกว่า

การที่ความหนาแน่นระดับ  $\rho(\varepsilon)$  แปรผันกับการผิดรูปเป็นผลให้คุณเห็นกับว่าการแก้ค่าของแบบจำลองหยดของเหลวเป็นฟังก์ชันของการผิดรูป ดังจะเห็นได้ดังในรูป 1.11 ซึ่งเป็นแผนภาพโครงสร้างของระดับพลังงานตามแบบจำลองนิลส์สันสำหรับโปรตอนที่มีจำนวนเป็นเลขคี่และมีจำนวนเกิน  $Z = 82$  ขึ้นไป ที่การผิดรูปเท่ากับศูนย์ เลขกล (magic number) 82 และ 114 จะอยู่ในที่ความหนาแน่นระดับมีค่าน้อยกว่าค่าเฉลี่ย ซึ่งสมนัยได้กับว่านิวเคลียต้องกันอย่างยึดแน่นมาก หากการผิดรูปเพิ่มมากขึ้นเลขกลก็จะเปลี่ยนแปลงไป ที่เดา  $\delta \sim 0.3$  ( $\delta \approx 3\varepsilon/2$ ) นิวเคลียตี่ที่มี 100 โปรตอนจะกลายเป็นนิวเคลียตี่ที่มีเลขกล ซึ่งการเปลี่ยนแปลงของเลขกลตามการผิดรูปที่



รูป 1.11 การเปลี่ยนตามการผิดรูปของความหนาแน่นระดับ ตามแบบจำลองนิลส์สัน สำหรับโปรดอนจำนวนคี่ ที่มีจำนวนเกินกว่า  $Z = 82$  ขึ้นไป (จาก N.A. Jelley, *Fundamentals of Nuclear Physics*, Cambridge: Cambridge University, 1990, p. 150)

เป็นมาผลลัพธ์จากการคำนวณที่มีการแก้ไขโครงสร้างขึ้นนี้ จะทำให้ส่วนแบ่งแยกตัวซึ่งมีแนวโน้มว่าแต่ละส่วนจะต้องมีจำนวนนิวเคลียต่างกันเหลกมีการแยกแยะเป็นแบบสองโทนกดังที่เห็นในรูป 1.9

ในการแบ่งแยกตัวของนิวเคลียส เมื่อนิวเคลียสเพิ่มการผิดรูปมากขึ้น นิวเคลียสจะมีรูปร่างคล้ายกับเป็นสองทรงกลมติดกันอยู่ ซึ่งโดยทั่วไปขนาดของทรงกลมทั้งสองไม่เท่ากัน จากการที่ทรงกลมทั้งสองเยื่องศูนย์กลาง (มีระยะแยกระหว่างศูนย์กลาง) กันนี้ แบบจำลองนิลส์สัน

จึงสามารถนำมาใช้ได้ และสำหรับแต่ละระบบการแยกศูนย์กลาง (หรือการเยื่องศูนย์กลาง) การแก้ค่าเนื่องจากโครงสร้างชั้นจะถูกนำมาใช้เพื่อการคำนวณหาอัตราส่วนของมวลที่แตกต่างกันของส่วนแยกตัวทั้งสอง อันที่จริงอกจากผลของโครงสร้างชั้นแล้ว ผลของการเข้าคู่ (pairing) ก็จะต้องแก้ค่าด้วย และมีแนวโน้มที่จะไปลดตอนขนาดของการแยกค่าอีกด้วย เพราะว่าพลังงานยึดเหนี่ยวเนื่องจากการเข้าคู่จะเพิ่มขึ้นเมื่อ  $\rho(\epsilon)$  เพิ่มขึ้น แต่ที่นับว่าเป็นผลกระทบหลักจริง ๆ ต่อรูปร่างของคำแพงการแบ่งแยกตัวจะมาจาก การแก้ค่าโครงสร้างชั้นมากกว่า

การเปลี่ยนแปลงของคำแพงการแบ่งแยกตัวแบบหยดของเหลว เมื่อได้แก้ค่าอันเนื่องมา โครงสร้างชั้นและการเข้าคู่แล้ว จะเป็นดังในรูป 1.12 ซึ่งเป็นคำแพงการแบ่งแยกตัวของ  $^{240}_{94}\text{Pu}$  โดยที่เห็นเป็นเส้นโค้งหนาทึบเป็นคำแพงการแบ่งแยกตัวที่ได้รับการแก้ค่าแล้ว ส่วนที่เห็นเป็นเส้นประเป็นคำแพงการแบ่งแยกตัวแบบหยดของเหลวตอนที่ขึ้นไม่ได้มีการแก้ค่า มีลักษณะเปลี่ยนที่เห็นก็คือการปรากฏเป็นโหนกคู่ (double hump) ขึ้นในคำแพงการแบ่งแยกตัวที่แก้ค่าแล้ว ซึ่งสะท้อนให้เห็นว่าเป็นการเปลี่ยนแปลงที่มีผลมาจากการแก้ค่าโครงสร้างชั้น เมื่อ  $\rho(\epsilon)$  แปรผันกับการผิดรูปหรือการแยก

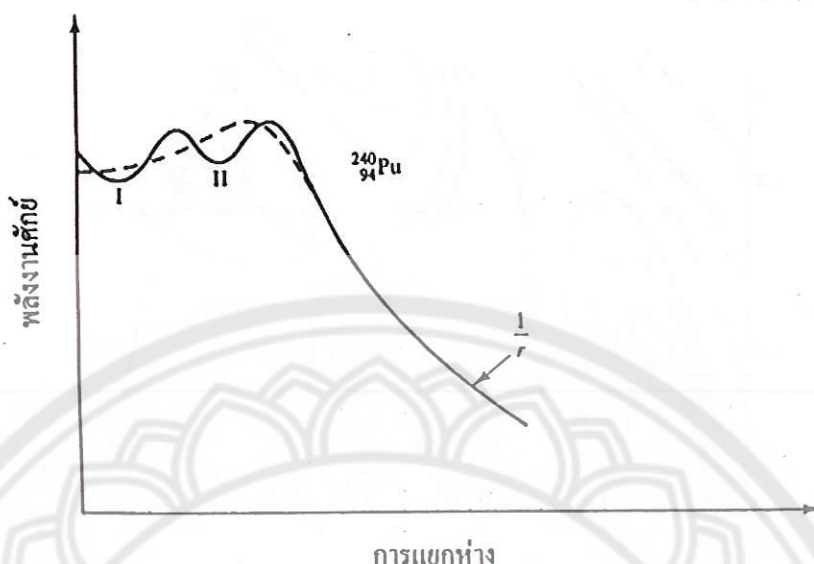
จากการคำนวณกับ  $^{236}\text{U}$  (ครูป 1.13) แสดงว่าการแบ่งแยกตัวจะเริ่มต้นด้วยการแบ่งแยกแบบสมมาตรเมื่อทะลุผ่านคำแพงแรก และถัดจากนั้นแนวโน้มก็จะกลับเป็นแบบ nonsymmetry โดยอัตราส่วนมวลของส่วนแบ่งแยกตัวของที่จะไปเป็น ~ 1.4 ซึ่งสอดคล้องกับผลการสังเกตการแบ่งแยกตัวของ  $^{252}\text{Cf}$  ที่แสดงในรูป 1.9

### 1.3.6 แบบการหมุนไอโซเมอร์การแบ่งแยกตัว (Fission Isomeric Rotational Band)

การปรากฏมิโอนกคู่ขึ้นมาในเส้นโค้งศักย์การแบ่งแยกตัวที่แก้ค่าแล้ว ดังเส้นโค้งของ  $^{240}_{94}\text{Pu}$  ในรูป 1.12 หลุมที่สอง (ในรูปคือหลุม II) ที่เกิดจากศักย์แบบสอง โหนกจะทำให้เกิดสถานะไอโซเมอร์ของการแบ่งแยกตัวขึ้นมาในหลุมนั้น ซึ่งถ้านิวเคลียส  $^{240}_{94}\text{Pu}$  ก่อรูปอยู่ในสถานะต่ำสุดของหลุม II นี้แล้ว การกระตุ้นของนิวเคลียสก็จะอยู่ที่ 2 - 3 MeV และการที่ช่วยชีวิตของการแบ่งแยกตัวผ่านทางคำแพงที่สองมีค่า  $10^{-9}$  s ก็รับกันกับส่วนสูงที่ลดตอนลงของคำแพงศักย์ นอก จากนี้ การสถาบัตัวให้เกมนماขั้นถูกห้ามอย่างแรง เพราะรูปร่างในสถานะต่ำกว่า (ในหลุม I) ซึ่งผิดรูปน้อยมาก



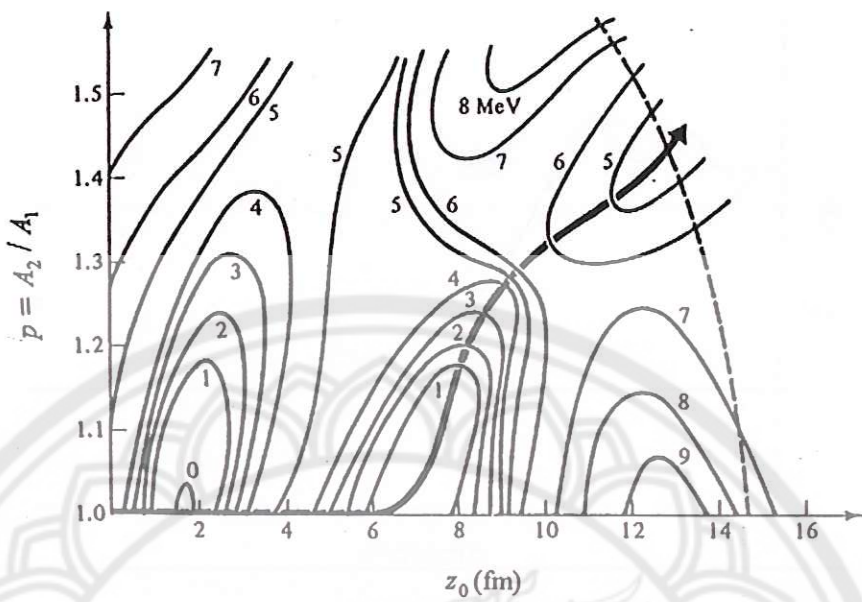
1.6337272

สำนักหอสมุด  
๕ - ส.ค. ๒๕๕๖

รูป 1.12 รูปร่างของกำแพงการแบ่งแยกตัวของ  $^{240}\text{Pu}$  ที่ทำนายโดยแบบจำลองของเหลว (เส้นโปรด) และทำนายโดยแบบจำลองของเหลวรวมกับการแก้โครงสร้างขั้นและการเข้าสู่ (เส้นทึบ)  
(คัดแปลงจาก N.A. Jelley, *Fundamentals of Nuclear Physics.*, Cambridge: Cambridge University, 1990, p. 151)

เนื่องจากว่าสถานะพื้นอยู่ที่ก้นของหลุม I ไอโซเมอร์ซึ่งนิคเน็ตเรียกว่าไอโซเมอร์รูปร่าง (shape isomerism)

การทดลองที่สนับสนุนการตีความไอโซเมอร์การแบ่งแยกตัวดังกล่าว คือการทดลองของสเปชต์ (Specht) และคณะใน ค.ศ. 1972 โดยใช้ปฏิกิริยา  $^{238}\text{U}(\alpha, 2n)^{240}\text{Pu}$  ที่พลังงานต่ำที่สุดของอนุภาคแอลฟ่ามีค่า 25 MeV เป็นตัวสร้างสมາชิกของแบบการหมุนขั้นบนสถานะไอโซเมอร์การแบ่งแยกตัวของ  $^{240}\text{Pu}$  หลังจากนั้นสังเกตการย้ายแบบ E2 (การย้ายควอตซ์โพลทั่วไป) ที่เกิดขึ้นภายในแบบการหมุนนั้น การสังเกตการย้ายทำได้โดยวัดพลังงานการย้าย แต่เนื่องจากว่า  $^{240}\text{Pu}$  มี Z มาก และพลังงานการย้ายมีค่าต่ำ จึงมีอิเล็กตรอนที่หลุดออกมากจากวงโคจรในปริมาณมากของอุณหภูมิหลังของการวัด เพื่อจัดภูมิหลังดังที่กล่าว การวัดการย้ายจึงใช้วิธีวัดการบรรจบกันระหว่างอิเล็กตรอนที่หลุดออกมากเมื่อนิวเคลียสทำการย้าย กับส่วนแบ่งแยกตัว ซึ่งผลการวัดที่ได้สเปกตรัมของอิเล็กตรอนบรรจบ จากการแยกแบบสเปกตรัมของอิเล็กตรอนบรรจบซึ่งเป็นพวกรอต์รอนเปลี่ยนผันจะสนนัยได้กับว่ามีการย้าย E2 ชนิด  $8^+ \rightarrow 6^+$ ,  $6^+ \rightarrow 4^+$  และ  $4^+ \rightarrow 2^+$  เกิดขึ้นในแบบพลังงานการหมุน (ส่วนการย้าย  $2^+ \rightarrow 0^+$  ไม่อาจจำแนกออกจากภูมิหลังโดยวิธีวัดการบรรจบ) ในตาราง 1.2 แสดงพลังงานการย้ายในแบบ



รูป 1.13 เส้นทางคอนทัวร์ (contour) ของพลังงานศักย์ และวิถีการแบ่งแยกตัว (fission path) ของ  $^{236}\text{U}$  พารามิเตอร์  $p = A_2 / A_1$  เป็นอัตราส่วนของมวลส่วนแบ่งแยกตัว และ  $z_0$  เป็น การแบ่งระหว่างส่วนแบ่งแยกตัว (จาก N.A. Jelley, *Fundamentals of Nuclear Physics.*, Cambridge: Cambridge University, 1990, p. 152)

ตาราง 1.2 พลังงานการบ้ำยในเด่นสถานะพื้น (หลุม I) กับในเด่น ไอโซเมอร์ (หลุม II)

การบ้ำย	พลังงานการบ้ำย (keV)	
	หลุม I	หลุม II
$2^+ \rightarrow 0^+$	42.82	
$4^+ \rightarrow 2^+$	95.86	46.6
$6^+ \rightarrow 4^+$	152.63	73.0
$8^+ \rightarrow 6^+$	203.3	99.4
$10^+ \rightarrow 8^+$	253.8	

สถานะพื้น (ในหลุม I) และในเดบ ไอโซเมอร์ (ในหลุม II) โดยมีนต์ความเหลื่อมของเดบ ไอโซเมอร์มากกว่าของเดบสถานะพื้น 2.1 เท่า ซึ่งรับกันกับที่นิวเคลียสผิดรูปในสถานะ ไอโซเมอร์มากกว่าในสถานะพื้น

### เอกสารอ้างอิง

1. A. P. Arya, *Elementary Modern Physics*, Addison-Wesley, Phillipines, 1970.
2. A.P. Arya, *Fundamentals of Nuclear Physics*, Allyn and Bacon, Boston, 1968.
3. J.M. Blatt and V.F. Weisskopf, *Theoretical Nuclear Physics*, John Wiley & Sons, New York, 1952.
4. W.E. Burcham and Jobes, *Nuclear and Particle Physics*, Longman, Singapore, 1995.
5. W. N. Cottingham and D.A. Greenwood, *An Introduction to Nuclear Physics*. 2nd edit, Cambridge University, Cambridge, 2001.
6. A. Das and T. Ferbel, *Introduction to Nuclear and Particle Physics*, John Wiley & Sons, New York, 1994.
7. V. Devanathan, *Nuclear Physics*, Narosha Publishing House, New Delhi, 2006
8. H.A. Enge, *Introduction to Nuclear Physics*, Addison-Wesley, Reading, Massachusetts, 1967.
9. R.D. Evans, *The Atomic Nucleus*, McGraw-Hill, New York, 1955.
10. E.S. Green, *Nuclear Physics*, McGraw-Hill, New York, 1955.
11. E. M. Henley and A. Garcia, *Subatomic Physics*, 3rd edit, World Scientific, New Jersey 2007.
12. K. Heyde, *Basic Ideas and Concepts in Nuclear Physics: An Introductory Approach*, 2nd edit, Institute of Physics, Brista, 1999.
13. N.A. Jelley, *Fundamentals of Nuclear Physics*, Cambridge University, Cambridge, 1990.

## บทที่ 2

### แบบจำลองชั้น (SHELL MODEL)

แนวคิดของแบบจำลองนี้คือ นิวเคลียนที่อยู่ภายในนิวเคลียสจะอยู่เป็นชั้น ๆ คล้ายกับชั้นของอิเล็กตรอนในอะตอม และมีตัวเลขครบทั้งชั้น เช่นเดียวกับอิเล็กตรอนในอะตอมด้วย ความคิดเรื่องต้นในเรื่องแบบจำลองชั้นของนิวเคลียสได้มาจากการพิจารณาตารางธาตุ ซึ่งพบว่าธาตุที่มีเลขอะตอม (atomic number) 2, 10, 18, 36 และ 54 ได้แก่ He, Ne, Ar, Kr และ Xe ตามลำดับ จะเห็นได้ว่าในตารางธาตุที่มีเลขอะตอมของมันรวมกันของธาตุอื่นได้มาก หรือกล่าวอีกนัยหนึ่งคือเกิดปฏิกิริยาเคมีได้มาก และถ้าจะทำให้อะตอมของมันแตกตัวเป็นไอออนก็ทำได้ยากอีก เช่นกัน จึงเรียกบรรดาธาตุเหล่านี้ว่าแก๊ส惰性 (inert gas) เลขอะตอมของแก๊สเหล่านี้อยู่ 2, 10, 18, 36 และ 54 เหล่านี้เรียกว่าเลขกล (magic number) ของตารางธาตุ ซึ่งสมนัยกับตัวเลขชั้นปิดของอิเล็กตรอนในอะตอม เมื่อตรวจสอบสมบัติเชิงสถิต (static property) และสมบัติเชิงพลวัตร (dynamics property) ของนิวเคลียสได้แล้ว ปรากฏผลແเนชัดว่าโครงสร้างของนิวเคลียสจะต้องเป็นชั้นคล้ายกับโครงสร้างของอะตอม ผู้ที่เสนอแบบจำลองชั้นเป็นครั้งแรกได้แก่ จี. กามาว (G. Gamow) และ ดันเบิลยู. เอลแซเซอร์ (W. Elsasser) จากการสรุปหลักฐานพบว่าตัวเลข 2, 8, 20, 28, 50, 82, และ 126 เป็นตัวเลขชั้นปิดของprotoon หรือนิวตรอนภายในนิวเคลียส และเรียกว่าเป็นตัวเลขกลของนิวเคลียส

#### ก. หลักฐานสำหรับโครงสร้างชั้น (Evidence for the Shell Structure)

(1) จำนวนของไอโซโทปเสถียร (Number of Stable Isotope) ธาตุที่มีเลขอะตอมอยู่ในชุดเลขกล จะมีจำนวนไอโซโทปเสถียรมากกว่าธาตุข้างเคียง ตัวอย่าง เช่น  $^{20}_{\Lambda}Ca$  มี 6 ไอโซโทปเสถียร ขณะที่  $^{19}_{\Lambda}K$  มีเพียง 3 และ  $^{21}_{\Lambda}Sc$  มีเพียง 1 ไอโซโทปเสถียรเท่านั้น ในทำนองเดียวกัน  $^{50}_{\Lambda}Rn$  มี 10 ไอโซโทปเสถียร (มากที่สุดในตารางธาตุ) ขณะที่  $^{49}_{\Lambda}In$  และ  $^{51}_{\Lambda}Sb$  มีเพียงธาตุละ 2 ไอโซโทปเสถียร, และ  $^{82}_{\Lambda}Pb$  มี 4 ไอโซโทปเสถียร ขณะที่  $^{81}_{\Lambda}Tl$  และ  $^{83}_{\Lambda}Bi$  มีเพียง 2 และ 1 ไอโซโทปเสถียร ตามลำดับ

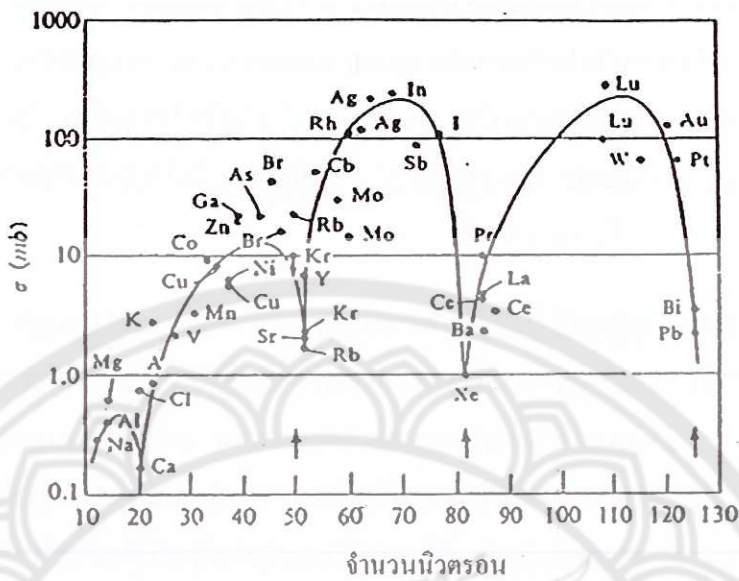
(2) จำนวนของไอโซโทนแสตบิล (Number of Stable Isotone) ธาตุที่มีจำนวนนิวตรอนอยู่ในชุดเลขกlot จะมีจำนวนไอโซโทนแสตบิล (stable isotope) มากกว่าธาตุที่มีจำนวนนิวตรอนข้างเคียง ตัวอย่างเช่น ธาตุที่มีจำนวนนิวตรอน  $N = 20$  มี 5 ไอโซโทนแสตบิล ในขณะที่ธาตุที่มี  $N = 19$  ไม่มีไอโซโทนแสตบิลเลย และธาตุที่มี  $N = 21$  มีเพียง 1 ไอโซโทนแสตบิลเท่านั้น พฤติกรรมเหล่านี้นำไปสู่การค้นพบเลขกlotอื่น ๆ ด้วย

(3) ความสมบูรณ์ของนิวเคลียสในไอโซโทปธรรมชาติ (Natural Isotopic Abundance of the Nuclides) เมื่อพิจารณาถึงความสมบูรณ์ของไอโซโทปที่มีอยู่ในธรรมชาติ ไอโซโทปที่มีจำนวนนิวตรอนและprotoonเท่ากับเลขโดดเด่นนี้ในชุดเลขกlot จะมีความสมบูรณ์มากกว่าความสมบูรณ์โดยทั่วไป ตัวอย่างเช่น ไอโซโทปที่มีเลขมวล  $A$  เป็นเลขคู่ จะมีอยู่เพียง 3 ไอโซโทปเท่านั้นที่มีความสมบูรณ์อยู่มากกว่าร้อยละ 60 และทั้งสามไอโซโทปนี้ต่างก็มีจำนวนนิวตรอนอยู่ในชุดเลขกlot ไอโซโทปเหล่านี้คือ  $^{88}_{38}\text{Sr}$  ( $N = 50$ ) มีความสมบูรณ์ร้อยละ 82.6,  $^{138}_{56}\text{Ba}$  ( $N = 82$ ) มีร้อยละ 71.7 และ  $^{140}_{58}\text{Ce}$  ( $N = 82$ ) มีร้อยละ 88.5 เมื่อพิจารณา  $^{208}_{82}\text{Pb}$  ( $Z = 82, N = 126$ ) ซึ่งมีเลขคู่ จะมีความสมบูรณ์มากกว่าร้อยละ 52.3

(4) ผลผลิตการสลายตัวของอนุกรมกั้มมันตรังสี (Decay Product of Radioactive Series) ผลผลิตสุดท้ายของอนุกรมกั้มมันตรังสี (thorium series), อนุกรมยูเรโนียม (uranium series), และแอกทิเนียม (actinium series) คือ  $^{208}_{82}\text{Pb}$ ,  $^{206}_{82}\text{Pb}$ , และ  $^{207}_{82}\text{Pb}$  ตามลำดับ จะมีเลขอะตอม ( $Z = 82$ ) เป็นเลขกlot โดยเฉพาะ  $^{208}_{82}\text{Pb}$  มีความสมบูรณ์มากที่สุด จะมีจำนวนprotoon ( $Z = 82$ ) และจำนวนนิวตรอน ( $N = 126$ ) เป็นเลขกlotทั้งคู่ ส่วนผลผลิตสุดท้ายของอนุกรมเนพทูนเนียม (neptunium series) คือ  $^{209}_{83}\text{Bi}$  นั้น มี  $N = 126$

(5) ภาคตัดขวางการจับนิวตรอน (Neutron Capture Cross Section) รูป 2.1 แสดงการลงจุดของภาคตัดขวางการจับนิวตรอนกับจำนวนนิวตรอน ซึ่งจากรูปจะเห็นว่านิวเคลียสที่มีจำนวนนิวตรอนเท่ากับเลขกlotพอดีจะมีภาคตัดขวางการจับนิวตรอนต่ำ แสดงว่าจำนวนนิวตรอนที่มีอยู่ของนิวเคลียสมีจำนวนครบชั้นพอดี นิวเคลียสจึงไม่อยากจับนิวตรอนอื่นเข้ามาไว้อีก โดยเฉพาะ  $^{40}_{20}\text{Ca}$  และ  $^{208}_{82}\text{Pb}$  ซึ่งเป็นไอโซโทปมีเลขคู่ (doubly magic number) ทั้งสองไอโซโทปนี้จะมีภาคตัดขวางการจับนิวตรอนต่ำมาก ส่วนนิวเคลียสที่มีจำนวนนิวตรอนน้อยกว่าเลขกlotอยู่หนึ่ง ภาคตัดขวางการจับนิวตรอนจะสูง แสดงว่านิวเคลียสต้องการจับนิวตรอนเข้ามาเพิ่มอีก 1 ตัว เพื่อจะได้มีจำนวนครบชั้นหรือชั้นปิดพอดี

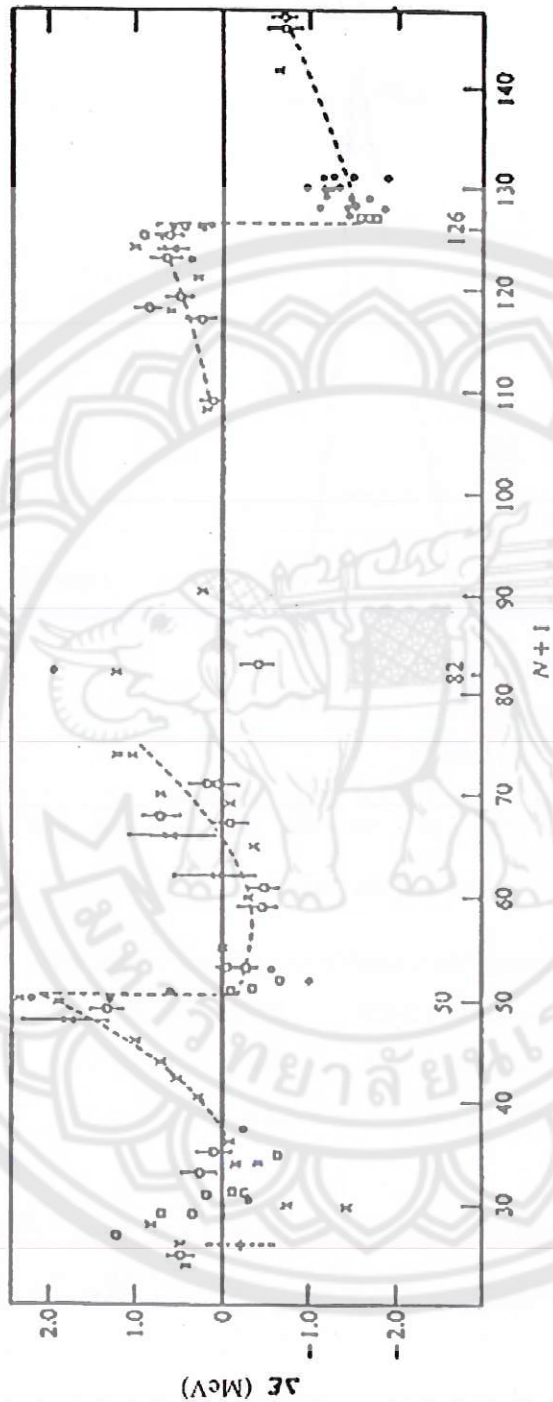
(6) พลังงานยึดเหนี่ยวของนิวตรอนหรือprotoonตัวสุดท้าย (Binding Energy of the



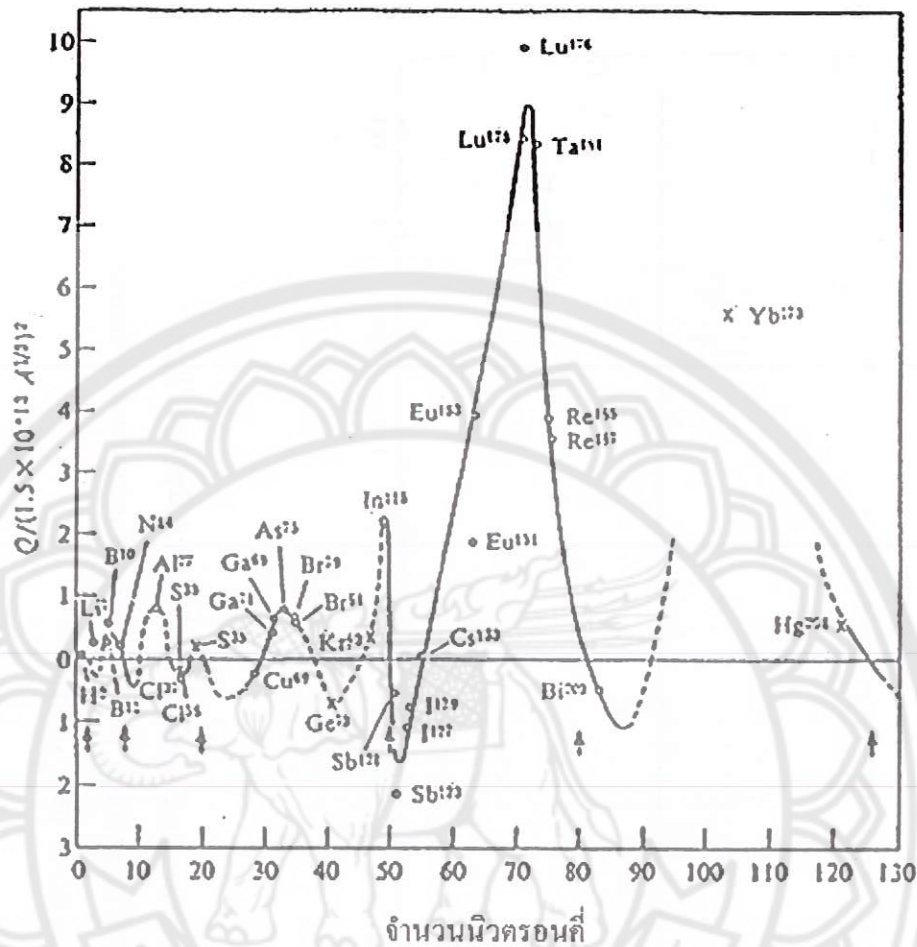
รูป 2.1 การลงจุดระหว่างภาคตัดขวางการจับนิวตรอนกับ  
จำนวนนิวตรอน (คัดแปลงจาก A.P. Arya, *Fundamentals  
of Nuclear Physics.*, Boston: Allyn and Bacon, 1968, p. 357)

Last Proton or Neutron) ถ้าขึ้นปีดอยู่ที่เลขกพอดี ไอโซโทปที่มีจำนวนนิวตรอนหรือโปรตอนอยู่ชุดในเลขกละต้องเสียบมาก ซึ่งมีนัยว่าพลังงานยึดเหนี่ยวของนิวตรอนหรือโปรตอนตัวสุดท้ายที่เพิ่มเข้ามาแล้วขึ้นปีดพอจะต้องมีค่านาก เมื่อตรวจดูความจริงในเรื่องนี้จากรูป 2.2 ซึ่งลงจุดระหว่างพลังงานยึดเหนี่ยวของนิวตรอนตัวสุดท้ายที่เพิ่มเข้ามาแล้วขึ้นปีดพอดี กับจำนวนนิวตรอนบวกหนึ่ง ( $N + 1$ ) ก็จะเห็นว่าพลังงานยึดเหนี่ยวจะมีลดลงที่เห็นได้อย่างชัดเจนเป็นจริงตามนั้น

(7) ธาตุที่คายนิวตรอนตามปกติวิสัย (Spontaneous Neutron Emitters) ถ้าหากแบบจำลองนิวเคลียสเป็นแบบนั้น ธาตุที่มีจำนวนนิวตรอนเกินเลขกลไปหนึ่งตัว (หรือเกินหนึ่งปีดไปหนึ่งตัว) จะต้องมีพลังงานยึดเหนี่ยวของนิวตรอนตัวสุดท้ายต่ำมาก ซึ่งก็เป็นจริงตามนั้น เพราะเมื่อตรวจดูจากธาตุที่มีการคายนิวตรอนตามปกติวิสัยที่รู้จักกันดีสี่ธาตุ ได้แก่  $^{17}\text{O}$ ,  $^{87}\text{Kr}$ ,  $^{137}\text{Xe}$ , และ  $^{89}\text{Kr}$  จะเห็นได้ว่าในบรรดาธาตุที่มีพลังงานยึดเหนี่ยวของนิวตรอนตัวสุดท้ายต่ำมากเหล่านี้ ธาตุที่มีจำนวนนิวตรอนเกินเลขกล (หรืออยู่นอกชั้นปีด) ไปหนึ่งตัวมีลักษณะเดียวกัน คือสามารถคายนิวตรอนได้ แต่ต้องใช้พลังงานที่สูงกว่าปกติ ซึ่งก็เป็นจริงตามนั้น



ปุ๊ 2.2 การแสดงถูกระหว่างผลค่าของพลังงานที่เกี่ยวกับจำนวนนิวเคลียร์ กับเป็น  
หลักฐานแสดงว่าในวงล้อสีมีโครงสร้างซึ่ง (จาก A.P. Arya, *Fundamentals of Nuclear  
Physics*, Boston: Allyn and Bacon, 1968, p. 358)



รูป 2.3 การลงจุดระหว่างค่าคูโอล์โลเมต์กับจำนวนนิวตรอนที่เป็นเลขคี่ เครื่องหมาย  $x$  และ  $o$  แสดงถึงนิวเคลียสที่มีจำนวนนิวตรอนและโปรตอนเป็นเลขคี่ตามลำดับ ถูกศึกษาในภาพจะสมนัยกับเลขกล (ดัดแปลงจาก A.P. Arya, *Fundamentals of Nuclear Physics.*, Boston: Allyn and Bacon, 1968, p. 360)

(8) ค่าคูโอล์โลเมต์ทางไฟฟ้า (Electric Quadrupole Moments) เป็นที่ทราบกันดี ว่าถ้าอนิวเคลียสมีรูปร่างแบบสมมาตรทรงกลม ค่าคูโอล์โลเมต์ทางไฟฟ้าจะมีค่าเป็นศูนย์ แต่ถ้ารูปร่างของมันเบี้ยวไปจากแบบสมมาตรทรงกลม ค่าคูโอล์โลเมต์ทางไฟฟ้าก็จะมีค่ามากขึ้น (ไม่คิดเครื่องหมาย) อันนี้มีความหมายในพจน์ของโครงสร้างชั้นของอนิวเคลียส คือถ้าอนิวเคลียสมีจำนวนนิวเคลียสอยู่ครบชั้นตามเลขกล การแยกແຈงประจุจะเป็นแบบสมมาตรทรงกลม และค่าคูโอล์โลเมต์จะมีค่าเป็นศูนย์หรือเกือบเป็นศูนย์ (มีค่าน้อยมาก) ถ้าอนิวเคลียสมีจำนวนนิวเคลียสอยู่ไม่ครบชั้น การแยกແຈงประจุจะเบี้ยวไปจากแบบสมมาตรทรงกลม ค่าคูโอล์โลเมต์จะมีค่ามากขึ้น ซึ่งจากการพิจารณาข้อเท็จจริงในรูป 2.3 ที่แสดงการลงจุดระหว่าง

ควรดูโพลโนเมนต์ทางไฟฟ้ากับจำนวนนิวเคลียชนี่ ปรากฏว่าเป็นจริงตามการทำนาย กล่าวคือ ไอโซโทปที่มีจำนวนนิวเคลียชนครบทั้งหมด ก็มีค่าควรดูโพลโนเมนต์เป็นศูนย์ หรือไม่ ก็เกือบเป็นศูนย์ ส่วนไอโซโทปที่มีจำนวนนิวเคลียชนอยู่ระหว่างเลขครบทั้ง (เลขกล) ตัวหนึ่งกับ อีกตัวถัดไปจะมีค่าควรดูโพลโนเมนต์มาก

หลักฐานทั้งหมดที่กล่าวมานี้เพียงพอที่จะสรุปได้ว่า นิวเคลียสมีโครงสร้างแบบชั้น โดย มีตัวเลขชั้นปีกของนิวตรอนและโปรตอน (พิจารณาแยกกัน) เป็นไปตามเลขกล โดยเลขกลของ นิวตรอนคือ 2, 8, 20, 28, 50, 82, และ 126 และของโปรตอนคือ 2, 8, 20, 28, 50, และ 82

#### ๔. แบบจำลองชั้นของนิวเคลียส (Nuclear Shell Model)

เลขกลของนิวเคลียสได้มาจากการถอดสมการคลื่นเรอเดิงเรอร์ของอนุภาค (ซึ่งก็คือ นิวเคลียชน) ที่เคลื่อนที่ภายใต้สนาณของแรงที่สมมาตรทรงกลม โดยสมมุติให้ศักย์ของแรงเป็น ศักย์ศูนย์กลาง,  $V(r)$ , แต่รูปแบบของศักย์นั้นกำหนดได้ยาก ศักย์ที่นำมาใช้ในการถอดสมการ คลื่นจึงเป็นศักย์ที่ได้มาจากความเดา (ไม่เหมือนกับศักย์คุณอมบ์ที่นำมาใช้ในการถอดสมการคลื่น ของอะตอมซึ่งเป็นศักย์ที่ทราบรูปแบบแน่นอน)

การคำนวณในแบบจำลองชั้นตั้งอยู่บนข้อสมมุติสองข้อคือ ข้อแรก จะสมมุติให้ นิวเคลียนแต่ละนิวเคลียนเคลื่อนที่อย่างอิสระภายใต้ศักย์ศูนย์กลางที่เป็นพังก์ชันของระยะห่าง จากจุดศูนย์กลางของระบบนิวเคลียน โดยแต่ละนิวเคลียนได้รับอิทธิพลของศักย์เท่าๆ กัน รวมทั้งให้นิวเคลียนเป็นอิสระ ไม่เกี่ยวข้องหรือขึ้นกับนิวเคลียนตัวอื่น ทั้งๆ ที่ตามความจริง แล้วระหว่างนิวเคลียนจะมีแรงดูดอย่างแรงอยู่ในรูปของพลังงานยึดเหนี่ยว ดังมีรายละเอียดอยู่ใน เรื่องสูตรการทดลองของพลังงานยึดเหนี่ยว หรือสูตร ไวส์เซกเกอร์ เราจะเรียกชื่อแบบจำลองชั้น ที่ตั้งอยู่บนข้อสมมุติข้อแรกนี้ว่า แบบจำลองอนุภาคเชิงเดียว (single particle model) ข้อสมมุติข้อ ที่สอง คือ เรากำหนดให้มีสถานะกำหนดแน่ (definite state) ของนิวเคลียนเดียว (single nucleon) และการเติบเต็มขึ้นมาของนิวเคลียนในแต่ละระดับ (สถานะ) ต้องสอดคล้องกับหลักการกีดกัน ของเพาลี

พังก์ชันคลื่นรวมซึ่งเป็นพังก์ชันคลื่นของระบบนิวเคลียน (หรือของนิวเคลียส) จะเป็น พลคุณของพังก์ชันคลื่นของแต่ละนิวเคลียน คือ

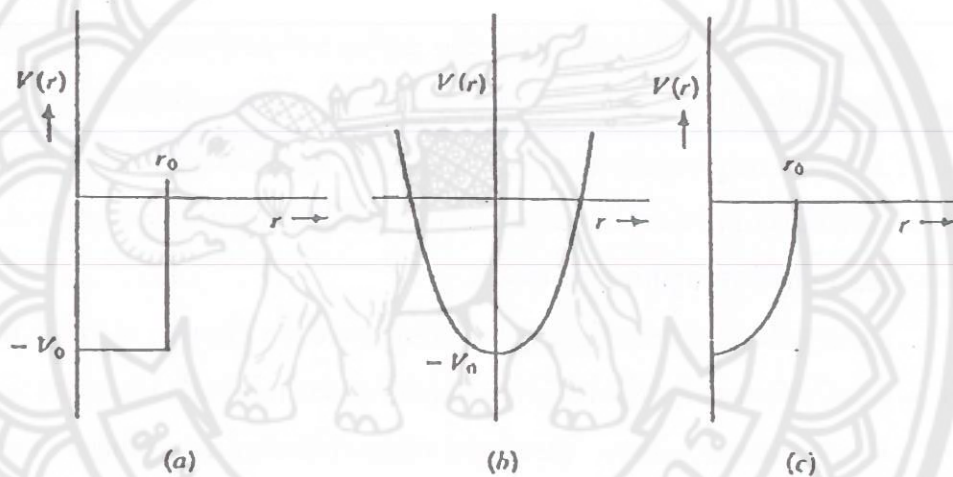
$$\Psi = \phi(1)\phi(2)\phi(3)\dots\phi(n) \quad (2.1)$$

เมื่อ  $\Psi$  เป็นพังก์ชันคลื่นรวม และ  $\phi$  เป็นพังก์ชันคลื่นของแต่ละนิวเคลียน

เพราจะนั่นสมการคลื่นเรอding เออร์ที่เขียนขึ้นตามข้อสมมุติข้างต้น ของนิวเคลียนที่มีมวล  $M$  และโมเมนตัมเชิงมุม  $I\hbar$  เคลื่อนที่ภายใต้ศักย์  $V(r)$  จะเขียนได้เป็น

$$\frac{d^2}{dr^2}(rR) + \frac{2M}{\hbar^2} \left[ E - V(r) - \frac{l(l+1)\hbar^2}{2Mr^2} \right] (rR) = 0 \quad (2.2)$$

เมื่อฟังก์ชันคลื่นรัศมี,  $R$ , และค่าเอนพาราพลังงาน (energy eigenvalue),  $E$ , เป็นฟังก์ชันของทั้งเลขค่าอนตัมรวม (total quantum number),  $n$ , และเลขค่าอนตัมโมเมนตัมเชิงมุม (angular momentum quantum number),  $l$ , โดยชุดเลขค่าอนตัมที่เกบใช้อยู่ในเรื่องอะตอมจะถูกนำมาใช้ในแบบจำลองของนิวเคลียสด้วย ชุดเลขค่าอนตัมนี้ได้แก่  $n, l, j, m$



รูป 2.4 การลงขุนของ (a) ศักย์หลุมสี่เหลี่ยม (b) ศักย์ชาร์มอนิก-อสซิลเลเตอร์ และ (c) ศักย์ผลรวมของศักย์หลุมสี่เหลี่ยมกับศักย์ชาร์มอนิก-อสซิลเลเตอร์ แล้ว (จาก A.P. Arya, *Fundamentals of Nuclear Physics.*, Boston: Allyn and Bacon, 1968, p. 361)

ในการถอดสมการคลื่นข้างบนนี้จำเป็นต้องทราบรูปแบบของฟังก์ชันศักย์  $V(r)$  รูปแบบเชิงรัศมีของศักย์นิวเคลียร์นี้อาจามาได้จากการทดลองการกระเจิง แต่การถอดสมการจะยากมาก ดังนั้นศักย์ที่นำมาใช้ในการคำนวณเป็นศักย์ศูนย์กลาง,  $V(r)$ , ที่มีรูปร่างแบบง่าย ๆ คือศักย์หลุมสี่เหลี่ยม และศักย์ชาร์มอนิก-อสซิลเลเตอร์ (harmonic-oscillator potential) ที่สอดคล้องกับสมบัติของแรงนิวเคลียร์ที่ว่าเป็นแรงพิสัยสั้น เพราศักย์จะเป็นศูนย์ที่ขอบของนิวเคลียสและสอดคล้องกับสมบัติของแรงนิวเคลียร์ที่ให้ค่าพลังงานยืดเห็นี่ยวยต่อ尼วเคลียน มีค่าคงตัว เพราศักย์ลึก แรงกระทำต่อนิวเคลียนจึงมีค่ามากจนกระแทกแรงยืดเห็นี่ยวยต่อ尼วเคลียน มีค่าเหมือนกันหมด รูปแบบของ

พิงค์ชันศักย์หุ่มสี่เหลี่ยมและศักย์หาร์มอนิก-อสซิลเลเตอร์ แสดงในรูป 2.4

(1) ศักย์หุ่มสี่เหลี่ยม เงื่อนไขของศักย์หุ่มสี่เหลี่ยมกำหนดเป็นดังต่อไปนี้

$$\begin{aligned} V(r) &= -V_0 && \text{สำหรับ } r < r_0 \\ &= 0 && \text{สำหรับ } r > r_0 \end{aligned} \quad (2.3)$$

แต่เพื่อให้ง่ายต่อการคำนวณ จะสมมุติให้ขอบหุ่มศักย์เป็นอนันต์ ดังนั้นจึงเขียนเงื่อนไขเดียวกันเป็น

$$\begin{aligned} V(r) &= -V_0 && \text{สำหรับ } r < r_0 \\ &= \infty && \text{สำหรับ } r > r_0 \end{aligned} \quad (2.4)$$

เมื่อใช้เงื่อนไขในสมการ (2.4) กับสมการคลื่น (2.2) แล้วถอดสมการหาผลเฉลย ผลเฉลยของสมการคลื่นที่ได้จะให้ระดับพลังงานเรียงเป็นลำดับนับจากก้นหุ่มศักย์ขึ้นมา ดังต่อไปนี้

$$1s \ 1p \ 1d \ 2s \ 1f \ 2p \ 1g \ 2d \ 1h \ 3s \ 2f \ 1i \ 3p \dots$$

เมื่อ  $s, p, d, f, g, h, \dots$  เป็นสัญกรณ์ในทาง spectroscopy ที่ใช้เขียนแทนสถานะ  $l = 0, 1, 2, 3, 4, 5, \dots$  ตามลำดับ แต่เนื่องจากว่าจำนวน proton หรือนิวตรอนในแต่ละสถานะ  $l$  มีได้จำนวน  $2(2l+1)$  ตัว ขั้นปีกจึงอยู่ที่เลข 2, 8, 18, 20, 34, 40, 58 ซึ่งไม่สมนัยกับเลขกลที่กล่าวไว้ในตอนแรก

(2) ศักย์หาร์มอนิก-อสซิลเลเตอร์ เงื่อนไขของศักย์นี้กำหนดให้เป็น

$$V(r) = -V_0 + \frac{1}{2} Kr^2 \quad (2.5)$$

รูปแบบของศักย์จะเป็นแบบพาราโบลา (parabola) ดังในรูป 2.5 และเมื่อใช้ศักย์หาร์มอนิก ออสซิลเลเตอร์นี้กับสมการคลื่น (2.2) จะได้ค่าเอนพะพลังงานที่มีค่าไม่ต่อเนื่อง และเป็นแบบเต็มหน่วยเรียงขึ้นนานับจากก้นหุ่ม ค่าเอนพะพลังงานที่ได้จะเป็น

$$E = \left( n_1 + n_2 + n_3 + \frac{3}{2} \right) \hbar \omega$$

หรือ

$$E = \left( n_0 + \frac{3}{2} \right) \hbar \omega \quad (2.6)$$

เมื่อ  $n_1, n_2, n_3$  เป็นจำนวนเต็ม และ  $n_0 (= n_1 + n_2 + n_3 \geq 0)$  เป็นจำนวนบวกจำกัด (finite node) ทั้งหมดในฟังก์ชันคลี่น์, ถ้า  $n_0$  เป็นเลขคู่  $l = n_0, n_0 - 2, \dots, 0$  ถ้า  $n_0$  เป็นเลขคี่  $l = n_0, n_0 - 2, \dots, 1$  สภาพซ้อนสถานะ (degeneracy) ของระดับ  $n_0$  ถูกกำหนดให้โดย  $[(n_0 + 1)(n_0 + 2)]$  หรือ  $2(2l + 1)$ , จากทั้งหมดนี้นำไปสู่แผนภาพระดับพลังงานในรูป 2.5b ซึ่งมีการเรียงระดับดังต่อไปนี้

$$1s \ 1p \ 1d \ 2s \ 1f \ 2p \dots$$

ซึ่งได้ตัวเลขขั้นปีกอยู่ที่ 2, 8, 20, 40, 70 และ 112 ซึ่งไม่ตรงกับกันเลขกลของนิวเคลียสเสียทั้งหมด โดยมีสามลำดับแรกคือ 2, 8, 20 นั้นตรง แต่อีกสามลำดับหลังคือ 40, 70 และ 112 นั้นไม่ตรง

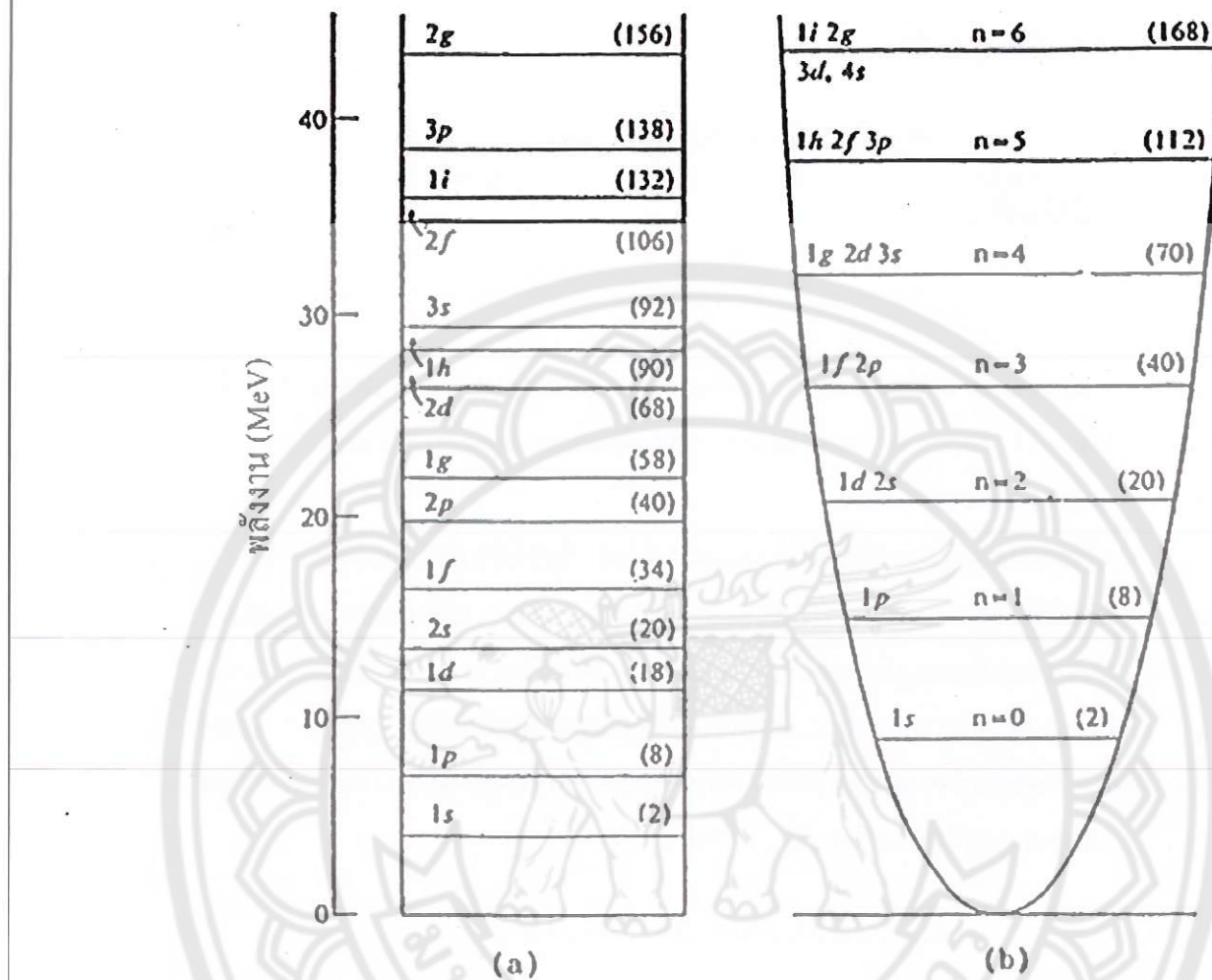
เมื่อใช้ศักย์ผลรวมของศักย์หลุ่มสี่เหลี่ยมกับศักย์ชาร์มอนิก-อสเซิลเลตอร์ ที่มีรูปแบบดังในรูป 2.4c ซึ่งมีเงื่อนไข คือ

$$V(r) = \begin{cases} -V_0(1 - r^2 / r_0^2), & r < r_0 \\ 0 & , r > r_0 \end{cases} \quad (2.7)$$

ผลเฉลยของสมการคลื่นจะให้ตัวเลขขั้นปีกตรงตามเลขกลทั้งหมด ยกเว้น 28 ทั้งนี้ เพราะศักย์ผลรวมนี้คล้ายคลึงกับศักย์ชิง ๆ ของนิวเคลียสมากกว่าพื่อน

#### ก. แบบจำลองการคุ้กคาม สpin-ออร์บิท (The Spin Orbit-Coupling Model)

เมเยอร์ (M. Major) และกุณของแฮกเซล (O. Haxel), เจนเซน (J. Jensen), และซูเอส (H. Suess) ต่างก็ได้เสนอแนวอ่ายางอิสระแต่สอดคล้องกันว่า ในแต่ละพลังงานที่ทำได้มาในแบบจำลองอนุภาคเชิงเดี่ยวที่ก่อตัวมาในหัวข้อ ฯ. จะแยกออกเป็นระดับย่อยได้สองระดับอันเป็นจุดจากกันตรกิริยะระหว่าง โนเมนตัมเชิงนุ่งวิง กองรับ โนเมนตัมเชิงนุ่งสปินของนิวเคลียน ระดับย่อยสองระดับนี้คือระดับพลังงานล่าง (lower energy) และระดับพลังงานบน (higher energy) นิวเคลียนในระดับพลังงานล่างจะมี โนเมนตัมเชิงนุ่งวิง กองรบทบกับ โนเมนตัมเชิงนุ่งสปิน (นั่นคือ  $j = l + \frac{1}{2}$ ) เมื่อ  $j$  เป็นเลขค่อนตัน โนเมนตัมเชิงนุ่งรวม,  $l$  เป็นเลขค่อนตัน โนเมนตัมเชิงนุ่งสปิน (นั่นคือ  $j = l - \frac{1}{2}$ ) อันตรกิริยาระหว่าง โนเมนตัมเชิงนุ่งวิง กองรบทบกับ โนเมนตัมเชิงนุ่งสปินจะเรียกว่า อันตรกิริยาสปิน-ออร์บิท



รูป 2.5 ระดับพลังงานของนิวเคลียส (a) ในศักย์หมุนสีเหลืองที่มีขอบสูงอนันต์  
 (b) ในศักย์หมุนนิก-ออสซิลเลเตอร์ (ดัดแปลงจาก A.P. Arya, *Fundamentals of Nuclear Physics.*, Boston: Allyn and Bacon, 1968, p. 361)

(spin-orbit interaction) ผลลัพธ์ของอันตรกิริยานี้ก่อให้เกิดส่วนของแรงที่เป็นแนวไม่สู่ศูนย์กลาง ( $V(r)$ ) จะต้องเป็นสัดส่วนกับอันตรกิริยานี้ด้วย คือเป็นสัดส่วนกับ  $S.L$  เมื่อ  $S$  เป็นเวกเตอร์ โนเมนตัมเชิงหมุนspin และ  $L$  เป็นเวกเตอร์โนเมนตัมเชิงหมุนวงโคจร ถ้า  $S.L$  มีค่าเป็นบวกพลังงานของนิวเคลียนจะลดลง ถ้า  $S.L$  มีค่าเป็นลบพลังงานของนิวเคลียนจะเพิ่มขึ้น จึงมีนัยสรุปได้ว่า สถานะ  $j = l + \frac{1}{2}$  มีพลังงานน้อยกว่า และวางแผนอยู่ต่ำกว่าสถานะ  $j = l - \frac{1}{2}$  ซึ่งกลับกันกับกรณีของอิเล็กตรอนในอะตอม

เพราจะนั้นเมื่อใช้ศักย์ในรูปแบบ  $V(r) S.L$  โดยที่  $V(r)$  เป็นศักย์รวมของศักย์

หกุณสีเหลี่ยมกับศักย์สาร์มอนิก-อสซิลเลเตอร์ตามสมการ (2.7) ระดับพลังงานที่ได้ออกมาจะมี การเรียงลำดับนับจากก้นหกุณดังนี้

$$1s_{1/2}, 1p_{3/2}, 1p_{1/2}, 1p_{5/2}, 1d_{3/2}, 2s_{1/2}, \dots$$

และตัวเลขชั้นปิดที่ได้จะเป็น

$$2, 8, 20, 28, 50, 82, 126$$

ซึ่งสอดคล้องกับเลขกลของนิวเคลียสทั้งหมด ระดับพลังงานแสดงในรูป 2.6 เลขค่อนต้มที่ใช้ ในแบบจำลองนี้คือ  $n, l, j$  และ  $m_j$  ความสามารถสูงสุดที่แต่ละระดับพลังงานจะรับจำนวน โปรตอนหรือนิวตรอนได้คือ  $2j+1$  ตัว

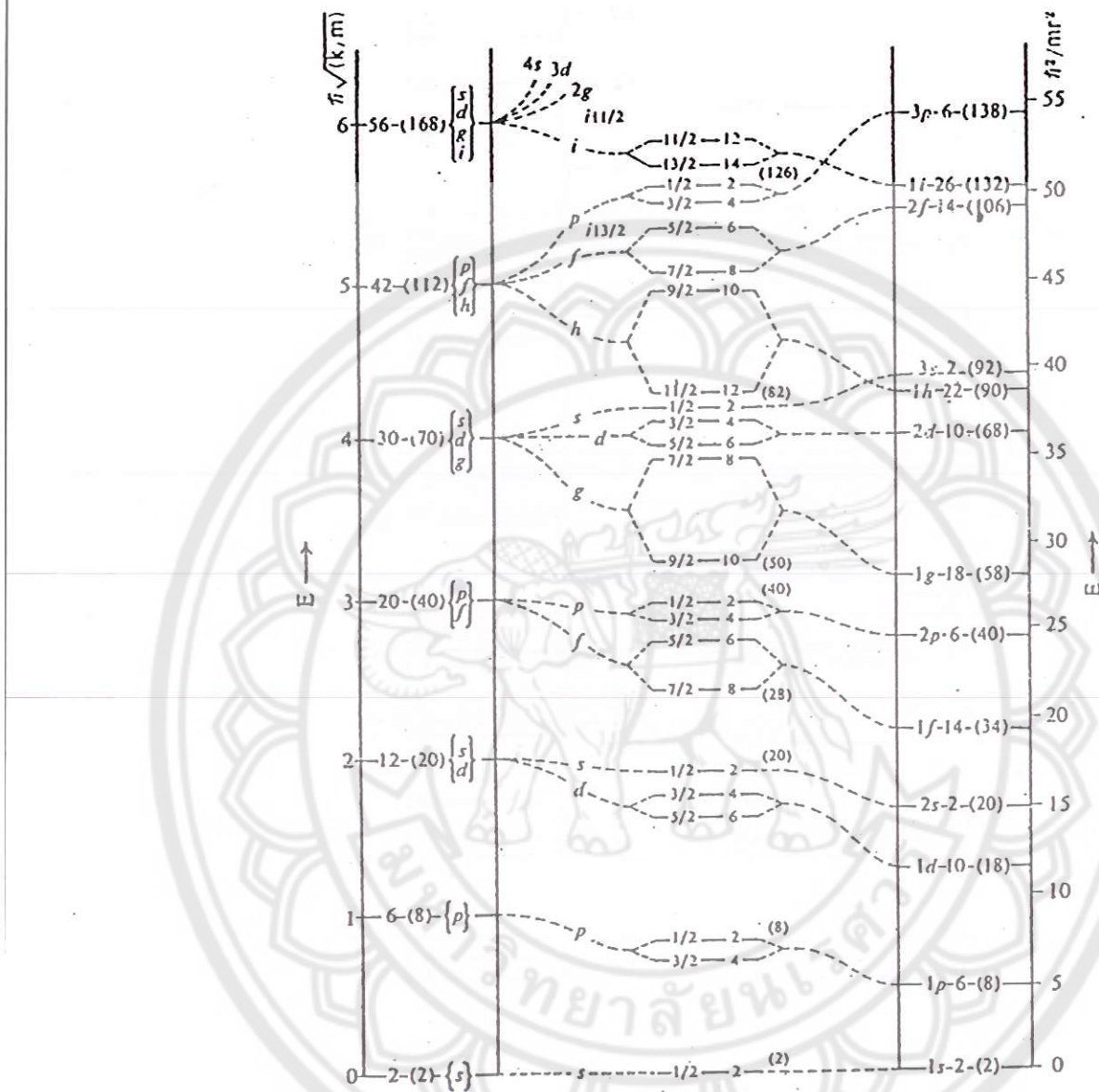
อันตรกิริยาสปิน-ออร์บิทเป็นผลมาจากการแรงนิวเคลียร์ ไม่ใช่เป็นผลทางแม่เหล็กไฟฟ้า ความแรงของอันตรกิริยาจึงแรงกว่าอันตรกิริยาทางแม่เหล็กมาก แต่ความจริงยังมีผลของอันตรกิริยาทางคูลอมบ์ระหว่างโปรตอนเข้ามาเกี่ยวข้องด้วย ซึ่งทำให้ระดับพลังงานของโปรตอนเดื่องแตกต่างออกไปจากระดับพลังงานของนิวตรอนเด็กน้อยที่เลขค่อนต้มเดียวกัน ในรูป 2.7 แสดงระดับพลังงานที่นำผลคูลอมบ์ (Coulomb effect) และผลการเข้าคู่ (pairing effect) มาเกี่ยวข้องด้วย ซึ่งระดับพลังงานที่เลขค่อนต้มน้อย ๆ จะเรียงลำดับเป็น

$$1s_{1/2}, 1p_{3/2}, 1p_{1/2}, 1d_{5/2}, 2s_{1/2}, 1d_{3/2}, 1f_{7/2}, \dots$$

#### ๔. การประยุกต์ (Applications)

แบบจำลองชั้นของนิวเคลียสสำรองอยู่ได้ เพราะสามารถทำงานยสมบัติของนิวเคลียสได้ สอดคล้องกับผลการทดลองค่อนมาก ดังจะได้กล่าวเป็นข้อ ๆ ต่อไปนี้ ณ นี้เวลาใช้แบบจำลองชั้นมา ทำงานยสมบัติของนิวเคลียสให้สมนูดกับนิวเคลียสเดิม มีอยู่เต็มในทุกระดับพลังงานนับตั้งแต่ระดับ ต่ำสุดขึ้นมา เว้นแต่ในระดับสุดท้ายซึ่งนิวเคลียสอนอาจเหลือมีจำนวนเป็นเศษ ทำให้ระดับสุดท้าย มีอยู่ไม่เต็มระดับ

- (1) สปินและแพริตีของนิวเคลียส (Nuclear Spins and Parities) ในการทำงาน 旋磁และแพริตีของนิวเคลียสไอที่อยู่ในสถานะพื้น โดยใช้แบบจำลองชั้น ถ้าเราพิจารณาตามนี้คือ
  - (i) ในระดับพลังงานที่มีนิวเคลียสอนอยู่เต็ม (ชั้นหรือชั้นย่อย) ผลรวมของโนเมนตัมเชิงมุมวงโคจร กับโนเมนตัมเชิงมุมสปินของทุกนิวเคลียสอน จะได้ผลลัพธ์เป็นโนเมนตัมเชิงมุมรวมที่มีค่าเท่ากับ



รูป 2.6 ลำดับของระดับพลังงานของนิวเคลียร์ตามแบบจำลองชั้น

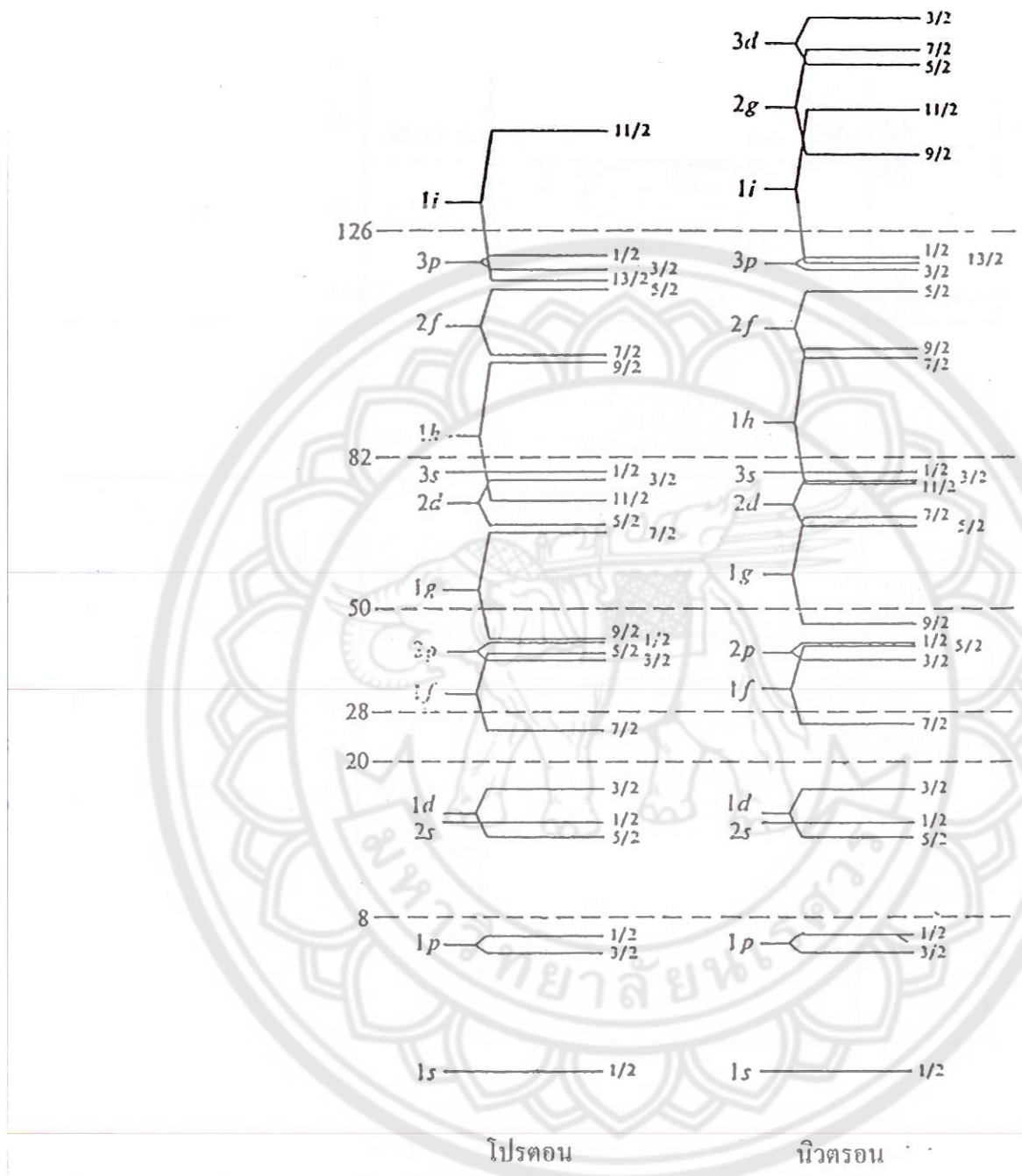
ความเมื่อเป็นระดับพลังงานเนื่องจากศักย์หุ่มสี่เหลี่ยม ข่ายเมื่อเป็นระดับ

พลังงานเนื่องจากศักย์ harmonic oscillator ตรงกลาง เป็นระดับ

พลังงานที่ได้จากการใช้ศักย์รวมทั้งสองแบบและนำผลของการคุณ

ศึกษา - ออร์บิทมาเกี่ยวข้องด้วย (จาก A.P. Arya, *Fundamentals of*

*Nuclear Physics*, Boston : Allyn and Bacon, 1968, p. 364)



รูป 2.7 ผังระดับพลังงานของนิวตรอนและโปรตอนตามแบบจำลองชั้น  
ระดับพลังงานของโปรตอนได้ถูกแก้ไขผลทางคุณสมบัติแล้ว (ดัดแปลงจาก  
A.P. Arya, *Fundamentals of Nuclear Physics.*, Boston: Allyn and Bacon,  
1968, p. 366)

คูนย์ (ii) ในระดับพัฒนาที่มีนิวเคลียอนอยู่ไม่เต็ม นิวเคลียจะเข้ากัน (คู่โปรตอน- โปรตอน หรือ นิวตรอน-นิวตรอน แต่จะไม่เป็นคู่ โปรตอน-นิวตรอน) ข้อสมนุติทั้งสองนี้จะทำให้ได้กฎ การคู่ควน (coupling rule) ที่ใช้สำหรับสpinและแพริทีบีนมาดังต่อไปนี้:

### กฎการคู่ควน (Coupling Rule)

กฎข้อที่ 1 ในสถานะพื้นของนิวเคลีย คู่-คู่ (even-even nuclei) จะมีโนเมนตัมเชิงมุนรวม (หรือเรียกอีกอย่างหนึ่งว่า สpin ของนิวเคลียส) เป็นคูนย์ และมีแพริทีคู่ (even parity) เพราะ

$$\sum J_N = 0, \text{ และ } \sum J_p = 0$$

เมื่อ  $J_N$  และ  $J_p$  เป็นโนเมนตัมเชิงมุนรวมของนิวตรอนและโปรตอนตามลำดับ

### กฎข้อที่ 2

(2.1) ในนิวเคลียที่มีจำนวนโปรตอนเป็นเลขคี่ และมีจำนวนนิวตรอนเป็นเลขคู่ หรือนิวเคลีย คี่-คู่ (odd-even nuclei) จะมี

$$\sum J_N = 0, \text{ และ } \sum J_p \neq 0$$

ในการถีเร่นนี้ การบอกโนเมนตัมเชิงมุนรวม (spin) และแพริทีของสถานะนิวเคลียส จะบอกจากโนเมนตัมเชิงมุนรวม,  $j$ , และแพริที  $\pi$ , ของสถานะที่โปรตอนคี่ตัวสุดท้ายอยู่

(2.2) ในนิวเคลียที่มีจำนวนโปรตอนเป็นเลขคู่ และมีจำนวนนิวตรอนเป็นเลขคี่ หรือนิวเคลีย คู่-คี่ (even-odd nuclei) จะมี

$$\sum J_N \neq 0, \text{ และ } \sum J_p = 0$$

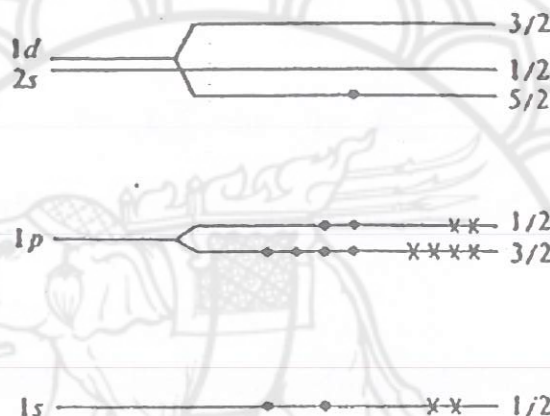
ในการถีเร่นนี้ การบอกโนเมนตัมเชิงมุนรวม (spin) และแพริทีของสถานะนิวเคลียสจะบอกได้จากโนเมนตัมเชิงมุนรวม,  $j$ , และแพริที,  $\pi$ , ของสถานะที่นิวตรอนคี่ตัวสุดท้ายอยู่

(2.3) สำหรับในนิวเคลียสที่มีจำนวนนิวตรอนและโปรตอนเป็นเลขคี่ทั้งคู่ หรือคือ

นิวเคลียสีคี่-คี่ (odd-odd nuclei) จะมี

$$\sum \mathbf{J}_N \neq 0, \text{ และ } \sum \mathbf{J}_p \neq 0$$

ในกรณีเช่นนี้โนเมนตัมเชิงมุ่นรวม (สปิน) ของสถานะนิวเคลียสจะมีค่าไม่แน่นอน โดยจะมีค่าอยู่ระหว่าง  $|j_p - j_N|$  ถึง  $|j_p + j_N|$  เมื่อ  $j_N$  และ  $j_p$  เป็นโนเมนตัมเชิงมุ่นรวม,  $j$ , ของสถานะที่นิวตรอนคือตัวสุดท้ายและโปรตอนคือตัวสุดท้ายอยู่ ตามลำดับ



รูป 2.8 การเรียงระดับพลังงานของ  $^{17}_{\text{O}}$  ที่มีนิวตรอนคือตัวสุดท้ายอยู่ที่สถานะ  $1d_{5/2}$ , เครื่องหมาย x แสดงว่าเป็นโปรตอน ส่วนเครื่องหมาย o แสดงว่าเป็นนิวตรอน (จาก A.P. Arya, *Fundamentals of Nuclear Physics.*, Boston: Allyn and Bacon, 1968, p. 368)

ตัวอย่างเช่น การทำนายโนเมนตัมเชิงมุ่นรวมหรือสปินของนิวเคลียส  $^{17}_{\text{O}}$  ซึ่งมีจำนวนโปรตอนเป็นเลขคู่คือ  $Z = 8$  และมีจำนวนนิวตรอนเป็นเลขคี่คือ  $N = 9$  นิวตรอนคือตัวสุดท้ายคือตัวที่ 9 อยู่ที่สถานะ  $1d_{5/2}$  ที่มี  $j = 5/2$  ดังในรูป 2.8 ดังนั้นจากกฎการคูณคุณข้อ 2.2 จะบอกได้ว่า โนเมนตัมเชิงมุ่นรวมหรือสปินของนิวเคลียส  $^{17}_{\text{O}}$  คือ  $5/2$  อีกตัวอย่างหนึ่ง คือการทำนาย โนเมนตัมเชิงมุ่นรวมหรือสปินของนิวเคลียส  $^{17}_{\text{F}}$  ซึ่งมีจำนวนโปรตอนเป็นเลขคี่คือ  $Z = 9$  และมีจำนวนนิวตรอนเป็นเลขคี่คือ  $N = 8$  โปรตอนคือตัวสุดท้ายอยู่ที่สถานะ  $1d_{5/2}$  ที่มี  $j = 5/2$  ดังนั้น จากกฎการคูณคุณข้อ 2.1 จะบอกได้ว่า โนเมนตัมเชิงมุ่นรวมหรือสปินของ  $^{17}_{\text{F}}$  คือ  $5/2$  (อนึ่ง: จะเห็นว่าการบอกโนเมนตัมเชิงมุ่นรวมหรือสปินของนิวเคลียสนิยมนบอกเป็นเลขค่อนตัม เช่นเลข

5/2 นี่ ความจริงคือเลขค่อนต้มโนเม็นต้มเชิงมุรวมหรือเลขค่อนต้มสปินนั่นเอง)

ส่วนการทำนายเพรตีของนิวเคลียสให้ดูจากเลขค่อนต้มโนเม็นต้มเชิงมุวงโคจร  $l$

ของระดับพลังงานหรือสถานะที่นิวเคลียนคือตัวสุดท้าย (โปรตอนคือหีบอนิวตรอนคือตัวสุดท้าย) อยู่ ถ้า / เป็นเลขคี่ เพรตีของนิวเคลียสจะเป็นเพรตีคี่ (odd parity) หรือเพรตีลบ (negative parity) ถ้า / เป็นเลขคู่ เพรตีของนิวเคลียสจะเป็นเพรตีคู่ (even parity) หรือเพรตีบวก (positive parity)

เพราะจะนั่นจากตัวอย่างที่  $^{17}_8\text{O}$  มีนิวตรอนตัวสุดท้ายอยู่ที่สถานะ  $1d_{5/2}$  ซึ่งมี  $l = 2$  แสดงว่ามี เพรตีคู่ และ  $^{17}_9\text{F}$  มีโปรตอนตัวสุดท้ายอยู่ที่สถานะ  $1d_{5/2}$  ซึ่งมี  $l = 2$  ก็แสดงว่ามีเพรตีคู่ เช่นเดียวกัน

ตาราง 2.1 สปินของนิวเคลียลค์ที่บางนิวเคลียลค์ ที่ได้จากการวัด และ การทำนายโดยแบบจำลองชั้น (ดัดแปลงจาก A.P. Arya, *Fundamentals of Nuclear Physics.*, Boston: Allyn and Bacon, 1968, p. 367)

นิวเคลียลค์	สปินและเพรตี	
	จากการทำนาย	จากการวัด
นิวตรอน	$1s_{1/2}$	$1/2^+$
โปรตอน	$1s_{1/2}$	$1/2^+$
$^3_1\text{H}$	$1s_{1/2}$	$1/2^+$
$^3_2\text{He}$	$1s_{1/2}$	$1/2^+$
$^7_3\text{Li}$	$1p_{3/2}$	$3/2^-$
$^9_4\text{Be}$	$1p_{3/2}$	$3/2$
$^{11}_5\text{B}$	$1p_{3/2}$	$3/2$
$^{13}_6\text{C}$	$1p_{1/2}$	$1/2$
$^{17}_8\text{O}$	$1d_{5/2}$	$5/2$
$^{17}_9\text{F}$	$1d_{5/2}$	$5/2$
$^{19}_9\text{F}$	$1d_{5/2}$	$1/2^*$
$^{23}_{11}\text{Na}$	$1d_{5/2}$	$3/2^*$
$^{43}_{20}\text{Ca}$	$1f_{7/2}$	$7/2$
$^{51}_{23}\text{V}$	$1f_{7/2}$	$7/2^-$
$^{129}_{53}\text{I}$	$1g_{7/2}$	$7/2^+$

ตาราง 2.1 แสดงสปินของนิวเคลียต์ที่มีจำนวนนิวเคลียลีอ่อนเป็นเลขคู่ ที่ได้มาจากการทำนายโดยแบบจำลองชั้นและจากการวัด ค่าจากการทำนายและการวัดส่วนใหญ่ก็จะสอดคล้องกันดี ยกเว้นบางนิวเคลียต์คือ  $^{19}\text{F}$  และ  $^{23}\text{Na}$  ซึ่งมีความคลาดเคลื่อน ก่อตัวคือ  $^{19}\text{F}$  มีสปินจากการทำนายมีค่าเป็น  $5/2$  โดยโปรดอนค่าตัวสุดท้ายอยู่ที่สถานะ  $1d_{5/2}$  แต่สปินที่ได้จากการวัดกลับมีค่าเป็น  $1/2$  สาเหตุของความคลาดเคลื่อนอาจอธิบายง่าย ๆ ได้ว่าเป็นเพราะสถานะ  $1d_{5/2}$  และ  $2s_{1/2}$  อยู่ใกล้กันมาก โปรดอนค่าตัวสุดท้ายจึงไปอยู่ที่สถานะ  $2s_{1/2}$  หากกว่าจะอยู่ที่สถานะ  $1d_{5/2}$  อันนี้อาจอธิบายได้ว่าเป็นผลมาจากการคุ้กควนระหว่างนิวเคลียต์ที่อยู่ในห้องชั้นปิดคือสองนิวตรอนที่อยู่ที่สถานะสปิน  $5/2$  กับหนึ่งโปรตอนที่อยู่ที่สถานะสปิน  $5/2$  (นิวเคลียต์แต่ละตัวจะมีสปินของตัวมันเองเป็น  $1/2$ ) การคุ้กควนระหว่างนิวเคลียต์ที่อยู่ในห้องชั้นปิดนี้ก่อให้เกิดสปินลักษณะเป็น  $1/2$  อีกตัวอย่างหนึ่งคือ  $^{23}\text{Na}$  ก็เช่นเดียวกัน สปินที่ได้จากการทำนายมีค่าเป็น  $5/2$  แต่จากการวัดมีค่าเป็น  $3/2$  สาเหตุของความคลาดเคลื่อนก็อาจอธิบายได้เช่นเดียวกับกรณีของ  $^{19}\text{F}$

ความคลาดเคลื่อนนี้จะเกิดที่สถานะโนเมนตัมเชิงบูรณาการ (สปิน) สูง ๆ ซึ่งเราจะพบว่ามีนิวเคลียต์ที่มี  $A$  สูง ๆ อยู่หลายนิวเคลียต์ ที่จากการทำนายพบว่ามีนิวเคลียต์ที่ตัวสุดท้ายอยู่ที่สถานะ  $1h_{11/2}$  แต่จากการวัดปรากฏว่าไม่พบนิวเคลียต์ที่มีสปิน  $11/2$  เลย สาเหตุของความคลาดเคลื่อนเป็นเพราะว่าแบบจำลองชั้นอยู่บนข้อสมมุติที่ว่านิวเคลียต์แต่ละตัวเป็นอิสระไม่เกี่ยวข้องกัน จึงไม่ได้นำเอาเรื่องการมีพัฒนาการงานยึดเหนี่ยวมากเป็นพิเศษหากนิวเคลียต์เข้าคู่กันมาพิจารณาด้วย ซึ่งเมื่อโนเมนตัมเชิงบูรณาการสูงขึ้นพัฒนาการยึดเหนี่ยวของ การเข้าคู่จะมากขึ้นตามไปด้วย ดังนั้นที่สถานะที่มีโนเมนตัมเชิงบูรณาการสูง ๆ นิวเคลียต์จะอยู่ในลักษณะเข้าคู่กัน นิวเคลียต์ตัวที่เหลือจะจาก การเข้าคู่จึงต้องเลื่อนขึ้นไปอยู่ในระดับพัฒนาการที่สูงขึ้น แต่มีโนเมนตัมเชิงบูรณาการน้อยกว่า และเสถียรภาพมากกว่า ดังตัวอย่างของเรื่องนี้ได้แก่  $^{137}\text{Ba}$  ซึ่งนิวตรอนค่าตัวสุดท้าย (คือตัวที่ 81) ควรจะอยู่ที่สถานะ  $1h_{11/2}$  แต่จากการวัดพบว่ามีสปิน  $3/2$  แสดงว่า�ิวตรอนค่าตัวสุดท้ายเลื่อนขึ้นไปอยู่ในสถานะ  $2d_{3/2}$

แพริเตี๊ยของระบบกำหนดได้จาก  $(-1)^l$  ถ้าหากนิวเคลียต์ที่ตัวสุดท้ายอยู่ที่สถานะ  $s, d, g, \dots$  ซึ่ง  $l = 0, 2, 4, \dots$  ตามลำดับ แพริเตี๊ยจะเป็นบวก (+) แต่ถ้าอยู่ที่สถานะ  $p, f, h, \dots$  ซึ่ง  $l = 1, 3, 5, \dots$  ตามลำดับ แพริเตี๊ยจะเป็นลบ (-)

(2) โนเมนต์แม่เหล็ก (Magnetic Moment) เราจะเห็นว่าบนพื้นฐานของทฤษฎีของอนุภาคเชิงเดี่ยว (หรือแบบจำลองชั้น) การหาสมบัติของนิวเคลียต์ให้จากนิวเคลียต์ที่ตัวสุดท้ายการคำนวณหาโนเมนต์แม่เหล็กก็ด้วยเช่นกัน ในกรณีนิวเคลียต์คู่-คู่ สปินจะเป็นศูนย์ โนเมนต์แม่เหล็กก็จะเป็นศูนย์ด้วย สำหรับกรณีที่นิวเคลียต์มี  $A$  เป็นเลขคู่ ค่าโนเมนต์แม่เหล็กก็จะ

## กำหนดให้โดย

$$\mu = g_I a_I \mathbf{j} + g_s a_s \mathbf{j} \quad (2.8)$$

เมื่อ  $g_I = 1$  สำหรับโปรตอน และ  $g_I = 0$  สำหรับนิวตรอน, และ  $g_s = 5.5854$  สำหรับโปรตอน และ  $g_s = -3.8262$  สำหรับนิวตรอน สัมประสิทธิ์  $a_I$  และ  $a_s$  เป็นโพเรกชันของ I และ s บน  $\mathbf{j}$  ตามลำดับ

$$a_I = \frac{\mathbf{i} \cdot \mathbf{j}}{|\mathbf{j}|^2} = \frac{j(j+1) + l(l+1) - s(s+1)}{2j(j+1)} \quad (2.9)$$

และ

$$a_s = \frac{\mathbf{s} \cdot \mathbf{j}}{|\mathbf{j}|^2} = \frac{j(j+1) + s(s+1) - l(l+1)}{2j(j+1)} \quad (2.10)$$

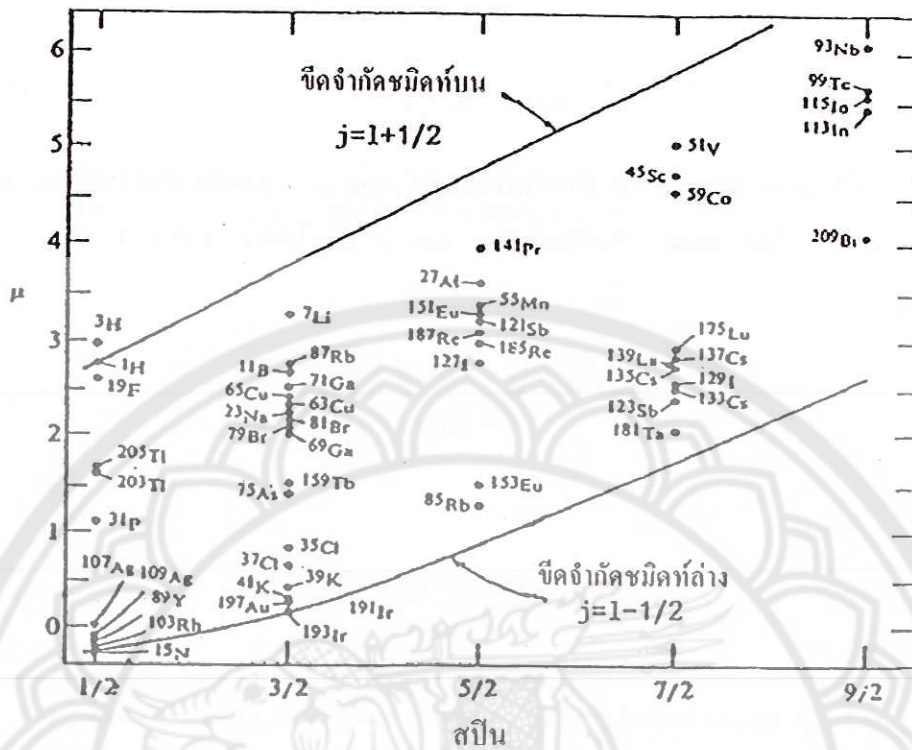
แทนสมการ (2.9) และ (2.10) ลงในสมการ (2.8) และแทน  $s = \frac{1}{2}$  และ  $j = l + \frac{1}{2}$  หรือ  $j = l - \frac{1}{2}$  จะได้สมการ (2.8) ใหม่เป็น

$$\mu_I = \left( j - \frac{1}{2} \right) g_I + \frac{1}{2} g_s \quad \text{สำหรับ } I = j = l + \frac{1}{2} \text{ หรือ } l = j - \frac{1}{2} \quad (2.11)$$

และ

$$\mu_I = \frac{j}{j+1} \left[ \left( j + \frac{3}{2} \right) g_I - \frac{1}{2} g_s \right] \quad \text{สำหรับ } I = j = l - \frac{1}{2} \text{ หรือ } l = j + \frac{1}{2} \quad (2.12)$$

ค่า  $\mu$  ในรูปแบบของสมการข้างบนนี้เรียกว่า จีดจำกัดของชmidท์ (Schmidt's limit) เพราะ ที่ชmidท์ (T. Schmidt) เป็นผู้กำหนดรูปแบบของสมการดังกล่าว ในรูป 2.9 แสดงการลงจุดโนมэнต์ แม่เหล็กที่ได้จากการวัด เทียบกับสpin I ( $= j$  ของนิวเคลียนคู่ในแบบจำลองอนุภาคเชิงเดียว) ของนิวเคลียลมี A เป็นเลขคู่ ชนิดที่มี Z เป็นเลขคู่ และ N เป็นเลขคู่ ส่วนในรูป 2.10 ที่ เช่นเดียวกัน แต่เป็นของนิวเคลียล์ A ที่ ชนิดที่มี N เป็นเลขคี่ และ Z เป็นเลขคู่ และได้แสดง จีดจำกัดของชmidท์ไว้ในรูปด้วย จากรูป 2.9 และ 2.10 จะเห็นว่าโนมэнต์แม่เหล็กจะต้องอยู่ภายใต้ จีดจำกัดของชmidท์นี้ โดยส่วนใหญ่ของมันมีแนวโน้มที่จะอยู่ใกล้จีดจำกัดโดยจีดจำกัดหนึ่ง คือ ไม่เข้าใกล้จีดจำกัดชmidท์ล่าง (lower schmidt limit) ที่เข้าใกล้จีดจำกัดชmidท์บน (upper schmidt limit) การที่มันอยู่แยกห่างออกจากจีดจำกัดทั้งสองนี้อาจอธิบายได้ว่าเนื่องจากโนมэнต์แม่เหล็ก เป็นผลลัพธ์มาจากการทดสอบ (หมายเหตุ: ซึ่งไม่สามารถเป็นสถานะผสมของจีดจำกัด  $j = l - \frac{1}{2}$



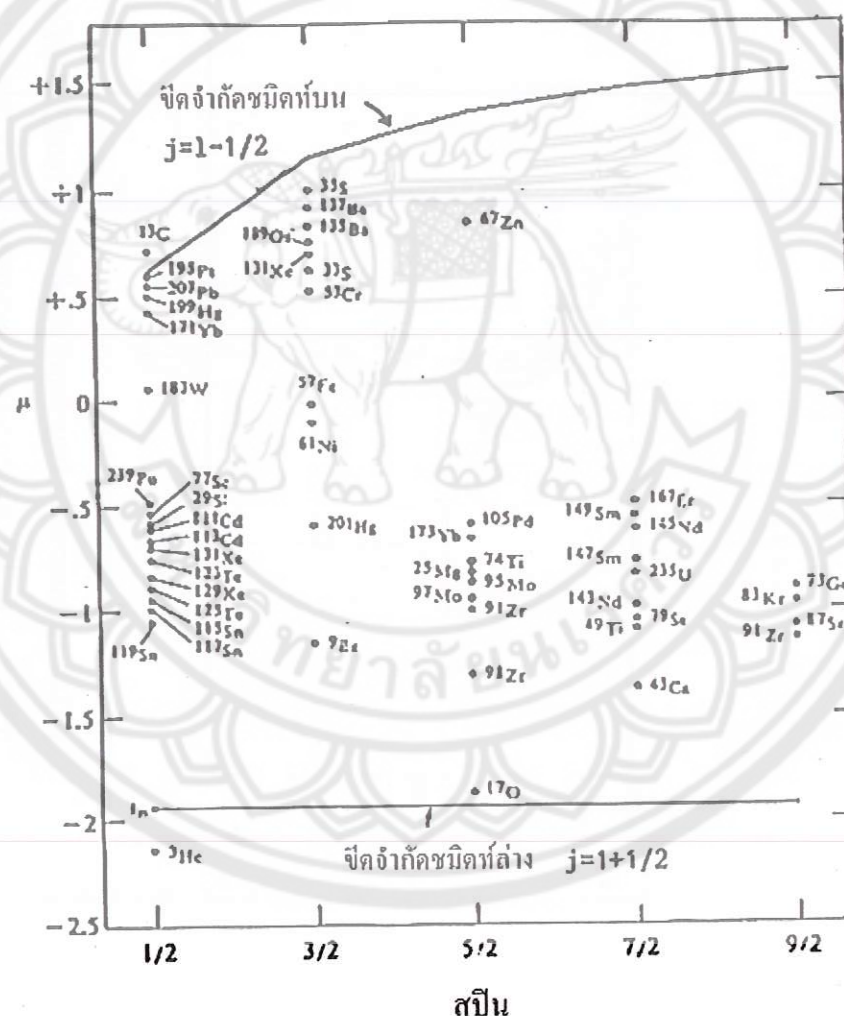
รูป 2.9 โนมเมนต์แม่เหล็กของนิวเคลียสที่มีจำนวนนิวตรอนเป็นเลขคู่

และมีจำนวนโปรตอนเป็นเลขคี่ (คัดแปลงจาก A.P. Arya, *Fundamentals of Nuclear Physics.*, Boston: Allyn and Bacon, 1968, p. 369)

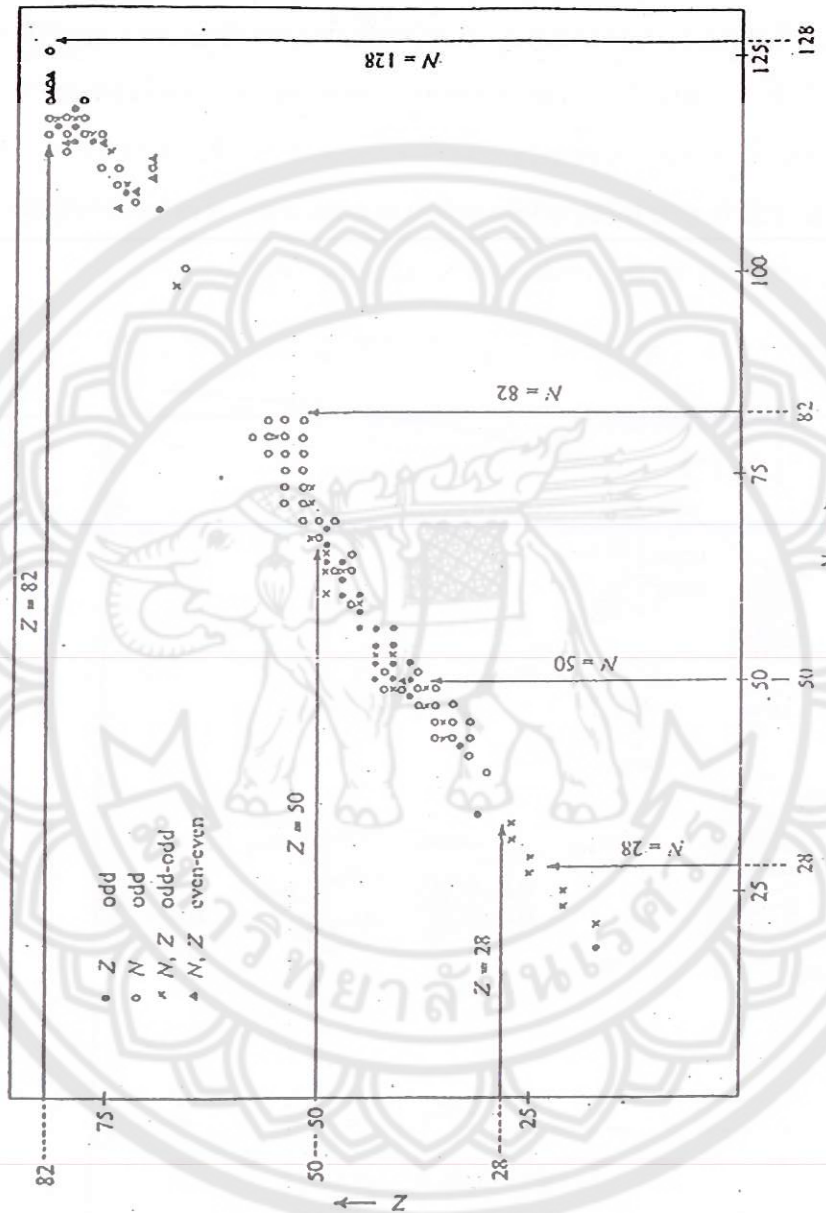
และ  $j = l + \frac{1}{2}$  ได้ เพราะว่ามีเพริตรองขั้นกัน) ตอนนี้อาจมีความเกิดขึ้นว่า แล้วทำไน ไม่นำ  
เหตุผลอันนี้ไปใช้ในการคำนวณแบบจำลองขั้นบ้าง ซึ่งคำตอบก็คือ เพราะสpin เป็น<sup>บริมาณควบคุมไตซ์ (quantized)</sup> ซึ่งมีค่าไม่ต่อเนื่อง และมีค่าเป็นค่ากำหนดແນ່ เหราะจะนັ້ນ  
คำตอบที่ได้จากการคำนวณโดยใช้แบบจำลองขั้นบัญชีมีผิดกับถูกเท่านັ້ນ ไม่มีคำตอบที่เป็นค่าอยู่  
ระหว่าง แต่ส่วนใหญ่จะถูก ซึ่งไม่เหมือนกับกรณีของ โนมเมนต์แม่เหล็ก

(3) ควอดรูโพลโนมเมนต์ทางไฟฟ้า (Electric Quadrupole Moments) ข้อสมมุติที่ให้  
นิวเคลียสมีรูปร่างเป็นแบบทรงกลมนึ่นจะถูกต้องต่อเมื่อจำนวนนิวตรอนหรือโปรตอนของ  
นิวเคลียสเท่ากับหรือใกล้เคียงเลขกต (มากกว่าหรือน้อยกว่าเลขกต 1 หรือ 2 ตัว) แต่ถ้าจำนวนของ  
โปรตอนหรือนิวตรอนบ่ายเบนออกไปจากเลขกตແລ້ວ รูปร่างแบบทรงกลมของนิวเคลียส  
ก็จะบิดเบี้ยวออกไปเป็นรูปร่างคล้ายทรงกลม (ไม่ใช่ทรงกลมแต่คล้ายทรงกลม เช่นทรงรีเป็นต้น)  
เหราะจะนັ້ນค่าควอดรูโพลโนมเมนต์ทางไฟฟ้าจะเพิ่มขึ้น เรายาบว่าค่าควอดรูโพลโนมเมนต์จะมีค่า  
มากในจำพวกธาตุที่หายากในโลก (rare -earth element) ซึ่งมีจำนวนโปรตอน Z อยู่ระหว่าง 50  
กับ 82 และจำนวนนิวตรอน N อยู่ระหว่าง 82 และ 126

(4) ไอโซเมอริซึมของนิวเคลียส (Nuclear Isomerism) การข้ายระหว่างสองสถานะกระดุนที่ใช้ช่วงเวลาภานานมาก หรือมีครึ่งชีวิตภานานมาก เป็นผลลัพธ์ของการเปลี่ยนแปลง spin อย่างมาก,  $\Delta I \geq 3$ , ระหว่างสองสถานะกระดุน และผลต่างของพลังงานระหว่างสองสถานะกระดุนมีค่าน้อยมาก ในรูป 2.11 แสดงการลงจุดระหว่างคู่ไอโซเมอร์ (isomeric pair) กับจำนวนนิวคลีอัน จะเห็นได้ว่าส่วนมากของคู่ไอโซเมอร์จะประกอบกับนิวเคลียสที่มีจำนวนนิวตรอนหรือโปรตอนเป็นเลขคี่ ในย่านระหว่างจำนวนนิวคลีอัน 19 ถึง 27, 33 ถึง 49, 63 ถึง 81, และ 107 ถึง 127 จะเรียกว่า เกาะไอโซเมอริซึม (island of isomerism) จำนวนของสถานะไอโซเมอร์จะลดลงอย่างรวดเร็วมากถ้าใกล้เลขคู่ 50, 82, และ 128



รูป 2.10 โนเมนต์แม่เหล็กของนิวคลีโอที่มีจำนวนโปรตอนเป็นเลขคี่ และมีจำนวนนิวตรอนเป็นเลขคี่ (ตัดแปลงจาก A.P. Arya, *Fundamentals of Nuclear Physics.*, Boston: Allyn and Bacon, 1968, p. 370)



รูป 2.11 จำนวนส่วนของ "อิฐมอร์กอน" หลักที่มีมวลปริมาณเดิม แต่ต่างกันกับจำนวนนิวเคลียร์ เป็นสำคัญ (จาก A.P. Arya, *Fundamentals of Nuclear Physics*, Boston: Allyn and Bacon, 1968, p. 371)

การที่โอกาสการย้าย (transition probability) มีค่าน้อย และมีครึ่งชีวิต半天ของสถานะ 'ไอโซเมอร์' สามารถอธิบายโดยใช้แบบจำลองอนุภาคเชิงเดียวสำหรับนิวเคลียสที่มี  $A$  เป็นเลขคี่ ก่อตัวคือเมื่อชั้นไกลีปีดับพลังงานของอนุภาคเชิงเดียวจะอยู่ใกล้กันมาก เพราะจะนั่นการย้ายมี พลังงานน้อยมาก ปกติจะมีการเปลี่ยนระดับพลังงานจากสถานะอสซิลเลเตอร์บัน (higher oscillator state) ลงมาสู่สถานะอสซิลเลเตอร์ล่าง (lower oscillator) อยู่เสมอในแต่ ๆ ไกลีชั้นปีด ตัวแปรที่ทำให้การย้ายเป็นไปอย่างช้ามากจึงได้แก่ ความแตกต่างของspinจะต้องมีค่าสูง และ ความแตกต่างของพลังงานจะต้องมีค่าต่ำ การย้ายที่เกิดเป็นประจำเป็นธรรมชาติได้แก่การย้าย  $1f_{7/2} \rightarrow 2s_{1/2}$ ,  $1g_{9/2} \rightarrow 2p_{1/2}$ ,  $1h_{11/2} \rightarrow 2d_{3/2}$  เป็นต้น

### เอกสารอ้างอิง

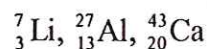
1. A. P. Arya, *Elementary Modern Physics*, Addison-Wesley, Philippines, 1970.
2. A.P. Arya, *Fundamentals of Nuclear Physics*, Allyn and Bacon, Boston, 1968.
3. J.M. Blatt and V.F. Weisskopf, *Theoretical Nuclear Physics*, John Wiley & Sons, New York, 1952.
4. W.E. Burcham and Jobes, *Nuclear and Particle Physics*, Longman, Singapore, 1995.
5. W. N. Cottingham and D.A. Greenwood, *An Introduction to Nuclear Physics*. 2nd edit, Cambridge University, Cambridge, 2001.
6. A. Das and T. Ferbel, *Introduction to Nuclear and Particle Physics*, John Wiley & Sons, New York, 1994.
7. V. Devanathan, *Nuclear Physics*, Narosha Publishing House, New Delhi, 2006
8. H.A. Enge, *Introduction to Nuclear Physics*, Addison-Wesley, Reading, Massachusetts, 1967.
9. R.D. Evans, *The Atomic Nucleus*, McGraw-Hill, New York, 1955.
10. E.S. Green, *Nuclear Physics*, McGraw-Hill, New York, 1955.

11. E. M. Henley and A. Garcia *Subatomic Physics*, 3rd edit, World Scientific, New Jersey 2007.
12. K. Heyde, *Basic Ideas and Concepts in Nuclear Physics: An Introductory Approach*, 2nd edit, Institute of Physics, Brista, 1999.
13. N.A. Jelley, *Fundamentals of Nuclear Physics*, Cambridge University, Cambridge, 1990.
14. I. Kaplan, *Nuclear Physics*, Addison-Wesley, London, 1958.
15. K.S. Krane, *Introductory Nuclear Physics*, John Wiley & Sons, Singapore, 1988.
16. B.R. Martin, *Nuclear and Particle Physics*, Wiley, West Sussex, 2006.
17. W.E. Meyerhof, *Elements of Nuclear Physics*, McGraw-Hill, New York, 1989.
18. H.C. Ohanian, *Modern Physics*, Prentice-Hall, New Jersey, 1990.
19. S.M. Wong, *Introductory Nuclear Physics*, Plentice-Hall, New Jersey, 1990.

### แบบฝึกหัด

1. จงคำนวณหาระดับพลังงานต่ำสุดของอนุภาคมวล  $M$  ที่เคลื่อนที่ใน (ก) ศักย์กลุมตัวเหลี่ยม (ข) ศักย์ฮาร์มนิค-อสซิตเตอร์ และหาผลต่างของระดับพลังงานในศักย์ทั้งสองแบบ ว่ามี อันดับขนาดเท่าไร ?
2. จงบอกสปินและแพริติที่สถานะพื้นของนิวเคลียต่อไปนี้โดยใช้แบบจำลองชั้น  

$$^{45}_{21}\text{Sc}, ^{101}_{44}\text{Ru}, ^{113}_{48}\text{Cd}, ^{35}_{17}\text{Cl}$$
3. สปินที่สถานะพื้นของ  $^{19}_9\text{F}$  ที่ได้จากการคำนวณโดยแบบจำลองชั้นได้ค่าเป็น  $1d_{5/2}$  แต่จาก การทดลองได้ค่าเป็น  $1/2$  จงอธิบายสาเหตุของความคลาดเคลื่อนนี้
4. ให้เขียนแผนภาพระดับพลังงานตามแบบจำลองชั้นและระดับที่มีนิวตรอนหรือโปรตอน อยู่จริงของนิวเคลียต่อไปนี้



5. จากการทดลองวัดสปินของนิวเคลียส  $^{23}_{11}\text{Na}$  ได้ค่าเป็น  $3/2$  ขณะที่จากการทำนายโดยใช้แบบจำลองชั้นได้ค่าเป็น  $1d_{5/2}$  จ仇ขึ้นความคลาดเคลื่อนนี้
6. จากการทดลองวัดสปินของ  $^{10}_5\text{B}$  ได้ค่าเท่ากับ 3 เป็นไปได้หรือไม่ที่จะยอมรับค่านี้โดยการรวมสปินของสถานะโปรตตอนและของสถานะนิวตรอนตามแบบจำลองชั้นเข้าด้วยกัน
7. สถานะพื้นและสถานะกระตุ้นสำมสถานะแรกของ  $^{109}_{27}\text{Ag}$  คือ  $1/2^-$ ,  $7/2^+$ ,  $3/2^-$  และ  $5/2^-$  จงหาว่าสถานะแบบจำลองชั้นจะไร้รั้งกันกับลิ่งที่กำหนดนี้
8. จากความสัมพันธ์

$$|\mathbf{j}|^2 = |\mathbf{l}|^2 + |\mathbf{s}|^2 + 2\mathbf{l} \cdot \mathbf{s}$$

จงแสดงว่า

$$\mathbf{l} \cdot \mathbf{s} = l \quad \text{ถ้า } j = l + \frac{1}{2} \quad \text{และ} \quad \mathbf{l} \cdot \mathbf{s} = (l+1) \quad \text{ถ้า } j = l - \frac{1}{2}$$

9. สปินและโมเมนต์แม่เหล็กของ  $^7_3\text{Li}$  ตามแบบจำลองชั้นมีค่าเป็นเท่าไร ? และเมื่อเปรียบเทียบค่าโมเมนต์แม่เหล็กที่ได้นี้กับค่าจากผลการทดลองคือ  $3.2563 \text{ nm}$  จะเป็นอย่างไร ?
10. สปินและโมเมนต์แม่เหล็กของ  $^{14}_7\text{N}$  ตามแบบจำลองชั้นมีค่าเป็นเท่าไร ? และเมื่อเปรียบเทียบค่าสปินและโมเมนต์แม่เหล็กที่ได้นี้กับค่าจากผลการทดลองคือ สปินเท่ากับ 1 และโมเมนต์แม่เหล็กเท่ากับ  $0.404 \text{ nm}$  จะเป็นอย่างไร ?
11. เหตุใดไอโอดีนจึงมีแนวโน้มที่จะประจูกับนิวเคลียสไอเดียมี  $A$  เป็นเลขคี่ และมีจำนวนโปรตตอนและนิวตรอนใกล้ครบชั้น ?

# บทที่ 3

## แบบจำลองกลุ่ม

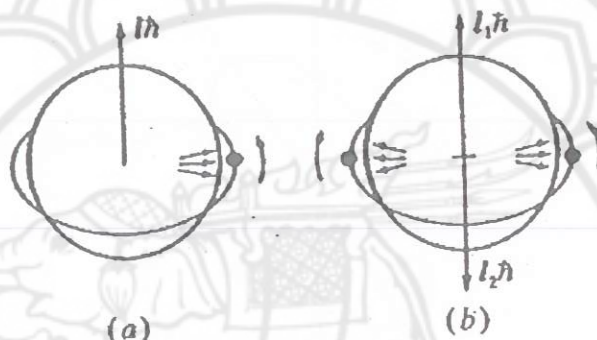
### (THE COLLECTIVE MODEL)

แม้ว่าแบบจำลองขั้นจะประสบผลสำเร็จในการอธิบายสมบัติของนิวเคลียสได้หลายประการก็จริง แต่ก็มีบางอย่างที่ไม่สามารถอธิบายได้ ดังจะเห็นได้ดังต่อไปนี้ แบบจำลองขั้นนี้ ก่อรูปขึ้นจากการที่นิวเคลียสนั่งหรือสองนิวเคลียสนอกจากขึ้นจากสถานะพื้นฐาน ไปสู่สถานะถูกกระตุ้นที่มีอยู่ตามแบบจำลองขั้น แต่เป็นที่ทราบกันดีว่าเมื่อหลายครั้งที่การก่อรูปขึ้นเป็นสถานะถูกกระตุ้นเกิดขึ้นจากหกลายลักษณ์ประกอบกัน และไม่อาจทำนายได้โดยแบบจำลองขั้น นอกจากนี้ ถ้าได้พิจารณาค่าที่วัดได้ของโนเมนต์แม่เหล็กและควอตซ์โพล-โนเมนต์ จะพบว่าบ่ายเบนไปจากค่าที่คำนวณได้ตามแบบจำลองขั้น นับว่าเป็นข้อกพร่องของแบบจำลองขั้น ทั้งนี้สาเหตุเนื่องมาจากการว่าแบบจำลองขั้นไม่ได้นำเรื่องการก่อรูปเป็น “แก่น (core)” ของชั้นปีกมาเกี่ยวข้องด้วยนั่นเอง แต่สิ่งเหล่านี้จะอธิบายได้ง่ายขึ้น ถ้าหากปฏิบัติอยู่ในพื้นฐานของแบบจำลองอีกแบบจำลองหนึ่ง ซึ่งเรียกว่าแบบจำลองกลุ่ม (collective model)

ผู้ที่เสนอแบบจำลองกลุ่มเป็นครั้งแรกคือ เจ. เรน沃เทอร์ (J. Rainwater) และผู้ที่พัฒนามาได้แก่ เอ. โบร์ (A. Bohr) และ บี. มอทเทลสัน (B. Mottelson) ตามแบบจำลองนี้รูปร่างและโนเมนต์ของแก่นจะเป็นส่วนที่มีบทบาทสำคัญ สถานะถูกกระตุ้น โนเมนต์แม่เหล็ก และควอตซ์โพลโนเมนต์ ต่างก็เป็นผลลัพธ์จากการเคลื่อนที่กลุ่ม (collective motion) ของหกลายนิวเคลียสน ไม่ใช่เฉพาะแต่นิวเคลียสที่อยู่นอกชั้นปีกเท่านั้น แบบจำลองกลุ่มนี้ลักษณะรวมกันของแบบจำลองขั้นและแบบจำลองหยาดของเหลว

สาระสำคัญของแบบจำลองกลุ่มคือ แบบจำลองกลุ่มจะกำหนดให้นิวเคลียสที่อยู่ภายในนิวเคลียสเคลื่อนที่อย่างอิสระภายใต้ศักย์,  $V(r)$ , เมื่อมีนักแบบจำลองขั้น แต่จะมีแตกต่างไปจากแบบจำลองขั้นตรงที่ศักย์ในแบบจำลองกลุ่มอาจบิดเบี้ยวออกไปจากรูปร่างเดิมที่เป็นแบบทรงกลมสมมาตรของมัน การบิดเบี้ยวนี้เกิดจากการ โครงการของของนิวเคลียสที่อยู่รอบชั้นปีก (หรือแก่น) กล่าวคือ นิวเคลียสที่มีจำนวนครบที่น้ำหนักจะก่อรูปเป็นรูปร่างแบบสมมาตรทรงกลม ที่เรียกว่า “แก่น” ส่วนนิวเคลียสที่เกินจำนวนครบที่น้ำหนักจะโครงการอยู่รอบนอกชั้นปีกหรือแก่น โดยจะมีอันตรกิริยาที่เป็นแรงดูดอย่างแรงระหว่างนิวเคลียสของนักบินชั้นปีกหรือแก่นกับนิวเคลียสที่อยู่

ภายในชั้นปีดหรือแก่น แล้วแก่นก็จะบิดเบี้ยวออกไปในทิศทางที่นิวเคลียสนั้นอยู่ดังรูป 3.1a ถ้า นิวเคลียนที่อยู่รอบนอกแก่นมีอยู่สองนิวเคลียนและอยู่ในวงโคจรเดียวกัน (มีทิศทางการโคจรตรง ข้ามกัน, เมื่อมาจากการผลของการเข้ากู้) ดังรูป 3.1b การบิดเบี้ยวของแก่นก็จะเพิ่มมากขึ้น และถ้า หากนิวเคลียนนอกแก่นมีจำนวนเพิ่มมากขึ้นเรื่อยๆ แก่นก็จะบิดเบี้ยวเพิ่มมากขึ้นเรื่อยๆ เช่น เดียวกัน จนกระทั่งถึงจุดดุจหนึ่งที่การบิดเบี้ยวจะไม่เพิ่มขึ้นอีกแล้ว คือการ โคจรของนิวเคลียนที่ เพิ่มมากขึ้นมีผลต่อการบิดเบี้ยวของแก่นน้อยลง การบิดเบี้ยวที่คงรูปไม่เพิ่มขึ้นอีกแล้วนี้เรียกว่า การบิดเบี้ยวถาวร (permanent deform)



รูป 3.1 การทำให้เกิดการบิดเบี้ยวของนิวเคลียสโดยนิวเคลียนที่อยู่ นอกชั้นปีด (a) โดยนิวเคลียนตัวเดียว (b) โดยนิวเคลียนสองตัว ที่มีโน้มแน่นซึ่งกันในวงโคจรสวนทิศกัน (จาก W. E. Meyerhof,

*Elements of Nuclear Physics*, New York : McGraw-Hill, 1989, p. 58)

การเคลื่อนที่แบบกลุ่มอาจพวรรณในรูปแบบการเคลื่อนที่เชิงสั่น (vibrational motion) รอบจุดสมดุล หรือพวรรณในรูปแบบการเคลื่อนที่เชิงหมุน (rotational motion) แต่การเคลื่อนที่ เชิงหมุนมีความสำคัญที่น่าพิจารณามากกว่า ซึ่งจะกล่าวในตอนถัดไป การหมุนของกลุ่มนิวเคลียนรอบผิวดองแก่นจะคล้ายกับเป็นคลื่นน้ำ (tidal wave) รอบผิวดองแก่น หรือคล้ายกับ การกระเพื่อมของผิวดองเหลว ดังรูป 3.5 ดังนั้นการแสดงสมบัติของนิวเคลียส เช่น โน้มแน่นซึ่งกัน จึงเป็นผลลัพธ์ของไม่ใช่เฉพาะนิวเคลียนคือที่อยู่นอกชั้นปีดเท่านั้น แต่จะมีชั้นปีดหรือแก่นมาเป็นส่วนร่วมด้วย

ถ้านิวเคลียสบิดเบี้ยวไปเป็นรูปร่างแบบทรงรี (elliptical shape) และสมมาตรรอบแก่น  $Oz'$  ซึ่งเป็นแกนวัตถุ (body axis) ดังแสดงในรูป 3.2 พารามิเตอร์ที่กำหนดการบิดเบี้ยวจะเรียกว่า พารามิเตอร์การบิดเบี้ยว (deformation parameter),  $\beta$  , ซึ่งให้นิยามเป็น

$$\beta = \Delta R / R_0 \quad (3.1)$$

$R_0$  คือรัศมีเฉลี่ยของนิวเคลียส และ  $\Delta R$  คือผลต่างระหว่างกึ่งแกนเอก (semimajor axis) และ กึ่งแกนโท (semiminor axis) ของทรงรี การบิดเบี้ยวจะขึ้นกับจำนวนนิวเคลียสในอนุก้อนชั้นปิด และ จะบิดเบี้ยวมากที่สุดถ้าจำนวนนิวเคลียสค่อนข้างมาก



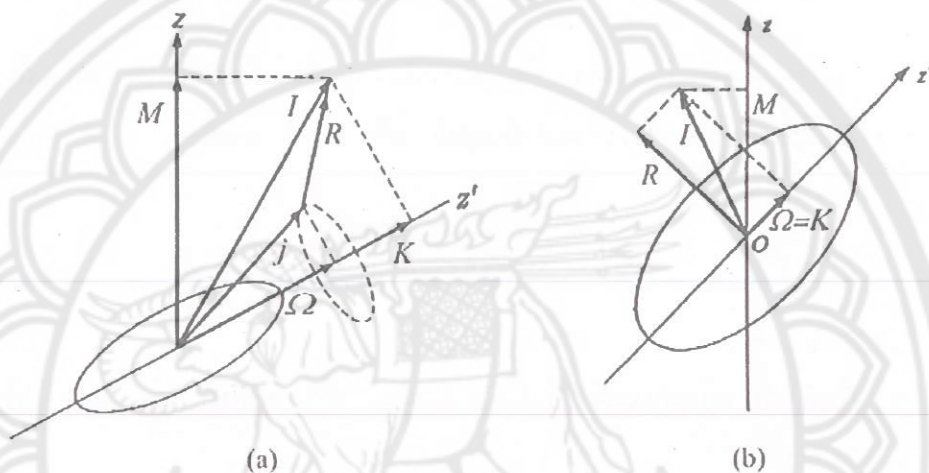
รูป 3.2 การเบี้ยวของนิวเคลียสรอบแกน  $Oz'$   
(คัดแปลงจาก A. P. Arya, *Fundamentals of Nuclear Physics.*, Boston: Allyn and Bacon, 1968, p. 374)

เราอาจหมายเหตุไว้ในที่นี้ว่า ระดับพลังงานเนื่องมาจากการเคลื่อนที่เชิงหมุน หรือเรียก ย่อว่าระดับพลังงานการหมุน (rotational level),  $E_{rot}$ , ปกติจะมีค่าน้อยกว่าระดับพลังงาน ประจำตัวหรือเรียกย่อว่าระดับพลังงานประจำตัว (intrinsic level),  $E_{int}$ , ที่ได้มาจากการแบบจำลองชั้น อนุภาคเชิงเดียว

$$E_{int} \gg E_{rot}$$

ระดับพลังงานประจำตัวหรือระดับพลังงานตามแบบจำลองชั้น สัมพันธ์กับระดับ พลังงานการหมุนในลักษณะเดียวกันกับความสัมพันธ์ระหว่างระดับพลังงานของอิเล็กตรอนกับ ระดับพลังงานการหมุนของโน้ตกลุ่ม

ก. ระดับพลังงานการหมุน (Rotation Energy Level) พลังงานที่เกิดจากการเคลื่อนที่เชิงหมุนนี้ ลักษณะเป็นควบคู่ไปด้วย แต่จะมีเลขควบคุมต้นที่อื่น ๆ มาเป็นตัวกำหนดค่าพลังงานด้วย ดังจะพิจารณาต่อไปนี้ ให้  $I$  เป็นโมเมนตัมเชิงหมุนรวมของนิวเคลียส,  $j$  เป็นโมเมนตัมเชิงหมุนของนิวเคลียสบนอกชั้นปิด (เป็นชั้นปิดตามแบบจำลองชั้น, ในแบบจำลองชั้นนิวเคลียสต้องตัวสุดท้ายจะเป็นตัวบวกสปิน),  $R$  เป็นโมเมนตัมเชิงหมุนที่เกิดเรื่องจากการเคลื่อนที่เชิงหมุน, และ  $I = j + R$  ดังรูป 3.3



รูป 3.3 แผนภาพการถ่ายทอดของโมเมนตัมเชิงหมุนของนิวเคลียส  
ที่บิดเบี้ยวเป็นรูปทรงรี (a) เป็นกรณี  $\Omega \neq K$  (b) เป็นกรณีที่  
 $\Omega = K$  (ดัดแปลงจาก A. P. Arya, *Fundamentals of Nuclear Physics.*, Boston: Allyn and Bacon, 1968, p. 375)

$\Omega$  และ  $K$  เป็นโพร์เจกชัน (projection) หรือสภาพของ  $j$  และ  $I$  บนแกน  $z'$ ,  $M$  เป็นสภาพของ  $I$  บนแกน  $z$  ถ้า  $R$  ตั้งฉากกับแกนสมมาตร (แกน  $z'$ ) แล้ว  $\Omega$  จะเท่ากับ  $K$  ดังรูป 3.3b และถ้าโมเมนตัมเชิงหมุนของการหมุน (rotational angular momentum) เป็นศูนย์  $\Omega$  และ  $K$  จะเท่ากันหมด ถ้าเราจะกำหนดการถ่ายทอดให้เป็นดังรูป 3.3b และให้โมเมนตัมเชิงหมุนเนื่องจากการเคลื่อนเชิงหมุน (หรือการเคลื่อนที่กลุ่ม) มีขนาดเป็น  $R\hbar$  แล้ว จะได้สมการเป็น

$$|R|^2 \hbar^2 = [I(I+1) - |K|^2] \hbar^2 \quad (3.2)$$

พลังงานจนน์การหมุน (rotational kinetic energy),  $E_{rot}$ , ของระบบอาจให้โดยนิยามได้เป็น

$$E_{rot} = \frac{1}{2} \mathcal{J} \omega^2 \quad (3.3)$$

เมื่อ  $\mathcal{I}$  เป็นโมเมนต์ความเฉื่อย (moment of inertia),  $\omega$  เป็นความเร็วเชิงมุม (angular velocity) สมการ (3.3) เขียนใหม่ได้เป็น

$$E_{rot} = \frac{(\mathcal{I}\omega)^2}{2\mathcal{I}} = \frac{1}{2\mathcal{I}} [I(I+1) - |K|^2] \hbar^2 \quad (3.4)$$

เมื่อ  $\mathcal{I}\omega = |R|\hbar$  เป็นโมเมนตัมเชิงมุมการหมุน (rotational angular momentum) ถ้ากำหนดค่า  $K$  ก็จะหาแบบพลังงานการหมุนได้ ดังจะกล่าวในหัวข้อถัดไป

บ. นิวเคลีย คู่-คู่ (Even-Even Nuclei) เป็นที่ทราบกันคืออยู่แล้วว่า นิวเคลีย คู่-คู่ จะมีสpin ประจำตัว (หรือโมเมนตัมเชิงมุมประจำตัว) เป็นศูนย์ หรือ  $K=0$  ดังนั้น

$$E_{rot} = \frac{1}{2\mathcal{I}} I(I+1) \hbar^2$$

เมื่อ  $I = 0, 2, 4, 6, \dots$

การที่พลังงานการหมุนจะต้องมี  $I = 0, 2, 4, 6, \dots$  นั้น สรุปมาจากการความต่อไปนี้ พงก์ชั้นคืนรวมของสถานะคือ

$$\Psi = \rho_{rot} \Psi_{int nucl}$$

เมื่อ  $\rho_{rot}$  เป็นพงก์ชั้นคืนการหมุน (rotation wave function) สำหรับนิวเคลีย คู่-คู่ การดำเนินการบนพงก์ชั้นคืนรวมของสถานะโดยตัวดำเนินการแพริตี้ (parity) จะเขียนได้เป็น

$$P\Psi = +\Psi$$

เมื่อ  $P$  เป็นตัวดำเนินการแพริตี้ (parity operator) ซึ่งทำให้เราได้ว่า

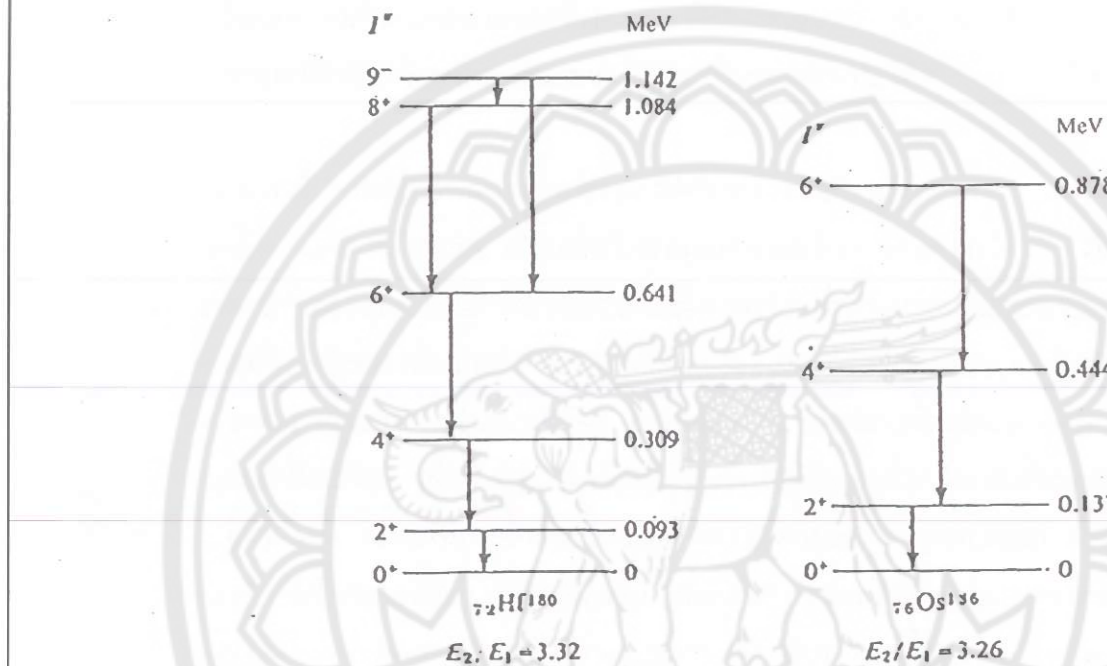
$$P\rho_{rot} = +\rho_{rot} = (-1)^I \rho_{rot}$$

ซึ่งจะเป็นไปได้ถ้าหากว่า

$$I = 0, 2, 4, 6, \dots$$

เท่านั้น สำหรับกรณีของนิวเคลีย คู่-คู่ นี้  $E4/E2 = 4(4+1)/2(2+1) = 3.33$ ,  $E6/E4 = 6(6+1)/4(4+1) = 2.1$ ,  $E8/E6 = 8(8+1)/6(6+1) = 1.71$  ซึ่งเป็นอัตราส่วนในทางทฤษฎี ปรากฏ

ว่าอัตราส่วนนี้สอดคล้องกันดีกับค่าอัตราส่วนที่ได้มาจากการทดลองในทุกนิวเคลียส อัตราส่วนของ E4/E2 สำหรับบางนิวเคลียสที่ได้จากการทดลองมีค่าดังนี้  $^{176}_{72}\text{Hf}$  เท่ากับ 3.30,  $^{180}_{72}\text{Hf}$  เท่ากับ 3.33,  $^{238}_{90}\text{Th}$  เท่ากับ 3.26, และ  $^{250}_{92}\text{Cf}$  เท่ากับ 3.39 ในรูป 3.4 แสดงระดับพลังงานการหมุนของนิวเคลียส คู่-คู่



รูป 3.4 ระดับพลังงานการหมุนของนิวเคลียส คู่-คู่;  $^{180}_{72}\text{Hf}$  และ  $^{186}_{76}\text{Os}$  (จาก A. P. Arya, *Fundamentals of Nuclear Physics.*, Boston: Allyn and Bacon, 1968, p. 337)

ในกรณีที่นิวเคลียสมี  $A$  เป็นเลขคี่ spin ประจำตัวของนิวเคลียจะมีค่าไม่เป็นศูนย์,  $K \neq 0$ , และจะมีค่าเป็นจำนวนเต็มครึ่ง ในกรณีนี้ spin  $I$

$$I = K, K+1, K+2, \dots$$

จะมีค่าเป็นจำนวนเต็มครึ่ง

ค. โมเมนต์แม่เหล็กและไฟฟ้า (Magnetic and Electric Moment) ได้เคยกล่าวมาแล้วว่า นิวเคลียนที่อยู่นอกชั้นปิดจะมีการเคลื่อนที่รอบแก่น เปรียบเสมือนเป็นคลื่นนำรอบผิวของแก่น

และ โนเมนตัมเชิงมุนรวมของนิวเคลียสจะเป็นค่าที่เสริมกันระหว่าง โนเมนตัมเชิงมุนของแก่นกับ โนเมนตัมเชิงมุนของนิวเคลียสที่อยู่ร่องแก่น (รอบชั้นปิด) สำหรับกรณีของ โนเมนต์แม่เหล็กของ นิวเคลียสที่ เช่นเดียวกัน ค่าที่ได้จะเป็นค่ามาจากการเสริมกันระหว่าง โนเมนต์แม่เหล็กของแก่นกับ โนเมนต์แม่เหล็กของ โปรตอนที่อยู่ร่องแก่น โดยการคดี่อนที่ของ โปรตอนรอบแก่นคล้ายกับมี กระแส่วนอยู่ร่องแก่น โนเมนต์แม่เหล็กที่เกิดจากกระแส่วนรอบแก่นนี้จะไปเสริมกับ โนเมนต์ แม่เหล็กของแก่น ทำให้ค่า โนเมนต์แม่เหล็กที่วัดได้มีค่าแตกต่างไปจากการคำนวณในทางทฤษฎี ในแบบอนุภาคเชิงเดียว โดยค่าที่ได้จะอยู่ห่างจากเส้นชนิดที่ และอยู่ระหว่างเส้นชนิดที่ล่างและ เส้นชนิดทึบ

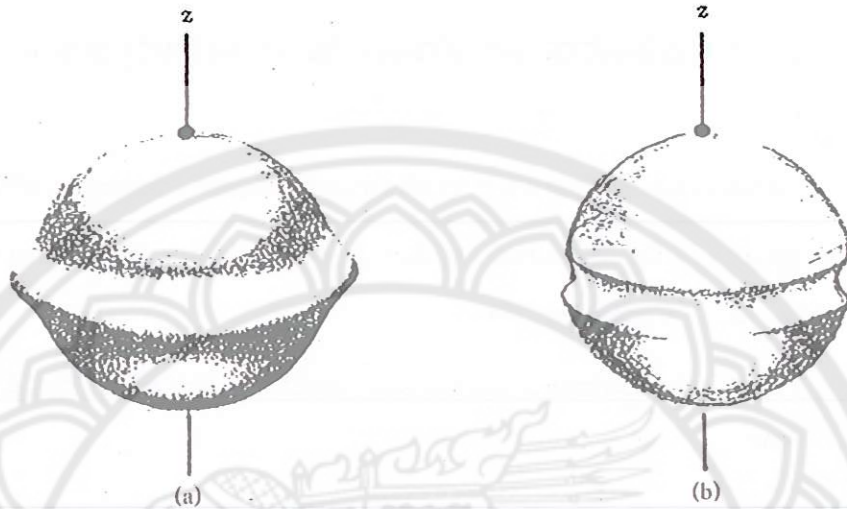
สำหรับการอธิบายความครูโพล โนเมนต์ทางไฟฟ้าของนิวเคลียสในกรณีที่ค่าที่ได้จากการ วัดมากกว่าค่าที่ได้จากการทำงานตามแบบจำลองชั้นอนุภาคเชิงเดียวนั้น อธิบายได้ว่า การบิดเบี้ยว ของแก่นอันเนื่องมาจากการนิวเคลียสในนอกแก่นหรือในชั้นปิดมีผลต่อการเพิ่มค่าของความครูโพลทางไฟฟ้า แม้ว่าการบิดเบี้ยวของแก่นจะมีเพียงเล็กน้อย แต่ก็มีผลทำให้ค่า โนเมนต์ความครูโพลเพิ่มมาก ขึ้นเป็นอย่างมาก เพราะการบิดเบี้ยวแม้จะเป็นเพียงเล็กน้อย แต่ โปรตอนจำนวนมากก็จะแยกห่าง ออกจากกัน เพราะจะน้ำหนักจำนวนนิวเคลียสในนอกชั้นปิดเพิ่มจำนวนมากขึ้น การบิดเบี้ยวของ แก่นก็จะเพิ่มมากขึ้น และความครูโพล โนเมนต์ทางไฟฟ้าก็จะเพิ่มมากขึ้นตามไปด้วย ซึ่งการบิดเบี้ยวจะมากที่สุดเมื่อจำนวนนิวเคลียสในนอกชั้นปิดเพิ่มจำนวนมากขึ้น ค่าความครูโพล โนเมนต์ทางไฟฟ้าก็จะมี ค่ามากที่สุดตามไปด้วย การบิดเบี้ยวอาจจะเกิดเนื่องจาก โปรตอนคู่หรือนิวตรอนคู่ แต่จากการวัด ค่าความครูโพล โนเมนต์ทางไฟฟ้าพบว่าไม่ว่าจะเป็นการบิดเบี้ยวเนื่องจาก โปรตอนหรือนิวตรอน ต่างก็มีผลต่อการเพิ่มค่าของความครูโพล โนเมนต์เหมือนกัน เพราะจะมีผลต่อการทำให้ โปรตอนที่อยู่ในแก่นแยกห่างออกจากกันทั้งสองกรณี และ โปรตอนที่อยู่ในแก่นจะเป็นนิวเคลียสที่มีนิบบทบาท มากต่อการกำหนดค่าความครูโพล โนเมนต์ของนิวเคลียส

ความครูโพล โนเมนต์ทางไฟฟ้าของนิวเคลียส กำหนดให้ตามวิชาไฟฟ้าเป็น

$$Q = \int \rho(x, y, z) [3z^2 - (x^2 + y^2 + z^2)] dv \quad (3.5)$$

เมื่อ  $\rho(x, y, z)$  เป็นความหนาแน่นของประจุในนิวเคลียส (คือประจุของ โปรตอนในนิวเคลียส) การหาปริพันธ์จะกระทำทั่วทั้งปริมาตรของนิวเคลียส ถ้าประจุกระจายเป็นรูปทรงกลมสมมาตร  $\overline{x^2} = \overline{y^2} = \overline{z^2}$  จะได้  $Q = 0$ , ถ้าประจุกระจายตามแกนกาย  $z$  ที่เรียกว่ารูปทรงแบบข้าง (prolate) ,  $\overline{z^2} > \overline{x^2} (= \overline{y^2})$ , จะได้ค่า  $Q > 0$ , และถ้าประจุเป็นรูปแบบขึ้ว (oblate),  $\overline{z^2} < \overline{x^2} (= \overline{y^2})$ , จะได้ค่า  $Q < 0$ , สำหรับนิวเคลียสที่มีจำนวนนิวตรอนเป็นเลขคู่ และมีจำนวน โปรตอนเป็นเลขคี่ที่มี จำนวนมากกว่าเลขคู่ไปหนึ่ง การมีค่าความครูโพล โนเมนต์จะมีสาเหตุมาจาก โปรตอนคู่ที่

เคลื่อนที่อยู่ร่องชั้นปีกหรือแก่นที่ภายในมีประจุกระจายเป็นรูปทรงกลมสมมาตร ในกรณีเช่นนี้จะมี  $\bar{z}^2 < \bar{x}^2 (= \bar{y}^2)$ , และ  $Q < 0$ , ในทางกลับกันถ้าหากนิวเคลียสมีจำนวนนิวตรอนเป็นเลขคู่



รูป 3.5 ภาชนะนิวเคลียสที่มี  $N$  เป็นเลขคู่ และ  $Z$  เป็นเลขคี่ที่มากกว่า  
และน้อยกว่าเลขกลaicหนึ่ง รูป (a)  $Z$  มากกว่าไปหนึ่ง การเคลื่อนที่  
ของ proton รอบแก่นหรือชั้นปีกทำให้การแยกแข็งของประจุนองคุคล้ำบ  
กันว่ามีวงแหวนล้อมแก่นหรือชั้นปีกอยู่ รูปทรงของนิวเคลียส เป็นรูปแบบขี้ว,  
 $Q < 0$ , รูป (b)  $Z$  น้อยกว่าไปหนึ่ง การเคลื่อนที่ ของ หลุม proton  
รอบแก่นหรือชั้นปีกมองคุคล้ำกับมีหักรอบแก่นหรือชั้นปีก รูปทรงของ  
นิวเคลียสเป็นรูปแบบข้าง,  $Q > 0$

และมีจำนวน proton เป็นเลขคี่ที่มีจำนวนน้อยกว่าเลขกลaicหนึ่ง การมีค่าความดันรูโพลโนเมนต์จะ  
มีสาเหตุมาจากการเคลื่อนที่ของหลุม proton (proton hole) รอบชั้นปีกหรือแก่น ในกรณีเช่นนี้,  
 $\bar{z}^2 > \bar{x}^2 (= \bar{y}^2)$ , และ  $Q > 0$ , จากที่กล่าวมานี้จะเป็นการอธิบายได้ว่าเพราะเหตุใดความดันรูโพล  
โนเมนต์ของนิวเคลียสจึงมีค่าเป็นไปได้ทั้งบวกและลบ โดยที่หากนิวเคลียสที่มีจำนวนนิวเคลื่อน  
ใกล้เคียงกับเลขกลaicแต่มากกว่า จะมีค่าเป็นลบ หากใกล้เคียงกับเลขกลaicแต่น้อยกว่า จะมีค่าเป็นบวก

## เอกสารอ้างอิง

1. A.P. Arya, *Fundamentals of Nuclear Physics*, Allyn and Bacon, Boston, 1968.
2. J.M. Blatt and V.F. Weisskopf, *Theoretical Nuclear Physics*, John Wiley & Sons, New York, 1952.
3. W.E. Burcham and Jobes, *Nuclear and Particle Physics*, Longman, Singapore, 1995.
4. W. N. Cottingham and D.A. Greenwood, *An Introduction to Nuclear Physics*. 2nd edit, Cambridge University, Cambridge, 2001.
5. A. Das and T. Ferbel, *Introduction to Nuclear and Particle Physics*, John Wiley & Sons, New York, 1994.
6. V. Devanathan, *Nuclear Physics*, Narosha Publishing House, New Delhi, 2006
7. H.A. Enge, *Introduction to Nuclear Physics*, Addison-Wesley, Reading, Massachusetts, 1967.
8. E. M. Henley and A. Garcia, *Subatomic Physics*, 3rd edit, World Scientific, New Jersey 2007.
9. K. Heyde, *Basic Ideas and Concepts in Nuclear Physics: An Introductory Approach*, 2nd edit, Institute of Physics, Brista, 1999.
10. N.A. Jelley, *Fundamentals of Nuclear Physics*, Cambridge University, Cambridge, 1990.
11. I. Kaplan, *Nuclear Physics*, Addison-Wesley, London, 1958.
12. K.S. Krane, *Introductory Nuclear Physics*, John Wiley & Sons, Singapore, 1988.
13. B.R. Martin, *Nuclear and Particle Physics*, Wiley, West Sussex, 2006.
14. W.E. Meyerhof, *Elements of Nuclear Physics*, McGraw-Hill, New York, 1989.
15. H.C. Ohanian, *Modern Physics*, Prentice-Hall, New Jersey, 1990.
19. S.M. Wong, *Introductory Nuclear Physics*, Plentice-Hall, New Jersey, 1990.

## แบบฝึกหัด

1. ถ้าระดับพลังงานการหมุนแรกของนิวเคลียส คู่-คู่ มีค่า  $0.32 \text{ MeV}$  และมีสปิน  $2^+$  จงหาค่า พลังงานของระดับการหมุน  $4^+, 6^+$  และ  $8^+$
2. ระดับพลังงานการหมุนถูกกระตุ้น (excited rotational level) ระดับแรกของ  $^{228}_{90}\text{Th}$  อยู่ที่  $0.057 \text{ MeV}$  ส่วนระดับถูกกระตุ้นอื่นอยู่ที่  $0.186 \text{ MeV}, 0.328 \text{ MeV}, 0.393 \text{ MeV}$ , และ  $0.965 \text{ MeV}$  ให้หาว่าระดับถูกกระตุ้นอื่นเหล่านี้เป็นส่วนหนึ่งของแบบการหมุน (rotational band) หรือไม่ ?
3. สถานะ  $\frac{9}{2}^-$  ของ  $^{179}_{74}\text{W}$  ซึ่งมี  $K = \frac{7}{2}^-$  เป็นสถานะถูกกระตุ้นที่มีพลังงาน  $120 \text{ keV}$  ให้คำนวณ ค่าพลังงานของ  $^{179}_{74}\text{W}$  นี้ที่สถานะถูกกระตุ้น  $\frac{11}{2}^-, \frac{13}{2}^-$  และ  $\frac{15}{2}^-$
4. ระดับของสปิน-แพริที  $0^+, 2^+, 4^+, 6^+, 8^+$  ของนิวเคลียส  $^{234}_{92}\text{U}$  อยู่ที่สถานะพลังงาน  $0, 44, 134, 296$  และ  $500 \text{ keV}$  ตามลำดับ ให้แสดงว่าพลังงานเหล่านี้เป็นแบบพลังงานการหมุน (rotational energy band) พร้อมกับให้คำนวณพลังงานที่สถานะ  $10^+$

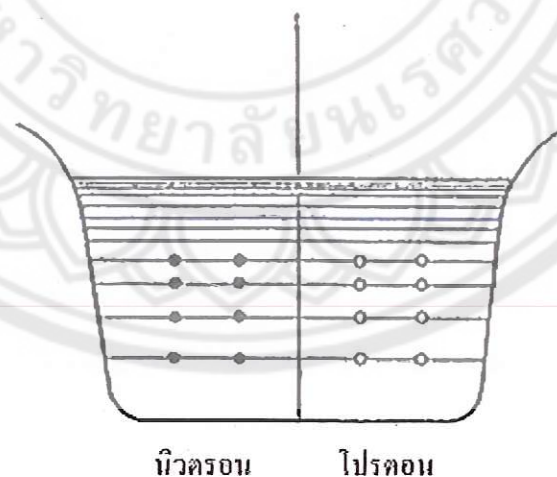
# บทที่ 4

## แบบจำลองแก๊สเฟร์นิ

### (THE FERMI GAS MODEL)

แบบจำลองแก๊สเฟร์นิ (Fermi Gas Model) นอกจากจะใช้ในวิชาฟิสิกส์ของอะตอมแล้ว ยังนำมาใช้ในวิชานิวเคลียร์ฟิสิกส์อีกด้วย โดยในวิชานิวเคลียร์ฟิสิกส์ แบบจำลองแก๊สเฟร์นิถูกนำไปอธิบายพจน์บางพจน์ในสูตรการทดลองมวล ทำนายการกระเจิงแบบวิถีอิสระเฉลี่ย (mean free path) ขามากของนิวเคลื่อนที่มีพลังงานสูงมาก รวมทั้งใช้ทำนายความลึกของหลุมศักย์

ตามแบบจำลองแก๊สของเฟร์นิของนิวเคลียส จะสมมุติให้นิวตรอนและโปรตอนเคลื่อนที่อย่างอิสระภายใต้หลุมศักย์ของแรงดึงดูดภายในนิวเคลียส โดยจะไม่นำแรงระหว่างคู่ของนิวเคลื่อนมาคิดถึงแม้ว่าจะมีผลต่อหลุมศักย์ก็ตาม ทุกนิวเคลื่อนที่อยู่ภายในนิวเคลียสจะถูกสมมุติให้เป็นแก๊สอยู่ภายในปริมาตรทรงกลมเล็ก ๆ ที่มีขนาดเท่ากับขนาดของนิวเคลียส โดยแก๊สนี้จะต้องสอดคล้องกับทฤษฎีพลังงานจลน์ของแก๊ส ดังนั้นทุกครั้งที่กล่าวถึงนิวเคลียสร่างกีจพิจารณาให้尼วเคลียสเป็นปริมาตรของแก๊ส โดยแก๊สที่อยู่ในปริมาตรนี้มีสองชนิดคือ แก๊สเฟร์นิโปรตอน



รูป 4.1 แผนภาพระดับพลังงานของโปรตอนและนิวตรอน  
ตามแบบจำลองแก๊สเฟร์นิ (คัดแปลงจาก A. P. Arya,  
*Fundamentals of Nuclear Physics.*, Boston: Allyn and Bacon,  
1968, p. 339)

(proton Fermi gas) และแก๊สเฟร์นิวตรอน (neutron Fermi gas) ซึ่งเมื่อเวลาพิจารณาจะพิจารณาแยกกันเป็นชนิด ๆ ไป และการคำนวณในแบบจำลองนี้จะใช้วิชาสถิติเข้ามาช่วย

ทั้ง proton และนิวตรอนที่เป็นอนุภาคเฟร์นิจะต้องสอดคล้องกับหลักการเกิดกันเพาลี ดังนั้นในแต่ละระดับพลังงานของ proton ก็จะมีจำนวน proton ได้อย่างมากที่สุดสองตัว (คือมี สปิน  $+\frac{1}{2}$  และ  $-\frac{1}{2}$ ) ในระดับพลังงานของนิวตรอนก็เช่นเดียวกัน ในรูป 4.1 แสดงระดับพลังงานของเฟร์นิ ระยะห่างระหว่างระดับพลังงานจะเป็นอันดับของสองสาม MeV

ในการคำนวณหาความถี่ของอนุภาคยังคงนิวเคลียสที่อยู่ในสถานะพื้น โดยการใช้แบบจำลองแก๊สเฟร์นิ จะสมมุติให้นิวเคลียสที่เป็นอนุภาคเฟร์นิ เคลื่อนที่อยู่ภายใต้ศักย์คงตัว ภายในปริมาตรที่กำหนดให้เป็นกล่องลูกบาศก์แทนปริมาตรทรงกลม (เพื่อให้การคิดสมการคลี่ง่ายขึ้น) และด้วยเหตุที่นิวเคลียสจะต้องอยู่ภายใต้ปริมาตรนี้เท่านั้น เราจึงสมมุติให้ศักย์ที่ขอบกล่องมีค่าสูงมากจนกระทั้งฟังก์ชันคลื่นเป็นศูนย์ที่ขอบกล่อง สมการคลื่นiharmonic ของนิวเคลียสจะเป็น

$$-\frac{\hbar^2}{2M} \left( \frac{\partial^2 \psi}{\partial x^2} + \frac{\partial^2 \psi}{\partial y^2} + \frac{\partial^2 \psi}{\partial z^2} \right) = E \psi \quad (4.1)$$

ผลเฉลยของสมการนี้จะหายไปที่  $x = y = z = 0$  และที่  $x = y = z = L$  เมื่อ  $L$  เป็นความยาวของลูกบาศก์ เราเขียน  $\psi$  ได้เป็น

$$\psi(x, y, z) = X(x)Y(y)Z(z) \quad (4.2)$$

เมื่อใช้วิธีแยกตัวแปร จะได้ส่วนประกอบในแนวแกน  $x$  ของสมการคลื่นเป็น

$$-\frac{\hbar^2}{2M} \frac{d^2 X(x)}{dx^2} = E_x X(x) \quad (4.3)$$

ซึ่งมีผลเฉลยเป็น

$$X(x) = A' \sin \frac{\sqrt{2ME_x}}{\hbar} x \quad (4.4)$$

เมื่อ

$$\frac{\sqrt{2ME_x}}{\hbar} L = n_x \pi \quad \text{และ} \quad n_x = 1, 2, 3, 4, \dots$$

หรือ

$$E_x = \frac{n_x^2 \pi^2 \hbar^2}{2ML^2} \quad (4.5)$$

เราอาจหา  $Y(y)$ ,  $Z(z)$ , และ  $E_y$ ,  $E_z$  ได้ในทำนองเดียวกัน และเมื่อแทน  $X(x)$ ,  $Y(y)$ , และ  $Z(z)$  ที่หาได้ลงในสมการ (4.2) จะได้

$$\psi(x, y, z) = A \sin \frac{\sqrt{2ME_x}}{\hbar} x \sin \frac{\sqrt{2ME_y}}{\hbar} y \sin \frac{\sqrt{2ME_z}}{\hbar} z \quad (4.6)$$

และ

$$E = E_x + E_y + E_z = \frac{\pi^2 \hbar^2}{2ML^2} (n_x^2 + n_y^2 + n_z^2) \quad (4.7)$$

เมื่อ  $n_x = 1, 2, 3, 4, \dots$ ,  $n_y = 1, 2, 3, 4, \dots$ , และ  $n_z = 1, 2, 3, 4, \dots$

เพราะว่า  $E = \frac{p^2}{2M} = \frac{1}{2M} (p_x^2 + p_y^2 + p_z^2)$  เมื่อเทียบกับสมการ (4.7) จะได้

$$p^2 = p_x^2 + p_y^2 + p_z^2 = \frac{\pi^2 \hbar^2}{L^2} (n_x^2 + n_y^2 + n_z^2) = \frac{\pi^2 \hbar^2}{L^2} n^2 \quad (4.8)$$

เมื่อ  $n^2 = n_x^2 + n_y^2 + n_z^2$  เพราะฉะนั้นจำนวนสถานะที่อยู่ในช่วงโมเมนตัม 0 ถึง  $p$  จะกำหนดให้โดย

$$n^2 (= n_x^2 + n_y^2 + n_z^2) \leq \frac{p^2 L^2}{\pi^2 \hbar^2} \quad (4.9)$$

จำนวนสถานะที่เป็นไปได้ ที่มีโมเมนตัมอยู่ในช่วง 0 ถึง  $p$  อาจคำนวณจากจำนวนจุดแลตทิซ หน่วย (unit lattice-point) ที่อยู่ภายในหนึ่งอูจภาค (octant) ของทรงกลม ที่มีรัศมี  $pL / \pi \hbar$  ( $= n = \sqrt{n_x^2 + n_y^2 + n_z^2}$ ) ที่อยู่ในปริภูมิ (space) ของเลขคວอนตัม  $n_x$ ,  $n_y$ , และ  $n_z$  (เหตุที่ต้องคิดเพียงหนึ่งอูจภาค เพราะว่าเลขคວอนตัมเหล่านี้จะต้องมีค่าเป็นบวกทั้งหมด) พิกัดทั้งสามของแต่ละจุดแลตทิซจะเป็นจุดที่เป็นไปได้ของเลขคວอนตัม  $n_x$ ,  $n_y$ , และ  $n_z$  (เลขคວอนตัมแต่ละตัวมีค่ามากกว่าศูนย์) เพราะฉะนั้นจำนวนสถานะที่เป็นไปได้จะเป็น

$$n = 2 \left( \frac{1}{8} \right) \left( \frac{4\pi}{3} \right) \left( \frac{pL}{\pi \hbar} \right)^3$$

เมื่อเลข 2 ที่คูณอยู่กับพจน์ทางด้านขวา มีของสมการ มาจากเหตุผลเนื่องจากแต่ละสถานะมี

นิวเคลียนอยู่ได้ 2 ตัว ดังนั้นสถานะทั้งหมดที่เป็นไปได้ (เมื่อเรียงสถานะให้นิวเคลียนอยู่สถานะละ 1 ตัว) จึงมีจำนวนเป็นสองเท่า จึงต้องคูณด้วย 2 และเมื่อแทน  $L^3$  ด้วยปริมาตรลูกบาศก์  $V$  จะได้

$$n = \left( \frac{1}{3} \right) \left( \frac{p^3 V}{\pi^2 \hbar^3} \right) \quad (4.10)$$

และจำนวนสถานะระหว่างโภmen ตั้ม  $p$  ถึง  $p + dp$  คือ

$$dn = \frac{V p^2}{\pi^2 \hbar^3} dp \quad (4.11)$$

การคำนวณหาพลังงานสูงสุดของนิวเคลียน หรือที่เรียกในที่นี้ว่าอย่างหนึ่งว่าเป็น พลังงานเฟร์นิ (Fermi energy) และพลังงานเกิดขึ้นนิวเคลียนภายในนิวเคลียส ทำได้ดังนี้ ให้นิวเคลียสอยู่ที่สถานะพื้น และให้  $n = N$  หรือ  $Z$ ,  $V = (4\pi/3)(R^3)$  เมื่อ  $R = r_0 A^{1/3}$ , เมื่อแทนลงในสมการ (4.10) จะได้ค่าสูงสุดของโภmen ตั้มค้างค่อไปนี้ คือ

$$p_{\max}^p = C'(Z/A)^{1/3} \quad \text{และ} \quad p_{\max}^n = C'(N/A)^{1/3} \quad (4.12)$$

ตัวยก "p" และ "n" แทนโปรตอนและนิวตรอนตามลำดับ, และ  $C' = (9\pi/4)^{1/3} (\hbar/r_0)$  พลังงานเฟร์นิกำหนดให้โดย  $E_f = p_{\max}^2 / 2M$  เมื่อแทน  $p_{\max}$  ของโปรตอนและนิวตรอนที่ปรากฏอยู่ในสมการ (4.12) ลงไป จะได้พลังงานเฟร์นิของโปรตอนและนิวตรอนเป็น

$$E_f^p = C(Z/A)^{2/3} \quad \text{สำหรับโปรตอน} \quad (4.13)$$

$$E_f^n = C(N/A)^{2/3} \quad \text{สำหรับนิวตรอน}$$

เมื่อ  $C = (1/2M)(9\pi/4)^{2/3} (\hbar^2/r_0^2)$  พลังงานเฟร์นินี้จะหาค่าอคณามาเป็นตัวเลขได้โดยการ กำหนดให้  $r_0 \approx 1.2 \times 10^{-13} \text{ cm}$  และ  $N \approx Z \approx A/2$  ซึ่งเมื่อแทนค่าเหล่านี้และค่าคงตัวอื่น ๆ ลง ในสมการ (4.13) แล้ว ก็จะได้พลังงานเฟร์นิของโปรตอนและนิวตรอนเป็น

$$E_f^p \cong E_f^n \cong E_f \cong 32 \text{ MeV} \quad (4.14)$$

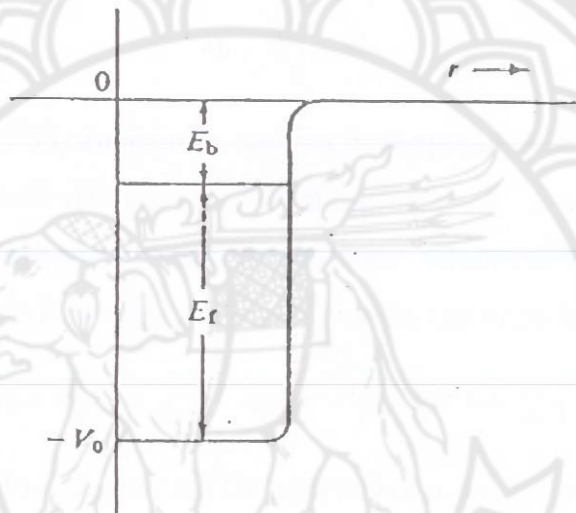
ความถึกของหลุมศักย์,  $V_0$ , สัมพันธ์กับพลังงานเฟร์นิ,  $E_f$ , และพลังงานเยิດเหนี่ยว,  $E_b$ , ของแต่ละนิวเคลียน ดังนี้

$$V_0 = E_f + E_b \cong 40 \text{ MeV} \quad (4.15)$$

เมื่อแทนค่า  $E_f$  จากสมการ (4.14) และประมาณให้  $E_b$  ของแต่ละนิวเคลียน มีค่า 8 MeV ก็จะ หาความลึกของหลุมศักย์ได้เป็น

$$V_0 = 32 + 8 = 40 \text{ MeV}$$

ความสัมพันธ์ระหว่าง  $V_0$ ,  $E_f$ , และ  $E_b$  แสดงเป็นแผนภาพดังในรูป 4.2



รูป 4.2 แผนภาพแสดงความสัมพันธ์ระหว่างความลึกของ หลุมศักย์,  $V_0$ , พลังงานเฟร์มิ,  $E_f$ , และพลังงาน ยึดเหนี่ยว ของนิวเคลียน,  $E_b$  (จาก A. P. Arya, *Fundamentals of Nuclear Physics.*, Boston: Allyn and Bacon, 1968, p. 382)

พลังงานจนน้ำรวมของทุกโปรตอน  $E_Z$  และของทุกนิวตรอน  $E_N$  คำนวณหาตามแบบจำลอง แก๊สเฟร์มิได้จากความสัมพันธ์

$$E_Z = \int_0^Z Edn \quad (4.16)$$

$$E_N = \int_0^N Edn$$

แทน  $E = p^2 / 2M$  และ  $dn$  จากสมการ (4.11) ลงในสมการ (4.16) พิรุณทั้งเปลี่ยนข้อจำกัด ของการหาปริพันธ์ และนำสมการ (4.13) มาใช้ด้วย จะได้

$$E_z = \frac{3}{5} (ZE_f^p) \quad (4.17)$$

$$E_N = \frac{3}{5} (NE_f^n)$$

ผลรวมของพลังงานคงนิวเคลียร์ของโปรตอนและนิวตรอนทั้งหมดจะเป็นพลังงานของนิวเคลียส  $E(Z, A)$  :

$$E(Z, A) = E_z + E_N \quad (4.18)$$

นำ  $E_z$  และ  $E_N$  จากสมการ (4.17) มาแทน แล้วนำสมการ (4.13) มาช่วย จะได้

$$E(Z, A) = \frac{3}{5} CA^{-2/3} (Z^{5/3} + N^{5/3}) \quad (4.19)$$

เพราะว่า  $Z = N = A/2$ , พลังงานของนิวเคลียส  $E(Z, A)$  จึงเป็นฟังก์ชันของ  $Z$  และ  $A$  เท่านั้น ไม่จำเป็นต้องบอกว่าเป็นฟังก์ชันของ  $N$  สำหรับนิวเคลียสโดยทั่วไปพลังงานคงนิวเคลียสต่อ

นิวเคลียสต่อประนาณ 20 MeV

ต่อไปนี้เราจะคำนวนหาผลของการเข้าคู่ (effect of pairing) ของนิวเคลียสที่อยู่ในสูตรกึ่ง การทดลองมวล

พลังงานต่ำสุด  $E_{\min}$  ของนิวเคลียสหาได้จากสมการ (4.19) โดยการกำหนดให้  $Z = N = A/2$  เพราะนิวเคลียสจะเสถียรที่สุดหรือมีพลังงานต่ำสุดเมื่อมีจำนวนโปรตอนเท่ากับจำนวนนิวตรอน และ  $E_{\min}$  ที่ได้จากสมการ (4.19) หลังจากแทน  $N$  และ  $Z$  ด้วย  $A/2$  จะเป็น

$$E_{\min} = \frac{3}{5} CA^{-2/3} [2(A/2)^{5/3}] \quad (4.20)$$

ค่าแยก (departure) จากพลังงานต่ำสุด,  $f(Z, A)$ , อาจเขียนได้เป็น

$$f(Z, A) \propto E(Z, A) - E_{\min}$$

$$= \frac{3}{5} CA^{-2/3} \left[ N^{5/3} + Z^{5/3} - 2 \left( \frac{A}{2} \right)^{5/3} \right]$$

ถ้าเราแทน

$$d = N - Z = N - \frac{A}{2} = \frac{A}{2} - Z$$

เราจะได้

$$f(Z, A) = \frac{3}{5} CA^{-2/3} \left[ \left( \frac{A}{2} + d \right)^{5/3} + \left( \frac{A}{2} - d \right)^{5/3} - 2 \left( \frac{A}{2} \right)^{5/3} \right] \quad (4.21)$$

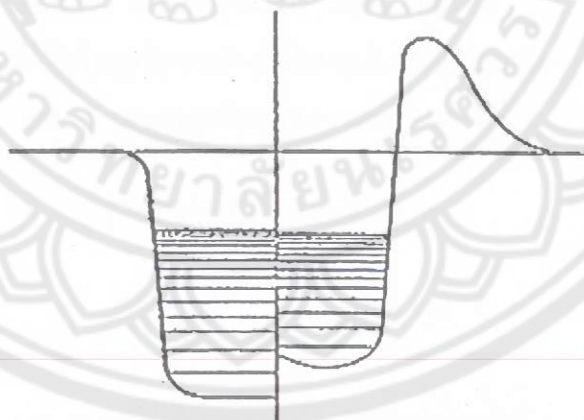
กระจาย  $\left( \frac{A}{2} + d \right)^{5/3}$  และ  $\left( \frac{A}{2} - d \right)^{5/3}$  ในพจน์ของอนุกรม泰ลลอร์ (Taylor series) และรักษาไว้ เกาะพจน์ถึง  $d^2$  เท่านั้น เราจะได้

$$f(Z, A) \approx \frac{d^2}{A} = \frac{\left( \frac{A}{2} - Z \right)^2}{A} \quad (4.22a)$$

หรือ

$$f(Z, A) = a_4 \frac{\left( \frac{A}{2} - Z \right)^2}{A} \quad (4.22b)$$

เมื่อ  $a_4$  เป็นค่าคงตัว ซึ่งพจน์  $f(Z, A)$  นี้เป็นพจน์หนึ่งที่อยู่ในสูตรการทดลองมวล เรียกว่า พจน์สมมาตร (symmetry term) เมื่ออยู่ในสูตรพจน์นี้จะมีเครื่องหมายเป็นลบ ถ้าจำนวนโปรตอน



นิวเคลียน โปรตอน

รูป 4.3 ระดับพลังงานของนิวเคลียนและโปรตอน  
ระดับพลังงานของโปรตอนที่ต่างไปจากระดับพลังงาน  
ของนิวเคลียนนั้นเนื่องมาจากศักยภาพอนุ (ศักยภาพจาก  
A. P. Arya, *Fundamentals of Nuclear Physics.*, Boston:  
Allyn and Bacon, 1968, p. 384)

ไม่เท่ากับจำนวนนิวตรอน พจน์นี้จะไม่เป็นศูนย์ มีผลทำให้พลังงานยึดเหนี่ยวของลงหรือ นิวเคลียสเสถียรน้อยลง แต่ถ้ามีจำนวนเท่ากันจะมีค่าเป็นศูนย์ และมีผลทำให้พลังงานยึดเหนี่ยวที่ ค่านากหรือนิวเคลียสเสถียรมากขึ้น

ในตอนท้ายของบทนี้อาจมีข้อสงสัยเกิดขึ้นว่า ทำไมนิวคลีโอที่อยู่ในตารางนิวคลีโอจึงมี จำนวนนิวตรอนมากกว่าโปรตอน ทั้งที่สมควรจะต้องเท่ากันมากกว่า ข้อสงสัยนี้อธิบายได้ว่า เนื่องจากการในแบบจำลองแก๊สเฟร์มินี้เราไม่ได้คำนึงถึงผลของศักย์คูลอมบ์ที่เกิดจากการผลักกัน ระหว่างโปรตอนภายในนิวเคลียส ซึ่งศักย์คูลอมบ์จะมีขนาดเป็น eV ศักย์คูลอมบ์นี้จะไปหักล้าง กับศักย์แรงดึงดูดระหว่างโปรตอน มีผลทำให้ศักย์ของโปรตอนตื้นกว่าของนิวตรอนเล็กน้อย (ตื้น กว่ากันเป็น eV) แต่ระดับพลังงานสูงสุดของโปรตอนและนิวตรอนนั้นเท่ากัน ดังจะเห็นใน รูป 4.3 ดังนั้นระดับพลังงานของนิวตรอนจึงมีจำนวนมากกว่าระดับพลังงานของโปรตอน มีผลทำ ให้นิวเคลียสเสถียรมีจำนวนนิวตรอนมากกว่าโปรตอนได้

### เอกสารอ้างอิง

1. A.P. Arya, *Fundamentals of Nuclear Physics*, Allyn and Bacon, Boston, 1968.
2. J.M. Blatt and V.F. Weisskopf, *Theoretical Nuclear Physics*, John Wiley & Sons, New York, 1952.
3. W.E. Burcham and Jobes, *Nuclear and Particle Physics*, Longman, Singapore, 1995.
4. W. N. Cottingham and D.A. Greenwood, *An Introduction to Nuclear Physics*. 2nd edit, Cambridge University, Cambridge, 2001.
5. A. Das and T. Ferbel, *Introduction to Nuclear and Particle Physics*, John Wiley & Sons, New York, 1994.
6. V. Devanathan, *Nuclear Physics*, Narosha Publishing House, New Delhi, 2006
7. H.A. Enge, *Introduction to Nuclear Physics*, Addison-Wesley, Reading, Massachusetts, 1967.

8. E. M. Henley and A. Garcia, *Subatomic Physics*, 3rd edit, World Scientific, New Jersey 2007.
9. K. Heyde, *Basic Ideas and Concepts in Nuclear Physics: An Introductory Approach*, 2nd edit, Institute of Physics, Brista, 1999.
10. N.A. Jelley, *Fundamentals of Nuclear Physics*, Cambridge University, Cambridge, 1990.
11. I. Kaplan, *Nuclear Physics*, Addison-Wesley, London, 1958.
12. K.S. Krane, *Introductory Nuclear Physics*, John Wiley & Sons, Singapore, 1988.
13. B.R. Martin, *Nuclear and Particle Physics*, Wiley, West Sussex, 2006.
14. W.E. Meyerhof, *Elements of Nuclear Physics*, McGraw-Hill, New York, 1989.
15. H.C. Ohanian, *Modern Physics*, Prentice-Hall, New Jersey, 1990.
16. S.M. Wong, *Introductory Nuclear Physics*, Plentice-Hall, New Jersey, 1990.

### แบบฝึกหัด

1. บนพื้นฐานของแบบจำลองแก๊สเฟรนซิ จงคำนวณการยกตัวของกั่นหลุมศักย์ไปรดอน ที่เป็นผลเนื่องมาจากการแรงผลักดันอนุนัติ
2. ให้คำนวณหาพลังงานเฟรนซิของนิวเคลียส  $^{40}_{20}\text{Ca}$  และหาส่วนลึกลับของหลุมศักย์  $V_0$  ของแรงนิวเคลียร์
3. จงคำนวณหาพลังงานสมมาตร (พจน์สมมาตร) และอัตราส่วนระหว่างพลังงานสมมาตรกับพลังงานยึดเหนี่ยวรวมของ  $^{27}_{13}\text{Al}$ ,  $^{63}_{29}\text{Cu}$ ,  $^{238}_{92}\text{U}$

# บทที่ 5

## แบบจำลองนิวเคลียสประกอบ (THE COMPOUND NUCLEUS MODEL)

### 5.1 แบบจำลองนิวเคลียสประกอบ (Compound Nucleus Model)

ในการศึกษาโครงสร้างของนิวเคลียส ประเด็นสำคัญของการศึกษาจะมุ่งไปที่แบบจำลองอนุภาคเชิงเดี่ยวกับแบบจำลองกลุ่ม ทำนองเดียวกันในการศึกษาปฏิกิริยานิวเคลียร์ ประเด็นสำคัญจะมุ่งไปที่เรื่องปฏิกิริยาตรง (direct reaction) กับการก่อรูปเป็นนิวเคลียสประกอบ (compound nucleus formation) ในกรณีของปฏิกิริยาตรงจะใช้ได้กับกรณีของอนุภาคต่ำกระแทบมีพลังงานสูง โดยให้นิวคลีอ่อนที่เป็นอนุภาคต่ำกระแทบหนึ่งนิวคลีอ่อนมีอันตรกิริยากับนิวคลีอ่อนของนิวเคลียส ได้เพียงหนึ่งนิวคลีอ่อนเท่านั้น และเวลาของการมีอันตรกิริยาไม่เกินอันดับของ  $10^{-12}$  s โดยช่วงเวลาดังกล่าวเนี้ย เทียบได้กับช่วงเวลาที่ใช้ไปในการเคลื่อนที่ผ่านนิวเคลียสในแนวเส้นผ่าศูนย์กลางของอนุภาคที่มีพลังงานจนมากกว่าอันดับของ 1 MeV ในช่วงเวลาสั้น ๆ ขนาดนี้ โอกาสที่อันตรกิริยาจะมีเฉพาะกับนิวคลีอ่อนในบริเวณผิวดวงนิวเคลียสเป้าเท่านั้น ซึ่งผลของการก่อรูปนิวเคลียสที่อยู่ส่วนในของตัวนิวเคลียสเดียว แต่ถ้าพลังงานของอนุภาคต่ำกระแทบมีค่าน้อยลงจะมีเวลามากพอที่จะให้ออนุภาคต่ำกระแทบและนิวเคลียสเป้ารวมตัวกันอยู่นาน เป็นอันดับของ  $10^{-14}$  s ซึ่งสภาวะดังกล่าวเนี้ยถือว่าเป็นสภาวะของการก่อรูปเป็นนิวเคลียสประกอบ ดังจะนำมากล่าวก่อนในบทนี้ ถ้วนปฏิกิริยาตรงจะกล่าวในบทต่อไป

#### 5.1.1 ข้อสมมุติของโบร์ (The Bohr Assumption)

ก่อนจะกล่าวถึงข้อสมมุติของโบร์ (Bohr assumption) คร่าวๆ ข้างต้น ในการเป็นจริงกระบวนการของปฏิกิริยานิวเคลียร์จะเริ่มต้นนั้นตั้งแต่อนุภาคต่ำกระแทบเข้ามาใกล้กับนิวเคลียสเป้าจน

อยู่ในพิสัยของแรงนิวเคลียร์ และจะถูกเมื่อนูภาคกระเด็นออกและนิวเคลียสตกค้าง ซึ่งเป็นผลผลิตของปฏิกิริยาแยกห่างออกจากกันเกินพิสัยของแรงนิวเคลียร์ และช่วงเวลาของการก่อรูป เป็นนิวเคลียสประกอบก็คือช่วงเวลาของการมีอันตราริบາต่อ กันของอนุภาคตกกระทบกับนิวเคลียส นั่นเอง สำหรับขั้นตอนของปฏิกิริยานิวเคลียร์นั้น นีลส์ โบร์ (Niels Bohr) เป็นบุคคลแรกที่ให้ข้อสมมุติเกี่ยวกับเรื่องนี้ใน พ.ศ. 1936 โดยให้ข้อสมมุติไว้ว่า ขั้นตอนของปฏิกิริยานี้สองขั้นตอน คือ ขั้นตอนแรก จะเป็นขั้นตอนของการก่อรูปเป็นนิวเคลียสประกอบ C ขั้นตอนที่สอง จะเป็นขั้นตอนที่นิวเคลียสประกอบถลายตัว และให้ผลผลิตของปฏิกิริยา ขั้นตอนที่สองนี้เป็นอิสระไม่ขึ้นต่อ กัน จากข้อสมมุติของโบร์ดังกล่าว นี้ วิธีการถลายตัวของระบบประกอบจะเป็นไปอย่างไร ตามที่นิวเคลียสประกอบเดย เหตุที่โบร์ตั้งข้อสมมุติเช่นนี้ เพราะโบร์นองในแง่ที่นิวเคลียสคือระบบอนุภาคที่อนุภาคในระบบมีอันตราริบາต่อ กันอย่างแรงด้วยแรงพิสัยสั้น ดังนั้นถ้าหากมีอนุภาคจากภายนอก (หรืออนุภาคตกกระทบ) เข้ามาในระบบนี้แล้ว อนุภาคนั้นจะต้องมีอันตราริบากับอนุภาคที่อยู่ในระบบ พร้อมกับทำการเคลื่ยพลังงานให้ด้วยอย่างรวดเร็ว หลังจากนั้นถ้าหากอนุภาคได้มีพลังงานมากพอ ก็จะหลุดออกไปจากระบบ ซึ่งก็จะเห็นได้ว่า การถลายตัวของนิวเคลียสประกอบไม่มีวิถีทางของการก่อรูปเข้ามาเกี่ยวข้องด้วยเดย

ความสมเหตุสมผล (validity) และข้อจำกัด (limitation) ของข้อสมมุติของโบร์ อาจจะพิจารณาได้ในแนวทางต่อไปนี้ เมื่อจากอันตราริบาระหว่างนิวเคลื่อนเป็นอันตราริบາอย่างแรง การเคลื่ยพลังงานระหว่างอนุภาคตกกระทบให้กับอนุภาคอื่น ๆ จะต้องเป็นไปอย่างรวดเร็ว ซึ่งการเคลื่ยพลังงานจะรวดเร็วได้ก็ต่อเมื่อวิถีอิสระเคลื่ย (mean free path)  $\Lambda$  ของอนุภาคตกกระทบน้อยกว่ารัศมี  $R$  ของนิวเคลียสมาก ด้วยเหตุนี้พลังงาน  $\epsilon$  ของอนุภาคตกกระทบท้องไม่สูงมาก ( $\epsilon < 50 \text{ MeV}$ ) อาจประมาณค่า  $\Lambda$  ได้ว่า  $\Lambda \sim 0.4 \times 10^{-13} \text{ cm}$  ในช่วงที่ค่าพลังงานจะน้อยของนิวเคลื่อนที่เป็นอนุภาคตกกระทบมีค่าสูงถึงประมาณ  $\epsilon \approx 20 \text{ MeV}$  แต่ถ้าพลังงานสูงขึ้นอีก  $\Lambda$  ก็จะมีค่าสูงขึ้นตามความสัมพันธ์  $\Lambda \sim 1.8 \times 10^{-15} \times E \text{ cm}$  (เมื่อ  $E$  มีหน่วยเป็น MeV) การเคลื่ยพลังงานนี้อาจใช้เวลานานจนกว่าพลังงานที่สั่งสมบนอนุภาคโดยอนุภาคหนึ่งมากพอที่จะหลุดออกไปจากระบบประกอบได้ ดังจะเห็นได้ดังต่อไปนี้ กำหนดให้พลังงานการระต้นรวม  $E$  ของระบบประกอบมีค่าเป็น  $E = \epsilon + S_a$  เมื่อ  $S_a$  เป็นพลังงานการแยก ที่ใช้แยกอนุภาคตกกระทบ  $a$  ออกจากนิวเคลียสประกอบ เนื่องจากวิถีอิสระเคลื่ย  $\Lambda$  มีค่าน้อยมาก การเคลื่ยพลังงานท่านกลางจำนวนนิวเคลื่อน  $A$  ในระบบประกอบจะต้องเป็นไปอย่างรวดเร็ว แต่ละนิวเคลื่อนจะได้พลังงานจากการเคลื่ยนาในปริมาณ  $E/A$  แต่ทราบได้ที่  $E/A$  ยังมีค่าน้อย เมื่อเทียบกับพลังงานการแยกเคลื่ย  $S$  ในการแยกนิวเคลื่อนออกจากระบบประกอบ, ( $E/A << S$ ), ก็จะต้องรอให้มีอันตราริบາเพื่อการ

แลกเปลี่ยนพลังงานอีกหลายครั้ง เพื่อสั่งสมพลังงานบนอนุภาคโดยอนุภาคหนึ่งจะมากพอที่จะหลุดออกไปได้ ซึ่งในการแลกเปลี่ยนพลังงานอีกหลายครั้งก่อนที่อนุภาคจะหลุดนี้จะทำให้ข้อสมมุติของโบร์ที่ว่าวิธีการคายอนอนุภาคของนิวเคลียสประกอบไม่เข้ากับวิธีทางของการก่อรูปนั้นสมเหตุสมผล เพราะการหลุดของนิวเคลียสประกอบนั้นขึ้นอยู่กับโอกาสของการสั่งสมพลังงานต่างหาก จากที่กล่าวมานี้สรุปได้ว่า เงื่อนไขที่ทำให้ข้อสมมุติของโบร์สมเหตุสมผล คือ

$$(ก) \Lambda \ll R$$

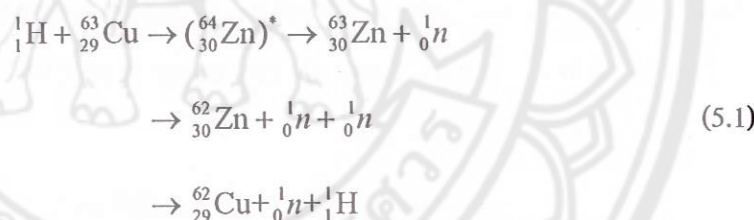
$$(ง) E/A \ll S$$

$$\text{หรือเงื่อนไขใหม่ในรูปแบบ } (\varepsilon/A) + (S_a/A) \ll S$$

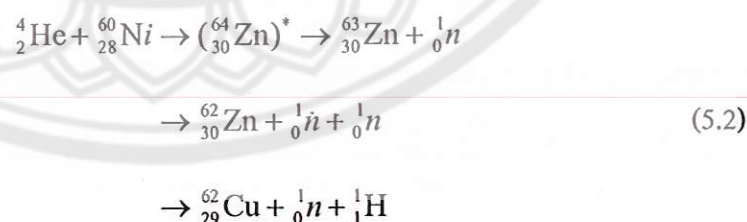
$$\text{ซึ่งถ้าให้ } S_a \sim S \text{ จะได้เงื่อนไขในข้อนี้คือ } \varepsilon \ll (A-1)S$$

ซึ่งเงื่อนไขทั้งสองข้อจะสอดคล้องกับกรณีที่นิวเคลียสไโอลี ไอมี  $A > 10$  และอนุภาคตกระบบท่มีพลังงานในทางที่  $\varepsilon < 50 \text{ MeV}$

สำหรับการตรวจสอบข้อสมมุติของโบร์ที่ว่าวิธีการสลายตัวของนิวเคลียสประกอบไม่เข้ากับวิธีทางการก่อรูปนั้น การตรวจสอบที่ดีที่สุดคือการทดลองของ เอส. กอชอล (S. Ghoshal) ซึ่งผลิตนิวเคลียสประกอบ  $^{64}_{30} \text{Zn}$  ด้วยวิธีทางต่างกันสองวิธี คือ



และ



ซึ่งปรากฏว่าภาคตัดขวางของปฏิกิริยาแต่ละวิธีการสลายตัวที่ได้จากสมการ (5.1) และ (5.2) เท่ากันคือ

$$\sigma(p, n) : \sigma(p, 2n) : \sigma(p, pn) = \sigma(\alpha, n) : \sigma(\alpha, 2n) : \sigma(\alpha, pn)$$

เป็นการยืนยันว่าข้อสมมุติของ โนร์ลูกต้อง

### 5.1.2 ปฏิกิริyanิวเคลียร์, ภาคตัดขาด, และอัตราการคาย (Nuclear Reactions, Cross Sections, and Emission Rates)

ตามข้อสมมุติของ โนร์ ภาคตัดขาดของการก่อรูปเป็นนิวเคลียสประกอบตามปฏิกิริยา  $X(a,b)Y$  จะเขียนอยู่ในรูป

$$\sigma(a,b) = \sigma_c(a)G_c(b) \quad (5.3)$$

เมื่อ  $\sigma_c(a)$  เป็นภาคตัดขาดของการก่อรูปเป็นนิวเคลียสประกอบ  $C$  โดยอนุภาคตัวที่  $a$  ที่ตัดระบบนิวเคลียส  $X$  และ  $G_c(b)$  เป็นโอกาสที่นิวเคลียสประกอบ  $C$  จะคายอนุภาค  $b$  ออกมาระหว่างหนึ่งเดือน ที่  $b$  เป็นนิวเคลียส  $Y$  เป็นปริมาณที่ไม่มีหน่วย เมื่อจากการคายอนุภาคเป็นไปได้หลายวิธี  $G_c(b)$  จึงเป็นโอกาสของการคายอนุภาคหรือการสลายตัวในแต่ละวิธี หรืออาจเรียกได้ว่าก่อตัวหนึ่งว่าเป็นสัดส่วนการแตกสาขา (branching ratio) ของปฏิกิริยาที่แบ่งออกเป็นชนิดคายอนุภาค  $b$  ตามที่ก่อตัวนานี่ผลรวมของ  $G_c(b)$  ของทุก ๆ อนุภาค  $b$  ที่ถูกคายออกมาจากระบบ  $C$  จะต้องมีค่าเท่ากับ 1,  $\sum_b G_c(b) = 1$

ตามสมการ (5.3) ถ้าเราให้แทนเนลเข้าของปฏิกิริยา  $X(a,b)Y$  เป็นแซนแนล  $\alpha$  และได้แซนแนลออกเป็น  $\beta$  สมการ (5.3) ก็อาจเขียนได้ใหม่ได้เป็น

$$\sigma(\alpha, \beta) = \sigma_c(\alpha)G_c(\beta) \quad (5.4)$$

เมื่อ  $\sigma(\alpha, \beta)$  เป็นภาคตัดขาดของการมีแซนแนลเข้าเป็นแซนแนล  $\alpha$  และแซนแนลออกเป็นแซนแนล  $\beta$ ,  $\sigma_c(\alpha)$  เป็นภาคตัดขาดของการก่อรูปเป็นระบบประกอบ  $C$  ผ่านทางแซนแนลเข้า  $\alpha$ , และ  $G_c(\beta)$  เป็นโอกาสที่ระบบ  $C$  จะสลายตัวผ่านทางแซนแนล  $\beta$  ตามลำดับ

จากการสรุปจากข้อสมมุติของ โนร์ ที่ว่า การสลายตัวของระบบประกอบจะขึ้นกับเฉพาะ พลังงาน  $E_C$ , โนเมนตัมเชิงมุม  $J_C$ , และภาวะคู่ห้ามคือ เท่านั้น โดยไม่ขึ้นกับวิธีทางของการก่อรูปนั้น จะใช้ไม่ได้กับการกระเจิงแบบยึดหยุ่น ซึ่งแซนแนลเข้าและแซนแนลออกเป็นแซนแนล  $\alpha$  เหมือนกัน (และการตัดขาดเขียนได้เป็น  $\sigma(\alpha, \alpha)$ ) ทั้งนี้ เพราะทราบว่ามีผลการแทรกสอดระหว่าง  $A_{res}$  และ  $A_{pol}$  ปรากฏให้เห็นด้วย ซึ่งแสดงว่ามีการเกี่ยวพันกันระหว่างค่านักตักษณ์

และค่าอัตราการระเจิง เพราะจะนั่นสมการ (5.4) จึงใช้ไม่ได้กับการกระเจิงแบบบีดหยุ่น

เพื่อให้การศึกษานิวเคลียสประกอบของเราในหัวข้อนี้ง่ายเข้า เราจะตัดการเกี่ยวพันกันระหว่างโน้มเนี้ยนดั้มเชิงมูมและภาวะถูกหรือที่ของระบบประกอบทั้งไป ซึ่งถึงแม้ว่าจะทำให้ผลลัพธ์มีความคลาดเคลื่อนไปบ้าง แต่ก็คงไม่ถึงกับทำให้คุณภาพของผลลัพธ์สูญเสียไปมากนัก

มาถึงตอนนี้ครับจะขอแนะนำปริมาณสองสามปริมาณที่ใช้อธิบายการสลายตัวของระบบประกอบ เริ่มด้วยปริมาณที่เรียกว่าช่วงชีวิตเฉลี่ย (*mean lifetime*),  $\tau(E_C)$ , ของระบบประกอบ  $C$  ก่อนสลายตัว และ  $\Gamma(E_C)$  ซึ่งนิยามให้เป็น

$$\Gamma(E_C) = \frac{\hbar}{\tau(E_C)} \quad (5.5)$$

ซึ่งคืออัตราการสลายตัว  $\hbar/\tau$  ครั้งต่อวินาที

$\Gamma$  เป็นพลังงาน แต่ต่อมาแสดงบทบาทเป็นส่วนกว้างระดับ (level width) เราจึงเรียกว่า เป็นส่วนกว้างรวม (total width) ของสถานะพลังงานของระบบประกอบ  $C$  ที่มีพลังงานการกระตุ้น  $E_C$  เนื่องจากระบบ  $C$  อาจสลายตัวได้หลายแขนเนต เพราะจะนั่นอัตราการสลายตัวรวม (total decay rate)  $\Gamma$  จะอยู่ในรูปรวมของอัตราการสลายตัวย่อยไปสู่แต่ละแขนเนต  $\Gamma_\beta$

$$\Gamma(E_C) = \sum_\beta \Gamma_\beta(E_C) \quad (5.6)$$

$\Gamma_\beta(E_C)$  เป็นฟังก์ชันของพลังงาน และเรียกได้อีกอย่างหนึ่งว่าเป็นส่วนกว้างย่อย (partial width) ของการสลายตัวไปสู่แขนเนต  $\beta$

โอกาสแตกสาขา (branching probability) หรือสัดส่วนการแตกสาขา  $G_C$  อาจกำหนดให้ อยู่ในพจน์ของ  $\Gamma$  ได้โดย

$$G_C(\beta) = \frac{\Gamma_\beta}{\Gamma} \quad (5.7)$$

สำหรับกับกระบวนการที่ขอนกลับกับกระบวนการกระแทก หรือปฏิกริยาขอนกลับกับปฏิกริยากระแทก โดยแขนเนตออกเปลี่ยนเป็นแขนเนตเข้าและแขนเนตเข้าเปลี่ยนเป็นแขนเนตออก เราสามารถหา ความสัมพันธ์ระหว่าง  $\sigma_C(\alpha)$  ซึ่งเป็นโอกาสของการกระแทกเป็นระบบประกอบ  $C$  แล้วสลายตัว ออกทางแขนเนต  $\alpha$  กับ  $\Gamma$  ซึ่งเป็นอัตราการสลายตัวไปสู่แขนเนต  $\alpha$  หรือส่วนกว้างของแขนเนต  $\alpha$  ได้โดยใช้ทฤษฎีบทส่วนกลับในสมการ (A.93) (ดูในภาคผนวก A) และจะได้ความสัมพันธ์ ออกมานี้เป็น

$$\frac{\sigma_c(\alpha)}{\Gamma_\alpha \lambda_\alpha^2} = U(E_c) \quad (5.8)$$

และถ้าเราแทนสมการ (5.4) ลงในสมการ (A.93) จะเป็นทฤษฎีบทส่วนกลับ และใช้ค่า  $G_c(\beta)$  จากสมการ (5.7) จะได้

$$\frac{\sigma_c(\alpha)}{\Gamma_\alpha \lambda_\alpha^2} = \frac{\sigma_c(\beta)}{\Gamma_\beta \lambda_\beta^2} = U(E_c) \quad (5.9)$$

$U(E_c)$  ที่เราได้มาในสมการ (5.8) หรือ (5.9) จะขึ้นกับพลังงานการกระตุ้นเท่านั้น โดยไม่ขึ้นกับชันแนล  $\alpha$  หรือ  $\beta$

โอกาส  $G_c(\beta)$  ของการสลายตัวผ่านทางชันแนล  $\beta$  สามารถเปลี่ยนแปลงใหม่ในรูป  $(k = \lambda^{-1})$

$$G_c(\beta) = \frac{k_\beta^2 \sigma_c(\beta)}{\sum_\gamma k_\gamma^2 \sigma_c(\gamma)} \quad (5.10)$$

โดยการบวกจะกระทำกับทุก ๆ ชันแนลที่นิวเคลียสประกอบ  $C$  จะสลายตัวไปได้ ดังนั้นเรารายงานว่าหากตัดช่วง  $\alpha \rightarrow \beta$  ในสมการ (5.4) ได้ถ้าหากเราฐานาตัดช่วง  $\sigma_c(\gamma)$  ของการกระตุ้นเป็นระบบประกอบทุก ๆ ชันแนล แต่ทั้งนี้จะต้องอยู่ภายใต้เงื่อนไขที่ทำให้ข้อสมมุติของโนร์ส์สมเหตุสมผลด้วย

ต่อจากนี้ไปเราจะประยุกต์แบบจำลองนิวเคลียสประกอบเข้ากับปฏิกิริยานิวเคลียร์ในแต่ละบริเวณ (บริเวณในที่นี่หมายถึงย่านพลังงาน) ของพลังงานการกระตุ้นสองบริเวณคือ

(ก) บริเวณ共振ແນ່ນ (Resonance Region) บริเวณหรือย่านนี้เป็นบริเวณที่พลังงานการกระตุ้นมีค่าต่ำ ๆ ในบริเวณนี้ส่วนกว้างระดับ  $\Gamma$  จะมีค่าน้อยมากหรือค่อนเมื่อเทียบกับการแยกห่าง (separation)  $D$  ระหว่างระดับ เราอาจเรียกบริเวณดังกล่าวว่าเป็นบริเวณหรือย่านที่มี  $\Gamma/D \ll 1$

(ข) บริเวณภาวะต่อเนื่อง (Continuum Region) บริเวณหรือย่านนี้เป็นบริเวณที่พลังงานการกระตุ้นมีค่าสูง ๆ เมื่อจากยังระดับพลังงานสูงขึ้นส่วนกว้างระดับจะมีค่ามากขึ้นขณะเดียวกัน การแยกห่างกลับมีค่าน้อยลง ดังนั้นที่บริเวณพลังงานการกระตุ้นสูง ๆ นี้ ส่วนกว้างระดับจึงคงเท่ากัน บริเวณหรือย่านนี้จึงเรียกว่าเป็นบริเวณภาวะต่อเนื่อง หรือเป็นบริเวณที่มี  $\Gamma/D \ll 1$

การประยุกต์แบบจำลองนิวเคลียสประกอบเข้ากับปฏิกิริยานิวเคลียร์ในบริเวณทั้งสองนี้จะพิจารณาเรียงลำดับหัวข้อดังต่อไปนี้

## 5.2 ทฤษฎีของการกระเจิงเรโซนэнซ์ (Theory of Resonance Scattering)

การพิจารณาปฏิกิริยานิวเคลียร์ในบริเวณหรือย่านเรโซนэнซ์,  $\Gamma / D \ll 1$ , ต่อไปนี้เราจะพยายามทำให้ปัญหาของเราง่ายขึ้น โดยกำหนดข้อสมมุติขึ้นมาสองประการคือ (ก) ให้ออนุภาคตกรอบเป็นนิวตรอนที่มีพลังงานต่ำมาก, และนิวตรอนที่มีผลกระทบกับนิวเคลียสเป้าเป็นนิวตรอนที่มี  $I = 0$  เท่านั้น (ข) แทนเนลปีด (แทนเนลลอก) ของการสลายตัวของนิวเคลียสประกอบเป็นแซนแนล  $\alpha$  แซนแนลเดียวทันทีกับแซนแนลเดียว ดังนั้นปฏิกิริยาที่เรากำลังพิจารณาในที่นี่จึงเป็นเฉพาะแต่เพียงการกระเจิงแบบบีดหยุ่นอย่างเดียวเท่านั้น

ในการกระเจิงแบบบีดหยุ่น ฟังก์ชันคลื่นออกจะแตกต่างจากฟังก์ชันคลื่นตกรอบเฉพาะการเลื่อนเฟสเท่านั้น ด้วยเหตุนี้ฟังก์ชันคลื่นรวมในแซนแนล  $\alpha$  จึงอาจเขียนได้เป็น

$$u_0 \sim r^{ikr} + e^{i(Kr+2\zeta)}, \quad r < R_x \quad (5.11)$$

เมื่อ  $K$  เป็นเลขคณิตของระบบในแซนแนล  $\alpha$  จากการใช้สมมุติให้ในสมการ (A.49) (ดูภาคผนวก A) คือ

$$f_0(r) = R \left( \frac{du_0/dr}{u_0} \right)_{r=R} = R \left( \frac{d(\ln u_0)}{dr} \right)$$

เราจะได้ว่า

$$f_0(E) = -KR \tan(KR + \zeta) \quad (5.12)$$

หรือ

$$f_0(E) = -KR \tan Z(E) \quad (5.13a)$$

เมื่อ

$$Z(E) = (KR + \zeta) \quad (5.13b)$$

เมื่อพลังงานของอนุภาคตกรอบเพิ่มขึ้น ฟังก์ชัน  $f_0(E)$  ตามสมการ (5.13) จะมี

ค่าบันผ่านอยู่ระหว่าง 0 กับ  $\infty$  จากสมการ (A.55) (ดูในภาคผนวก) เราหมายเหตุได้ว่าแอนพลิจูดของการกระเจิงเรโซแนนซ์จะมีค่ามากที่สุดถ้า  $f_0$  มีค่าเป็นศูนย์ เราเรียกพลังงาน  $E_n$  ที่ทำให้  $f_0$  มีค่าเป็นศูนย์ว่าเป็น พลังงานเรโซแนนซ์ (resonance energy) และนิยามเป็น

$$f_0(E_n) = 0, \quad n = 0, 1, 2, 3, \dots \quad (5.14a)$$

หรือ

$$Z(E_n) = n\pi \quad (5.14b)$$

เราจะขยาย  $f_0(E_n) = 0$  ให้ใกล้ค่าศูนย์ของมัน หรือใกล้พลังงานเรโซแนนซ์  $E_n$

$$f_0(E_n) = \left( \frac{\partial f}{\partial E} \right)_{E=E_n} (E - E_n) + \dots \quad (5.15)$$

ดังนั้นเมื่อแทน  $f_0$  ของกรณีใกล้เรโซแนนซ์ลงในสมการ (A.55) (ดูในภาคผนวก) จะได้

$$A_{res} \frac{-2ikR}{\left( \frac{df_0}{dE} \right)_{E_n} (E - E_n) - ikR} \quad (5.16)$$

เราให้  $\Gamma_n$  เป็นครึ่งส่วนกว้าง (half-width) และนิยามเป็น

$$\Gamma_n = \frac{-2kR}{(df_0/dE)_{E_n}} \quad (5.17)$$

ซึ่งจะให้

$$A_{res} = \frac{i\Gamma_n}{(E - E_n) + i\Gamma_n / 2} \quad (5.18)$$

หรือ

$$|A_{res}|^2 = \frac{(\Gamma_n)^2}{(E - E_n)^2 + (\frac{1}{2}\Gamma_n)^2} \quad (5.19)$$

ให้เราพิจารณาทั้งสามกรณีต่อไปนี้

### ก. ใกล้เรโซนแนนซ์ (Near Resonance)

ใกล้เรโซนแนนซ์คือ  $E \approx E_n$ , ในกรณีใกล้เรโซนแนนซ์  $A_{res} \gg A_{pol}$  ดังนั้นจาก

$$\sigma_{s,0} = \pi\lambda^2 |A_{res} + A_{pol}|^2$$

เมื่อกำจัด  $A_{pol}$  ออกไปเนื่องจากมีค่าน้อยกว่า  $A_{res}$  มาก และแทน  $A_{res}$  จากสมการ (5.19) ลงในจะได้

$$\sigma_{s,0} = \frac{\pi\lambda^2 (\Gamma_n)^2}{(E - E_n)^2 + (\frac{1}{2}\Gamma_n)^2} \quad (5.20)$$

สูตรนี้เป็นที่รู้จักกันดีในกรณีของการแกว่งกวัด (oscillation) ที่เกิดจากแรงแบบหน่วง (damped force) ว่าคือ สูตรการกระจาย (dispersion formula) ที่เรโซนแนนซ์หรือใกล้เรโซนแนนซ์,  $E = E_n$ , ดังนั้นเมื่อแทนลงในสมการ (A.55) จะได้

$$A_{res} = 2$$

และเมื่อแทนลงในสมการ (5.20) จะได้

$$\sigma_{s,0} = 4\pi\lambda^2 \quad (5.21)$$

ขณะที่

$$A_{pol} = e^{2ikR} - 1 \approx 2ikR \quad (5.22)$$

มีค่าน้อยมาก เพราะ  $kR \ll 1$  ดังนั้นภาคตัดขวางการกระเจิงรวมในกรณีใกล้เรโซนแนนซ์จะเป็นตามสมการ (5.21)

### ข. ไกลจากเรโซนแนนซ์ (Far From Resonance)

บางที่ ที่อยู่ระหว่างเรโซนแนนซ์หนึ่งกับอีกเรโซนแนนซ์หนึ่ง เป็นที่ซึ่งฟังก์ชัน  $f_0$  มีค่าสูงมาก และด้วยเหตุนี้  $A_{res}$  จะมีค่าน้อยมาก เราจะเรียกที่ดังกล่าวว่าเป็นที่ไกลจากเรโซนแนนซ์ และการกระเจิงที่เกิดขึ้นจะเนื่องมาจากการกระเจิงทรงกลมแข็งเท่านั้น ดังนั้นจาก

$$\sigma_{s,0} = \pi \lambda^2 |A_{res} + A_{pol}|^2$$

ในกรณี  $A_{res}$  มีค่าน้อยมากเมื่อเทียบกับ  $A_{pol}$  ดังนั้นจะได้ว่า

$$\sigma_{s,0} = \pi \lambda^2 |A_{pol}|^2$$

สำหรับพลังงานต่ำ ๆ

$$A_{pol} = e^{2ikR} - 1 \sim 2ikR$$

ด้วยเหตุนี้จะได้

$$\sigma_{s,0} = \pi \lambda^2 |2ikR|^2$$

หรือ

$$\sigma_{s,0} = 4\pi R^2 \quad (5.23)$$

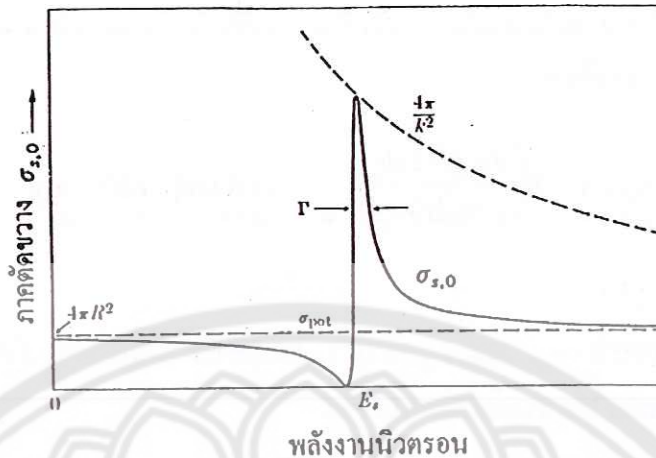
ซึ่งสมการ (5.23) ที่ได้นี้ เป็นภาคตัดขวางการกระเจิงรวมของกรณีไก่จากเรโซแนนซ์

### ค. บริเวณมัธยันตร์ (Intermediate Region)

สำหรับบริเวณมัธยันตร์ (intermediate region) หรือบริเวณท่ามกลาง ซึ่งเป็นบริเวณหรือบ้านที่  $E - E_n > \Gamma_n / 2$  แอมเพลจูด  $A_{res}$  และ  $A_{pol}$  จะมีเครื่องหมายตรงข้ามกันหาก  $E < E_n$  และจะมีเครื่องหมายเหมือนกันหาก  $E > E_n$  ผลของการเปลี่ยนเครื่องหมายทำให้เกิดการแทรกสอดระหว่างสองแอมเพลจูดดังจะเห็นได้ในรูป 5.1

ภาคตัดขวางการกระเจิงที่เป็นฟังก์ชันของพลังงานในห้องสามันบริเวณแสดงในรูป 5.1 ที่บริเวณเรโซแนนซ์ ภาคตัดขวางการกระเจิงแบบบีดหยุ่นจะมีค่ามากที่สุดคือ  $4\pi\lambda^2$  หรือ  $4\pi / k^2$  ส่วนที่บริเวณไก่จากเรโซแนนซ์จะมีค่า  $4\pi R^2$  และที่บริเวณมัธยันตร์หรือบริเวณท่ามกลางจะมีการแทรกสอดของแอมเพลจูดให้เห็น

จากที่กล่าวมาห้างหนนี้เป็นภาพของเรโซแนนซ์อย่างง่าย ๆ ที่พลังงานของอนุภาคต่อกกระทบมีค่าต่ำ ๆ แต่ต่อจากนี้ไปเราจะขยายปัญหาไปสู่กรณีที่อนุภาคต่อกกระทบมีพลังงานสูงขึ้น ซึ่งแทนที่จะเป็นแนวโน้มลดลงของการถ่ายทอดตัวของนิวเคลียสประกอบจะมีเพียงแนวโน้มเดียว คือแนวโน้มเข้า ก็จะมีแนวโน้มลดลงอีกนิดหนึ่ง ๆ ที่เป็นแนวโน้มปฏิกิริยาเปิดออกอีกด้วย แนวโน้มปฏิกิริยา  $\beta$



รูป 5.1 การแปรงพันของภาคตัดของและการระเจิงแบบบีดหุ้นของนิวตรอน  $I = 0$  ที่ใกล้เรือโซแนนซ์ในนิวเคลียสประกอบค่ามากที่สุดของ  $\sigma_{s,0}$  คือ  $4\pi R^2$  (หรือ  $4\pi/k^2$ ) ส่วนที่ใกล้เรือโซแนนซ์  $\sigma_{s,0}$  จะมีค่า  $4\pi R^2$  (ดัดแปลงจาก H.A. Enge, *Introduction to Nuclear Physics.*, Reading, Mass : Addison-Wesley, 1967, p. 404)

แขนเนลแรกที่เปิดออกก็คือแขนเนลของการรายรังสีแคมนา ซึ่งเราเรียกว่าเป็น กระบวนการจับและแผรังสี (radiative capture process) และเมื่อค่าพลังงานของอนุภาคตกรอบสูงขึ้นอีก แขนเนลออกที่จะเกิดตามมา ก็จะเป็นแขนเนลของการรายอนุภาคของนิวเคลียสประกอบ ดังนั้นในกรณีที่อนุภาคตกรอบมีพลังงานสูง ๆ นีภาคตัดของปฎิกริยาจะไม่ใช่ศูนย์อีกต่อไป ฟังก์ชันคลื่นในแขนเนลตกรอบ กำหนดให้โดย

$$u_I \sim e^{-ikr} + b e^{ikr}$$

เมื่อ

$$b = e^{2i\zeta} e^{-2q}$$

$b$  เป็นแอมเพลจูดเชิงซ้อน (complex amplitude) ของฟังก์ชันคลื่นกระเจิง แทนที่เคยเป็น  $b = e^{2i\zeta}$  เหนื่อยในการถือการกระเจิงบริสุทธิ์ (หมายเหตุ:  $e^{-2q}$  เป็นปริมาณจริง และ  $q$  เป็นจำนวนจริงที่มีค่าน้อยมาก)

ดังนั้น ฟังก์ชันคลื่นของแขนเนลเข้าจึงกำหนดได้โดย

$$u_I \sim e^{-ikr} + e^{i(Kr+2\zeta+2iq)} \quad (5.24)$$

## 84 แบบจำลองนิวเคลียสประกอบ

พจน์ที่อยู่ท้ายสุดทางด้านขวาเมื่อของสมการ เป็นฟังก์ชันคลื่นที่กลับออกมาจากนิวเคลียสประกอบ  
ฟังก์ชัน  $f_0(E)$  กำหนดให้โดย

$$f_0(E) = R \left( \frac{du_0(r)/dr}{u_0(r)} \right)_{r=R} = -KR \tan[Z(E) + iq] \quad (5.25)$$

เมื่อ  $Z(E) = KR + \zeta(E)$

เราจะดำเนินการหา  $\sigma_{s,0}$  และ  $\sigma_{r,0}$  อีกครั้ง โดยใช้วิธีการเช่นเดียวกับในตอนก่อน เรา  
สมมุติว่า  $|q| \ll 1$  และเริ่มแนนซ์จะนิยามให้โดย

$$f_0(E, q=0) = 0 = -\tan Z(E) \quad (5.26)$$

ขยาย  $f_0(E, q)$  ให้อยู่ในรูปของอนุกรม泰勒级数 (Taylor series) ทั้ง  $q$  และ  $E$  ดังนี้

$$f_0(E) = (E - E_n) \left( \frac{\partial f_0}{\partial E} \right)_{E=E_n, q=0} + q \left( \frac{\partial f_0}{\partial q} \right)_{E=E_n, q=0} + \dots, \quad (5.27)$$

แทนค่า  $(\partial f / \partial q)_{E=E_n, q=0}$  โดยใช้  $f_0$  จากสมการ (5.25) แทนลงไประจะได้สมการ (5.27) ใหม่เป็น

$$f_0(E) = (E - E_n) \left( \frac{\partial f_0}{\partial E} \right)_{E=E_n, q=0} - iqKR \quad (5.28)$$

กำหนดให้  $\Gamma_n^s$  และ  $\Gamma_n^r$  เป็นส่วนกว้างระดับสำหรับการกระเจิงแบบบีดหยุ่นผ่านทางแซนแนล  $\alpha$   
และส่วนกว้างปฏิกิริยาผ่านทางแซนแนล  $\beta$  ตามลำดับ และนิยามให้เป็น ( $l=0$ )

$$\Gamma_n^s = \frac{-2KR}{\left( \frac{\partial f_0}{\partial E} \right)_{E=E_n, q=0}} \quad (5.29)$$

และ

$$\Gamma_n^r = \frac{-2qKR}{\left( \frac{\partial f_0}{\partial E} \right)_{E=E_n, q=0}} \quad (5.30)$$

ส่วนกว้างรวมเป็นผลรวมของส่วนกว้างทั้งสอง คือ

$$\Gamma_n = \Gamma_n^s + \Gamma_n^r \quad (5.31)$$

จากการใช้สมการ (A.54), (A.55) และ (A.56) พร้อมกับสมการ (A.29), (A.30) และ (A.31) ก็จะได้นิพจน์ของภาคตัดขวางการกระเจิงแบบยึดหยุ่นและภาคตัดขวางปฏิกริยาแทนเนลเดียวสำหรับอนุภาค  $I=0$  ที่ใกล้เรโซแนนซ์  $E \approx E_n$  เป็น

$$\sigma_{s,0} = \pi\hbar^2 \left| \frac{i\Gamma_n^s}{(E - E_n) + \frac{1}{2}i\Gamma_n} + 2kR \right|^2 \quad (5.32)$$

และ

$$\sigma_{r,0} = \pi\hbar^2 \frac{\Gamma_n^s \Gamma_n^r}{(E - E_n)^2 + \frac{1}{4}\Gamma_n^2} \quad (5.33)$$

สมการทั้งสองนี้เป็นที่รู้จักกันคือ กฎไบร์ท-วิกเนอร์ (Briet-Wigner formulae) ที่มีชื่อเดียวกันนั่นเอง หมายเหตุ: ถ้าเราไม่คิดการกระเจิงทรงกลมแข็งหรือการกระเจิงศักย์ใกล้เรโซแนนซ์ เราจะได้

$$A_{res} = \frac{i\Gamma_n^s}{(E - E_n) + \frac{1}{2}i\Gamma_n} \quad (5.34)$$

และ

$$\sigma_{s,0} = \pi\hbar^2 \frac{(\Gamma_n^s)^2}{(E - E_n)^2 + (\frac{1}{2}\Gamma_n)^2} \quad (5.35)$$

กฎไบร์ท-วิกเนอร์ที่ได้มาในรูป  $A_{res}$  ได้มาจากการสมมุติให้สpinของนิวเคลียสเป็นค่าเป็นคู่  $I=0$ , ถ้าเราจะพิจารณาในกรณีที่สpinนิวเคลียสเป็นค่าเป็น  $I$  ก็จะต้องปรับปรุงกฎไบร์ท-วิกเนอร์เสียใหม่ดังนี้ โนเมนตัมเชิงมุ่งรวม  $S$  ในแทนเนลเข้ามีค่าเป็นไปได้ทั้ง  $(I + \frac{1}{2})$  หรือ  $(I - \frac{1}{2})$  เมื่อ  $\frac{1}{2}$  เป็นสpinของ proton หรือนิวตรอนที่มี  $I=0$  เนื่องจากว่าแต่ละค่าของ  $S$  มีจำนวนการวางแผนทางสpin ในปริภูมิได้  $(2S+1)$  จำนวนทั้งหมดที่เป็นไปได้ของการวางแผนทางสpin ในปริภูมิจึงเป็น  $[2(I + \frac{1}{2}) + 1] + [2(I - \frac{1}{2}) + 1] = 2(2I + 1)$  ด้วยเหตุนี้โอกาสสัมพัทธ์ หรือค่าถ่วงน้ำหนักทางสถิติ (statistical weight) เมื่อระบบอนุภาคตกรอบและนิวเคลียสเป็น (หรือแทนเนลเข้า) มีสpinเป็น  $S$  ก็คือ

$$g(S) = \frac{2S+1}{2(2I+1)} \quad \text{สำหรับ } S = (I + \frac{1}{2}) \text{ หรือ } (I - \frac{1}{2}) \quad (5.36)$$

หากค่าต่างน้ำหนักทางสถิตินี้นำไปสู่นิพจน์ของภาคตัดขวางเป็น

$$\sigma_{s,0} = g(S)\pi\lambda^2 \left| \frac{i\Gamma_n^s}{(E - E_n) + \frac{1}{2}i\Gamma_n} + 2kR \right|^2 + [1 - g(S)]4\pi R^2 \quad (5.37)$$

และ

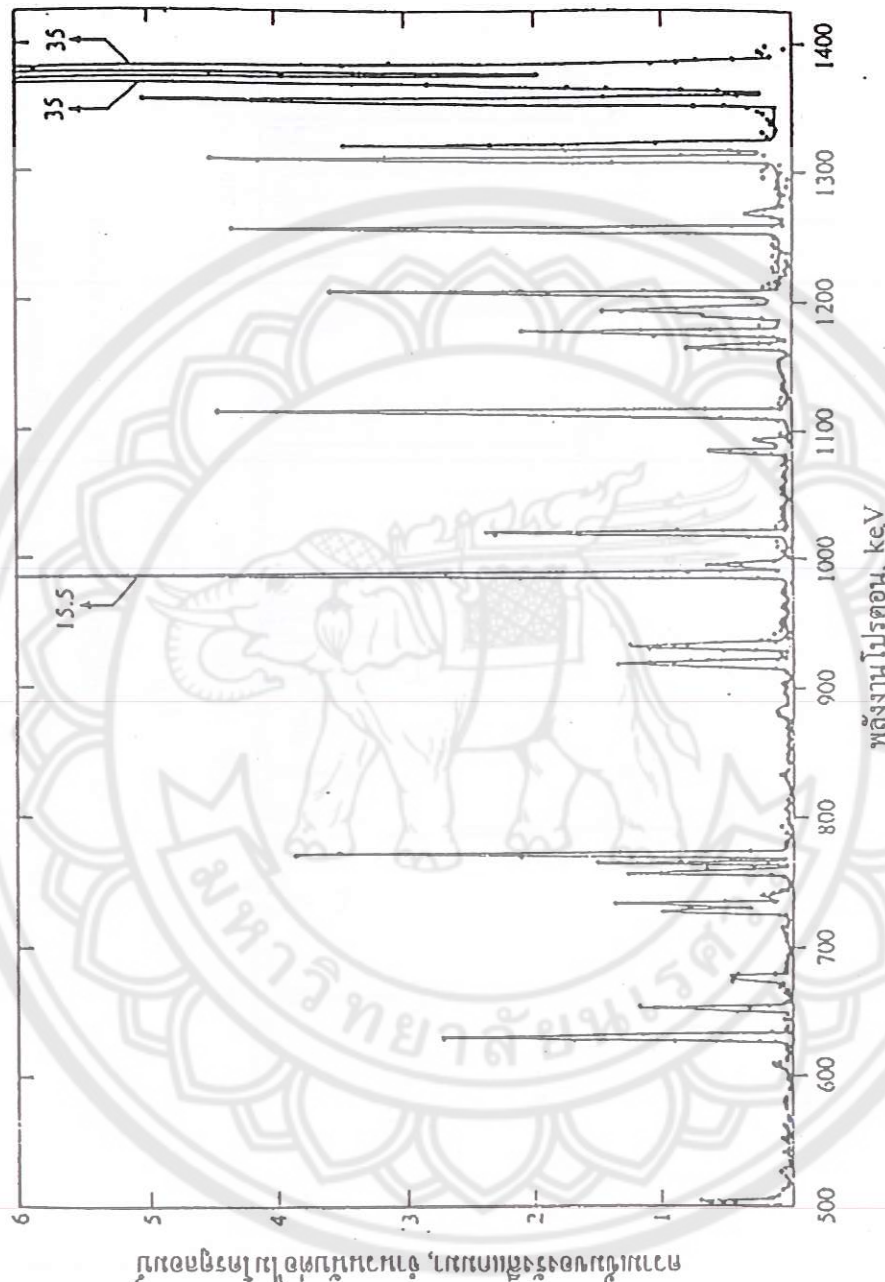
$$\sigma_{r,0} = g(S)\pi\lambda^2 \frac{\Gamma_n^s \Gamma_n^r}{(E - E_n)^2 + \frac{1}{4}\Gamma_n^2} \quad (5.38)$$

*s* สมนัยได้กับ  $\alpha$  และ *r* สมนัยได้กับ  $\beta$  ของสัญลักษณ์ที่ใช้ในทั่วไป

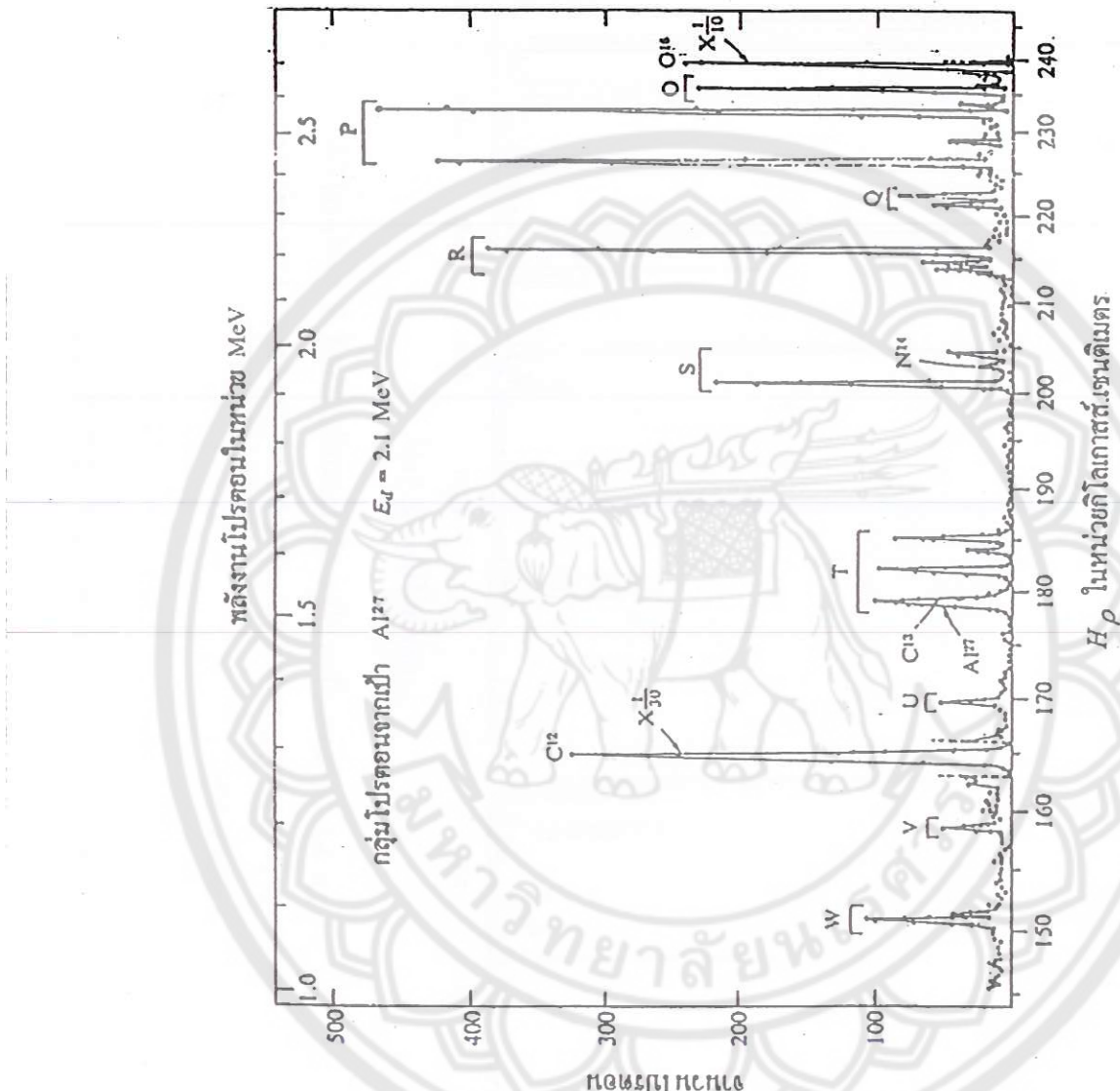
สมการ (5.32), (5.33), (5.37) และ (5.38) ถูกทวนสอบกับการทดลองที่ใช้อุปกรณ์ทดลองพลาสติกและแม่รังสี  $^{27}\text{Al}(p,\gamma)^{28}\text{Si}$  ในรูป 5.2 แสดงเรโซโนนซ์ในกรณีของปฏิกิริยาการจับและแพร่งสี  $^{27}\text{Al}(d,p)^{28}\text{Al}$  เมื่อ พลังงานทดลองของดิวเทอรอนมีค่า 2.1 MeV โดยมีแผนภาพของระดับพลังงานที่สมนัยกับ เรโซโนนซ์ของปฏิกิริยานี้แสดงในรูป 5.4 ส่วนในรูป 5.5 เป็นการเปรียบเทียบภาคตัดขวางที่ได้มา จากการคำนวณทฤษฎีกับที่ได้มาจากการทดลอง

### 5.3 ทฤษฎีภาวะต่อเนื่อง (Continuum Theory)

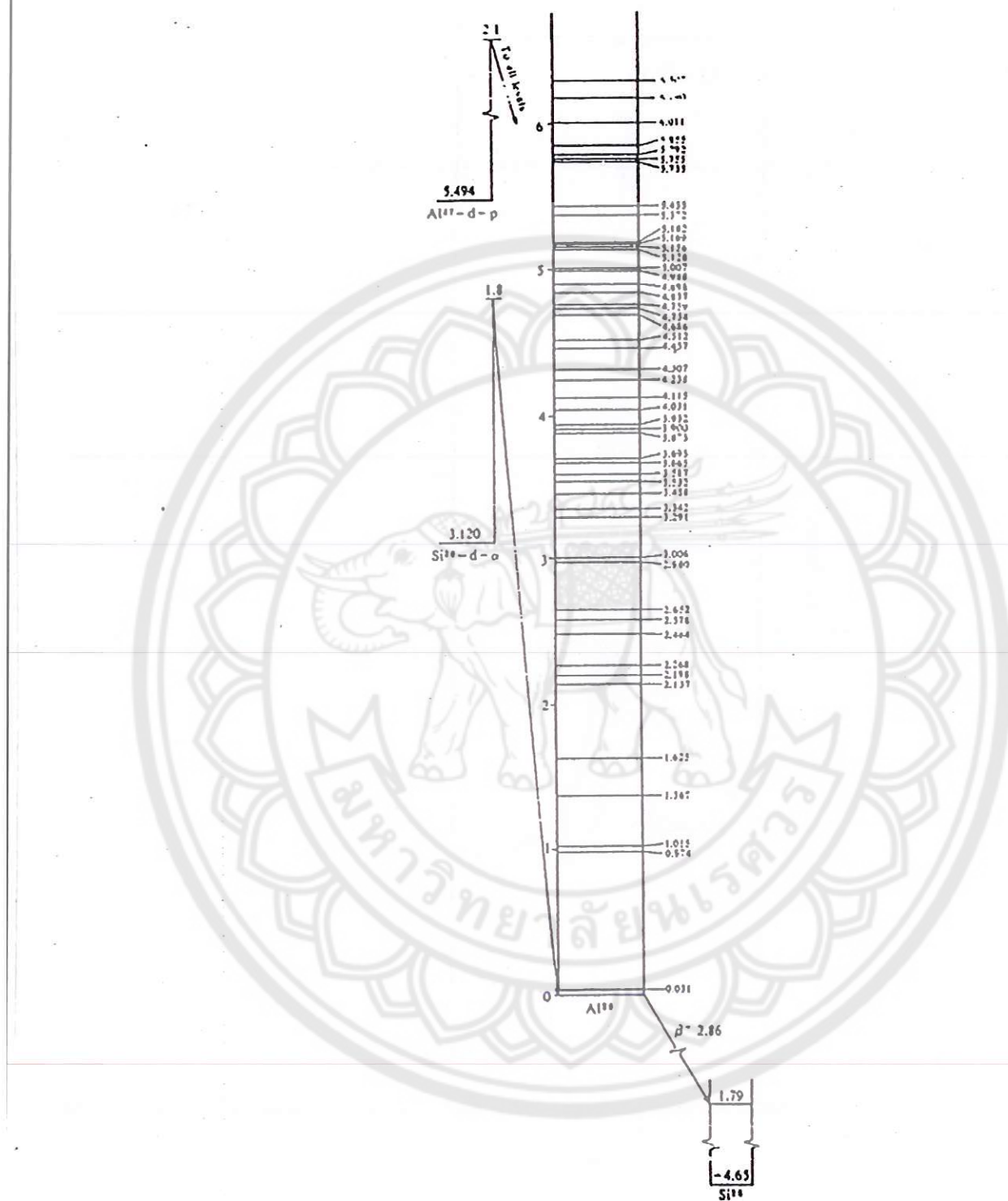
ภาพของเรโซโนนซ์ที่อยู่บนพื้นฐานของแบบจำลองนิวเคลียสประกอบใช้ได้กับกรณีที่ อนุภาคนิวเคลียสที่มีพลังงานต่ำๆ (สูงถึง ~2 MeV) แต่ถ้าพลังงานของอนุภาคนิวเคลียสที่สูงขึ้น จำนวนระดับพลังงานที่ต้องนำมาใช้กับแซนแนลเข้ากันจะมากขึ้น อนุภาคนิวเคลียสที่ผ่านพ้นผิว เข้าไปในนิวเคลียสก็มีโอกาสที่จะถูกจับมาก โดยโอกาสของการถูกคายออกไปทางแซนแนลออกที่ เห็นอกับแซนแนลเข้ามีน้อยมาก จนไม่ต้องนำคิด (ระดับพลังงานแบบไม่ต่อเนื่องในสถานะ คล้ายคงที่ (quasi-stationary state) ของนิวเคลียสประกอบจะอยู่ในช่วงไม่ยาวนานนัก) ระดับ พลังงานที่มีจำนวนมากและเงื่อนไขที่  $\Gamma >> D$  จะนำไปสู่กระบวนการคีร์วันอย่างริบูรณ์ ซึ่งจะทำ ให้ไม่อาจอธิบายการกระเจิงแบบเยิดหยุ่นได้อีกเพริ่งว่าแซนแนลตกรอบไม่ได้ถูกนำมาใช้อีกแล้ว เมื่อเป็นดังนี้ ก็ปังเช่นนี้ได้ว่าเรโซโนนซ์แบบคณ. จะไม่มีให้เห็นอีกต่อไป และสมมุติฐาน นิวเคลียสประกอบก็จะต้องล้มเหลว แต่จริงๆ แล้วก็ไม่ได้เป็นเช่นนั้น เพราะการศึกษาให้เข้ากับ



ຮູບ 5.2 ເຮືອແນນຮູບພາບຂອງກົດລົງການພັດງານແລ້ວຮັດ  $^{27}\text{Al}(p, \gamma)^{28}\text{Si}$   
(ຈາກ A. P. Arya, *Fundamentals of Nuclear Physics*, Boston: Allyn and Bacon,  
1968, p. 416)



รูป 5.3 เรื่องແນ່ນໃຫຍງກີ່າ  $^{27}\text{Al}(d, p)^{28}\text{Al}$  ພັດຈຳນັດກະຮະກ  
ພອງຕົວກະຍາຍທຳກັບ 2.1 MeV (ຈາກ A. P. Arya, *Fundamentals of Nuclear Physics*, Boston: Allyn and Bacon, 1968, p. 416)



รูป 5.4 แผนภาระคันพลังงานของ  ${}^{28}\text{Al}$  ได้มาจากสเปกตรัมของเร โจแอนน์ช  
ในรูป 5.3 (จาก A. P. Arya, *Fundamentals of Nuclear Physics.*, Boston: Allyn  
and Bacon, 1968, p. 418)



รูป 5.5 การคล้องของกันระหว่างภาคตัดขวางทางทั่วไปที่ทำนายจากสมการ (5.37) และ (5.38) และภาคตัดขวางทางการทดลองที่วัดจากเรื่องแนนซ์ที่ 2.33 eV ของ  $^{123}\text{Te}$ , สำหรับ  $E_n = 2.33$  eV ส่วนกว้างการกระเจิง  $\Gamma_n^\alpha = 0.010$  eV และส่วนกว้างการจับ และ แผ่วรังสี  $\Gamma_n^\beta = 0.104$  eV (จาก A. P. Arya, *Fundamentals of Nuclear Physics*, Boston: Allyn and Bacon, 1968, p. 419)

สมมุติฐานนิวเคลียสประกอบยังทำได้อยู่ ดังแสดงให้เห็นดังต่อไปนี้

สมมุติว่าเราใช้แผนซึ่ก์ว่างและมีการคำนวณกันอย่างบริบูรณ์ และนิวเคลียสประกอบก่อรูปขึ้นโดยมีสถานะต่าง ๆ ผสมกันแบบสุ่ม ๆ การผสมกันแบบสุ่ม ๆ นี้ทำให้โอกาสของการถลวยตัวไม่ขึ้นกับวิธีการก่อรูป ซึ่งสมเหตุสมผลกับสมมุติฐานของนิวเคลียสประกอบ สำหรับภาคตัดขวางของการก่อรูปเป็นนิวเคลียสประกอบ,  $\sigma_c(\alpha)$ , จะเท่ากับภาคตัดขวางปฏิกริยา,  $\sigma$ , ส่วนการอธินายการจะเป็นแบบยึดหยุ่นนั้น อธินายบนพื้นฐานของแบบจำลองนิวเคลียสประกอบนี้ได้ว่า เป็นการสะท้อนของคลื่นตកกระแทบที่แขนงแลกเปลี่ยน โดยปราศจากการก่อรูปใด ๆ เป็นนิวเคลียสประกอบขึ้นมาเลย

ทฤษฎีการต่อเนื่องใช้งานได้กับอนุภาคตកกระแทบที่มีค่าพลังงานอยู่ในอันดับของสองสาม MeV การแยกแยะพลังงานของอนุภาคที่ถูกภายในจากนิวเคลียสที่กระตุ้นอยู่ในบริเวณภาวะต่อเนื่องคล้ายคลึงกับการแยกแยะพลังงานในระบบอุณหพลวัตร (thermodynamic system) จึงมีการพัฒนาการตีความสเปกตรัมขึ้นมาหลาย ๆ ทาง ซึ่งเราจะไม่นำกล่าวในที่นี้ แต่จะทำการหนนิพจน์ของภาคตัดขวางแทน ดังต่อไปนี้

ในการคำนวณหาภาคตัดขวาง เราจะพยายามดัดแปลงให้สถานะการณ์ง่ายเข้าโดยให้อนุภาคตกกระแทบที่เป็นนิวตรอนที่มี  $I = 0$  และจะพยายามไม่นำสมบัติต่าง ๆ ของนิวเคลียสมาเกี่ยวข้องด้วย ภาคตัดขวางที่หามาได้จึงไม่ขึ้นกับสถานะความตันและสมบัติอื่นของนิวเคลียสเป็น (ความจริงแล้วขึ้นกับชนิดของอนุภาค  $a$  และพลังงานแขนง  $\varepsilon$ , และขึ้นกับประจุและรัศมีของนิวเคลียสเป็น) และหวังผลความถูกต้องของผลที่หามาได้เฉพาะส่วนที่เป็นอันดับของขนาดเท่านั้น เนื่องจากว่าแขนงแลกเปลี่ยนไม่ถูกนำมาใช้อีกต่อไป ดังนั้นฟังก์ชันคลื่นจะมีเฉพาะส่วนที่เข้าไปอยู่ในนิวเคลียสเท่านั้น โดยไม่มีส่วนที่กลับออกมาจากนิวเคลียสเลย และกำหนดให้เป็น

$$u_0 \sim e^{-ikr} \quad \text{สำหรับ } r < R \quad (5.39)$$

เมื่อ  $K$  เป็นเลขคณิตของคลื่นที่อยู่ภายใต้ในนิวเคลียส ซึ่งกำหนดให้โดย  $\sqrt{2\mu E}/\hbar = \sqrt{2\mu(\varepsilon + V_0)}/\hbar \approx 10^{13} \text{ cm}^{-1}$ ,  $\varepsilon$  เป็นพลังงานแขนงของแขนงแลกเปลี่ยน ( $\varepsilon = \varepsilon_\alpha$ ) และ  $V_0$  เป็นความลึกของหลุมศักย์สี่เหลี่ยม (แทนศักย์นิวเคลียร์), ทันทีที่นิวเคลียสประกอบก่อรูปขึ้นจะไม่สามารถมีการจะเป็นแบบยึดหยุ่นได้ ได้ สมการ (5.39) จึงให้อนุพันธ์ลอการิทึม (logarithm derivative) ที่  $r = R$  เป็น

$$f_0 = -iKR \quad (5.40)$$

จากค่า  $f_0$  นี้ เมื่อใช้กับสมการ (A.54) และ (A.57) จะได้

$$\sigma_{s,0} = \pi\lambda^2 \left| \frac{2k}{K+k} + e^{2ikR} - 1 \right|^2 \quad (5.41)$$

และ

$$\sigma_{r,0} = \sigma_c(\alpha) = \pi\lambda^2 \frac{4kK}{(K+k)^2} \quad (5.42)$$

เมื่อ  $k$  เป็นเลขคณิตที่อยู่ภายใต้เงื่อนไข  $\sqrt{2\mu\varepsilon}/\hbar$

เราจะอภิปรายรายถึงรายละเอียดบางประการของ  $\sigma_{r,0}$  ในสมการ (5.42) เราอาจเขียนสมการ (5.42) ให้เป็น

$$\sigma_{r,0} = \pi\lambda^2 T_0(E_n) \quad (5.43a)$$

เมื่อ

$T_0$  = ตัวประกอบการส่งผ่านศักย์ขวางกั้น (barrier transmission factor)

$$= \frac{4kK}{(K+k)^2} \quad (5.43b)$$

เพราะว่าค่ามากที่สุดที่จะเป็นไปได้ของ  $T_0$  คือ 1 เพราะจะนั้น

$$\sigma_{r,0,\max} = \pi\lambda^2 \quad (5.44)$$

สำหรับนิตรอนที่มี  $l \neq 0$  เราอาจเขียน

$$\sigma_{r,0} = \pi\lambda^2 (2l+1) T_l \quad (5.45)$$

เมื่อ  $T_l$  เป็นตัวประกอบการทะลุผ่านศักย์ขวางกั้น (barrier penetration factor) อันเนื่องมาจากการที่ไม่ต่อเนื่อง และกำหนดให้โดย

$$T_l = \frac{4kK\nu_l}{K^2 + (2kK + k^2\nu'_l)\nu_l} \quad (5.46)$$

สำหรับ  $l=0$ ,  $\nu_l$  และ  $\nu'_l$  จะเท่ากับ 1, สำหรับ  $l$  ที่มีค่าน้อย ๆ  $\nu_l$  และ  $\nu'_l$  จะมีค่าดังต่อไปนี้  
เมื่อ  $x = kR$

$$\begin{aligned}
 v_0 &= 1 & v'_0 &= 1 \\
 v_1 &= \frac{x^2}{1+x^2} & v'_1 &= \frac{1}{x^2} + \left(1 - \frac{1}{x^2}\right)^2 \\
 v_2 &= \frac{x^4}{9+3x^2+x^2} & v'_2 &= \left(1 - \frac{6}{x^2}\right)^2 + \left(\frac{6}{x^3} - \frac{3}{x^2}\right)^2 \\
 v_3 &= \frac{x^6}{225+45x^2+6x^4+x^6} & v'_3 &= \left(1 - \frac{21}{x^2} + \frac{45}{x^4}\right)^2 + \left(\frac{45}{x^3} - \frac{6}{x}\right)^2
 \end{aligned} \tag{5.47}$$

ขณะที่ถ้า  $l$  มีค่ามาก ๆ  $v_l$  และ  $v'_l$  จะมีรูปแบบเชิงเส้นกำกับเป็น

$$v_l \cong \frac{x^{2l}}{[(2l-1)!!]^2} \quad v'_l \cong \frac{l^2[(2l-1)!!]^2}{x^{2l+2}} \tag{5.48}$$

ภาคตัดขวางรวม  $\sigma_r$  สำหรับนิวตรอนที่เป็นพังก์ชันของพลังงานตกกระทบสำหรับแต่ละค่าของ  $K_0$   $\left[ K = (k^2 + K_0^2)^{\frac{1}{2}} \right]$  ถูกลงทุกอยู่ในรูป 5.6 นิยามของ  $K_0$  คือ  $(2\mu\epsilon'/\hbar^2)^{\frac{1}{2}}$  เมื่อ  $\epsilon'$  เป็นพลังงานจลน์ของอนุภาค (นิวตรอน) ที่เข้ามาในนิวเคลียส โดยไม่มีพลังงานแซนแนลเข้ามาเกี่ยวข้องด้วยเหมือนกับกรณีที่เราคำนึงพิจารณาอยู่ในขณะนี้ ซึ่งในรูป 5.6 จะเห็นว่าที่พลังงานตกกระทบสูง ๆ ภาคตัดขวางไม่เข้มกับ  $K_0$  และคุณเหมือนกับว่าการกระเจิงจะเกิดจากทรงกลมสะท้อนบริบูรณ์ (perfectly reflecting sphere)

ต่อไปนี้เราจะพิจารณากรณีพิเศษของสมการ (5.42) ซึ่งเป็นกรณีที่  $k \ll K$ , ในกรณีนี้  $T_0$  จะกลายเป็น

$$T_0 = \frac{4kK}{(K+k)^2} \cong \frac{4k}{K}$$

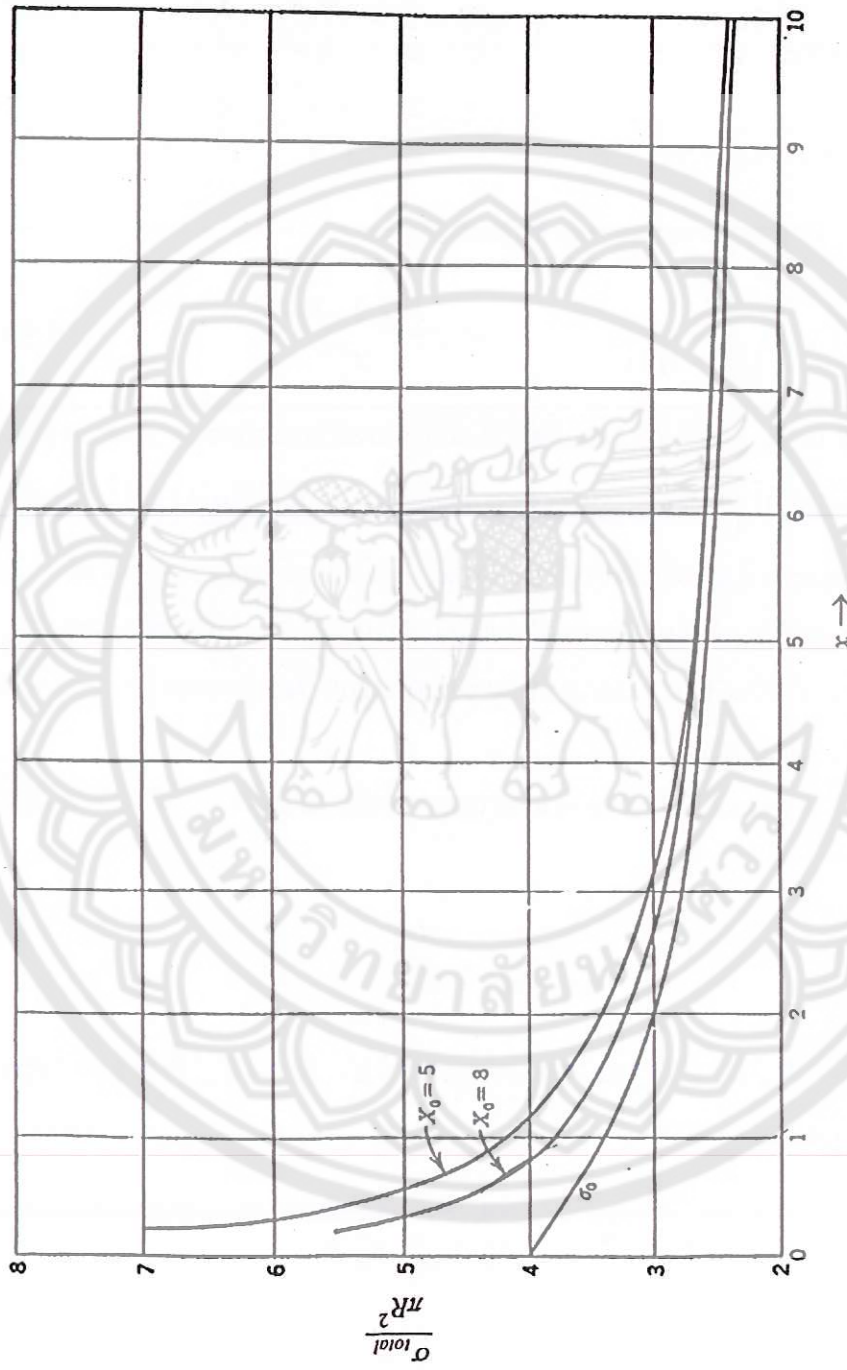
และเนื่องจาก  $K$  มีค่าเปรียบตัวใหญ่กว่า  $k$  ดังนั้นเราอาจพูดได้ว่า  $K = (k^2 + K_0^2)^{\frac{1}{2}} \cong K_0$  ดังนั้นจะทำให้ได้สมการ (5.43) เป็น

$$\sigma_{r,0} = 4\pi\lambda^2 \frac{k}{K} \cong \frac{4\pi}{k^2} \frac{k}{K_0} \cong \frac{4\pi}{K_0} \frac{1}{k}$$

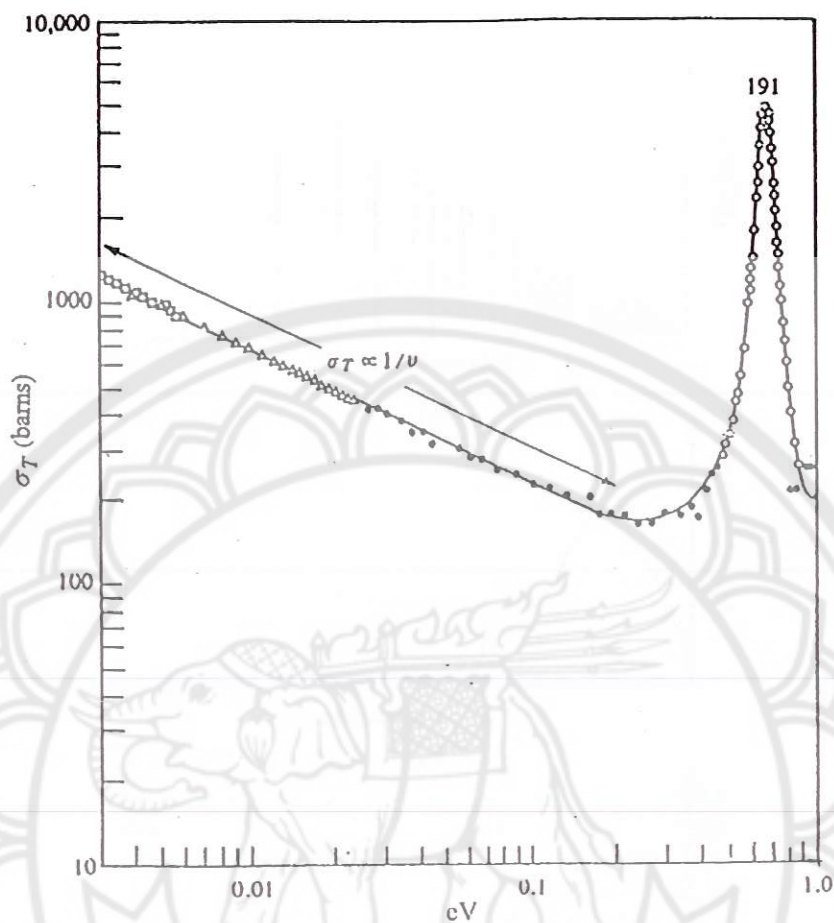
หรือ

$$\sigma_{r,0} \propto \frac{1}{\nu} = \frac{\text{constant}}{\nu} \tag{5.49}$$

นั่นคือ ในการตกกระทบของนิวตรอนที่ความเร็วต่ำ ๆ ภาคตัดขวางปฏิกิริยา  $\sigma_{r,0}$  จะเป็นปฏิกิริยา



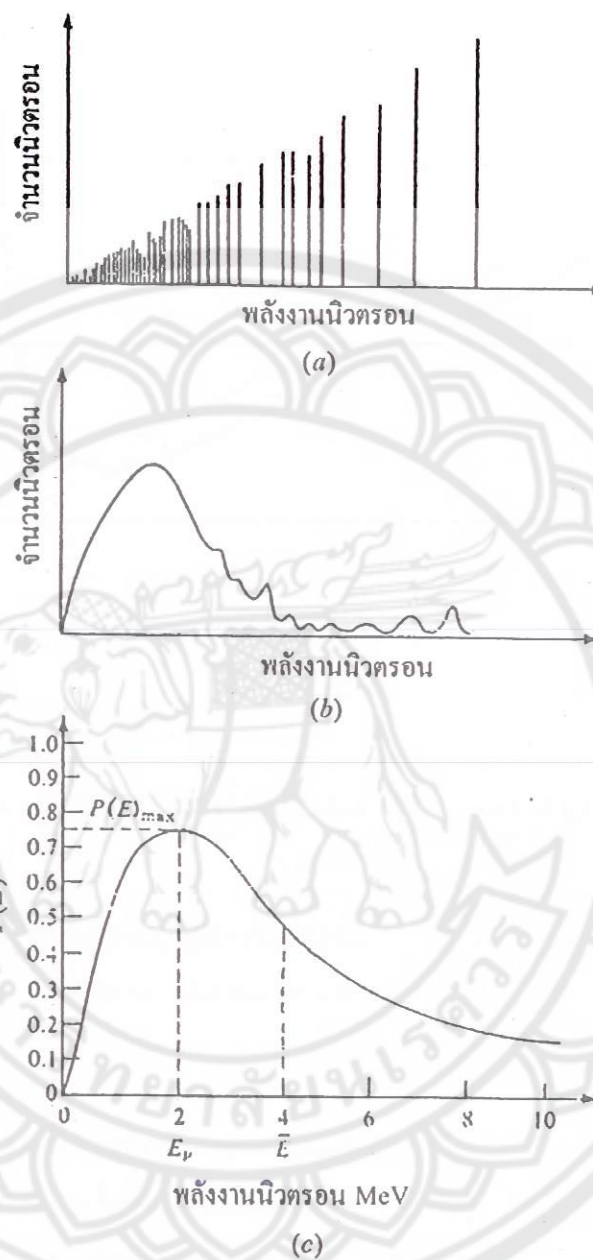
ສູງ 5.6 ກາທົດຄວາງນຸ່ວມຂອງນິວຕຽບຮອນເປັນພັກເຊີນຂອງອຸນຫະພາດກະຮະການ ໂີນຕໍ່ຕະກຳໆໆຍາຍ  
 $K_0 R$  ( $X_0 = K_0 R$ ),  $K_0 R = \infty$  ຕາມໜັງກິນການກຽງຈາກສະຫຼຸບນິບປຸງຮັບ (ຈາກ  
J. M. Blatt and V. F. Weisskopf, *Theoretical Nuclear Physics*, New York: John Wiley & Sons,  
1958, p. 356)



รูป 5.7 ภาคตัดขวางรวม  $\sigma_r$  ของอิridium สำหรับนิวตรอนช้า เป็นหลักฐานให้เห็นว่า  $\sigma_r \propto 1/v$  (จาก A.P. Arya, *Fundamentals of Nuclear Physics*, Boston: Allyn and Bacon, 1968, p. 422)

ผกผันกับความเร็ว ดังจะเห็นในรูป 5.7 ซึ่งแสดงภาคตัดขวางรวมของอิridium (iridium) ของนิวตรอนช้า การแบร์เพี้ยนของ  $\sigma_{r,0}$  ตาม  $1/v$  จะเห็นได้ชัดเจนที่พลังงานต่ำๆ

ในตอนท้ายนี้เราอภิปรายการคำนวณจากนิวเคลียสประกอบได้ว่า เมื่อกับว่าเป็นกระบวนการระเหย ที่อุปทานได้กับการระเหยของโนเดกูลจากพื้นผิวของเหลว โดยพลังงานยึดเหนี่ยวของนิวเคลียสต่ำกว่าเป็นความร้อนแห่งของการระเหย ซึ่การอธิบายในเชิงแบบจำลองอุณหพลวัตร (thermodynamics model) นี้ จะอธิบายสเปกตรัมพลังงานได้ในทำนองนี้คือ เนื่องจากเป็นการยกที่จะผนวกพลังงานจำนวนมาก ๆ ให้กับนิวเคลียสต่ำกว่าได้ ดังนั้น นิวเคลียสที่ระเหยออกมากจากนิวเคลียสประกอบส่วนใหญ่จะมีพลังงานจลน์ต่ำ และหลังจากได้ตรวจสอบกับการทดลองก็พบว่าถูกต้อง การแจกแจงพลังงาน (energy distribution) ของอนุภาคนี้ถูกคาดการณ์เป็นพังก์ชันของอุณหภูมิ (ในหน่วย MeV) ของนิวเคลียสประกอบที่อยู่ในสถานะถูก



รูป 5.8 (a) การแจกแจงพลังงานของนิวตรอนที่ถูกคายออกมาน้ำหนักการแยกอนันต์ (infinite resolution), (b) การแจกแจงพลังงานของนิวตรอนที่ถูกคายออกมาน้ำหนักการแยกจำกัด, (c) สเปกตรัมพลังงานของนิวตรอนระเหยสำหรับอุณหภูมนิวเคลียร์ของ 2 MeV,  $E$  = พลังงานเฉลี่ย,  $E_\nu$  = พลังงานที่เป็นไปได้มากที่สุด (ตัดแปลงจาก A.P. Arya, *Fundamentals of Nuclear Physics.*, Boston: Allyn and Bacon, 1968, p. 423)

กระตุน แสดงดังในรูป 5.8(a), (b) และ (c) สเปกตรัมพลังงานของนิวตรอนจะสามารถเขียนได้เป็น

$$P(E) = Ee^{-E/T}$$

เมื่อ  $P(E)$  เป็นโอกาสของการ decay นิวตรอนพลังงาน  $E$  แล้วปล่อยทิ้งนิวเคลียสหลงเหลือไว้ที่ อุณหภูมนิวเคลียร์ (nuclear temperature)  $T$  ในรูป 5.8(c) เป็นกรณีของอุณหภูมนิวเคลียร์  $T = 2$  MeV ขณะที่อุณหภูมิเฉลี่ยเป็น  $2T$  MeV

เราอาจระบุอุณหภูมิได้อีกว่า ที่พลังงานต่ำๆ โอกาสของการ decay อนุภาคมีประจุจะมีโอกาสสนับยอกว่าการ decay นิวตรอนมาก อันเนื่องมาจากการว่ามีศักย์คูลอนบวกกันอยู่บนเอง

### เอกสารอ้างอิง

1. A. P. Arya, *Elementary Modern Physics*, Addison-Wesley, Phillipines, 1970.
2. A.P. Arya, *Fundamentals of Nuclear Physics*, Allyn and Bacon, Boston, 1968.
3. J.M. Blatt and V.F. Weisskopf, *Theoretical Nuclear Physics*, John Wiley & Sons, New York, 1952.
4. W.E. Burcham and Jobes, *Nuclear and Particle Physics*, Longman, Singapore, 1995.
5. V. Devanathan, *Nuclear Physics*, Narosha Publishing House, New Delhi, 2006
6. H.A. Enge, *Introduction to Nuclear Physics*, Addison-Wesley, Reading, Massachusetts, 1967.
7. R.D. Evans, *The Atomic Nucleus*, McGraw-Hill, New York, 1955.
8. E.S. Green, *Nuclear Physics*, McGraw-Hill, New York, 1955.
9. K. Heyde, *Basic Ideas and Concepts in Nuclear Physics: An Introductory Approach*, 2nd edit, Institute of Physics, Brista, 1999.
10. N.A. Jelley, *Fundamentals of Nuclear Physics*, Cambridge University, Cambridge, 1990.

11. I. Kaplan, *Nuclear Physics*, Addison-Wesley, London, 1958.
12. K.S. Krane, *Introductory Nuclear Physics*, John Wiley & Sons, Singapore, 1988.
13. B.R. Martin, *Nuclear and Particle Physics*, Wiley, West Sussex, 2006.
14. W.E. Meyerhof, *Elements of Nuclear Physics*, McGraw-Hill, New York, 1989.
15. S.M. Wong, *Introductory Nuclear Physics*, Plentice-Hall, New Jersey, 1990.

### แบบฝึกหัด

1. จงแสดงว่า ภาคตัดขวางปฏิกริยาของเทอร์มัลนิวตรอนเป็นปฏิกิริยาผกผันกับพลังงานชนิดนี้ ยกกำลังสอง และให้หาค่าคงตัวของปฏิกิริยาด้วย
2. อะไรมีเป็นพลังงานของอนุภาคต่ำกระหนบ ซึ่งจะทำให้นิวเคลียสประกอบถูกยกกระตุ้น  $E_C$
3. นิวเคลียสประกอบ  $Y^*$  ก่อรูปขึ้นมาโดยการจับนิวตรอนของนิวเคลียส  ${}_Z^AX$  ด้านนิวเคลียสประกอบสายตัวโดยการขายอนุภาคแอลฟ่า อะไรมีเป็นพลังงานของอนุภาคแอลฟ่า และท่านจะตัดสินได้อย่างไรว่าในกรณีนี้ จะมีการขายรังสีแกมมาเกิดเพ่งกับการขายแอลฟารึไม่
4. จงคำนวนหาพลังงานการกระตุ้นของนิวเคลียสประกอบ ที่ก่อรูปขึ้นมาโดยการจับอนุภาคแอลฟ้าพลังงาน 8 MeV ของ  ${}^{27}Al$
5. ในปฏิกริยา  ${}^{63}Cu(p,n){}^{63}Zn$  ให้บอกว่าอะไรมีเป็นนิวเคลียสประกอบ, อะไรมีเป็นนิวคลีโอหลงเหดื้อ และให้คำนวนพลังงานการกระตุ้นสำหรับนิวเคลียสประกอบด้านพลังงานต่ำกระหนบของไปรตอนมีค่า 20 MeV (ในระบบห้องปฏิบัติการ)
6. สำหรับภาคตัดขวาง  $(n,\gamma)$ , เรโซแนนซ์ที่ 5.12 eV มี  $\Gamma_n = 1.34 \times 10^{-2}$  eV และ  $\Gamma_\gamma = 0.136$  eV ขณะที่สpinของ  ${}^{109}Ag$  และนิวเคลียสประกอบมีค่า  $\frac{1}{2}^-$  และ  $6^-$  ตามลำดับ จงใช้ข้อมูลดังกล่าวคำนวนหาภาคตัดขวาง  $(n,\gamma)$  ของ  ${}^{109}Ag$  สำหรับนิวตรอน 1.10 eV, 0.15 eV, และ 0.02 eV

7.  $^{129}\text{Te}$  ก่อรูปเข็มมาโดยการจับเทอร์มัลนิวตรอน (พลังงานก้อนเป็นศูนย์) ของ  $^{128}\text{Te}$  อะไรเป็นอุณหภูมินิวเคลียร์ที่สมนับกับนิวเคลียสกราดตุ้น  $^{129}\text{Te}$
8. อะไรเป็นอุณหภูมิของนิวเคลียสกราดตุ้น  $^{109}\text{Ag}$  ในโจทย์ข้อ 6.



# บทที่ 6

## ปฏิกิริยานิวเคลียร์ต่าง

### (DIRECT NUCLEAR REACTION)

#### 6.1 กระบวนการของปฏิกิริยาตรัง (Process of Direct Reaction)

ในบทที่ผ่านมาเราจะเห็นได้ว่า ทฤษฎีนิวเคลียสประกอบอธิบายปฏิกิริยานิวเคลียร์ที่เกิดจากอนุภาคต่อกันในระบบพลังงานต่ำ ๆ ได้ดี แต่เมื่อพลังงานของอนุภาคต่อกันในระบบมีค่าสูงขึ้น การอธิบายยังลำบากมากขึ้น รวมทั้งการอธิบายการแปรผันของภาคตัดขวางเชิงอนุพันธ์ด้วย ที่ พลังงานสูง ๆ ของอนุภาคต่อกัน ในช่วงระหว่าง 10 ถึง 20 MeV คุณ เมื่อ้อนว่าการอธิบายการแยกแยะเชิงมุม (angular distribution) ของอนุภาคที่ถูกความเร่งออกจากนิวเคลียส จำเป็นจะต้องใช้กระบวนการอื่นมาอธิบาย ซึ่งกระบวนการที่นำมาใช้อธิบายนี้คือ อันตรกิริยานิวเคลียร์ต่าง (direct nuclear interaction) หรือเรียกสั้น ๆ ว่า อันตรกิริยาตรัง ซึ่งการเปลี่ยนแปลงของนิวเคลียสเนื่องจากกระบวนการนี้จะเรียกว่า ปฏิกิริยานิวเคลียร์ต่าง (direct nuclear reaction) หรือ ปฏิกิริยาตรัง (direct reaction)

ปฏิกิริยาตรังขึ้นกับอย่างสัมภิงค์กับปฏิกิริยานิวเคลียสประกอบ กล่าวคือในปฏิกิริยาตรัง อันตรกิริยาของอนุภาคต่อกันกับนิวเคลียสเป้าจะมีเฉพาะที่ผ่านของนิวเคลียสเป้า เสียเป็นส่วนใหญ่ ขณะที่ปฏิกิริยานิวเคลียสประกอบอันตรกิริยา มีทั้งทั้งนิวเคลียส ด้วยเหตุนี้ กระบวนการของปฏิกิริยาตรัง เช่นนี้จึงมีชื่อเรียกได้อีกอย่างหนึ่งว่า กระบวนการผิวนอก (peripheral process) เราอาจทำความเข้าใจเกี่ยวกับปรากฏการณ์นี้ได้โดยการพิจารณาในเชิงคณิต กล่าวคือ ถ้าถือว่าพลังงานของอนุภาคต่อกันมีค่ามากขึ้น ความยาวคณิตเดือนlobด้วยของอนุภาคต่อกันจะยังคงลดลง อนุภาคต่อกันที่เป็นนิวเคลียสนิวเคลียสต่อ พลังงาน 1 MeV จะมีความยาวคณิตเดือนlobด้วยประมาณ 4 fm ซึ่งความยาวคณิตนี้จะมากกว่ามิติ (dimension) ของนิวเคลียสนิวเคลียส หรือ  $R \approx A^{1/3} \approx A^{1/3}$  fm) จึงกล่าวได้ว่าอนุภาคต่อกันจะ "มองไม่เห็น" นิวเคลียส (รัศมีนิวเคลียส  $\approx 1.4A^{1/3} \approx A^{1/3}$  fm) จึงกล่าวได้ว่าอนุภาคต่อกันจะ "มองไม่เห็น" นิวเคลียส ในการนิวเคลียส (ปัจจุบันนิวเคลียส) ของนิวเคลียสเพียงนิวเคลียสเดียว แต่จะ "มองเห็น" รวม ๆ

ทั้งนิวเคลียส ดังนั้nonุภาคตกรอบจึงขอบที่จะมีอันตรกิริยากับทั้งนิวเคลียสเป่าห่านทางนิวเคลียสประกอบมากกว่าที่จะเลือกมีอันตรกิริยากับเพียงหนึ่งหรือสองนิวเคลียส แต่สำหรับอนุภาคตกรอบ (เป็นนิวเคลียส) ที่มีพลังงานสูง 20 MeV แล้ว ความยาวคลื่นเดอบลอยด์จะมีค่าประมาณ 1 fm ซึ่งพอ ๆ กับนิวเคลียส แต่น้อยกว่ามิติของนิวเคลียส อนุภาคตกรอบจะมองเห็นนิวเคลียสแต่ละนิวเคลียส (ปัจจุบันนิวเคลียส) ของนิวเคลียสได้ดี แต่จะมองไม่เห็นทั้งนิวเคลียส ดังนั้nonุภาคตกรอบจึงขอบที่จะมีอันตรกิริยากับนิวเคลียสเพียงหนึ่งหรือสองสามนิวเคลียสที่อยู่ใกล้พื้นผิวของนิวเคลียสผ่านทางอันตรกิริยาตรร มากกว่าที่จะมีอันตรกิริยากับทั้งนิวเคลียสผ่านทางนิวเคลียสประกอบ ซึ่งตามแบบจำลองอันตรกิริยาตรรนี้การข่ายແ xenon แต่ละนิวเคลียสไปสู่ชานแนลปฏิกิริยาไม่เพียงหนึ่งขั้นตอน โดยไม่ต้องมีขั้นตอนของการก่อรูปเป็นนิวเคลียสประกอบ

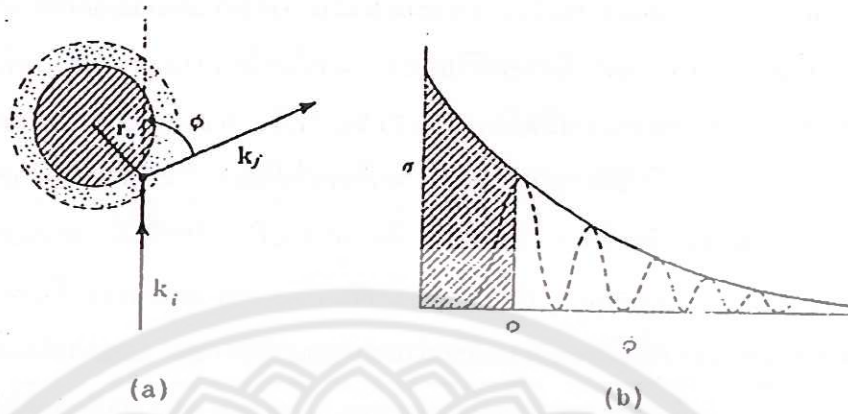
มีทางเป็นไปได้ที่กระบวนการแบบอันตรกิริยาตรร และกระบวนการแบบนิวเคลียสประกอบอาจจะให้ปฏิกิริยาอกมาเหมือนกัน ดังนั้นการจะจำแนกว่าปฏิกิริยาที่ได้นานั้นเกิดจากกระบวนการแบบใด มีหลักในการพิจารณาอยู่ 2 ประการ คือ

(1) กระบวนการแบบอันตรกิริยาตรรจะใช้เวลาตรวจสอบภายในเวลาที่เป็นอันดับขนาดของ  $10^{-22}$  s ในขณะที่โดยทั่วไป กระบวนการแบบนิวเคลียสประกอบจะใช้เวลานานกว่ามาก บางที่อยู่ระหว่าง  $10^{-16}$  ถึง  $10^{-18}$  s โดยเวลาเพิ่มขึ้นมาที่เป็นเวลาใช้ในการแยกแข่งและการผนวกพลังงานตกรอบแบบซ้ำแล้วซ้ำอีกให้กับบรรดานิวเคลียสทั้งหลายที่อยู่ภายในนิวเคลียส

(2) การแยกแข่งเชิงมุมของอนุภาคที่กระเด็นออกจากกระบวนการแบบอันตรกิริยาตรร มีแนวโน้มที่จะมีอุดมกว่าในกรณีของนิวเคลียสประกอบ

ผู้ที่พัฒนาทฤษฎีอันตรกิริยาตรรได้แก่ เอส. บัตเลอร์ (S. Butler) กับผู้ร่วมงานคนอื่น โดยคณิตศาสตร์ที่ใช้ไม่สูงนัก ส่วนใหญ่ของการอธิบายจะอยู่บนพื้นฐานของทฤษฎีเชิงแบบฉบับกระบวนการของอันตรกิริยาตามแนวทางของบัตเลอร์แสดงดังในรูป 6.1 คือการชนของอนุภาคตกรอบกับนิวเคลียสที่พื้นผิวของนิวเคลียสท่านั้น ในขณะที่แก่นของนิวเคลียส (ส่วนแหลม) ไม่ได้ถูกทำให้เกิดกระบวนการของอันตรกิริยาตรรเลย เมื่อปฏิกิริยาไม่ได้เกิดภายในนิวเคลียสจึงไม่มีการก่อรูปเป็นนิวเคลียสประกอบใด ๆ เกิดขึ้น จากในรูป 6.1 (a) ให้  $k_i$  และ  $k_f$  เป็นเวกเตอร์คลื่น (wave vector) ของอนุภาคตกรอบและอนุภาคที่ถูกดึงออก ตามทฤษฎีอันตรกิริยาตรร การชนจะเกิดขึ้นที่จุด P ซึ่งเป็นตำแหน่งใด ๆ ในพื้นผิวของนิวเคลียสซึ่งมีรัศมี  $R$ ,  $r$  เป็นระยะห่างของจุด P จากศูนย์กลางของนิวเคลียส จากการอนุรักษ์ของโมเมนตัมเชิงเส้น โมเมนตัมถอยหลัง (recoil momentum) ของนิวเคลียสจะเป็น  $\mathbf{q}\hbar = (\mathbf{k}_i - \mathbf{k}_f)\hbar$

$$\mathbf{q}\hbar = (\mathbf{k}_i - \mathbf{k}_f)\hbar \quad (6.1)$$



รูป 6.1 ภาพแสดงให้เห็นอันตรกิริยาตรงในเชิงทฤษฎีกึ่งแบบกลบบันทุณฑีเชิงแบบกลบบันทุณและค่วงเส้นทิ่บ วิธีการเกิดอันตรกิริยาตรงแสดงค่วงเส้นประ รูป (a) เป็นอันตรกิริยาที่คลาสิก (b) เป็นภาคตัดขวางเชิงอนุพันธ์ที่มุ่งต่าง ๆ พื้นที่แดงเป็นพื้นที่ที่ต้องห้ามเนื่องจากการอนุรักษ์ของโนเมนตัมเชิงมุม (จาก A. P. Arya, *Fundamentals of Nuclear Physics*, Boston: Allyn and Bacon, 1968, p. 425)

หรือ

$$\mathbf{q} = \mathbf{k}_i - \mathbf{k}_f \quad (6.2)$$

สำหรับปฏิกิริยาชนิด  $(n, p)$  โนเมนตัมเชิงมุม  $i \neq j$  ที่เพิ่มให้แก่นิวเคลียสจะถูกจำกัดค่าโดยเงื่อนไข

$$l_n + l_p \geq l \geq |l_n - l_p| \quad (6.3)$$

เมื่อ  $l_n$  เป็นเลขคณต้มวงโคจรของนิวตรอนในสถานะสุดท้ายภายหลังจากที่ถูกจับแล้ว และ  $l_p$  เป็นเลขคณต้มวงโคจรของโปรตอนที่สถานะเริ่มต้นก่อนการเกิดปฏิกิริยา เพราะฉะนั้นเมื่อใช้สมการ (6.2) กับรูป 6.1 (a) เราจะได้

$$\begin{aligned} q^2 &= k_i^2 + k_f^2 - 2k_i k_f \cos \phi \\ &= (\mathbf{k}_i - \mathbf{k}_f)^2 + 4k_i k_f \sin^2 \phi / 2 \end{aligned} \quad (6.4)$$

และ

$$\mathbf{l} = \mathbf{q} \times \mathbf{r}\hbar$$

$$l = qr \sin \beta \quad (6.5)$$

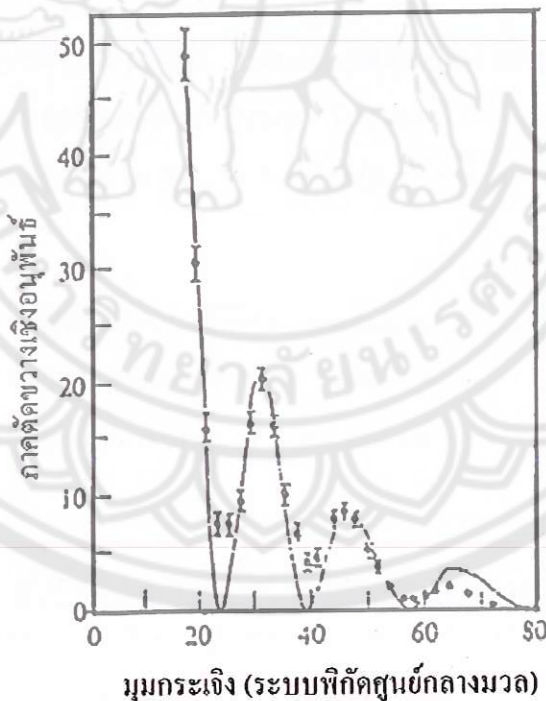
ตามสมการ (6.5) อันตรกิริยาตรจะถูกจำกัดอยู่ที่ผิวของทรงกระบอกซึ่ง  $l/q$  เนื่องจากแก่นของนิวเคลียสไม่มีส่วนต่อกระบวนการของปฏิกิริยาตร ด้วยเหตุนี้จุดที่อยู่บนผิวด้านปลายหัวท้ายของทรงกระบอกเท่านั้นที่มีผลต่อกระบวนการ โดยคลื่นที่เกิดจากปลายหัวท้ายจะไปมีส่วนต่อการทำให้เกิดค่าสูงสุดและทำสุดของการแยกแยะเชิงมุม ซึ่งชนิดของการแยกแยะเชิงมุมนี้แสดงดังรูป 6.1(b)

จากการใช้กลศาสตร์ควอนตัม กระบวนการของอันตรกิริยาตรจะให้นิพจน์ของการแยกแยะเชิงมุมเป็น

$$d\sigma = [j_l(qR)]^2 d\Omega \quad (6.6)$$

เมื่อ  $j_l$  เป็นฟังก์ชันเบสเซลทรงกลม ค่าสูงสุดค่าแรกของภาคตัดขวางซึ่งหาได้โดย  $qR$  จะกำหนดให้โดยสมการ

$$qR = l \quad (6.7)$$



รูป 6.2 การแยกแยะเชิงมุมในการกระเจิงแบบไม่ยึดหยุ่น

ของอนุภาคแอลไฟฟ์ลังงาน 31.5 MeV จาก  $^{24}\text{Mg}$  ในปฏิกิริยา

$^{24}\text{Mg}(\alpha, \alpha')^{24}\text{Mg}$  (ตัวแปลงจาก A. P. Arya, *Fundamentals of Nuclear Physics*, Boston: Allyn and Bacon, 1968, p. 427)

ในรูป 6.2 แสดงการแยกแยะเชิงมุมของการกระเจิงบุนของอนุภาคแอลฟ่าพลังงาน  $31.5 \text{ MeV}$  จาก  $^{24}\text{Mg}$

มีปฏิกิริยานิวเคลียร์อยู่สี่ชนิดที่อธิบายได้โดยกระบวนการอันตรกิริยาตรร ได้แก่

(ก) การกระเจิงแบบไม่ยึดหยุ่น (inelastic scattering) ใน การกระเจิงแบบไม่ยึดหยุ่น อนุภาคตกรอบจะสูญเสียพลังงานจนส่วนหนึ่งให้กับนิวเคลียส ดังนั้นภายหลังจากรับพลังงาน อนุภาคน้ำเดือนิวเคลียร์จะอยู่ในสถานะกระตุ้น ดังแสดงให้เห็นเป็นแบบแผนในรูป 6.3 (a) เมื่อ C แทนแก่นของนิวเคลียส, N แทนนิวคลีออนที่อยู่บนพื้นผิวของนิวเคลียส ซึ่งเรียกว่า นิวคลีออน พื้นผิว, และ P แทนอนุภาคตกรอบ ตัวอย่าง ได้แก่ ปฏิกิริยา  $(\alpha, \alpha')$ ,  $(p, p')$  เป็นต้น

(ข) ปฏิกิริยาระแทกออก (knock-out reactions) ปฏิกิริยาระบบที่เปลี่ยนแปลงอนุภาค ที่ตกรอบชนกระแทกกับนิวคลีออนที่อยู่ที่พื้นผิวของนิวเคลียสหลุดออกไป โดยหลังจากชนแล้ว อนุภาคตกรอบจะอยู่ในพื้นผิวของนิวเคลียสแทน ตัวอย่าง เช่น ปฏิกิริยา  $(n, p)$ ,  $(p, n)$  เป็นต้น แบบแผนของปฏิกิริยาแสดงในรูป 6.3(b)

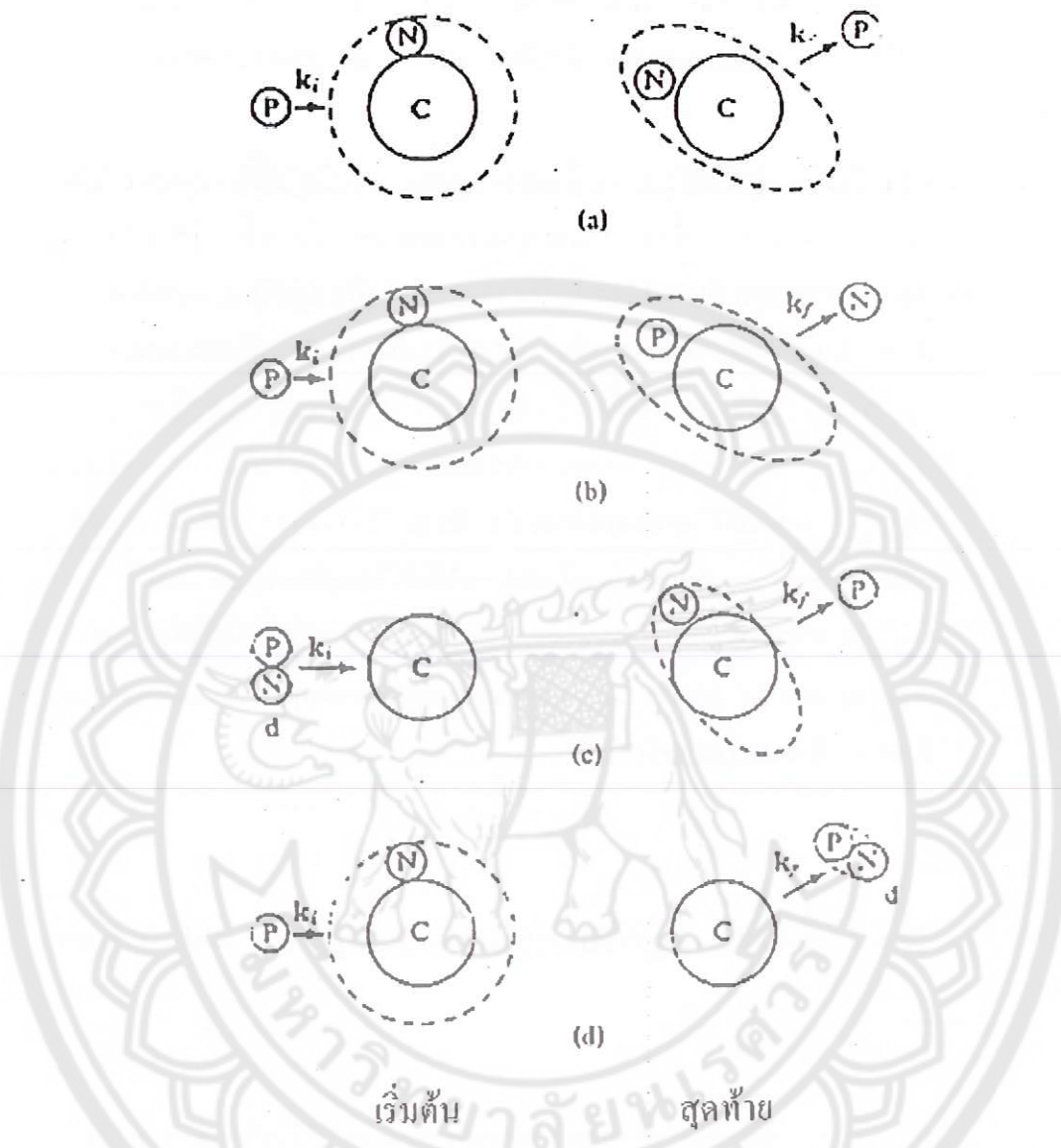
(ค) ปฏิกิริยาปลดเปลือง (stripping reaction) ปฏิกิริยาระบบที่อนุภาคตกรอบจะ ปลดปล่อยนิวคลีออนที่ไว้นบนพื้นผิวของนิวเคลียสก่อนที่จะเคลื่อนที่ออกจากนิวเคลียสไปตามวิถี ของมัน ตัวอย่างของปฏิกิริยา เช่น ได้แก่ ปฏิกิริยา  $(d, p)$ ,  $(d, n)$ ,  $(\alpha, p)$  เป็นต้น แบบแผนของ ปฏิกิริยาแสดงดังในรูป 6.3(c)

(ง) ปฏิกิริยาหอบหิว (pick-up reaction) ปฏิกิริยาระบบที่กลับกันกับปฏิกิริยาปลดเปลือง ก้าวคืออนุภาคตกรอบจะหอบหิวเอานิวคลีออนที่พื้นผิวของนิวเคลียสติดออกไปด้วย ตัวอย่าง ของปฏิกิริยาแบบนี้ ได้แก่ ปฏิกิริยา  $(p, d)$  และ  $(p, \alpha)$  แบบแผนของปฏิกิริยาแสดงดังในรูป 6.3(d)

การศึกษารายละเอียดของปฏิกิริยาเหล่านี้ ในเชิงทฤษฎีมักทำกันในช่วงพลังงานปานกลาง กับพลังงานสูง ปฏิกิริยาหอบหิวที่ได้รับความสนใจที่สุด ได้แก่ ปฏิกิริยาหอบหิวนิด  $(d, p)$  และ  $(d, n)$  ซึ่งบัตเลอร์ได้เริ่มต้นศึกษาปฏิกิริยานี้ เป็นครั้งแรกใน ค.ศ. 1951 ในปฏิกิริยาหอบหิว การอนุรักษ์โมเมนตัมของปฏิกิริยาหอบหิวจะเป็น ได้เป็น

$$I_i + I_f + \frac{1}{2} \geq l \geq \left| I_i + I_f + \frac{1}{2} \right|_{\min} \quad (6.8)$$

เมื่อ  $I_i$  และ  $I_f$  เป็นสปินของนิวคลีโอเริ่มต้นและนิวคลีโอสุดท้ายตามลำดับ,  $\left| I_i + I_f + \frac{1}{2} \right|_{\min}$



รูป 6.3 แบบแผนของ (a) การกระเจิงแบบไม่มีชิดหุ่น  
(b) ปฏิกริยากระแทกออก (c) ปฏิกริยาปลดเปลือง  
(d) ปฏิกริยาหอนทิ้ว (ตัดเปล่งจาก A. P. Arya,

*Fundamentals of Nuclear Physics.*, Boston: Allyn and Bacon, 1968, p. 428)

เป็นผลบวกเวกเตอร์ที่เป็นไปในทางที่ให้ค่าน้อยที่สุด ถ้าเพริติของสถานะเริ่มต้นและสถานะสุดท้ายของนิวเคลียสมีอนกัน  $I$  จะต้องเป็นเลขคู่ แต่ถ้าต่างกัน  $I$  จะต้องเป็นเลขคี่ ดังตัวอย่าง ในปฏิกริยา  ${}^{12}\text{C}(d,p){}^{13}\text{C}$  ซึ่ง  $I_i = 0^+$  และ  $I_f = \frac{1}{2}^-$  ซึ่งมีการเปลี่ยนเพริติ ดังนั้น  $I$  จะเป็น

เลขคี่ ซึ่งถ้าแทน  $I_i$  และ  $I_f$  ลงในสมการ (6.8) จะได้  $0 + \frac{1}{2} + \frac{1}{2} \geq I \geq 0 - \frac{1}{2} + \frac{1}{2}$  หรือ  $I = 0, 1$  ค่าที่เป็นไปได้ของ  $I$  จะต้องเป็นเลขคี่ ซึ่งก็คือ  $I=1$  และนิวตรอนตัวสุดท้ายใน  $^{13}\text{C}$  จะต้องอยู่ที่สถานะ  $p_{\frac{1}{2}}$

การกระเจิงแบบไม่มีดีหยุ่นเป็นตัวอย่างหนึ่งของกระบวนการที่เป็นได้ทั้งแบบอันตรกิริยาระบบทั่วไป หรือไม่ก็แบบนิวเคลียสประกอบ ซึ่งกระบวนการจะผ่านออกมาทางไนน์ชีนอยู่กับพลังงานของอนุภาคตกรอบ ส่วนปฏิกิริยาอื่น ๆ ได้แก่ปฏิกิริยา  $(d, n)$  ซึ่งเป็นปฏิกิริยาปลดเปลือก (stripping reaction) กระบวนการเป็นได้ทั้งแบบอันตรกิริยาระบบทั่วไปและแบบนิวเคลียสประกอบ ขณะที่ปฏิกิริยา  $(d, p)$  ซึ่งเป็นปฏิกิริยาปลดเปลือก เช่นเดียวกับกระบวนการของอนุภาคที่จะเป็นแบบอันตรกิริยาระบบทั่วไปมากกว่า เพราะการระเบียงของ proton จากนิวเคลียสประกอบเป็นไปได้ยากเนื่องจากมีศักย์คูลอนบ์ข้างกันอยู่ และอีกปฏิกิริยาปลดเปลือกหนึ่ง คือปฏิกิริยา  $(\alpha, n)$  คุณเมื่อนของอนุภาคที่จะเป็นอันตรกิริยาระบบทั่วไปเนื่องจากการปลดปล่อยนิวเคลียสให้เข้าไปอยู่ในสถานะเวลenuce (valence state) ของนิวเคลียสเป้าถึงสามนิวเคลียสในคราวเดียวันนี้มีความเป็นไปไม่ได้สูงมากปฏิกิริยาปลดเปลือก  $(d, n)$  และ  $(d, p)$  มักจะถูกยกขึ้นมาเป็นปฏิกิริยาตัวอย่างในการศึกษาทางทดลองของอันตรกิริยาระบบทั่วไป

## 6.2 ปฏิกิริยาปลดเปลือกและปฏิกิริยาหอบหิว (Stripping and Pickup Reactions)

ในการศึกษาทางทฤษฎีเกี่ยวกับปฏิกิริยาตรร ตัวอย่างที่ดีของปฏิกิริยาที่เราสามารถพิจารณาได้แก่ปฏิกิริยา  $(d, p)$  ซึ่งหลังจากดิวเทอรอนพลังงานมากกว่าสองสาม MeV ผลกระทบนิวเคลียส เป้าแล้วสั้นเกตพบว่ามีโปรดตอนเกิดขึ้น กระบวนการของปฏิกิริยาอาจพิจารณาได้ดังนี้ ก้าวคือ ดิวเทอรอนซึ่งประกอบไปด้วยโปรดตอนและนิวตรอนยึดกันอยู่เป็นระบบอย่างหลวม ๆ เมื่อつく ผลกระทบนิวเคลียสเป้า จะถูกนิวเคลียสเป้าจับเอาไว้ติดอยู่ในวงโคจรอนุภาคเชิงเดียว (single particle orbit) (เป็นวงโคจรของนิวเคลียสในนิวเคลียสตามแบบจำลองอนุภาคเชิงเดียว) ของ นิวเคลียสเป้า โดยไม่ได้รับกวนโครงสร้างส่วนที่เหลืออยู่เลย ส่วนโปรดตอนของดิวเทอรอนที่ เหลืออยู่ก็ยังคงเคลื่อนที่ต่อไป และกลายเป็นอนุภาคกระเจิงออกไปในเวลาต่อมา กระบวนการ ของปฏิกิริยาอาจมองได้อีกภาพหนึ่งคือ เมื่อดิวเทอรอนentre; ไฟล์ (คำที่ใช้กับการเคลื่อนที่) เข้า ไปยังนิวเคลียสเป้า ดิวเทอรอนได้ปลดปล่อยนิวตรอนให้กับนิวเคลียสเป้า ส่วนโปรดตอนที่เหลือก็

ยังคงโพรเจกไทร์ต่อไป ปฏิกิริยานี้จึงมีชื่อเรียกว่า ปฏิกิริยาปลดเปลี่ยน (stripping reaction) และถือว่าเป็นพากปฏิกิริยาถ่ายโอน (transfer reaction) เพราะเป็นการถ่ายโอนนิวเคลียลีอ่อนจากอนุภาคโพรเจกไทร์ให้แก่นิวเคลียลีสเปีย สถานะของนิวเคลียลีสสุดท้ายที่ถูกกระตุนอย่างรุนแรงหลังจากรับนิวเคลียลีอ่อนไว้แล้วนั้นก่อรูปจากการควบคันระหว่างนิวเคลียลีอ่อนที่เข้ามากับสถานะพื้นของนิวเคลียลีสเปีย ปฏิกิริยาปลดเปลี่ยนอื่นได้แก่ปฏิกิริยา (*t, p*) ซึ่งเป็นการถ่ายโอนนิวเคลียลีอ่อนแบบเป็นกลุ่มก้อน (cluster) (กลุ่มก้อนของสองนิวตรอน) จากอนุภาคโพรเจกไทร์ที่เป็นทริเทียม (tritium) ไปสู่นิวเคลียลีสเปีย ถึงแม้การถ่ายโอนนี้จะยุ่งยากขึ้น แต่ก็ยังพอจะเป็นปฏิกิริยาตรงได้ อนึ่งเนื่องจากการถ่ายโอนนิวเคลียลีอ่อนเป็นกลุ่มก้อนให้แก่นิวเคลียลีสเปียที่ขัดขวางเป็นปฏิกิริยาตรงนั้น โครงสร้างการเรียงตัวของนิวเคลียลีอ่อนที่อยู่ภายในนิวเคลียลีสเปียและที่อยู่ภายในกลุ่มก้อนจะต้องไม่ถูกรบกวนเลย การถ่ายโอนแบบนี้จึงเป็นไปได้ยาก ดังนั้นโดยส่วนใหญ่ของการถ่ายโอนนิวเคลียลีอ่อนแบบเป็นกลุ่มก้อนจำนวนมากจะเป็นพากปฏิกิริยานิวเคลียลีสประกอบ

ปฏิกิริยาหนึ่งที่คุ้งกันปฏิกิริยาปลดเปลี่ยน แต่เป็นไปในทางตรงกันข้ามก็คือ ปฏิกิริยาหอบหิว (pickup reaction) ในกรณีของปฏิกิริยาหอบหิวนี้นิวเคลียลีสเปียจะสูญเสียนิวเคลียลีอ่อนไปโดยมีนิวเคลียลีอ่อนหนึ่งหรือสองสามนิวเคลียลีอ่อนถูกอนุภาคโพรเจกไทร์นำพาออกไปจากนิวเคลียลีส โดยที่โครงสร้างการเรียงตัวของนิวเคลียลีอ่อนภายในนิวเคลียลีสเปียไม่ถูกรบกวนเลย ตัวอย่างที่ดีของปฏิกิริยาหอบหิวได้แก่ปฏิกิริยา  $^{40}\text{Ca}(p, d)^{39}\text{Ca}$  ซึ่งนิวเคลียลีส  $^{40}\text{Ca}$  จะถูกโปรดอนหอบหิวเอานิวตรอนออกไปหนึ่งตัว แล้วกลายเป็นนิวเคลียลีสตอกถ้าง  $^{39}\text{Ca}$  ซึ่งมีสถานะเป็นสถานะถูกกระตุน การเกิดมีสถานะกระตุนของ  $^{40}\text{Ca}$  ขึ้นเช่นนี้ไม่ได้เกิดจากการเปลี่ยนแปลงการเรียงตัวของนิวเคลียลีอ่อนภายในนิวเคลียลีสอันเนื่องจากการถูกรบกวน แต่เนื่องมาจากการเกิดโอล (hole) หรือที่ว่างของนิวตรอนในนิวเคลียลีส ภายหลังจากที่นิวตรอนถูกหอบหิวออกไปนิวเคลียลีสเป็นนั่นเอง

ภาคตัดขวางการกระเจิงของปฏิกิริยาตรง (ปฏิกิริยาปลดเปลี่ยนหรือหอบหิว) อาจหาได้ในทางตรงไปตรงมาโดยใช้การประมาณอร์น (Born approximation) ทั้งนี้เพราะกลไกของปฏิกิริยาตรงเป็นไปอย่างตรงไปตรงมาอันเนื่องมาจากการสัมพันธ์ระหว่างสถานะเริ่มต้นและสุดท้ายของนิวเคลียลีสตามข้อสมมุติของปฏิกิริยาตรงเป็นไปอย่างง่าย ๆ นั่นเอง ซึ่งการหากภาคตัดขวงการกระเจิงจะดำเนินการต่อไปนี้ สมการคลื่นเรอดิงเօร์ในรูปแบบของสมการเชิงอนุพันธ์อันดับสองอาจเขียนได้เป็น

$$(\nabla^2 + k^2)\psi(\mathbf{r}) = \frac{2\mu}{\hbar^2}V(\mathbf{r})\psi(\mathbf{r}) \quad (6.9)$$

เมื่อ  $k^2 = 2\mu E / \hbar^2$  พลกแಲยชิงรูปแบบ (formal solution) ของสมการ (6.9) สำหรับคลื่นออก (หมายถึงคลื่นกระเจิงออกจากนิวเคลียลีส) อาจเขียนได้โดยให้อยู่ในพจน์ของฟังก์ชันของกรีน

(Green's function),  $G(\mathbf{r}, \mathbf{r}')$ , ตั้งนี้

$$\psi(\mathbf{r}) = e^{i\mathbf{k}_f \cdot \mathbf{r}} + \frac{2\mu}{\hbar^2} \int G(\mathbf{r}, \mathbf{r}') V(\mathbf{r}') \psi(\mathbf{r}') d^3 r' \quad (6.10)$$

เมื่อเราเลือกทิศทางของ  $\mathbf{k}_f$  ให้อยู่ในทิศทางเดียวกับอนุภาคผลกระทบ พจน์  $\exp[i\mathbf{k}_f \cdot \mathbf{r}]$  ที่อยู่ทางขวา มีข้อของสมการ (6.10) เป็นผลเฉลยส่วนที่เป็นเอกพันธ์ (homogeneous part) ในบริเวณที่ศักย์  $V(\mathbf{r}) = 0$

เราจะให้ฟังก์ชันของกรีนนี้มีรูปแบบที่ชัดเจน คือ

$$G(\mathbf{r}, \mathbf{r}') = -\frac{1}{4\pi} \frac{e^{ik|\mathbf{r}-\mathbf{r}'|}}{|\mathbf{r}-\mathbf{r}'|} \quad (6.11)$$

ซึ่งเป็นผลเฉลยของสมการต่อไปนี้

$$(\nabla^2 + k^2) G(\mathbf{r}, \mathbf{r}') = \delta(\mathbf{r} - \mathbf{r}')$$

เราอาจกล่าวสรุปในนัยทั่วไปยิ่งขึ้นว่า สมการนิยามของ  $G(\mathbf{r}, \mathbf{r}')$  ที่เป็นส่วนหนึ่งของ  $V(\mathbf{r})$  เป็นส่วนที่แทนผลโดยเฉลี่ย (average effect) ของนิวเคลียสเป้าที่มีต่อนุภาคผลกระทบ

จากการแทนสมการ (6.11) ลงใน (6.10) จะได้สมการผลเฉลยเชิงรูปแบบเป็น

$$\psi(\mathbf{r}) = e^{i\mathbf{k}_f \cdot \mathbf{r}} - \frac{\mu}{2\pi\hbar^2} \int \frac{e^{ik|\mathbf{r}-\mathbf{r}'|}}{|\mathbf{r}-\mathbf{r}'|} V(\mathbf{r}') \psi(\mathbf{r}') d^3 r' \quad (6.12)$$

เนื่องจากศักย์  $V(\mathbf{r}')$  มีพิสัยสั้น เว้นแต่จะนำอันตรกิริยาคูลอมบ์มาคิดด้วย ซึ่งเราจะกล่าวในบทถัดไป โดยให้เป็นส่วนหนึ่งของศักย์แบบจำลองทัศน์ (optical model potential) เราจึงอาจประมาณฟังก์ชันที่กำลังในบริเวณเชิงเส้นกำกับโดยการขยายฟังก์ชัน และคิดเฉพาะสองพจน์แรก ดังต่อไปนี้

$$ik(|\mathbf{r} - \mathbf{r}'|) = k\sqrt{r^2 - 2\mathbf{r} \cdot \mathbf{r}' + r'^2} = kr - \mathbf{k}_f \cdot \mathbf{r}' + O(r'^2) \approx kr - \mathbf{k}_f \cdot \mathbf{r}'$$

เมื่อ  $\mathbf{k}_f = kr/r$  ถูกเลือกให้ทิศทางอยู่ในทิศทางของอนุภาคที่เกิดขึ้นจากปฏิกริยา หรืออนุภาคกระเด็นออก เมื่อแทนพจน์ในสมการข้างบนลงในสมการ (6.12) จะได้ผลเฉลยเชิงรูปแบบใหม่ เป็น

$$\psi(\mathbf{r}) \approx e^{i\mathbf{k}_f \cdot \mathbf{r}} - \frac{\mu}{2\pi\hbar^2} \frac{e^{ikr}}{r} \int e^{-i\mathbf{k}_f \cdot \mathbf{r}'} V(\mathbf{r}') \psi(\mathbf{r}') d^3 r' \quad (6.13)$$

โดยที่เราให้  $|r - r'| \approx r$  ด้วย เพราะการสังเกตอนุภาคกระเจิงของเราสังเกตในบริเวณเชิงเส้น กำกับ

เปรียบเทียบสมการ (6.13) กับฟังก์ชันคลื่นกระเจิง ที่อยู่ในรูปแบบเชิงเส้นกำกับ เช่นเดียวกัน เพียงแต่ทิศทางของอนุภาคตกรอบทันกำหนดอยู่แนวแกน  $z$  คือ

$$\psi(r, \theta) = e^{ikz} + f(\theta) \frac{e^{ikr}}{r} \quad (6.14)$$

สำหรับ  $r \rightarrow \infty$

จะได้แอนพลิจูดของคลื่นกระเจิง หรือเรียกว่า แอนพลิจูดการกระเจิง (scattering amplitude) เป็น

$$f(\theta) = -\frac{\mu}{2\pi\hbar^2} \int e^{-ik_f \cdot r'} V(r') \psi(r') d^3 r' \quad (6.15)$$

สมการ 6.15 นี้เป็นส่วนที่เป็นแอนพลิจูดการกระเจิงของผลเฉลยเชิงรูปแบบของสมการ (6.9) โดยนิพจน์เกี่ยวกับฟังก์ชันไม่รูปแบบ (unknown function)  $\psi(r')$  ซึ่งเป็นประโยชน์ต่อการใช้เป็นจุดเริ่มต้นในการขยายภาคตัดขวางการกระเจิงให้อยู่ในพจน์ของอนุกรมบอร์น (Born series)

ในการประมาณบอร์นอันดับแรก (first Born approximate) เราจะทำการแทนฟังก์ชันที่ไม่รูปแบบ  $\psi(r')$  ที่อยู่ในแอนพลิจูดการกระเจิง, สมการ (6.15) ด้วยคลื่นระนาบ หรือไม่ก็คลื่นที่บิดเบี้ยว (distort) ไปน้อยที่สุด [หมายเหตุ : ในการประมาณบอร์น (อันดับแรก) จะเป็นการแทนฟังก์ชันคลื่นไม่รูปแบบที่อยู่ในแอนพลิจูดการกระเจิงด้วยฟังก์ชันคลื่นระนาบ หรือไม่ก็บิดเบี้ยวไปน้อยที่สุด ซึ่งฟังก์ชันคลื่นที่นี่จะเป็นฟังก์ชันคลื่นที่อยู่ในบริเวณที่มีศักย์อ่อน (weak) และอนุภาคตกรอบทันทีที่มีพลังงานสูง ซึ่งก็เป็นเงื่อนไขของการประมาณบอร์นว่าศักย์ต้องอ่อนและพลังงานอนุภาคตกรอบทันทีสูง สอดคล้องกับกรณีกระบวนการอันตราระบบทองเรา ซึ่งอนุภาคตกรอบมีพลังงานสูง และบริเวณที่เราสังเกตการกระเจิงเป็นบริเวณเชิงเส้นกำกับซึ่งเป็นบริเวณที่มีศักย์อ่อน] ดังนั้นฟังก์ชันคลื่นระนาบที่นำมาแทน  $\psi(r')$  ก็คือฟังก์ชันคลื่นที่เหมือนกับฟังก์ชันคลื่นเดิมตอนตกรอบ  $\exp(ik_f \cdot r')$  ที่อยู่ในพจน์แรกของผลเฉลยเชิงรูปแบบ, สมการ (6.14), นั่นเอง ซึ่งภายหลังจากการแทน  $\psi(r') = \exp(ik_f \cdot r')$  ดังกล่าวแล้ว เราจะได้แอนพลิจูดการกระเจิงในรูปแบบใหม่เป็น

$$f(\theta) \approx -\frac{\mu}{2\pi\hbar^2} \int e^{-ik_f \cdot r'} V(r') e^{ik_f \cdot r'} d^3 r' \quad (6.16)$$

เราจะนำผลลัพธ์ที่ได้มานี้ไปคำนวณหาภาคตัดขวางการกระเจิงเชิงอนุพันธ์ของปฎิกริยาปลดเปลือย

และปฏิกริยาหอนหัวใจจาก

$$\frac{d\sigma(\theta)}{d\Omega} = |f(\theta)|^2 = f^*(\theta)f(\theta) \quad (6.17)$$

สมการ (6.16) นี้เรารอทำให้ง่ายขึ้นอีก โดยการกำหนดให้อูฐ์ในรูปของเวกเตอร์การถ่ายโอนโมเมนตัม (momentum transfer vector),

$$\mathbf{q} = \mathbf{k}_i - \mathbf{k}_f \quad (6.18)$$

และขยายคลื่นระนาบให้อูฐ์ในพจน์ของอาร์มอนิกทรงกลม

$$e^{i\mathbf{q}\cdot\mathbf{r}'} = \sum_l i^l \sqrt{4\pi(2l+1)} j_l(qr') Y_{lo}(\theta') \quad (6.19)$$

นุ่ม  $\theta'$  อูฐ์ระหว่างเวกเตอร์  $\mathbf{q}$  และ  $\mathbf{r}'$  เพราะจะนั่นจึงเป็นตัวแปรตัวหนึ่งของการหาปริพันธ์ ในสมการ (6.16) : ในทางกลับกัน  $\theta$  เป็นนุ่มระหว่าง  $\mathbf{k}_f$  และ  $\mathbf{k}_i$

### 6.3 การแยกแจงเชิงมุม (Angular Distribution)

การอภิปรายในหัวข้อที่ผ่านมาเรามาไม่นำเอาโครงสร้างภายในของอนุภาคที่มีส่วนร่วมกับการกระเจิงมาเกี่ยวข้อง แต่สำหรับในเรื่องของปฏิกริยาปลดเปลืองและหอนหัวใจแล้ว การพิจารณาของเราต้องนำเอาโครงสร้างภายในของอนุภาคที่เกี่ยวข้องกับปฏิกริยามาเกี่ยวข้องด้วย ดังนั้นในนิพจน์ของแอนเพลจูดการกระเจิงจึงต้องมีทั้งฟังก์ชันคลื่นของหั้นนิวเคลียสไอเร่็นดันและนิวเคลียสไอสุดท้ายที่เกี่ยวข้องกับปฏิกริยาอยู่ภายในนิพจน์ด้วย รูปแบบเชิงเส้นกำกับของฟังก์ชันคลื่นเรื่องดันและสุดท้ายของระบบการกระเจิงในกรณีเช่นนี้จะกำหนดได้เป็น

$$\Psi_i \rightarrow e^{i\mathbf{k}_i \cdot \mathbf{r}} \Phi_i \quad \Psi_f \rightarrow e^{i\mathbf{k}_f \cdot \mathbf{r}} \Phi_f \quad (6.20)$$

เมื่อ  $\Phi_i$  และ  $\Phi_f$  เป็นผลคูณของฟังก์ชันคลื่นภายในของอนุภาคต่อกันของนิวเคลียสเป้า และผลคูณของฟังก์ชันคลื่นของอนุภาคกระเจิงกับของนิวเคลียสตอกค้าง ตามลำดับ สำหรับตัวอย่างเชิงรูปธรรม ให้เราพิจารณากรณีของปฏิกริยา  ${}^{40}\text{Ca}(d, p){}^{41}\text{Ca}$  ปฏิกริยานี้เรามี

$$\Phi_i = \{\phi(d) \times \phi({}^{40}\text{Ca})\} \quad \Phi_f = \{\phi(p) \times \phi({}^{41}\text{Ca})\}$$

เมื่อ  $\phi(d)$ ,  $\phi(p)$ ,  $\phi(^{40}\text{Ca})$  และ  $\phi(^{41}\text{Ca})$  เป็นฟังก์ชันคลื่นที่อธิบายโครงสร้างภายในของดิวเทอรอน โปรตอน  $^{40}\text{Ca}$  และ  $^{41}\text{Ca}$  ตามลำดับ เครื่องหมายคูณมีนัยว่าฟังก์ชันคลื่นคู่ควบคู่กันและกันค่วยค่ากำหนดแน่นของโนเมนตัมเชิงมุมและไอโซสปิน (isospin)

เพื่อให้เป็นตามเจตนาหมายของปฏิกริยาตรง เราจึงให้ฟังก์ชันคลื่นดิวเทอรอนเป็นสถานะคู่ควบคู่ (coupled state) (อย่างอ่อน ๆ) ของฟังก์ชันคลื่นโปรตอนและนิวตรอน คือ

$$\phi(d) = (\phi(p) \times \phi(n)) \quad (6.21)$$

เพื่อให้การอภิปรายของเราระบุในเรื่องนี้ง่ายขึ้น และหลีกเลี่ยงความยุ่งยากเนื่องจากการคู่ควบคู่ช้อน (recoupling) เราจึงปฏิบัติให้โปรตอนเป็นผู้ดูเหตุการณ์ (spectator) ในกระบวนการของการกระเจิงทั้งหมด ถ้านิวตรอนถูกจับเข้าไปอยู่ในสถานะอนุภาคเชิงเดี่ยวของนิวเคลียสเป้าที่มีโนเมนตัมเชิงมุมวงโคจร  $I_l$  ฟังก์ชันคลื่นของนิวเคลียสตกค้างก็อาจจะถูกกำหนดให้อยู่ในรูปแบบ

$$\phi_l(^{41}\text{Ca}) \sim (\phi(n)\phi(^{40}\text{Ca})Y_{l,m_l}(\theta',\phi')) \quad (6.22)$$

จากการใช้ฟังก์ชันคลื่นเหล่านี้ จะได้แอนพลิจูดการกระเจิงสำหรับปฏิกริยา  $^{40}\text{Ca}(d,p)^{41}\text{Ca}$  ในรูปแบบเป็น

$$f(\theta) \approx -\frac{\mu}{2\pi\hbar^2} \int e^{-iq\cdot r'} \left\langle \left( \phi(p) \times (\phi(n)\phi(^{40}\text{Ca})Y_{l,m_l}(\theta',\phi')) \right) \right\rangle V(r') \left\langle \phi(^{40}\text{Ca}) \times (\phi(p) \times \phi(n)) \right\rangle d^3r' \quad (6.23)$$

บทบาทของศักย์  $V(r')$  ในที่นี่คือปลดหนีดูนิวตรอนออกจากดิวเทอรอน และใส่ไว้ในนิวเคลียสตกค้าง สำหรับดูคุณสมบัติของเรา เพื่อให้ง่ายต่ออนุพันธ์ (derivation) เราอาจประมาณศักย์  $V(r')$  โดยฟังก์ชันเดลต้า (delta function) ที่ผิวของนิวเคลียส คือ

$$V(r') = V_0 \delta(r' - R) \quad (6.24)$$

$R$  ในที่นี่คือรัศมีของนิวเคลียสตกค้าง ความหมายของการประมาณนี้คืออนิวตรอนถูกปลดเปลี่ยนออกจากดิวเทอรอนตกกระทบและถูกจับไว้โดย  $^{40}\text{Ca}$  ตรงผิวสัมผัส ความแรง  $V_0$  แทนโอกาสที่กระบวนการเร่อนนั้นจะเกิดขึ้น และอาจได้รับการปฏิบัติให้เป็นพารามิเตอร์ที่สัมพันธ์กับขนาดสัมบูรณ์ (absolute magnitude) ของภาคตัดขวางการกระเจิง เมื่อเราหาปริพันธ์สมการ (6.23) ทั่วพิกัดของทั้งนิวเคลียสและ  $^{40}\text{Ca}$  ฟังก์ชันคลื่นก็จะหดตัวออกไป และขยายตัวประกอบเชือกัด (exponential factor) ให้อยู่ในพจน์ของชาร์มอนิกทรงกลมโดยใช้สมการ (6.19) แอนพลิจูดการกระเจิงก็จะลดรูปแบบลงเหลือดังนี้

$$\begin{aligned}
 f(\theta) &\approx -\frac{2\mu}{\hbar^2} V_0 \sum_l i^l \sqrt{\frac{2l+1}{4\pi}} j_l(qR) \int Y_{l0}(\theta') Y_{l'm_l}^*(\theta', \phi') \sin \theta' d\theta' d\phi' \\
 &= -\frac{2\mu}{\hbar^2} V_0 i^l \sqrt{\frac{2l+1}{4\pi}} j_l(qR) \delta_{ll'} \delta_{m_l m_l'} \\
 &= -\frac{2\mu}{\hbar^2} V_0 i^l \sqrt{\frac{2l+1}{4\pi}} j_l(qR)
 \end{aligned} \tag{6.25}$$

ในการหาปริพันธ์ทั่วๆ ไปที่อยู่ในนิพจน์ของบรรทัดแรกของสมการ (6.25) นั้น เราใช้เงื่อนไขเชิงตัวแปรคู่ (orthonormal condition) ของชาร์นอนิกทรงกลมเข้าช่วย คือ

$$\int_0^{2\pi} \int_0^\pi Y_{lm}(\theta, \phi) Y_{l'm'}^*(\theta, \phi) \sin \theta d\theta d\phi = \delta_{ll'} \delta_{mm'}$$

เฉพาะส่วนที่ขึ้นกับมุมในสมการ (6.23) จะอยู่ในฟังก์ชันแบบเซลทรั่งกลม โดยผ่านทางความสัมพันธ์ระหว่างการถ่ายโอนโน้มเนนตั้ม  $q$  กับมุมกระเจิง  $\theta$  เมื่อจากว่าเราใช้คลื่นระนาบมาประมาณผลเฉลยของสมการการกระเจิง เราจึงเรียกผลลัพธ์ที่ได้ว่า เป็นผลลัพธ์จาก การประมาณบนรันคลื่นระนาบ (Plane Wave Born Approximate) หรือนิยมเรียกันอย่างย่อ ๆ ว่า PWBA ซึ่งรายละเอียดที่เข้มงวดกว่านี้อาจหาอ่านได้จากหนังสือที่เขียนเรื่องปฏิริยาตรังโดยตรง เช่นที่เขียนโดยโทบอคแมน (Tobocman) (*Theory of Direct Nuclear reaction*, Oxford University Press, London, 1961) หรือที่เขียนโดยแซทธเลอร์ (Satchler) (*Direct Nuclear Reaction*, Oxford University Press, Oxford, 1983)

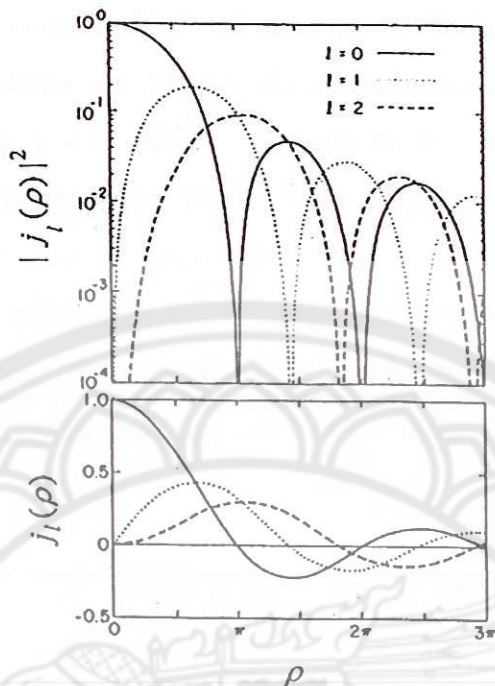
จากสมการ (6.25) ภาคตัดขวางเชิงอนุพันธ์สำหรับปฏิริยาตรังจะกำหนดให้โดย

$$\frac{d\sigma}{d\Omega} \sim |j_l(qR)|^2 \tag{6.26}$$

การถ่ายโอนโน้มเนนตั้มขึ้นกับมุมการกระเจิง คือ

$$q = \sqrt{k_i^2 + k_f^2 - 2k_i k_f \cos \theta} \approx 2k \sin(\frac{1}{2}\theta) \tag{6.27}$$

เมื่อเราทำให้  $k \approx k_i \approx k_f$  ซึ่งเป็นไปได้หากอนุภาคตกรอบมีพลังงานสูงพอ สำหรับลักษณะของการแยกแข่งเชิงมุม ซึ่งกำหนดให้โดยตัวประกอบ  $|j_l(2kR \sin(\frac{1}{2}\theta))|^2$  ที่ถูกกำหนดโดยการถ่ายโอนโน้มเนนตั้มเชิงมุม แสดงให้เห็นในรูป (6.4) ถ้าพิจารณาดูตัวอย่างจากในรูปจะเห็นว่า ในกรณีของการถ่ายโอนโน้มเนนตั้มที่มีค่า  $l_i = 0$  เมื่อจาก  $j_0(\rho) \sim \sin \rho / \rho$  (เมื่อให้



ຮູບ 6.4 ພຶກສະນັບເສເລທຽບການ  $j_l(\rho)$  ແລະ ການແກ່ງແຈ່ງເຊີງນູນລັກນະສ່ອ  
ຂອງປຸດກິຈົກຢາປັດເປົ້າລື່ອງຊື່ກໍານັນໄທ້ໂດຍ  $|j_l|^2(\rho)$  ລົງຈຸດໄທ້ເປັນພຶກສະນັບຂອງ  $\rho$   
ລັມພັນທີກັນນູນກະຈົງ  $\theta$  ແລະ ການຄ່າຍໂອນໄມແນຕົມ  $q$  ໂດຍສາມາດ 6.18 (ຈາກ

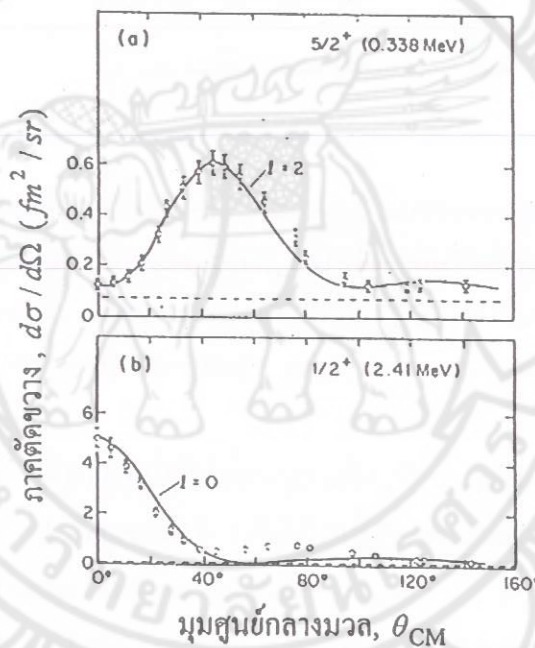
S.M. Wong, *Introductory Nuclear Physics*, New Jersey: Prentice-Hall, 1990, p. 338)

$\rho = 2kR \sin(\frac{1}{2}\theta)$ ) ດັ່ງນັ້ນຍອດຂອງເສັ້ນໄດ້ການແກ່ງແຈ່ງເຊີງນູນຈະຍູ້ທີ່  $0^\circ$  ສໍາຫຼັບການນີ້ຂອງການ  
ຄ່າຍໂອນທີ່ມີຄ່າ  $l$ , ສູງເກີ້ນ ຈະໄມ້ມີຄ່າສູງສຸດທີ່  $0^\circ$  ໄທ້ເກີ້ນ ດັ່ງເຊັ່ນການນີ້ທີ່  $l_1 = 1$  ຄ່າສູງສຸດອັນດັບແຮກ  
ຂອງການແກ່ງແຈ່ງເຊີງນູນ  $j_1(\rho) \sim \sin \rho / \rho^2 - \cos \rho / \rho$  ຈະເລື່ອນທ່ານອອກໄປໃນທາງທີ່ນູນໂຕເກີ້ນ  
ແລະຍິ່ງຄ່າ  $l$ , ສູງເກີ້ນອີກ ຄ່າສູງສຸດອັນດັບແຮກທີ່ຍິ່ງເລື່ອນທ່ານອອກໄປອີກເປັນລຳດັບເຫັນເດີວກັນ ສໍາຫຼັບ  
ຮາຍລະເອີຍຂອງປຸດກິຈົກຢາຕຽບແລ້ວນີ້ ສາມາດສັງເກດເກີ້ນໄດ້ການແກ່ງແຈ່ງເຊີງນູນຂອງນິວຕອນໃນ  
ປຸດກິຈົກຢາຕຽບ  $^{20}\text{Ne}(d, n)^{21}\text{Ne}$  ທີ່ເຮົາໄດ້ຍົກນາເປັນຕົວຢ່າງໃນຮູບ 6.5 ເຫັນເດີວກັນ

ການແກ່ງແຈ່ງເຊີງນູນ ໂປຣຕອນໃນປຸດກິຈົກຢາ  $^{56}\text{Fe}(d, n)^{57}\text{Fe}$  ໂດຍມີພັດງານທົກກະບົບຂອງ  
ດີວເທອຣອນມີຄ່າ 15 MeV ທີ່ແສດງໃນຮູບ 6.6 ເປັນອີກຕົວຢ່າງໜັ້ນທີ່ແສດງໄທ້ເກີ້ນຮາຍລະເອີຍຫຼັກສ້າງວ່າ  
หากການຄ່າຍໂອນໄມແນຕົມເປັນໄປໃນທາງທີ່  $l$  ເພີ່ມເກີ້ນ ຍອດແຮກຂອງການແກ່ງແຈ່ງເຊີງນູນກີ່ຈະເລື່ອນ  
ອອກໄປໃນທາງທີ່ນູນກະຈົງໂຕເກີ້ນ ແລະ ປຣາກງູ້ທີ່ນູນໜີ້ໃຫ້ຄ່າ  $qR \approx 1$  ສ່ວນຍອດດັດໄປຈະຍູ້ທີ່ນູນ  
ໜີ້ຄ່າ  $qR$  ເພີ່ມເກີ້ນອີກ  $\pi$

ແນວ່ວ່າພັດລັບພື້ນຂອງ PWBA ຈະໃຫ້ຮາຍລະເອີຍດີໃນສ່ວນທີ່ຈຳເປັນຖຸກຕ້ອງກັນການແກ່ງແຈ່ງເຊີງນູນ  
ສໍາຫຼັບປຸດກິຈົກຢາຕຽບ ແຕ່ມັນກີ່ຍັງຂາດພັດງານທ່ານຍາ ສາເຫດຸເນື່ອງນາຈາກສ່ວນທີ່ບົດເນີ້ຍ່າໄປຂອງ

คลื่นตកกระทบและคลื่นกระเจิงอันเนื่องมาจากศักย์เคลี่ยหรือศักย์เชิงหักน์ท่อนุภาคตกกระทบและอนุภาคกระเจิงได้รับนั่นเอง ซึ่งเรื่องนี้เราจะกล่าวในบทถัดไป ยิ่งกว่านั้นยังมีไม่เห็นทางที่จะอนุพัทธ์หาความแรงอันตรกิริยา  $V_0$  ของสมการ (6.24) มาได้อย่างง่ายๆ เป็นผลให้การแยกแจงเชิงมุมไม่สามารถสรุปหมายได้จาก PWBA ภาพของการกระเจิงที่ถูกต้องยิ่งขึ้นกว่านี้ได้จาก การประมาณบอร์นคลื่นบิดเบี้ยว (Distorted Wave Born Approximation), DWBA, เมื่อเราใช้ฟังก์ชันคลื่นที่สมจริงมากขึ้นแทนการใช้คลื่นระนาบ ฟังก์ชันคลื่นที่ใช้ใน DWBA เป็นฟังก์ชันคลื่นสัมพัทธ์ระหว่างอนุภาคโพรเดกไกล์และนิวเคลียสเป้า และระหว่างอนุภาคกระเจิงและนิวเคลียสตอกค้าง ซึ่งเป็นฟังก์ชันคลื่นที่สมจริงมากขึ้น แทนการใช้คลื่นระนาบ



รูป 6.5 การสังเกตการแยกแจงเชิงมุมของอนุภาคตอในปฏิกริยา

$^{20}\text{Ne}(d, n)^{21}\text{Ne}$  (a) เป็นการแยกแจงที่ระดับ  $0.338 \text{ MeV} J^\pi = \frac{5}{2}^+$

ใน  $^{21}\text{Ne}$  และเป็นการถ่ายโอนที่ค่า  $l = 2$  (b) เป็นการแยกแจงที่ระดับ

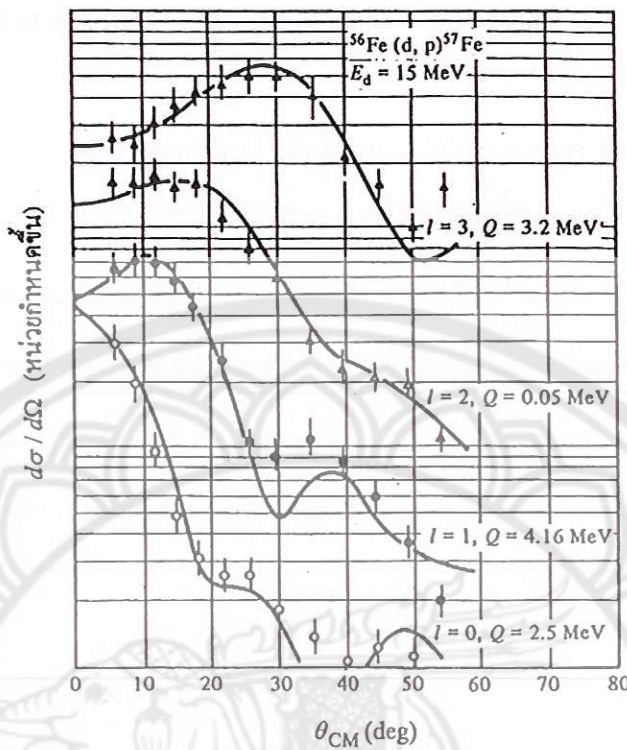
$2.41 \text{ MeV} J^\pi = \frac{1}{2}^+$ , เป็นการถ่ายโอนที่ค่า  $l = 0$  เส้นทึบเป็นผลมา

จากการคำนวณโดยใช้ DWBA สำหรับปฏิกริยาตรร และเส้นประเป็นผล

มาจากคำนวณเชอร์-เฟชแบค (Hauser-Feshback Calculation)

สำหรับปฏิกริยานิวเคลียสประกอบ (ตัดแปลงจาก S.M. Wong,

*Introductory Nuclear Physics.*, New Jersey: Plentice-Hall, 1990, p.341)



รูป 6.6 การแยกแข็งเมืองของโปรตอน ที่สังเกตได้จากปฏิกริยา  $^{56}\text{Fe}(d, n)^{57}\text{Fe}$  ในแต่ละการถ่ายโอนโน้มแม่นทั้งมีค่า  $l$  ต่าง ๆ กัน เมื่อพัฒนาศักยภาพของคิวเทอรอนมีค่า 15 MeV (ดัดแปลงจาก N.A. Jelley, *Fundamentals of Nuclear Physics.*, Cambridge: Cambridge University, 1990, p. 204)

### เอกสารอ้างอิง

1. A.P. Arya, *Fundamentals of Nuclear Physics*, Allyn and Bacon, Boston, 1968.
2. J.M. Blatt and V.F. Weisskopf, *Theoretical Nuclear Physics*, John Wiley & Sons, New York, 1952.
3. H.A. Enge, *Introduction to Nuclear Physics*, Addison-Wesley, Reading, Massachusetts, 1967.
4. R.D. Evans, *The Atomic Nucleus*, McGraw-Hill, New York, 1955.

5. E. Gadioli and P.E. Hodgson, *Pre-Equilibrium Nuclear Reactions*, Oxford University Press, New York, 1992.
6. K. Gottfried, *Quantum Mechanics*, W.A. Benjamin, New York, 1966.
7. E.S. Green, *Nuclear Physics*, McGraw-Hill, New York, 1955.
8. N.A. Jelley, *Fundamentals of Nuclear Physics*, Cambridge University, Cambridge, 1990.
9. W.E. Meyerhof, *Elements of Nuclear Physics*, McGraw-Hill, New York, 1989.
10. E. Merzbacher, *Quantum Mechanics*, John Wiley & Sons, New York, 1970.
11. S.M. Wong, *Introductory Nuclear Physics*, Prentice-Hall, New Jersey, 1990.

## แบบฝึกหัด

1. ในปฏิกริยา  $^{20}\text{Ne}(d, n)^{21}\text{Na}$  การถ่ายโอนโน้มเน้นตัมที่ค่า  $l=2$  เมื่อคิวเทอรอนตักกระแทบมีพลังงานในระบบศูนย์กลางมวล 6.0 MeV จะทำให้ได้  $^{21}\text{Na}$  ที่มีสถานะ  $J^\pi = \frac{5}{2}^+$  และพลังงาน 2.14 MeV ปรากฏว่าการแยกแยะเชิงมุมของนิวตรอนที่ได้จากปฏิกริยานี้มียอดอยู่ที่มุมกระเจิง  $36^\circ$  จากข้อมูลเหล่านี้ จงใช้การประมาณบอร์นเชิงกลี่ในระนาบสรุปหารค่า  $R$  ของ  $^{21}\text{Na}$  และเปรียบเทียบค่าที่หาได้กับค่าที่กำหนดให้โดย  $R = 1.2A^{1/3}$  fm
2. สำหรับปฏิกริยาตรงที่อยู่ในรูปการประมาณบอร์นคลี่ในระนาบ จงแสดงว่าการถ่ายโอนโน้มเน้นตัม ที่มีค่า  $l=0$  เท่านั้น ที่ให้ค่าสูงสุดของภาคตัดขวางการกระเจิงเชิงอนุพันธ์อยู่ที่มุมกระเจิง  $\theta = 0^\circ$  ส่วนการถ่ายโอนที่มีค่า  $l > 0$  ค่าต่ำสุดจะอยู่ในทิศทางการกระเจิงไปข้างหน้า และสำหรับการถ่ายโอนที่มีค่า  $l$  สูงขึ้น ค่าสูงสุดแรกของภาคตัดขวางเชิงอนุพันธ์จะเลื่อนไปอยู่ที่มุมกระเจิง トイขึ้น
3. จากภาคตัดขวางการกระเจิงเชิงอนุพันธ์สำหรับปฏิกริยา  $^{56}\text{Fe}(d, n)^{57}\text{Fe}$  ที่แสดงอยู่ในรูป 6.6 จงแสดงการคำนวณให้เห็นว่า ค่าสูงสุดหรือยอดแรกของภาคตัดขวางจะอยู่ตรงที่ความสัมพันธ์โดยประมาณ  $qR = 1$  เมื่อ  $\hbar q$  เป็นโน้มเน้นตัมถ่ายโอน และค่า  $\hbar qR$  เป็นการถ่ายโอนโน้มเน้นตัมเชิงมุมที่มีค่านากที่สุด

4. ปฏิกิริยา  $(d, p)$  บน  ${}^{49}\text{Ti}$  (สถานะพื้นอยู่ที่  $\frac{7}{2}^-$ ) ก่อให้เกิดสถานะ  $0^-, 2^-$  และ  $4^-$  ที่  $0.000, 1.555$  และ  $2.675$  MeV ตามลำดับขึ้นใน  ${}^{50}\text{Ti}$  ให้หาค่าโมเมนตัมเชิงมุนที่ถ่ายโอนในปฏิกิริยาตรง



# บทที่ 7

## แบบจำลองทัศน์ (THE OPTICAL MODEL)

แม้ว่าแบบจำลองนิวเคลียสประกอบและกระบวนการอันตรกิริยាពัชราปฎิกิริยา นิวเคลียร์ได้เป็นจำนวนมาก แต่ก็มีข้อเสียคือต้องยุบน้ำลงมุติที่ต่างกัน โดยในแบบจำลองนิวเคลียสประกอบ วิถีอิสระเฉลี่ยมีค่าน้อยมาก ส่วนในกระบวนการอันตรกิริยាពัชรา วิถีอิสระเฉลี่ยมีค่ามากเป็นอันดับของเด่นผ่าศูนย์กลางของนิวเคลียส นอกจากนี้ยังมีลักษณะของปฏิกิริยา นิวเคลียร์อีกหลายลักษณะที่ไม่อาจนำแบบจำลองทัศน์สองมารอธินายได้ ด้วยอย่างเช่นในภาวะต่อเนื่อง ตามทฤษฎีภาวะต่อเนื่อง ภาคตัดขวางจะลดลงเรื่อยๆ อย่างสม่ำเสมอ ตามการเพิ่มพลังงานของนิวตรอนต่อกระหบบ แต่จากการตรวจสอบรายละเอียดให้มากขึ้นพบว่าการมีค่าสูงสุด และต่ำสุดของภาคตัดขวางแบบแพ้กว้างนั้นไม่ได้เป็นฟังก์ชันของพลังงานนิวตรอนต่อกระหบบแต่เพียงอย่างเดียว แต่เป็นฟังก์ชันของเลขมวลของนิวเคลียสด้วย ซึ่งแบบจำลองนิวเคลียสประกอบและกระบวนการอันตรกิริยាពัชราไม่สามารถอธินายลักษณะดังกล่าวได้ แบบจำลองทัศน์จึงถูกพัฒนาขึ้นเพื่ออธินายลักษณะของภาคตัดขวางที่พลังงานและเลขมวลต่างๆ นี้

ตามแบบจำลองทัศน์จะกำหนดให้นิวเคลียสเป็นเสมือน ผลึกหมอก (cloudy crystal) และลักษณะเหมือนเป็นลำแสงต่อกระหบบ ซึ่งถ้าหากลำแสงต่อกระหบบบังผลึกหมอก แสงส่วนหนึ่งจะทะลุผ่านผลึกหมอกหรือบ่ายเบน (diffraction) ออกไป และอีกส่วนหนึ่งจะถูกดูดกลืนอยู่ในผลึกหมอก ลักษณะที่เป็นเช่นเดียวกันกับแสงกล่าวคือเมื่อต่อกระหบบบังนิวเคลียส อนุภาคน้ำหนึ่งจะถูกดูดกลืนโดยนิวเคลียส อีกส่วนหนึ่งจะกระเจิงออกไป ศักย์อันตรกิริยา (potential interaction) ของทั้งการดูดกลืนและการกระเจิงจะเขียนได้ในรูปผลบวกของศักย์จริง (real potential)  $V_0$  และศักย์จินตภาพ (imaginary potential)  $i\xi V_0$  เมื่อศักย์จริงเป็นศักย์ส่วนที่อธินายการกระเจิง และศักย์จินตภาพเป็นศักย์ส่วนที่อธินายการดูดกลืน คือ

$$V = -V_0(1 + i\xi), r \leq R \leq r_0 A^{1/3}$$
$$= 0 \quad , \quad r > R$$

เมื่อ  $V_0 \approx 42 \text{ MeV}$  และ  $\xi$  กำหนดให้โดย  $0 < \xi \leq 1$ ,  $R$  เป็นรัศมีของนิวเคลียส

ผลลัพธ์ที่ได้มาออกมาจากแบบจำลองทัศน์เป็นผลลัพธ์แบบเฉลี่ย เนื่องจากว่าแบบจำลองนี้อยู่บนพื้นฐานของทัศนศาสตร์ จึงมีชื่อเรียกว่า แบบจำลองทัศน์ (optical model) หรือบางทีอาจเรียกในอีกชื่อหนึ่งว่า แบบจำลองลูกบล็อกคริสตัล (cloudy crystal ball model)

เป้าหมายของแบบจำลองทัศน์นี้คือ เพื่อหาศักย์ที่จะมาอธิบายการแปรผันของภาคตัดขวางการกระเจิง ที่แปรผันอย่างค่อยเป็นค่อยไป เป็นฟังก์ชันของพลังงาน  $E$  และจำนวนนิวเคลียน  $A$  ของนิวเคลียสเป้า ในสถานะการณ์ทั่ว ๆ ไป การกระเจิงอาจมีความซับซ้อน แต่ถ้าเราเลือกสนใจเฉพาะสมบัติโดยเกลี่ยของมันแทน โดยพยายามเลี่ยงห่างจากเรื่องเรโซแนนซ์และผลกระทบตุนอย่างแรงของในปฏิกริยาตรง ก็จะทำให้การกระเจิงของเราง่ายขึ้น ซึ่งแนวคิดนี้ พื้นฐาน เช่นนี้คือคล้ายกับแนวคิดของการให้สานานที่ใช้ในการศึกษาโครงสร้างของนิวเคลียสเป็นสานาmean field)

เพื่อให้ง่ายต่อการอภิปราย การพิจารณาโดยส่วนใหญ่ของเราจะอยู่ที่การกระเจิงแบบบีดหุน แหล่งที่มาของของภาคตัดขวางประกติมีสองแหล่งใหญ่ แหล่งแรกคือการกระเจิงโดยศักย์ซึ่งจะได้ภาคตัดขวางอุกมาดัง เช่นสมการ (A.54) หรือ (5.32) ส่วนแหล่งที่สองมากการกระเจิงหลายเชิงกับสถานะมัธยันตร์ (intermediate state) ที่เกี่ยวข้องกับสถานะการตุนของนิวเคลียสที่ร่วมอยู่ในการกระเจิง ซึ่งในการกระเจิงหลายเชิง ระบบไม่ได้คืนกลับไปสู่แซนแนลต่อกระแทบไปเสียทั้งหมด ระบบส่วนที่ไม่ย้อนคืนกลับสู่แซนแนลเดิมก็มี และระบบส่วนนี้จะเป็นเหตุที่ทำให้ฟลักซ์ตอกกระแทบส่วนหนึ่งสูญหายไปสู่แซนแนลปฏิกริยาอื่น ๆ ซึ่งเราจะพยายามแทนส่วนของศักย์แบบจำลองทัศน์ที่หนุนให้เกิดการคูดกลืนฟลักซ์ เช่นนี้ด้วยส่วนที่เป็นส่วนจินตภาพ

ในบทนี้เราจะอภิปรายถึงศักย์แบบจำลองทัศน์ในสามประการ ประการแรก เราจะให้ออนุพันธ์เชิงรูปแบบ (formal derivative) ที่ทำการเชื่อมโยงระหว่างศักย์แบบจำลองทัศน์ที่ได้มา จำนวนมากจากทั่วสถานะมัธยันตร์ ซึ่งเป็นการเฉลี่ยศักย์ย่อย ๆ เข้าด้วยกัน ประการที่สอง เราจะกล่าวถึงรูปแบบกึ่งการทดลองของศักย์ทัศน์ที่ใช้กันมาเป็นระยะเวลานานไปแล้ว โดยประสบความสำเร็จอย่างมากเมื่อใช้กับการกระเจิงพลังงานต่ำ ( $< 200 \text{ MeV}$ ) และจะให้ตัวอย่างไว้ด้วยเพื่อจะได้รับรู้ถึงการเชื่อมกับพลังงานตอกกระแทบ รวมทั้งการเชื่อมกับตัวแปรอื่น ๆ ด้วย ประการที่สาม เราจะพิจารณาการกระเจิงในระดับนิวเคลียน-นิวเคลียน ซึ่งเป็นตัวให้ “รากฐานเชิงจุลภาค” (“microscopic” foundation) แก่ศักย์แบบจำลองทัศน์

## 7.1 อนุพันธ์เชิงรูปแบบของศักย์แบบจำลองทัศน์ (Formal Derivation of the Optical Model Potential)

พิจารณาในกรณีของอนุภาคอิสระกระเจิงออกจากนิวเคลียสที่ประกอบไปด้วยนิวเคลียสนอก  $A$  นิวเคลียน ให้  $r_0$  แทนพิกัดของโพร์เจกไทร์ และ  $r_i, i = 1 \text{ ถึง } A$ , แทนพิกัดของนิวเคลียน  $A$  ที่อยู่ในนิวเคลียสเป้า เพื่อให้ง่ายต่อการใช้สัญกรณ์ เราจะพิจารณาข้องอิงกับสปินและระดับขั้นความเสรีเอ่าไว้ เป้าหมายที่เราจะทำในตอนนี้คือการหาผลเฉลยของสมการคลื่นของเรอดิงเออร์

$$H(r_0; r_1, r_2, \dots, r_A) \Psi(r_0; r_1, r_2, \dots, r_A) = E \Psi(r_0; r_1, r_2, \dots, r_A) \quad (7.1)$$

ภายใต้เงื่อนไขขอบที่เหมาะสม เมื่อจากสมการ (7.1) นี้เป็นปัญหาหลายตัวๆ การหาผลเฉลยอย่างตรงไปตรงมาจึงไม่อาจทำได้ ดังนั้นผลเฉลยที่เราจะหาในตอนนี้คือผลเฉลยแบบประมาณ ที่เอากันเพียงพอที่จะทำให้เราเข้าใจผลลัพธ์โดยเฉลี่ยของการกระเจิงได้ก็พอ

แม้มิตันเนียนของระบบบริบูรณ์ซึ่งประกอบด้วยอนุภาคโพร์เจกไทร์และนิวเคลียสเป้า อาจแยกออกเป็นสามส่วน คือ

$$H(r_0; r_1, r_2, \dots, r_A) = T_0 + \sum_{i=1}^A V(r_{0i}) + H_A(r_1, r_2, \dots, r_A) \quad (7.2)$$

เมื่อ  $r_{0i} = r_0 - r_i$  สำหรับ  $i \neq 0$  คือพิกัดสัมพัทธ์ระหว่างโพร์เจกไทร์และนิวเคลียนตัวที่  $i$  ที่อยู่ในนิวเคลียสเป้า ตัวดำเนินการ  $T_0$  อธิบายพลังงานจนน่องของโพร์เจกไทร์ และตัวดำเนินการ  $H_A(r_1, r_2, \dots, r_A)$  เป็นแม่กิตันเนียนที่ดำเนินการเฉพาะกับนิวเคลียนที่อยู่ในนิวเคลียสเป้าเท่านั้น อันตรรษิยาระหว่างโพร์เจกไทร์และนิวเคลียนของนิวเคลียสเป้ากำหนดให้โดยศักย์  $V_r(r_{0i})$

สมนูดว่าปัญหาค่าเฉพาะ (eigenvalue problem) สำหรับนิวเคลียสเป้า พร้อมที่จะถูกหาผลเฉลยแล้ว และเซตบริบูรณ์ของผลเฉลย (complete set of solution)  $\{\Phi_i\}$  ถูกนำมาใช้กับสมการเรอดิงเออร์:

$$H_A(r_1, r_2, \dots, r_A) \Phi_i(r_1, r_2, \dots, r_A) = \varepsilon_i \Phi_i(r_1, r_2, \dots, r_A) \quad (7.3)$$

ยิ่งกว่านั้นเราซึ่งให้  $\Phi_i$  ผ่านการทำให้เป็นบรรทัดฐาน (normalise) กับ 1 แล้ว และเป็นส่วนหนึ่งของเซตเชิงตั้งฉาก (orthogonal set) ของฟังก์ชันเฉพาะ (eigenfunction) ผลเฉลยของทั่วไปสำหรับระบบบริบูรณ์ที่รวมเอาทั้งอนุภาคโพร์เจกไทร์และนิวเคลียสเป้าเอ้าไว้อาจกำหนดให้มีนิพจน์อยู่ในรูปของผลรวมเชิงเส้นของผลคูณของ  $\chi_i(r_0)$  และ  $\Phi_j(r_1, r_2, \dots, r_A)$  คือ

$$\Psi(\mathbf{r}_0; \mathbf{r}_1, \mathbf{r}_2, \dots, \mathbf{r}_A) = \sum_{ij} \chi_i(\mathbf{r}_0) \Phi_j(\mathbf{r}_1, \mathbf{r}_2, \dots, \mathbf{r}_A) \quad (7.4)$$

เมื่อ  $\chi_i(\mathbf{r}_0)$  เป็นฟังก์ชันคลี่ນของไฟร์เจกไทร์ เนื่องจากนี่เราให้ความสนใจกับการกระเจิงแบบบีคหยุ่น ส่วนของ  $\Psi$  ที่เราสนใจจะเป็น  $\chi_0 \Phi_0$  ซึ่งทั้งนิวเคลียสเป้าและไฟร์เจกไทร์ ต่างก็อยู่ในสถานะต่ำสุด ปัญหาของเรานี้คือการได้มาของ  $\chi_0$  (ส่วน  $\Phi_0$  นั้นสมมุติว่ารู้อยู่แล้ว)

เราจะสร้างสมการแรกสำหรับ  $\chi_0$  โดยการใช้ระเบียบวิธีของตัวดำเนินการไฟร์เจกชัน (method of projection operator) ให้  $P$  เป็นตัวดำเนินการไฟร์เจกชันสำหรับสถานะพื้นของนิวเคลียสเป้า เราอาจเขียน  $P$  ให้อยู่ในรูปแบบ

$$P = |\Phi_0\rangle\langle\Phi_0| \quad (7.5)$$

พร้อมกับให้เข้าใจด้วยว่า หากมีการหาปริพันธ์ใดๆ จะต้องดำเนินการเฉพาะกับทั่วพิกัดของนิวเคลียสของนิวเคลียสเป้าเท่านั้น เมื่อดำเนินการ  $P$  กับบนฟังก์ชันคลี่นของ (7.4) เราจะได้ผลลัพธ์เป็น

$$P\Psi = \chi_0 \Phi_0$$

เราอาจจะนิยามตัวดำเนินการ  $Q$  ซึ่งไฟร์เจก渺茫สถานะที่เหลืออยู่ออกมานี้ให้เป็น

$$Q = 1 - P \quad (7.6)$$

มันง่ายที่จะเห็นว่า

$$P^2\Psi = P\Psi \quad Q^2\Psi = Q\Psi \quad PQ\Psi = QP\Psi = 0 \quad (7.7)$$

จากความจริงที่ว่า  $P$  และ  $Q$  เป็นตัวดำเนินการที่ไฟร์เจกแต่ละส่วนของปริภูมิบริบูรณ์ (complete space) ออกมานี้

เนื่องจาก  $P + Q = 1$ , สมการชีดิงเงอร์ (7.1) อาจจะเขียนในรูปแบบ

$$(E - H)(P + Q)\Psi = 0 \quad (7.8)$$

ถูกทางด้านซ้ายมือด้วย  $P$  และใช้ความสมมติที่กำหนดให้ในสมการ (7.7) เราจะได้  $P\Psi$  ในพจน์ของ  $Q\Psi$ ,

$$(E - PHP)P\Psi = (PHQ)Q\Psi \quad (7.9)$$

ทำนองเดียวกัน เมื่อคุณทางด้านซ้ายมือของสมการ (7.8) ด้วย  $Q$  เราจะได้

$$(E - QHQ)Q\Psi = (QHP)P\Psi \quad (7.10)$$

ผลลัพธ์ที่ได้นี้จะให้นิพจน์อย่างมีรูปแบบของ  $Q\Psi$  ในพจน์ของ  $P\Psi$  เป็น

$$Q\Psi = \frac{1}{E - QHQ} QHP P\Psi \quad (7.11)$$

และเมื่อแทน  $Q\Psi$  ที่อยู่ในรูปแบบนี้ลงในสมการ (7.10) จะได้

$$\left\{ E - PHP - PHQ \frac{1}{E - QHQ} QHP \right\} P\Psi = 0 \quad (7.12)$$

คุณนิพจน์นี้จากทางด้านซ้ายมือด้วย  $\langle \Phi_0 |$  และหาปริพันธ์ทั่วพิกัดของนิวเคลียส เป้าพร้อมกับใช้รูปแบบของ  $P$  ในสมการ (7.5) เข้าช่วยจะได้สมการของ  $\chi_0$  เป็น

$$\left\{ E - \langle \Phi_0 | H | \Phi_0 \rangle - \left\langle \Phi_0 \left| HQ \frac{1}{E - QHQ} QH \right| \Phi_0 \right\rangle \right\} \chi_0 = 0 \quad (7.13)$$

ซึ่งเป็นสมการที่จะนำมาหาผลเฉลยเพื่อหาฟังก์ชันไม่ทราบค่า  $\chi_0$

ความจริงสมการ (7.13) นี้ยังไม่ได้อยู่ที่จุดศูนย์ของสเกลพลังงาน แต่เพื่อทำให้รูปแบบของสมการง่ายเข้าเราอาจขัด (sel) ให้อยู่ที่สถานะพื้นของนิวเคลียสเป้าໄได้ โดยกำหนดให้  $\varepsilon_0$  ที่อยู่ในสมการ (7.3) มีค่าเท่ากับ 0 จากนิยามนี้มีผลให้

$$H_A \Phi_0 = \varepsilon_0 \Phi_0 = 0$$

จากการใช้สมการที่อยู่ข้างบนนี้ และใช้สมการ (7.2) เข้าช่วย รูปแบบของสมการ (7.13) ที่สถานะพื้นก็สามารถเขียนได้เป็น

$$\left\{ E - T_0 - \langle \Phi_0 | V | \Phi_0 \rangle - \left\langle \Phi_0 \left| VQ \frac{1}{E - QHQ} QV \right| \Phi_0 \right\rangle \right\} \chi_0 = 0 \quad (7.14)$$

ซึ่งในการได้มาโดยใช้สมการ (7.2) เข้าช่วยนี้ เราต้องย้ำลื้มว่า  $V$  เป็นศักย์ที่กระทำระหว่างโครงการไทยและนิวเคลียสของนิวเคลียสเป้า และตัวดำเนินการ  $T_0$  ดำเนินการได้เฉพาะกับพิกัดของโครงการไทยเท่านั้น ไม่สามารถดำเนินการกับ  $\Phi_0$  ได้ ซึ่งได้ให้ความสัมพันธ์แก่เราในที่นี่ คือ

$$QT_0|\Phi_0\rangle = T_0Q|\Phi_0\rangle = 0$$

ตัวดำเนินการ  $(E - QHQ)^{-1}$  ใน (7.14) จะมีความหมายทางฟิสิกส์หากขยายให้อยู่ในรูปแบบอนุกรมอนันต์

$$\frac{1}{E - QHQ} = \frac{1}{E} \left\{ 1 + \frac{1}{E} QHQ + \frac{1}{E} QHQ \frac{1}{E} QHQ + \dots \right\} \quad (7.15)$$

ความหมายของแต่ละพจน์ในส่วนขยายจะเป็นดังนี้ แต่ละครั้งที่เพิ่มต้นนีyan กระทำบันแต่ละคู่ของนิวเคลียน จะมีอันตรกิริยาหรือ "การกระเจิง" ระหว่างคู่ของนิวเคลียน พลกูณ ( $QHQ$ ) มีนัยว่าอันตรกิริยาเกิดขึ้นกับนิวเคลียสเป้าในหนึ่งสถานะกระตุ้น (หนึ่งของหลาย ๆ สถานะกระตุ้นของนิวเคลียสเป้า) พจน์ที่มีเลขยกกำลังสูงขึ้น เช่น  $(E^{-1}QHQ)$  หมายถึงเป็นอันตรกิริยาหลายเชิง อันดับ  $n$  เพราะฉะนั้นพจน์สุดท้ายของสมการ (7.14) จึงบรรจุการกระเจิงหลายเชิงทุกอันดับไว้ โดยมีตัวประกอบพลังงาน  $E^{-1}$  เป็นตัวถ่วงน้ำหนัก

สมการ (7.13) อาจจะทำให้อยู่ในรูปแบบธรรมชาติของสมการค่าเฉพาะที่เรารู้นี้ยกันคือ

$$(E - T_0 - \nu(r_0))\chi_0 = 0 \quad (7.16)$$

เมื่อศักย์สมมูล (equivalent potential)  $\nu(r_0)$  มีรูปแบบ

$$\nu(r_0) = \langle \Phi_0 | V | \Phi_0 \rangle + \langle \Phi_0 | VQ \frac{1}{E - QHQ} QV | \Phi_0 \rangle \quad (7.17)$$

เป้าหมายของแบบจำลองทัศน์ ก็คือ แทนศักย์สมมูล  $\nu(r_0)$  ด้วยศักย์แบบจำลองทัศน์ (optical model potential)  $U_{opt}$  เมื่อกระทำเข่นั้นกับสมการ (7.16) ก็จะได้

$$(E - T_0 - U_{opt})\chi_0 = 0 \quad (7.18)$$

ซึ่งง่ายต่อการหาผลสมการ

โดยทั่วไป  $\nu(r_0)$  เป็นไม่เฉพาะที่ (nonlocal); นั่นคือ การกระทำของศักย์ณ จุดใดหนึ่ง ของปริภูมิอาจจะขึ้นกับค่าของพังก์ชันคลื่น ณ จุดอื่น สมการค่าเฉพาะรับได้กับรูปแบบ

$$(E - T_0)\chi_0(r_0) = \nu(r_0)\chi_0(r_0) + \int f(r_0, r'_0)\chi_0(r'_0)dr'_0 \quad (7.19)$$

เมื่อ  $f(r_0, r'_0)$  เป็นพังก์ชันของทั้ง  $r_0$  และ  $r'_0$  ปัญหานี้ยุ่งยากมาก ในทางปฏิบัติที่กระทำ

กันปอย ๆ ก็คือการประมาณโดยใช้ศักย์ เดอะเพที่ (local) แทน

## 7.2 ศักย์แบบจำลองทัศน์เชิงปรากฏการณ์วิทยา (Phenomenological Optical Model Potential)

เนื่องจากศักย์แบบจำลองทัศน์กำเนิดมาจากอันตรกิริยะระหว่างนิวเคลีอนที่อยู่ในอนุภาค ไฟเรเกิลแก๊สกับนิวเคลีอนที่อยู่ในนิวเคลียส เป้า การคำนวณหาศักย์ซึ่งจำเป็นต้องขึ้นตระกิริยา นิวเคลีอน-นิวเคลีอนอันนี้เป็นหลัก แต่ก่อนที่จะลงมือคำนวณหาศักย์ดังกล่าว เราทำการบูรพ์พื้นความรู้เดียวกันเพื่อให้ทางเข้าสู่ปัญหาของเรามีเหตุมีผลตามปรากฏการณ์ที่เป็นจริง (หรืออยู่ในเชิงปรากฏการณ์วิทยา) มากขึ้น

บนพื้นฐานของความจริงที่ว่าแรงนิวเคลียร์มีพิสัยสั้น เราจึงคาดคะเนว่ารูปแบบการขึ้นกับรัศมีของศักย์แบบจำลองทัศน์  $U_{opt}(r)$  มีลักษณะใกล้เคียงกับรูปแบบการแยกแข่งของนิวเคลีอนที่อยู่ภายในนิวเคลียส เพื่อให้ปัญหาง่ายเข้า เราอาจอธิบายการแยกแข่งของนิวเคลีอนภายในนิวเคลียสดังกล่าวด้วยรูปแบบเฟอร์มิสโงพารามิเตอร์ (two parameter Fermi form)

$$f(r, r_0, a) = \frac{1}{1 + \exp\{(r - r_0 A^{1/3})/a\}} \quad (7.20)$$

ช่วงเวลาศึกษาแบบจำลองทัศน์ รูปแบบนี้รู้จักกันในชื่อ รูปแบบวูดส์-แซกซัน (Woods-Saxon form) ศักย์แบบจำลองทัศน์เป็นในรูปทั่วไปเป็นเชิงช้อน คือ

$$U_{vol}(r) = -\{V_0 f(r, r_v, a_v) + i W_0 f(r, r_w, a_w)\} \quad (7.21)$$

ในทางเข้าสู่ปัญหาเชิงปรากฏการณ์วิทยา เราอาจรำทำให้ความลึกของส่วนจริง  $V_0$  และความลึกของส่วนจินตภาพ  $W_0$  ของหมุนศักย์เป็นพารามิเตอร์อิสระที่หากค่าได้จากข้อมูลการทดลอง ถ้าสมมุติว่าการขึ้นกับรัศมีของทั้งส่วน  $f(r, r_v, a_v)$  และส่วน  $f(r, r_w, a_w)$  เป็นไปตามรูปแบบที่กำหนดให้โดยในสมการ (7.20) เราอาจให้รัศมี  $r_v$  และ  $r_w$  และส่วนแพร่ (diffuseness) (หรือพรมน้ำ)  $a_v$  และ  $a_w$  ของพื้นผิว เป็นพารามิเตอร์ที่ปรับแก้ค่าได้ด้วย

ศักย์ที่กำหนดให้ในสมการ (7.21) นักถูกอ้างว่า เป็นพจน์ปริมาตร (volume term) ของ  $U_{opt}(r)$  เพราะอันตรกิริยาเป็นไปตามการแยกแข่งเชิงปริมาตรของนิวเคลีอน นอกจากนี้ยังเป็นที่ทราบกันดีกว่าศักย์ทัศน์ขึ้นกับสpinด้วย ตัวอย่างเช่น เมื่อนิวเคลีอนกระเจิงออกจากนิวเคลียส

เป้า ผลลัพธ์ที่ได้จะขึ้นกับการวางแผนทิศทางสpin สัมพัทธ์ของนิวเคลียน วิถีทางหนึ่งที่จะวัดการขึ้นกับสpin เช่นนี้ได้ก็คือ ผ่านทางพารามิเตอร์ กำลังวิเคราะห์ (analyzing power)  $A_y$  มาถึงตอนนี้เรอาจจะนิยามให้โพลาไรเซชันตามขวาง (transverse polarization) ของนิวเคลียนตอกกระทนและนิวเคลียนกระเจิงเป็นบวก (หรือสpinซึ่งนั้น) ถ้าหากการวางแผนทิศทางสpin ของนิวเคลียน เหล่านี้อยู่ในทิศทางเดียวกับเวกเตอร์หน่วย  $\hat{n}$  ที่กำหนดให้โดย

$$\hat{n} = \frac{\mathbf{k} \times \mathbf{k}'}{|\mathbf{k}| |\mathbf{k}'|}$$

และจะนิยามให้เป็นลบ (หรือซึ่งลง) ถ้าหากการวางแผนทิศทางสpin อยู่ในทิศตรงข้าม การเขียนภาคตัดขวางสำหรับการกระเจิงจากโพลาไรเซชันเริ่มต้นที่เป็นบวกไปสู่โพลาไรเซชันสุดท้ายที่เป็นทั้งบวกและลบจะเขียนเป็น  $\sigma_+$  และจากโพลาไรเซชันเริ่มต้นที่เป็นลบไปสู่โพลาไรเซชันสุดท้ายที่เป็นทั้งบวกและลบจะเขียนเป็น  $\sigma_-$  กำลังวิเคราะห์ถูกกำหนดให้เป็นอัตราส่วนของผลต่างและผลรวมของภาคตัดขวางทั้งสองคือ

$$A_y = \frac{\sigma_+ - \sigma_-}{\sigma_+ + \sigma_-} \quad (7.22)$$

สำหรับการกระเจิงแบบยึดหยุ่น สารนิเทศเดียวกันอาจหาได้โดยการเริ่มต้นจากลั่อนุภาคตอกกระทนที่ไม่โพลาไรซ์ และการวัดผลต่างระหว่างภาคตัดขวางนำไปสู่การโพลาไรซ์แบบบวกและลบของอนุภาคกระเจิง ผลลัพธ์สำหรับกำลังวิเคราะห์ที่ได้จากทำให้บรรทัดฐานในทำนองสมการ (7.22) จะเรียกว่า โพลาไรเซชัน (polarization)

จากความจริงที่ว่า การกระเจิงนิวเคลียน-นิวเคลียส โดยทั่ว ๆ ไป  $A_y$  มีค่าไม่เป็นศูนย์ เป็นหลักฐานที่ยืนยันแข็งขันว่าศักย์ทัศน์ขึ้นกับสpin ซึ่งเราจะแทนผลเช่นนี้ด้วยพจน์สpin-ออร์บิท (spin-orbit term) คือ

$$U_{s.o.} = \sigma \cdot \mathbf{l} \left( \frac{\hbar}{m_\pi c} \right)^2 \frac{1}{r} \left\{ V_s \frac{d}{dr} f(r, r_{sv}, a_{sv}) + i W_s \frac{d}{dr} f(r, r_{sw}, a_{sw}) \right\} \quad (7.23)$$

ซึ่งพารามิเตอร์ทั้งหมด คือ  $V_s$ ,  $r_{sv}$ ,  $a_{sv}$ ,  $W_s$ ,  $r_{sw}$  และ  $a_{sw}$  อาจปรับค่าให้ฟิตกับข้อมูลของการกระเจิง หมายเหตุ: ค่า  $(\hbar / m_\pi c^2)^2$  มีค่าใหญ่ๆ เท่ากับ 2 ซึ่งเป็นค่าเชิงตัวเลขโดยประมาณที่ใช้แทนความยาวคลื่นคอมพ์ตันของไฟอ่อนยกกำลังสองกันอยู่บ่อยๆ

เหตุผลที่พจน์สpin-ออร์บิท ขึ้นกับรัศมีในทางที่เป็นสัดส่วนกับอนุพันธ์ของการแยกแจงความหนาแน่นของนิวเคลียนในเชิงปริมาตรนี้ คล้ายคลึงกับศักย์สpin-ออร์บิท โทมัส (Thomas

spin-orbit potential) สำหรับอิเล็กตรอนของอะตอมที่อยู่ในสถานะคุณลักษณะของนิวเคลียส ซึ่งในกรณีของอิเล็กตรอนของอะตอมนั้น พจน์สปิน-ออร์บิทมากจากอันตรกิริยาของไฟฟ้าและแม่เหล็กประจำตัว (intrinsic magnetic dipole moment)  $\mu_e$  ของอิเล็กตรอนกับสนามแม่เหล็ก  $B(r)$  ที่ตัวอิเล็กตรอนรับรู้อันเนื่องมาจากการเคลื่อนที่เป็นวงโคจรรอบนิวเคลียส (มีความเร็วแนวตั้งผส  $v$ ) ผ่านบริเวณที่มีสนามไฟฟ้าสถิต  $E(r)$  ของนิวเคลียสของตัวอิเล็กตรอนเอง [หมายเหตุ: ขณะที่อิเล็กตรอนเคลื่อนที่รอบนิวเคลียส ตัวอิเล็กตรอนเองจะรู้สึกว่าตัวมันอยู่นิ่ง แต่มีนิวเคลียสที่จมีประจุ  $Ze$  เคลื่อนที่เป็นวงโคจรรอบตัวมัน ซึ่งการเคลื่อนที่ของประจุ  $Ze$  รอบตัวอิเล็กตรอนจะก่อให้เกิดสนามแม่เหล็ก  $B(r)$  ขึ้นตรงที่อยู่ของอิเล็กตรอน] ที่มาของพจน์สปิน-ออร์บิทในกรณีของอิเล็กตรอนของอะตอมนั้น จะแสดงให้เห็นดังต่อไปนี้

พลังงานอันตรกิริยาสปิน-ออร์บิท (spin-orbit interaction energy) สำหรับอิเล็กตรอนของอะตอมกำหนดได้โดย

$$W(r) = -\mu_e \cdot B(r)$$

สนามแม่เหล็ก  $B(r)$  หาได้โดยใช้การแปลงโลเรนตซ์ (Lorentz transformation) ของสนามไฟฟ้าสถิต  $E(r)$  ของนิวเคลียสที่อยู่นิ่ง (stationary) ในห้องปฏิบัติการไปสู่กรอบอ้างอิง (frame of reference) ที่เป็นที่อยู่ของอิเล็กตรอน ซึ่งผลลัพธ์จะเป็น

$$B(r) = -\frac{1}{c[c]} v \times E(r)$$

ปริมาณที่อยู่ในวงเล็บสี่เหลี่ยมต้องการเปลี่ยนหน่วยจากหน่วย cgs ไปเป็น SI จากการใช้ความสัมพันธ์ระหว่าง  $E(r)$  กับศักย์ไฟฟ้าสถิต  $V(r)$  คือ

$$E(r) = -\frac{dV}{dr} \frac{r}{r}$$

แทนลงไปในสมการของ  $B(r)$  และใช้尼ยามของโมเมนตัมเชิงมุมวงโคจรกำหนดให้โดย

$$I\hbar = \mathbf{r} \times \mathbf{p} = m_e(\mathbf{r} \times \mathbf{v})$$

จะได้สนามแม่เหล็ก  $B(r)$  เป็น

$$B(r) = -\frac{\hbar}{m_e^2 c^2 r} \frac{dV}{dr} \sigma \cdot l$$

ซึ่งเมื่อแทนลงไปในสมการของ  $W(r)$  พร้อมกับให้  $\mu_e = (e\hbar[c]/m_e c)\sigma$  เราจะได้พลังงาน

อันตรกิริยาสปีน-ออร์บิท เป็น

$$W(\mathbf{r}) = -\mu_e \mathbf{B}(\mathbf{r}) = \frac{e\hbar^2}{m_e^2 c^2 r} \frac{dV}{dr} \sigma \cdot \mathbf{l}$$

รูปแบบของสมการ (7.23) จะเหมือนกับสมการที่ได้นี้

ตาราง 7.1 พารามิเตอร์สักข์ทัศน์ของการกระเจิงไปร่อง-นิวเคลียส  
สำหรับ  $40 \leq A \leq 208$  และพลังงานของไปร่องในระบบห้องปฏิบัติการ  
 $80 \leq T_p \leq 180$  MeV (คัดแปลงจาก S.M. Wong, Introductory Nuclear Physics., New Jersey: Prentice-Hall, 1990, p. 346)

$V_0 = 105.5(1 - 0.1625 \ln T_p) + 16.5 \frac{N - Z}{A}$	
$r_v = \begin{cases} 1.125 + 0.001T_p & \text{สำหรับ } T_p \leq 130 \text{ MeV} \\ 1.255 & \text{ยกเว้น } T_p \leq 180 \text{ MeV สำหรับ Ca} \end{cases}$	
$a_v = 0.675 + 3.1 \times 10^{-4} T_p$	
$W_0 = 6.6 + 0.0273(T_p - 80) + 3.87 \times 10^{-6}(T_p - 80)^3$	
$r_w = 1.65 - 0.0024T_p$	
$a_w = 0.32 + 0.0025T_p$	
$V_{s.o.} = 19.0(1 - 0.166 \ln T_p) - 3.75 \frac{N - Z}{A}$	
$r_{sv} = 0.920 + 0.0305A^{1/3}$	
$a_{sv} = \begin{cases} 0.768 - 0.0012T_p & \text{สำหรับ } T_p \leq 140 \text{ MeV} \\ 0.60 & \text{สำหรับ } T_p > 140 \text{ MeV} \end{cases}$	
$W_{s.o.} = 7.5(1 - 0.248 \ln T_p)$	
$r_{sw} = 0.877 + 0.0360A^{1/3}$	
$a_{sw} = 0.62$	

$V_0, W_0, V_{s.o.}, W_{s.o.}$  และ  $T_p$  อยู่ในหน่วย MeV

$r_v, a_v, r_w, a_w, r_{sv}, r_{sw}$  และ  $a_{sw}$  อยู่ในหน่วย fm

สำหรับการกระเจิงของอนุภาคมีประจุ อาจต้องมีพจน์คูลอมบ์รวมไว้ในศักย์แบบจำลองทัศน์ด้วย รูปแบบของศักย์คูลอมบ์ที่ได้มาอย่างประมาณค่าวิเคราะห์ให้นิวเคลียสเป็นทรงกลมประจุเอกสารป์ ได้แก่

$$U_C(r) = \begin{cases} \frac{1}{4\pi\epsilon_0} \frac{zZe^2}{2R_c} \left( 3 - \frac{r^2}{R_c^2} \right) & \text{สำหรับ } r < R_c \\ \frac{1}{4\pi\epsilon_0} \frac{zZe^2}{r} & \text{สำหรับ } r \geq R_c \end{cases} \quad (7.24)$$

เมื่อ  $R_c$  เป็นรัศมีคูลอมบ์ (Coulomb radius) ส่วนปริมาณ  $z$  และ  $Z$  เป็นจำนวนประจุของไฟรเอกไทร์และนิวเคลียสเป้าตามลำดับ สำหรับ  $R_c$  น่าที่จะต้องทำให้เป็นพารามิเตอร์อิสระด้วยแต่ว่าในทางปฏิบัติ ผลลัพธ์ของการกระเจิงไม่ไว (sensitive) ต่อรายละเอียดของศักย์คูลอมบ์ จึงเป็นการสมควรไม่น้อยที่จะใช้ค่า  $R_c = 1.2A^{1/3}\text{fm}$

จากที่กล่าวมานี้ ศักย์แบบจำลองทัศน์ที่บริบูรณ์จะเป็นอยู่ในรูปผลรวมของพจน์ทั้งสามคือพจน์ปริมาตร พจน์สpin-ออร์บิท และพจน์คูลอมบ์ ดังนี้

$$U_{opt}(\mathbf{r}) = U_{vol}(\mathbf{r}) + U_{s.o.}(\mathbf{r}) + U_C(\mathbf{r}) \quad (7.25)$$

จำนวนรวมของพารามิเตอร์ทั้งหมดมีสิบสองพารามิเตอร์ (ถ้าไม่นับว่า  $R_c$  เป็นพารามิเตอร์อิสระด้วยหนึ่ง) ในการทดลองการกระเจิงโดยทั่วๆ ไปจะเป็นการสังเกตภาคตัดขวางการกระเจิงเชิงอนุพันธ์รวมทั้งกำลังวิเคราะห์ด้วย จำนวนข้อมูลที่ต่างเป็นอิสระไม่ขึ้นต่อ ก็จะมีมากกว่าสิบสองรายการ และชุดบริบูรณ์ของพารามิเตอร์ได้มาจาก การฟิตผลการคำนวณให้ลงตัวกับปริมาณการวัด มีสารนิเทศจำนวนมากที่ทราบได้และสั่งสมไว้ด้วยวิถีทาง เช่นนี้บนศักย์แบบจำลองทัศน์ซึ่งปรากฏการณ์วิทยา และปัจจุบันเราได้ภาพของการขึ้นกับพลังงานและมวลของพารามิเตอร์เหล่านี้ ได้ชัดเจนมากกับกรณีของการกระเจิงของ proton กับนิวเคลียสที่พลังงานของ proton ในระบบห้องปฏิบัติการสูงถึง 200 MeV ชุดที่เป็นไปได้ของพารามิเตอร์ชุดหนึ่งที่ได้มาจากการฟิตข้อมูลการกระเจิงของ proton กับนิวเคลียสต่างๆ ที่มีมวลจาก  $A = 40$  ถึง  $A = 208$  และพลังงานของ proton ในระบบห้องปฏิบัติการมีค่าจาก 80 ถึง 180 MeV กำหนดดอยู่ในตาราง 7.1

อย่างไรก็ดี การใช้แนวทางเข้าสู่ปัญหาในเชิงปรากฏการณ์วิทยานี้ยังมีปัญหาอีกหลายประการ ประการแรกคือ ถึงแม้ว่าเราจะได้รู้รายละเอียดของการกระเจิงของ proton เป็นอย่างดีแต่เราไม่อาจขยายความรู้ไปใช้กับการกระเจิงของอนุภาคอื่นได้ ยกตัวอย่าง เช่นขณะนี้เรายังไม่รู้จักศักย์ทัศน์ของนิวตรอนกันดีเพรพยายามหาข้อมูลทางการทดลองของการกระเจิงนิวตรอน-นิวเคลียสอีกมาก และเราก็ไม่อาจประมาณค่าอนุกต์จากกรณีของการกระเจิง proton เข้ามาใช้

อย่างง่าย ๆ ได้ เพราะว่าแต่ละกรณีจะมีธรรมชาติของตัวมันเอง ประการที่สอง รูปแบบการขึ้นกับรัศมีที่ใช้อยู่ในสมการ (7.21) และ (7.23) นั้น พบว่าไม่เพียงพอที่จะนำไปใช้กับกรณีที่พลังงานการระดมยิงมีค่าสูงขึ้นได้ ซึ่งวิธีแก้ไขวิธีหนึ่งก็คือเพิ่มจำนวนพารามิเตอร์ให้มากขึ้นอีก แต่ก็ทำให้尼พจน์ยุ่งยากเพิ่มขึ้นด้วยเช่นกัน ดังนั้นถ้าหากต้องการนิพจน์ที่มีรูปแบบที่สวยงามแต่เพียงอย่างเดียวแล้ว วิธีการเข่นนี้ก็จะไม่ใช่ ประการสุดท้ายก็คือ พารามิเตอร์ไม่เป็นได้อย่างเดียว (unique) (ศักย์เป็นได้อย่างเดียวในที่นี่หมายถึง ในช่วงมวลนิวเคลียส หรือในช่วงพลังงานไพรเจกไทด์ อื่น ๆ ลักษณะของศักย์ยังคงพิคค์กับข้อมูลการทดลองที่ช่วงของมวลนิวเคลียสและช่วงของพลังงานไพรเจกไทด์ช่วงหนึ่งเท่านั้น ไม่ทั่วไป นอกเหนือจากนี้พารามิเตอร์ทั้งสิบสองตัวยังขึ้นต่อกันและกันในทางที่ยุ่งยากมาก ในปัจจุบันมีชุดของพารามิเตอร์อื่น ๆ ซึ่งสามารถได้จากข้อมูลที่มีรายละเอียดและมีคุณภาพดี เพิ่มขึ้นอยู่อีกเรื่อย ๆ)

### 7.3 ศักย์แบบจำลองทัศน์จุลภาค (Microscopic Optical Model

#### Potential)

บนแนวคิดที่ว่าศักย์แบบจำลองทัศน์สำหรับการกระเจิงนิวคลีอัน-นิวคลีอันเป็นผลมาจากการอันตรกิริยาเฉลี่ยระหว่างนิวคลีอันต่อกระแทกกับนิวคลีอันของนิวเคลียสเป้า จึงเป็นฟังก์ชันของอันตรกิริยานิวคลีอัน-นิวคลีอัน ที่ถ่วงน้ำหนักโดยการแยกແणนิวคลีอันภายในนิวเคลียส บนแนวคิดเช่นนี้ แบบจำลองทัศน์จุลภาค (microscopic optical model) ของศักย์จึงถูกสร้างขึ้นโดยการประสานอันตรกิริยานิวคลีอัน-นิวคลีอันเข้ากับความหนาแน่นนิวเคลียส ซึ่งเป็นที่ทราบกันดีว่า แบบจำลอง "การทบท" ("folding" model) เช่นนี้ประสบผลสำเร็จอย่างมากในการใช้อธิบายข้อมูลการกระเจิง ถ้าการเริ่มต้นเริ่มจากอันตรกิริยานิวคลีอัน-นิวคลีอันที่เหมาะสม

เพื่อให้ง่ายขึ้น เราจะพิจารณาอนุภาคต่อกระแทกที่เป็นนิวคลีอัน และไม่นำเอาโครงสร้างภายในของอนุภาคต่อกระแทกซึ่งอาจมีนาโนเมตรขึ้นด้วย พจน์แรกของ (7.17) บ่งชี้ว่า เราอาจจะประมาณศักย์แบบจำลองทัศน์นิวคลีอัน-นิวเคลียส โดยการรวมให้เป็นอันหนึ่งอันเดียวกันดังนี้

$$U_{opt}(\mathbf{r}_0) \approx \langle \Phi_0(\mathbf{r}_1, \mathbf{r}_2, \dots, \mathbf{r}_A) | \sum_{i=1}^A V(\mathbf{r}_{0i}) | \Phi_0(\mathbf{r}_1, \mathbf{r}_2, \dots, \mathbf{r}_A) \rangle \quad (7.26)$$

เมื่อการรวมกระทำเฉพาะทั่วพิกัดของนิวเคลียสเป้าเท่านั้น

อนึ่งจะต้องระวังเกี่ยวกับการปฏิสมมาตร (antisymmetrization) ระหว่างนิวคลีอันตกกระทบกับนิวคลีอันของนิวเคลียสเป้าที่มันมีอันตรกิริยาด้วย กรณีง่ายที่สุดที่เราจะต้องพิจารณาคือกรณีที่นิวคลีอันตกกระทบมีอันตรกิริยาเพียงหนึ่งครั้งกับหนึ่งนิวคลีอันของนิวเคลียสเป้า เมื่อมีนิวคลีอันกระเจิงอกมาจากอันตรกิริยา เราไม่มีทางบอกได้ว่านิวคลีอันที่กระเจิงอกมา นั้นเป็นนิวคลีอันตัวที่ตกลงกระทบหรือเป็นนิวคลีอันของนิวเคลียสเป้า ดังนั้นเราจะต้องนำความเป็นไปได้ทั้งสองกรณีนี้มาสมมูลานกัน ด้วยเหตุผลนี้สมาชิกเมทริกซ์ทางด้านขวาเมื่อของสมการ (7.26) จะต้องอยู่ในรูปผลรวมของสองพจน์ คือ

$$\langle \Phi_0 | V | \Phi_0 \rangle = \langle \Phi_0 | t_D | \Phi_0 \rangle + \langle \Phi_0 | t_E | \Phi_0 \rangle \quad (7.27)$$

เมื่อ  $t_D$  เป็นตัวดำเนินการสำหรับส่วนตรง (direct part) ของอันตรกิริยาซึ่งนิวคลีอันที่กระเจิงอกมาเป็นนิวคลีอันตัวเดียวกับนิวคลีอันตกกระทบ และ  $t_E$  เป็นตัวดำเนินการสำหรับส่วนแลกเปลี่ยน (exchange part) ซึ่งนิวคลีอันตกกระทบถูกคูณด้วยนิวเคลียสเป้า และอนุภาคกระเจิงเป็นหนึ่งของนิวคลีอันที่อยู่ในนิวเคลียสเป้าในตอนเริ่มต้น เราจะเห็นได้ต่อมาถึงการใช้สองพจน์นี้ว่าให้ความแตกต่างที่สำคัญมากต่อการอธิบายรูปร่างเชิงรัศมีของศักย์แบบจำลองทัศน์ที่พลังงานการกระเจิงสูง ๆ

สำหรับศักย์นิวคลีอัน-นิวคลีอัน  $V(r_{0i})$  การประมาณอย่างง่าย ๆ ตรง ๆ ทางหนึ่งที่สามารถทำได้คือแทนมันด้วยอันตรกิริยานิวคลีอัน-นิวคลีอันอิสระ ตัวอย่างเช่นแทนมันด้วยศักย์จากการกระเจิง นิวคลีอัน-นิวคลีอัน เป็นต้น การประมาณเช่นนี้เป็นที่รู้จักกันว่าคือการประมาณอิมพลัส (impulse approximation) หรือเรียกย่อ ๆ ว่า IA และในทางปฏิบัติพบว่าเป็นการประมาณเพื่อฟิตกับข้อมูลการทดลองของการกระเจิง นิวคลีอัน-นิวเคลียส ที่ห่างมาก ๆ แต่กระนั้นในการคำนวณแบบจำลองชั้นของนิวเคลียส อันตรกิริยานิวคลีอัน-นิวคลีอันยังผล (effective nucleon-nucleon interaction) ที่ใช้ในการคำนวณคือยังกำหนดจากวิธีการ เช่นนี้ โดยถือว่าหนึ่งของสองนิวคลีอันจะลงอยู่ในนิวเคลียส เพียงแต่ว่าในกรณีแบบจำลองทัศน์ ในบางครั้ง อันตรกิริยายังคงจะถูกกดขันมากกว่ากรณีแบบจำลองชั้น การประมาณที่เป็นไปได้อีกเหมือนเคย ก็คือ การประมาณวัตถุนิวเคลียส (nuclear medium) ให้เป็นสารนิวเคลียสขนาดอนันต์ (infinity nuclear matter); อันนี้ทำให้การคำนวณง่ายขึ้นมาก แต่อย่างไรก็ตาม เนื่องจากภายในนิวเคลียสขนาดจำกัด (finite nucleus) ส่วนที่เป็นบริเวณเพียงผิว ซึ่งเป็นบริเวณที่ความหนาแน่นของนิวเคลียสค่อนข้างต่ำ แต่ผ่านเพิ่มขึ้นจากที่มีค่าความหนาแน่นน้อยมากไปจนถึงค่าอิมตัว (เท่ากับค่าความหนาแน่นในสารนิวเคลียสขนาดอนันต์) จะกินบริเวณมาก เมื่อคำนึงถึงการแบ่งผืนของ

ความหนาแน่น เช่นนี้คือศักย์ยังผลที่นำมาใช้ก็เลยต้องเป็นศักย์ยังผลที่ ขึ้นกับความหนาแน่น (density dependence) อยู่ปอย ๆ หรือพูดอีกอย่างหนึ่งว่า ตัวดำเนินการ  $t_D$  และ  $t_E$  ในสมการ (7.27) เป็นฟังก์ชันของความหนาแน่นของนิวเคลียสด้วย ศักย์ยังผลในบริเวณที่มีความหนาแน่นต่าง ๆ คำนวณหาได้จากการใช้วัตถุนิวเคลียสที่มีความหนาแน่น  $\rho$  เมื่อกัน กัน นอกจากนั้นอันตราริริยา นิวคลีอ่อน-นิวคลีอ่อน อิสระยังขึ้นกับพลังงานของตัวนิวคลีอ่อนเองด้วย เป็นผลให้  $t_E$  และ  $t_D$  เป็นฟังก์ชันของพลังงานการระดมยิง

นิพจน์ของความหนาแน่นของนิวเคลียสเป้าอาจถูกกำหนดในพจน์ของฟังก์ชันคลื่นอนุภาคเชิงเดียวของนิวคลีอ่อนเป้า (คือนิวคลีอ่อนของนิวเคลียสเป้า)  $\phi_i(\mathbf{r})$  โดยให้มีนิพจน์อยู่ในรูปแบบของตัวดำเนินการดังนี้

$$\rho(\mathbf{r}) = |\Phi_0\rangle\langle\Phi_0| \approx \sum_{i=1}^A \phi_i^*(\mathbf{r})\phi_i(\mathbf{r}) \quad (7.28)$$

จากการใช้นิพจน์ข้างบนนี้ ศักย์แบบจำลองทัศน์อาจจะสัมพันธ์กับปริพันธ์ทั่วฟังก์ชัน

$$f(\mathbf{r}_0, \mathbf{r}) = \sum_{i=1}^A \phi_i^*(\mathbf{r}) t_D(\mathbf{r}_0, \mathbf{r}, \rho, E) \phi_i(\mathbf{r}) + \sum_{i=1}^A \phi_i^*(\mathbf{r}) t_E(\mathbf{r}, \mathbf{r}_0, \rho, E) \phi_i(\mathbf{r}_0) \quad (7.29)$$

ที่สร้างขึ้นมาโดยการผสานรวมหรือ "การทบ" อันตราริริยา นิวคลีอ่อน-นิวคลีอ่อน ระหว่างนิวคลีอ่อนต่อกันและนิวคลีอ่อนเป้าเข้ากับความหนาแน่นของนิวเคลียส

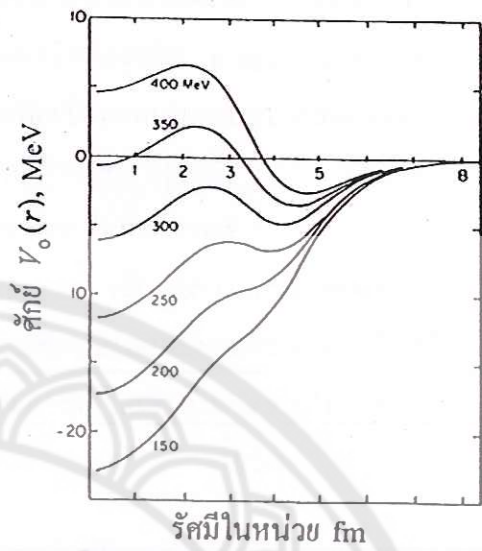
พจน์ตรง (direct term) ของศักย์แบบจำลองทัศน์หากค่าได้จ่าย หากว่าปริพันธ์สำหรับพจน์นี้ แรกของสมการ (7.29) กำหนดให้มีรูปแบบเป็น

$$U_{opt}^D(\mathbf{r}_0, E) = \int \rho(\mathbf{r}) t_D(\mathbf{r}_0, \mathbf{r}, \rho, E) d^3r \quad (7.30)$$

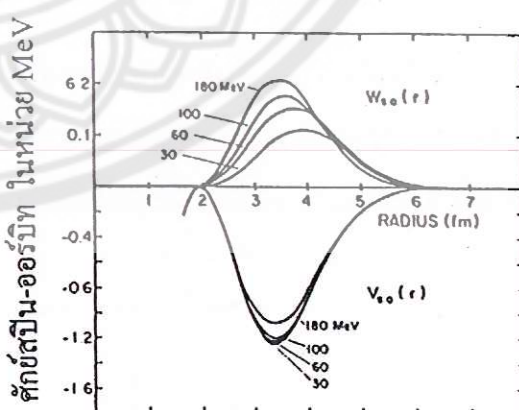
โดย  $\rho(\mathbf{r})$  ที่อยู่ในสมการมีรูปแบบโดยประมาณตามสมการ (7.28) การแปลงแบบเดียวกันนี้ไม่สามารถใช้ได้กับพจน์แลกเปลี่ยน (exchange term) เนื่องจากสองฟังก์ชันคลื่นอนุภาคเชิงเดียวที่อยู่ในพจน์ที่สองของ (7.29) เป็นฟังก์ชันของพิกัดต่างกันคือ  $\mathbf{r}$  และ  $\mathbf{r}_0$  ซึ่งเป็นผลให้ได้พจน์แลกเปลี่ยนที่นัยท่าว่าไม่เป็นแบบไม่เฉพาะที่ พจน์แลกเปลี่ยนที่ถูกลดตอนให้มีรูปแบบอย่างง่ายโดยการประมาณ "โนเมนตัมเฉพาะที่" ("local momentum" approximation) คือ

$$U_{opt}^E(\mathbf{r}_0, E) \approx \int \rho(\mathbf{r}_0, \mathbf{r}) t_E(\mathbf{r}, \mathbf{r}_0, \rho, E) j_0(k|\mathbf{r}_0 - \mathbf{r}|) d^3r \quad (7.31)$$

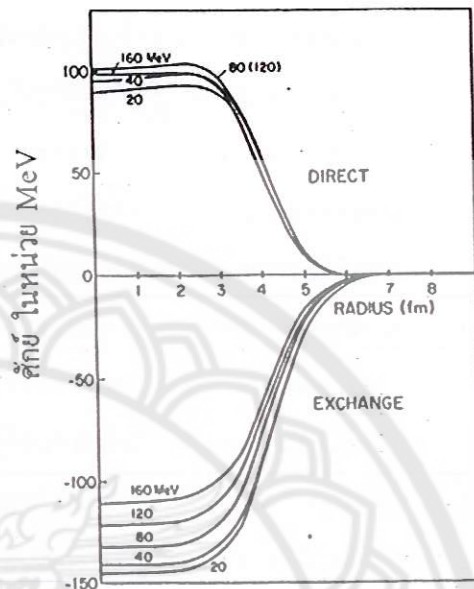
รูป 7.1 รูปร่างเชิงรัศมีของพจน์ปرمิตรของสักย์ทัศน์โปรดอน-นิวเคลียต ที่แต่ละค่าพลังงานการระดมยิง โดยเส้นໄล์งบัน (upper curve) เป็นของส่วนจริง และเส้นໄล์จล่าง (lower curve) จะเป็นของส่วนจินตภาพ ผลการคำนวณได้มาจากการใช้กรวยวิธีการทวน (folding procedure) กับสักย์เพริส (Paris potential) ซึ่งแทนอันตรกิริยะระหว่างนิวเคลียต (ดัดแปลงจาก S.M. Wong, Introductory Nuclear Physics., New Jersey: Prentice-Hall, 1990, p. 349)



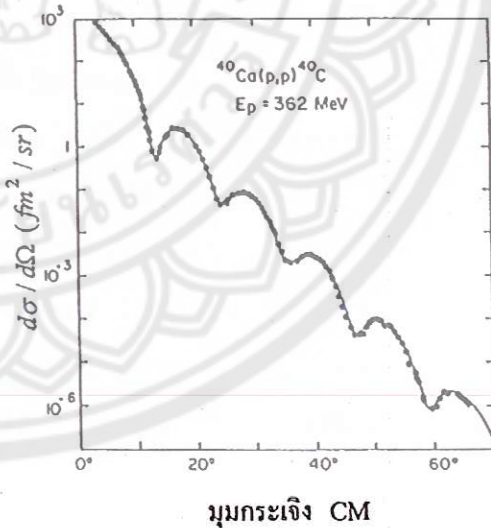
รูป 7.2 รูปร่างเชิงรัศมีของส่วนจริงและส่วนจินตภาพ ของพจน์สpin-ออร์บิทของสักย์ทัศน์สำหรับการกระเจิงโปรดอน-นิวเคลียต ที่แต่ละพลังงานการระดมยิง การคำนวณอยู่บนพื้นฐานของกรวยวิธีการทวน โดยใช้สักย์เพริสแทนอันตรกิริยะระหว่างนิวเคลียต (ดัดแปลงจาก S.M. Wong, Introductory Nuclear Physics., New Jersey: Prentice-Hall, 1990, p. 350)



รูป 7.3 เส้นโค้งที่ได้จากพจน์ตรงและพจน์แลกเปลี่ยนที่ส่วนจริง  $V_0(r)$  ของพจน์ปริมาตรของศักย์ทัศน์ไปร์ตอน-นิวเคลียส ที่แต่ละพัฒนาการระดับยัง เส้นโค้งบนเป็นผลลัพธ์ของส่วนตรงของศักย์จุลภาคที่กำหนดให้โดยสมการ (7.30) เส้นโค้งล่างเป็นผลลัพธ์ของส่วนแลกเปลี่ยนที่กำหนดให้โดยสมการ (7.31) อันตรกิริยานิวเคลียส-นิวเคลียส ที่ใช้ในการคำนวณในเชิงจุลภาคนี้นำมาจากศักย์แพรีส (จาก S.M. Wong, Introductory Nuclear Physics., New Jersey: Prentice-Hall, 1990, p. 352)



รูป 7.4 ภาคตัดขวางเชิงอุทันท์สำหรับการกระเจิงแบบบีคหุนของไปร์ตอน 326 MeV ออกจาก  $^{40}\text{Ca}$  เส้นโค้งต่อเนื่องเป็นผลลัพธ์ของการคำนวณโดยใช้ศักย์แบบจำลองทัศน์จุลภาค กระสวนคล้าย-การเลี้ยวเบน (diffraction-like pattern) เกิดจากการกระเจิงที่มุมน้อย ๆ หลายนิวติก (ตัวแปลงจาก S.M. Wong, Introductory Nuclear Physics., New Jersey: Prentice-Hall, 1990, p. 353)



$$\rho(\mathbf{r}_0, \mathbf{r}) = \sum_{i=1}^A \phi_i^*(\mathbf{r}) \phi_i(\mathbf{r}_0)$$

ตัวค่าสัมบูรณ์ของสมการ (7.28),  $j_0(\xi)$  ในที่นี้เป็นฟังก์ชันเบสเซลทรงกลมอันดับศูนย์

ที่พลังงานในระบบห้องปฏิบัติการต่ำกว่า 200 MeV ศักย์การทบทิ้งผลลัพธ์คล้ายคลึงกับผลลัพธ์ที่ mana ได้จากศักย์เชิงประกายการณ์วิทยา อย่างไรก็ตามที่พลังงานสูงกว่า 200 MeV เป็นที่ทราบกันว่ารูปร่างเชิงรัศมีวุ่ค์ส์-แซกซอฟท์ให้กันอยู่ในแนวทางเข้าสู่ปัญหาถึงการทดลองนั้นจะไม่เพียงพอ จากการคำนวณศักย์การทบทิ้ง เรายพบว่าเมื่อพลังงานการระคมขึ้นไป รูปร่างเชิงรัศมีของพจน์ปริมาตรของศักย์ทัศน์จะเปลี่ยนแปลงตรงรูปร่าง "ขวดไวน์" (wine-bottle) เมื่อ้อนที่แสดงในรูป 7.1 [แต่อย่างไรก็ตาม รูปร่างเชิงรัศมีสำหรับศักย์สpin-ออร์บิทที่แสดงอยู่ในรูป 7.2 ยังคงรักษาส่วนสำคัญของรูปแบบเหมือนกับที่กำหนดให้โดยสมการ (7.23)] การเปลี่ยนแปลงรูปร่างมาจากการขึ้นกับพลังงานที่แตกต่างกันของส่วนตรงและส่วนแยกเปลี่ยนของศักย์การทบทิ้ง ในรูป 7.3 แสดงให้เห็นส่วนตรงเป็นแรงผลัก และส่วนแยกเปลี่ยนเป็นแรงคูด เมื่อจากส่วนแยกเปลี่ยนจะขึ้นกับพลังงานอย่างคม (sharp) หรือชัดกว่าส่วนตรง เมื่อเราสองพจน์นี้มาบวกกันเพื่อให้เป็นศักย์  $U_{opt}$  ส่วนที่เหลือจากการหักด้างกันระหว่างศักย์แรงผลักและศักย์แรงคูดจะให้การขึ้นกับพลังงานที่ไม่สามารถแทนได้ด้วยรูปแบบวุ่ค์ส์-แซกซอฟท์ง่าย ๆ ได้ ในรูป 7.4 เป็นผลลัพธ์สำหรับการกระเจิงแบบยิดหุ่นของโปรตอน 362 MeV จาก  $^{40}\text{Ca}$  ที่ยกมาเป็นตัวอย่างที่เพื่อแสดงให้เห็นว่าศักย์ทัศน์จุลภาคมีวิสัยสามารถที่จะอธิบายการกระเจิงโปรตอน-นิวเคลียสพลังงานมัธยันตร์ (intermediate energy proton-nucleus scattering) ที่มีการถ่ายโอนโนเมนตัมที่มาก ๆ ได้ดี

นอกเหนือจากการกระเจิงแบบยิดหุ่นแล้ว ศักย์ทัศน์ยังมีความสำคัญต่อการเข้าใจภาคตัดขวางของปฏิกิริยาชนิดอื่น ๆ ได้อีกด้วย ยกตัวอย่างเช่น ในกรณีของการกระเจิงที่มีปฏิกิริยาตรงเกิดแทรกอยู่ด้วย ในกรณีเช่นนี้เราจะแทนการกระเจิงศักย์และการกระเจิงหล่ายเชิงที่มีสถานะสุดท้ายเหมือนเดิม (ซึ่งก่อรูปภูมิหลังหรือแบบกราวน์ดบ์) ด้วยศักย์แบบจำลองทัศน์ ส่วนการลดลงไปของผลักด้วยกระเทบเนื่องจากไปทอนให้เกิดปฏิกิริยาตรง ก็จะแทนด้วยส่วนจินตภาพของศักย์ทัศน์ ทั้งนี้ก็เพราะว่าจำนวนสุทธิของผลักด้วยกระเทบที่ลดลงไปเนื่องมาจากมีการเปิดของแขนเนลปฏิกิริยาอื่น ๆ นั่นเอง

จากการมองในแบบกลศาสตร์คลื่น เราสามารถล่าวได้ว่าศักย์ทัศน์เป็นศักย์ผลลัพธ์ที่ "บิดเบี้ยว" ทั้งคลื่นต่อกำลังและคลื่นกระเจิงให้เปลี่ยนไปจากสถานะคลื่นระนาบของมัน และผลของปฏิกิริยาตรงที่สถานะจำเพาะหนึ่ง ๆ เราอาจพิจารณาให้เป็นพจน์ที่บวกเพิ่มเข้ามาพจน์ของ การกระเจิงในศักย์ทัศน์ โดยจะใช้ได้กับที่สถานะสุดท้ายจำเพาะหนึ่ง ๆ เท่านั้น สาระสำคัญของ การประมาณอัตราเรื่องคลื่นบิดเบี้ยว (DWBA) ที่มีต่อปฏิกิริยาตรงก็คือ เพื่อแยกการกระเจิงออกเป็น

สองส่วน คือส่วนที่เป็นภูมิหลัง (หรือแบบกราวน์) ที่ถูกกำหนดโดยทักษ์แบบจำลองทัศน์ และส่วนที่ไปหนุนให้เกิดปฏิกิริยาตรองอันเนื่องมาจากโครงสร้างพิเศษของสถานะสุดท้ายที่เกี่ยวข้องซึ่งผลลัพธ์ของการคำนวณ โดยวิธีนี้พบว่าใช้พรรณาภาคตัดขวางที่สังเกตจากการทดลองได้ครบถ้วนดีมากดังจะพบได้ในบทลักษณะ

### เอกสารอ้างอิง

1. A.P. Arya, *Fundamentals of Nuclear Physics*, Allyn and Bacon, Boston, 1968.
2. J.M. Blatt and V.F. Weisskopf, *Theoretical Nuclear Physics*, John Wiley & Sons, New York, 1952.
3. W.E. Burcham and Jobes, *Nuclear and Particle Physics*, Longman, Singapore, 1995.
4. V. Devanathan, *Nuclear Physics*, Narosa Publishing House, New Delhi, 2006
5. H.A. Enge, *Introduction to Nuclear Physics*, Addison-Wesley, Reading, Massachusetts, 1967.
6. E. Gadioli and P.E. Hodgson, *Pre-Equilibrium Nuclear Reactions*, Oxford University Press, New York, 1992.
7. E.S. Green, *Nuclear Physics*, McGraw-Hill, New York, 1955.
8. K. Heyde, *Basic Ideas and Concepts in Nuclear Physics: An Introductory Approach*, 2nd edit, Institute of Physics, Brista, 1999.
9. N.A. Jelley, *Fundamentals of Nuclear Physics*, Cambridge University, Cambridge, 1990.
10. K.S. Krane, *Introductory Nuclear Physics*, John Willey & Sons, Singapore, 1988.
11. B.R. Martin, *Nuclear and Particle Physics*, Wiley, West Sussex, 2006.
12. W.E. Meyerhof, *Elements of Nuclear Physics*, McGraw-Hill, New York, 1989.
13. S.M. Wong, *Introductory Nuclear Physics*, Plentice-Hall, New Jersey, 1990.

## แบบฝึกหัด

1. จากศักย์แบบจำลองทัศน์ที่เขียนในรูปแบบสมการ (7.21) คือ

$$U_{vol}(\mathbf{r}) = -\{V_0 f(r, r_v, a_v) + iW_0 f(r, r_w, a_w)\}$$

ส่วนลีก  $V_0$  ของส่วนจริง และส่วนลีก  $W_0$  ของส่วนจินตภาพ ที่อยู่ในสมการนี้ มีผลต่อภาคตัดขวางการกระแสไฟฟ้าและภาคตัดขวางปฏิกิริยาในภาคตัดขวางรวมอย่างไร ?

2. จากการที่เขียนศักย์แบบจำลองทัศน์ในรูปแบบสมการ (7.25) คือ

$$U_{opt}(\mathbf{r}) = U_{vol}(\mathbf{r}) + U_{s.o.}(\mathbf{r}) + U_C(\mathbf{r})$$

แสดงว่าศักย์แบบจำลองทัศน์เข้ากับอะไรบ้าง ? ให้อธิบาย

3. จากศักย์แบบจำลองทัศน์ในข้อ 2. มีพจน์ใดที่เกี่ยวข้องกับการแยกແงของนิวเคลียชนภายในนิวเคลียส, โพลาไรเซชัน, และประจุของอนุภาคกระแสไฟฟ้า ?
4. พารามิเตอร์ในศักย์ทัศน์เชิงปรากฏการณ์วิทยามีข้อจำกัดของการใช้อย่างไรบ้าง ?
5. การประมาณบอร์นคลีนบิดเบี้ยว (DWBA), แยกการกระแสไฟฟ้าออกในลักษณะเช่นไร ?

ภาคผนวก ก

การปฏิบัติกับการกระเจิง  
ในแบบกลศาสตร์คลื่น

(WAVE-MECHANICAL TREATMENT  
OF SCATTERING)

### ก.1 กลศาสตร์คลื่นของการกระเจิง (Wave Mechanics of Scattering)

ในการศึกษาเพื่อหาสารนิเทศ (information) เกี่ยวกับนิวเคลียส วิธีการที่สำคัญวิธีการหนึ่งก็คืออาศัยการแปลงจากข้อมูลการทดลองในเรื่องการกระเจิง ซึ่งจำเป็นต้องใช้ทฤษฎีที่มีพื้นฐานอยู่เบื้องหลังกลศาสตร์คลื่น (wave mechanics) มาช่วย วิธีวิเคราะห์คลื่นย่อ (partial wave analysis) เป็นวิธีที่สำคัญวิธีหนึ่งที่ใช้ผลเฉลย (solution) ในปัญหาการกระเจิงได้ແเนชันที่ทุกคลื่น พลังงาน แต่จะใช้กับกรณีการกระเจิงที่พลังงานต่ำและปานกลางเป็นส่วนใหญ่

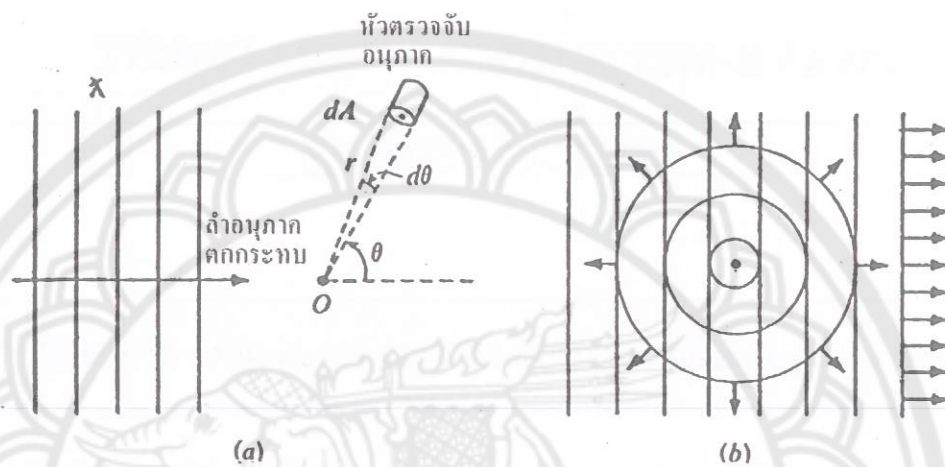
ต่อไปนี้เราจะพิจารณาการกระเจิงของอนุภาคอันเนื่องมาจากการอิทธิพลของศักย์ศูนย์กลาง (central potential),  $V(r)$ , ในแรงของกลศาสตร์คลื่น โดยศักย์ศูนย์กลางนี้กำหนดว่าเป็นศักย์พิสัย (range) สั้น (ศักย์นิวเคลียร์) และเพื่อให้ปัญหาที่เราศึกษาง่ายเข้า เราจะกำหนดให้นิวเคลียสเป็นไม่มีสปิน (spin) และอนุภาคตกรอบทวนไปมีทั้งประจุและสปิน

พิจารณาให้ล้ำของอนุภาคมีทิศอยู่ในแนวแกน  $z$  และอนุภาคมีความเร็ว  $v$  ตกกระทบบนนิวเคลียสเป็นที่วางแผน  $O$  ดังรูป A.1a ถ้ากำหนดให้ในปริภูมิหนึ่งหน่วยปริมาตร มีอนุภาคอยู่ได้เพียงหนึ่งอนุภาค จำนวนอนุภาคที่พุ่งผ่านพื้นที่หนึ่งหน่วยเวลาหนึ่งวินาทีจึงมีได้  $n$  อนุภาค เราจะแทนอนุภาคตกรอบทวนนี้ด้วยฟังก์ชันคลื่นตกรอบทวนที่มีแอมพลิจูดหนึ่งหน่วย ดังนี้

$$\psi_{inc} = e^{ikz} \quad (\text{A.1})$$

เมื่อ  $k$  เป็นเลขคลื่นเทียบกับระบบพิกัดศูนย์กลางมวล,  $k = 1/\lambda = p/\hbar = \sqrt{2ME}/\hbar$  เมื่อ  $\lambda$

เป็นความยาวคลื่นเดอบรอยด์หารด้วย  $2\pi$ ,  $M$  เป็นมวลคงทอน,  $E$  เป็นพลังงานของอนุภาคตอกกระทบในพิกัดศูนย์กลางมวล และ  $\hbar$  เป็นค่าคงตัวของพลังค์หารด้วย  $2\pi$  หลังจากคลื่นตกกระทบนี้ตอกกระทบกับศักย์  $V(r)$  มันจะกระเจิงออกไปเป็นคลื่นทรงกลม (spherical wave) อย่างมีสมมาตรรอบแกน พังก์ชันคลื่นกระเจิงจะเขียนได้ในรูปแบบเป็น



รูป A.1 (a) แผนภาพการกระเจิง (b) ลำอนุภาคตอกกระทบ  
และอนุภาคกระเจิง ที่ระบะห่างจากศูนย์กลางการกระเจิงมาก ๆ  
(ดัดแปลงจาก A. P. Arya, *Fundamentals of Nuclear Physics.*,  
Boston: Allyn and Bacon, 1968, p. 390)

$$\psi_{scatt} = f(\theta)(e^{ikr} / r) \quad (\text{A.2})$$

เมื่อ  $f(\theta)$  เป็นแອมพลิจูดของคลื่นกระเจิงที่ไม่เข้ากับมุม  $\phi$  ทึ้งนี้ เพราะมีสมมาตรรอบแกน ตัวประกอน  $1/r$  แสดงถึงการลดลงตามกฎส่วนกลับยกกำลังสอง (inverse-square law) ของความเข้มของคลื่นกระเจิง

ถ้าเรามองคุณพังก์ชันคลื่นที่บริเวณใกล้ศักย์กระเจิงมาก ๆ เราจะเห็นว่าพังก์ชันคลื่นตอกกระทบและพังก์ชันคลื่นกระเจิงบิดเบี้ยวจนจำแนกออกจากกันได้ยาก แต่ที่ระบะห่างออกไปมาก ๆ จนกระทบห่างศักย์มีค่าลดลงใกล้ศูนย์ จะมองเห็นพังก์ชันคลื่นทึ้งสองได้ง่ายดังรูป A.1b พังก์ชันคลื่นของระบบที่ระบะห่างมาก ๆ นี้เขียนได้เป็น

$$\begin{aligned} \psi &\sim \psi_{inc} + \psi_{scatt} \\ &= e^{ikz} + f(\theta)(e^{ikr} / r) \\ &\xrightarrow{\text{เมื่อ } r \rightarrow \infty} \end{aligned} \quad (\text{A.3})$$

จำนวนอนุภาคในคลื่นต่อกกระทบที่พุ่งข้ามพื้นที่หนึ่งหน่วยในเวลาหนึ่งหน่วย เก็บไว้ได้เป็น

$$I = v |\psi_{inc}|^2 = v (e^{ikz}) (e^{ikz})^* = v \quad (\text{A.4})$$

ในทำนองเดียวกัน อนุภาคที่กระเจิงออกมายังในมุม  $\theta$  ถึง  $\theta + d\theta$  และมาถึงพื้นที่  $dA$  ภายในหนึ่งหน่วยเวลา จะมีจำนวน

$$\begin{aligned} v |\psi_{scatt}|^2 dA &= v |f(\theta) (e^{ikr}/r)|^2 dA \\ &= v |f(\theta)|^2 dA / r^2 \end{aligned}$$

แต่  $dA/r^2$  คือ นูนตัน (solid angle),  $d\Omega$ , ดังนั้นเราจะได้จำนวนอนุภาคกระเจิงต่อหนึ่งหน่วยมุม ตันต่อหนึ่งหน่วยเวลา,  $S(\theta)$ , เป็น

$$S(\theta) = v |f(\theta)|^2 \quad (\text{A.5})$$

มาถึงตรงนี้ หากเราให้นิยาม ภาคตัดขวางจุลภาคของการกระเจิง (microscopic scattering cross section),  $\sigma$ , ขึ้นมาว่า เป็นโอกาสของการเกิดการกระเจิงเมื่ออนุภาคหนึ่งอนุภาคชนกับ นิวเคลียสหนึ่งนิวเคลียส และ  $\sigma(\theta)$  เป็นภาคตัดขวางของการกระเจิงออกมายังในแนวมุม  $\theta$  แล้ว ภาคตัดขวางการกระเจิงเชิงอนุพันธ์ (differential scattering cross section),  $d\sigma/d\Omega$ , ซึ่งเป็น โอกาสที่อนุภาคจะกระเจิงออกมายังในหนึ่งหน่วยมุมตันก็จะกำหนดให้โดย

$$\frac{d\sigma(\theta)}{d\Omega} = \frac{S(\theta)}{I} = |f(\theta)|^2 = f^*(\theta) f(\theta) \quad (\text{A.6})$$

และภาคตัดขวางการกระเจิงก็จะกำหนดให้โดย

$$\sigma = \int \frac{d\sigma(\theta)}{d\Omega} d\Omega = 2\pi \int |f(\theta)|^2 \sin \theta d\theta \quad (\text{A.7})$$

ซึ่งการจะหา  $\sigma$  ออกมายังเป็นที่จะต้องรู้ว่า  $f(\theta)$  เสียก่อน ซึ่งขึ้นตอนของการคำนวณการหาค่าภาคตัดขวาง  $\sigma$  จะเริ่มต้นในต่อไปนี้

อนุภาคต่อกกระทบที่มีโมเมนตัมเชิงเส้น  $k\hbar$  เป็นค่ากำหนดแล้ว อาจมีโมเมนตัมเชิงมุม  $l\hbar$  รอบนิวเคลียสเป็นค่าคงที่ ให้เราไม่ต้องคำนวณ  $k\hbar/l\hbar$  ไม่เป็นค่ากำหนดแล้ว เพราะฉะนั้น เพื่อความสะดวก เราจะเปลี่ยนคลื่นระนาบ  $e^{ikz}$  ของอนุภาคต่อกกระทบให้เป็นอนุกรมของคลื่น

ทรงกลม และแทนอนุภาคแต่ละอนุภาคด้วยโนเมนตัมเชิงมุมวงโคจร (orbital angular momentum) ที่มีค่ากำหนดแน่นอนนิวเคลียส ฟังก์ชันคลื่น  $e^{ikz}$  จะเป็นผลเฉลยที่สมมาตรรอบแกนของสมการคลื่น

$$\nabla^2 \psi + k^2 \psi = 0 \quad (\text{A.8})$$

$\psi$  สมมาตรรอบแกน และไม่ขึ้นกับมุม  $\phi$  ( $m=0$ ) ผลเฉลยของสมการข้างบนจึงอยู่ในรูปแบบ

$$\psi_l = j_l(r) P_l(\cos\theta) \quad (\text{A.9})$$

เมื่อ  $l = 0, 1, 2, 3, \dots$  เป็นเลขจำนวนเต็ม,  $P_l(\cos\theta)$  เป็นพหุนามเลขอองค์ (Legendre polynomial) และ  $j_l(r)$  เป็นผลเฉลยของสมการคลื่นรัศมี

$$\frac{1}{r^2} \frac{d}{dr} \left( r^2 \frac{dj}{dr} \right) + \left[ k^2 - \frac{l(l+1)}{r^2} \right] j = 0 \quad (\text{A.10})$$

$j_l(r)$  เป็นฟังก์ชันแบบเซลทรงกลม (spherical Bessel function) อันดับ  $l$  ซึ่งสัมพันธ์กับอันดับ  $(l+\frac{1}{2})$  โดยสมการ

$$j_l(r) = \left( \frac{\pi}{2r} \right)^{1/2} J_{l+\frac{1}{2}}(r) \quad (\text{A.11})$$

เพราจะนั้นผลเฉลยทั่วไปของสมการ (A.8) ก็คือ

$$\psi = \sum_{l=0}^{\infty} a_l j_l(r) P_l(\cos\theta) \quad (\text{A.12})$$

เนื่องจาก  $\psi$  ยังเป็นฟังก์ชันคลื่นอันเดียวกับฟังก์ชันคลื่นระนาบของอนุภาคอิสระ  $e^{ikz}$  เราจะได้

$$e^{ikz} = e^{ikr \cos\theta} = \sum_{l=0}^{\infty} a_l j_l(r) P_l(\cos\theta) \quad (\text{A.13})$$

สัมประสิทธิ์คงตัว (constant coefficient)  $a_l$  อาจหาได้โดยการคูณทั้งสองข้างของสมการ (A.13) ด้วย  $P_l(\cos\theta)$  และหาปริพันธ์จาก 0 ถึง  $\pi$  ซึ่งจะได้ (หลังจากแทน  $\mu = \cos\theta$  แล้ว)

$$\int_{-1}^1 e^{ikr\mu} P_l(\mu) d\mu = \left( \frac{2}{2l+1} \right) a_l j_l(r) \quad (\text{A.14})$$

ซึ่งผลการหาปริพันธ์ที่อยู่ทางด้านขวาเมื่อของสมการ (A.14) นั้น ได้จากการใช้สูตรที่เรารู้จักกันดี

เข้ามาช่วย คือ

$$\int_0^\pi P_l(\cos\theta)P_{l'}(\cos\theta)\sin\theta d\theta = \begin{cases} \frac{2}{2l+1} & \text{เมื่อ } l' = l \\ 0 & \text{เมื่อ } l' \neq l \end{cases}$$

ในการหาปริพันธ์ทางด้านซ้ายมือของสมการ (A.14) จะใช้วิธีการแยกส่วนออกเป็นสองส่วน และใช้จีดจำกัด  $r \rightarrow \infty$  พจน์ที่มี  $r^{-2}$  จะไม่นำมาคิดเมื่อเทียบกับพจน์ที่มี  $r^{-1}$  รวมทั้งจากศักยสมบัติที่ว่า  $P_l(\cos\theta) = 1$  เมื่อ  $\cos\theta = 1$ , และ  $P_l(\cos\theta) = (-1)^l = e^{il\pi}$  เมื่อ  $\cos\theta = -1$  ซึ่งเมื่อหาปริพันธ์แล้วแทนลงในสมการ (A.14) จะได้

$$\begin{aligned} \left(\frac{2}{2l+1}\right)a_l j_l(r) &\sim \frac{1}{ikr} [e^{ikr} - e^{il\pi} e^{-ikr}] \\ &= \frac{1}{ikr} e^{\frac{1}{2}il\pi} [e^{i(kr-\frac{1}{2}l\pi)} - e^{-i(kr-\frac{1}{2}l\pi)}] \\ &= \left(\frac{2i^l}{kr}\right) \sin(kr - \frac{1}{2}l\pi) \end{aligned}$$

หรือ

$$a_l j_l(r) \sim (2l+1)i^l \frac{\sin[kr - (l\pi/2)]}{kr}$$

เปรียบเทียบซ้ายมือกับขวาในส่วนของสมการ แล้วจำแนกค่าคงตัว  $a_l$  และพึงก์ชั้นเบสเซล  $j_l(r)$  หรือ  $j_l(kr)$  ออกมานะจะได้

$$a_l = (2l+1)i^l \quad (\text{A.15})$$

และ

$$j_l(kr) \sim \frac{\sin[kr - (l\pi/2)]}{kr} \quad (\text{A.16})$$

ดังนั้นผลเฉลยเชิงเส้นกำกับบริบูรณ์ (complete asymptotic solution),  $r \rightarrow \infty$ , จะอยู่ในรูป

$$e^{ikr \cos\theta} \doteq \sum_{l=0}^{\infty} (2l+1)i^l \left\{ \frac{\sin[kr - (l\pi/2)]}{kr} \right\} P_l(\cos\theta) \quad (\text{A.17})$$

ต่อไปเราจะดำเนินการหาผลเฉลยของสมการคลื่นเรอเดิงเมอร์ ที่อยู่ในบริเวณพิสัยของ

แรงนิวเคลียร์ คือ

$$\nabla^2 \psi + \left[ k^2 - \frac{2M}{\hbar^2} V(r) \right] \psi = 0 \quad (\text{A.18})$$

( $M$  เป็นมวลคลตอน) ผลเฉลย  $\psi$  จะสอดคล้องกับฟังก์ชันคลื่นของระบบที่เคลื่อนที่ไว้ใน  
(A.3) คือ

$$\psi(r, \theta) \sim e^{ikz} + f(\theta)(e^{ikr} / r) \quad (\text{A.3})$$

สำหรับ  $r \rightarrow \infty$

ผลของศักย์คุณย์กลางจะทำให้เกิดการเปลี่ยนเฟส (phase) (ในกรณีของการกระเจิงแบบบีดหยุ่น)  
หรือเปลี่ยนทิศทางและแเอนพลิจูด (ในกรณีของการกระเจิงแบบไม่บีดหยุ่น) แต่ที่จะกล่าวถึงใน  
ตอนนี้จะจำกัดวงไว้เฉพาะกรณีของการเปลี่ยนเฟส (หรือในกรณีของการกระเจิงแบบบีดหยุ่น)  
เท่านั้น ผลเฉลยของสมการคลื่น (A.18) จะมีรูปแบบเข่นเดียวกับที่ผ่านๆ มาคือ

$$\psi = \sum_{l=0}^{\infty} A_l R_l(kr) P_l(\cos \theta) \quad (\text{A.19})$$

ซึ่งมีสมมาตรรอบแกน (ไม่ขึ้นกับมุม  $\phi$ ) ขณะที่  $R_l(kr)$  เป็นผลเฉลยคลื่นรัศมีของสมการ

$$\frac{1}{r^2} \frac{d}{dr} \left( r^2 \frac{dR}{dr} \right) + \left[ k^2 - \frac{2M}{\hbar^2} V(r) - \frac{l(l+1)}{r^2} \right] R = 0 \quad (\text{A.20})$$

ถ้าพิจารณาฟังก์ชัน  $R_l(kr)$  และ  $j_l(kr)$  จะเห็นว่าฟังก์ชันทั้งสองเหมือนกันที่ทุกแห่ง<sup>ที่</sup>  
หน ยกเว้นบริเวณที่  $r$  มีค่าน้อยๆ ซึ่ง  $V(r) \neq 0$  ดังนั้นหากเราจะไม่มองฟังก์ชันคลื่นที่อยู่ใน  
บริเวณศักย์  $V(r)$  แต่ของเฉพาะที่อยู่ในบริเวณที่ห่างออกไปมากๆ ซึ่ง  $r \rightarrow \infty$  และ  $V(r) = 0$ ,  
 $R_l(kr)$  จะเหมือนกับ  $j_l(kr)$  เว้นแต่มีการเดือนเฟส  $\delta_l$  กันเล็กน้อย อันเป็นผลมาจากการขึ้นกับ  
 $r$  ในทางที่แตกต่างกันของ  $R_l(kr)$  ในบริเวณที่  $V(r) \neq 0$  และความนี้จะเป็นจริงเสมอตราบที่  
 $V(r)$  ยังคงลดลงเป็นศูนย์อย่างรวดเร็วกว่าการลดลงตาม  $r^{-1}$  ดังนั้น

$$R_l(kr) \doteq \frac{\sin\left(kr - \frac{l\pi}{2} + \delta_l\right)}{kr} \quad \text{เมื่อ } r \rightarrow \infty \quad (\text{A.21})$$

และ

$$\psi \doteq \sum_{l=0}^{\infty} A_l \frac{\sin\left(kr - \frac{l\pi}{2} + \delta_l\right)}{kr} P_l(\cos\theta) \quad (\text{A.22})$$

แทน  $e^{ikz}$  และ  $\psi$  จากสมการ (A.17) และ (A.22) ลงในสมการ (A.2) แล้วจัดสมการเพื่อบห้าสัมประสิทธิ์  $A_l$  และ  $f(\theta)$  ของ  $e^{ikr}$  และ  $e^{-ikr}$  จะได้

$$A_l = i^l (2l+1) e^{i\delta_l} \quad (\text{A.23})$$

ซึ่งเมื่อแทนลงในสมการ (A.19) จะได้

$$\psi = \sum_{l=0}^{\infty} (2l+1) i^l e^{i\delta_l} R_l(kr) P_l(\cos\theta) \quad (\text{A.24})$$

และได้

$$f(\theta) = \frac{1}{2ik} \sum_{l=0}^{\infty} (2l+1) (e^{2i\delta_l} - 1) P_l(\cos\theta) \quad (\text{A.25})$$

เมื่อทราบ  $f(\theta)$  แล้ว ภาคตัดขวางรวมก็หาได้จากสมการ (A.7) ซึ่งสมการเป็นแบบ

$$\sigma = \int \frac{d\sigma(\theta)}{d\Omega} d\Omega = 2\pi \int |f(\theta)|^2 \sin\theta d\theta \quad (\text{A.7})$$

ซึ่งเมื่อแทน  $f(\theta)$  ที่ได้จากสมการ (A.25) แล้วหาปริพันธ์ (ไม่คิดพจน์ที่มีการถูกลบแบบ  $P_l(\cos\theta)$ ) เพราะพจน์เหล่านี้จะหายไป) จะได้ภาคตัดขวางรวมของการกระเจิงแบบยึดหยุ่นเป็น

$$\sigma = \frac{\pi}{2k^2} \int_0^\pi \sum_{l=0}^{\infty} (2l+1)^2 (2 - 2 \cos 2\delta_l) [P_l(\cos\theta)]^2 \sin\theta d\theta$$

หรือ

$$\sigma = \frac{4\pi}{k^2} \sum_{l=0}^{\infty} (2l+1) \sin^2 \delta_l \quad (\text{A.27})$$

ดังนั้นเราจะเห็นว่าภาคตัดขวางรวมของการกระเจิงแบบยึดหยุ่นเป็นฟังก์ชันของเลขคู่  $k$  และ การเลื่อนเฟส  $\delta_l$

ต่อไปเราจะปฏิบัติกับการกระเจิงในเชิงฟิสิกส์กึ่งแบบบัน (semiclassical physics) เพื่อแสดงว่า ถ้าพิสัยของศักย์กระเจิงมีค่าจำกัดแล้ว การเลื่อนเฟส  $\delta_l$  ที่จะนำมาใช้เพื่อบวกกันใน

สมการ (A.27) จะต้องเป็นจำนวนจำกัดด้วย โดยจะเริ่มต้นจากการแปลความคืนย้อนในเชิงฟิสิกส์ กึ่งแบบฉบับก่อน แล้วต่อไปขยายความปัญหาการกระเจิงของเราให้ครอบคลุมไปถึงปัญหาการ กระเจิงแบบไม่มีขีดหยุด (หรือการคูณคลื่น) ด้วย

อนุภาคตกกระทบ



รูป A.2 อันตรกิริยะระหว่างอนุภาคตกกระทบกับนิวเคลียสเป้า  
 $b$  เป็นพารามิเตอร์กระทบ (คัดแปลงจาก A. P. Arya,  
*Fundamentals of Nuclear Physics.*, Boston: Allyn and Bacon,  
1968, p. 395)

ให้อนุภาคในลำอนุภาคมีโน้มเนียนตั้มเชิงเส้น  $p = mv$  และมีพารามิเตอร์กระทบ  $b$  ดังใน รูป (A.2) โน้มเนียนตั้มเชิงมุมตามพิสิกส์แบบฉบับ  $L = mvb$  จะต้องเท่ากันกับค่าในเชิงกลศาสตร์ ความตั้ม  $L = [l(l+1)]^{1/2} \hbar$

$$mvb = [l(l+1)]^{1/2} \hbar \quad (\text{A.28})$$

ค่า  $l$  ที่ได้จากสมการ (A.28) นี้ จะเป็นจำนวนพองน์ของสมการ (A.27) การกระเจิงจะเกิดขึ้นถ้า หากพารามิเตอร์กระทบ  $b$  น้อยกว่าพิสัย  $R_0$  ของศักย์ หรืออีกนัยหนึ่งการกระเจิงจะเกิดขึ้น ต่อเมื่อ

$$[l(l+1)]^{1/2} < kR_0 \quad (\text{A.29})$$

สมการ (A.29) นี้จะมีผลกระทบต่อกลืนย้อนของอนุภาค (ที่มีพลังงาน หรือ  $\hbar$  ตามกำหนดให้) สำหรับในกรณีที่ค่า  $l$  เป็นไปในทางที่ทำให้  $[l(l+1)]^{1/2} > kR_0$ ,  $\delta_l$  จะถูกจัดทิ้งไป ( $\delta_l = 0$ ) ถ้าขอนกลับไปดูสมการคลื่นเรอเดิงอร์ทั้งภายในและภายนอกพิสัยศักย์ ที่กำหนดให้ ด้วยสมการ (A.18) และ (A.8) พลเดลย์เชิงเส้นกำกับบริวาร์ (หรือฟังก์ชันคลื่นรัศมี) ของสมการ คลื่นทั้งสองกำหนดให้โดยสมการ (A.16) และ (A.21) ตามลำดับ ดังนี้

$$j_l(kr) \sim \frac{\sin\left(kr - \frac{l\pi}{2}\right)}{kr} \quad (\text{A.16})$$

และ

$$R_l(kr) = \frac{\sin\left(kr - \frac{l\pi}{2} + \delta_l\right)}{kr} \quad \text{เมื่อ } r \rightarrow \infty \quad (\text{A.21})$$

จากสมการทั้งสองนี้แสดงให้เห็นว่าสมการคลื่นที่ถูกรบกวน (A.21) จะแตกต่างไปจากสมการคลื่นที่ไม่ถูกรบกวนตรงที่มีเฟสเปลี่ยนไป  $\delta_l$  เท่านั้น โดยเมื่อคลื่นเข้าไปอยู่ในบริเวณที่อยู่ในพิสัยของศักย์ ความยาวคลื่นก็จะเปลี่ยนจากที่มีค่า  $\lambda = 2\pi/k$  ไปเป็นมีค่า  $\lambda' = 2\pi/\sqrt{k^2 - 2MV/\hbar^2}$  ดังนั้นถ้า  $V(r) < 0$  (ศักย์แรงดึง) แล้ว,  $\lambda' < \lambda$ , คลื่นจะถูกดึงเข้า (pull in) และการเลื่อนเฟส  $\delta_l$  จะเป็นบวก ถ้า  $V(r) > 0$  (แรงผลัก) แล้ว,  $\lambda' > \lambda$ , คลื่นจะถูกดันออก (push out) และการเลื่อนเฟส  $\delta_l$  จะเป็นลบ ส่วนที่บริเวณนอกพิสัยศักย์ฟังก์ชันคลื่นจะไม่ถูกรบกวน ภาพของฟังก์ชันคลื่นทั้งสามกรณีแสดงดังในรูป A.3

ที่กล่าวมาข้างต้นเราพิจารณาในแบบการกระเจิงแบบยึดหยุ่นเพียงอย่างเดียว แต่ในปฏิกริยานิวเคลียร์จะมีชนิดที่อนุภาคตัดกระทบทุกคลื่นด้วย ซึ่งต่อไปนี้จะเป็นการคำนวณหากตัดขวางการคูณคลื่นในแต่ละค่า  $l$  โดยได้รวมเอาภาคตัดขวางของการกระเจิงแบบไม่ยึดหยุ่นอยู่ไว้ในภาคตัดขวางการคูณคลื่นนี้ด้วย ดังนั้นนับตั้งแต่นี้ไปเมื่อกล่าวถึงภาคตัดขวางการกระเจิงจะหมายถึงการกระเจิงแบบยึดหยุ่นเท่านั้น

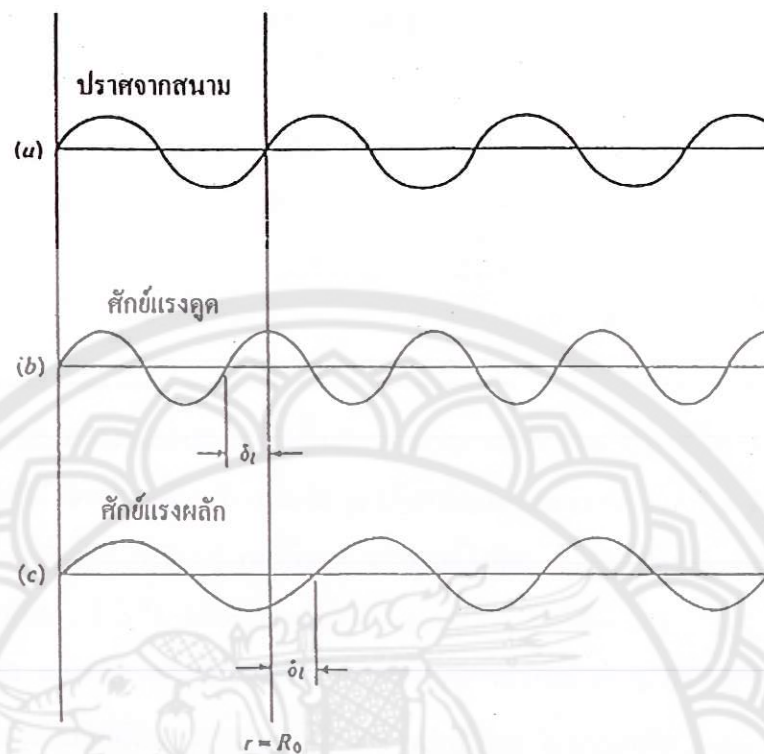
ภาคตัดขวางการคูณคลื่นรวม  $\sigma_r$  จะมีนิพจน์อยู่ในรูปแบบภาคตัดขวางย่อย ที่สอดคล้องกับค่า  $l$  ดังต่อไปนี้

$$\sigma_t = \sigma_r + \sigma_s \quad (\text{A.30})$$

$$\sigma_r = \sum_l \sigma_{r,l} \quad (\text{A.31})$$

$$\sigma_s = \sum_l \sigma_{s,l} \quad (\text{A.32})$$

$\sigma_r$  เป็นภาคตัดขวางการคูณคลื่น หรือเรียกอีกอย่างหนึ่งว่า ภาคตัดขวางปฏิกิริยา (reaction cross section) ส่วน  $\sigma_s$  เป็นภาคตัดขวางการกระเจิง ดังนั้นสิ่งจำเป็นที่ต้องคำนวณหามีเฉพาะ  $\sigma_{r,l}$  และ  $\sigma_{s,l}$  เท่านั้น ซึ่งเราจะดำเนินการหาต่อไป



รูป A.3 ฟังก์ชันคลื่นรัศมี ในสถานะกรณี (a) กรณี  $V(r) = 0$  ;  
ไม่มี势งาน (b) กรณี  $V(r) < 0$  ; ศักย์แรงดึง และ (c) กรณี  
 $V(r) > 0$  ; ศักย์แรงผลัก (คัดแปลงจาก A. P. Arya, *Fundamentals  
of Nuclear Physics.*, Boston: Allyn and Bacon, 1968, p. 396)

ฟังก์ชันคลื่นของอนุภาคต่อกำแพงอาจเขียนได้เช่นเดียวกับที่เคยเขียนผ่านมา คือเขียนได้  
เป็น

$$\psi_{inc} = e^{ikr \cos \theta} \sim \frac{1}{kr} \sum_{l=0}^{\infty} (2l+1)i^l \sin(kr - \frac{1}{2}l\pi) P_l(\cos \theta) \quad (A.33)$$

$$= \frac{1}{2ikr} \sum_{l=0}^{\infty} (2l+1)i^l \{ e^{i[kr-(l\pi/2)]} - e^{-i[kr-(l\pi/2)]} \} P_l(\cos \theta)$$

เมื่อ  $e^{-i[kr-(l\pi/2)]}$  เป็นอนุกรมของคลื่นทรงกลมที่สู่เข้า (converging) สู่จุดคำนิด 0 และ  $e^{i[kr-(l\pi/2)]}$   
เป็นอนุกรมของคลื่นทรงกลมที่สู่ออก (diverging) กำหนดให้势งานของศักย์มีผลกระทบเฉพาะต่อ  
คลื่นที่เคลื่อนที่ออกเท่านั้น ดังนั้นถ้า  $\eta$  เป็นตัวประกอบที่แทนการเปลี่ยนเฟส หรือเปลี่ยนทั้ง  
เฟสและแอนพลิกูด ฟังก์ชันคลื่น  $\psi = \psi_{inc} + \psi_{scatt}$  จะเขียนได้เป็น

$$\psi_{inc} = \frac{1}{2ikr} \sum_{l=0}^{\infty} (2l+1) i^l \left\{ \eta_l e^{i[kr - (l\pi/2)]} - e^{-i[kr - (l\pi/2)]} \right\} P_l(\cos\theta) \quad (\text{A.34})$$

ข้อต่อไปเป็นขั้นค่าเนินการหาค่า  $f(\theta)$  ซึ่งจะกระทำโดยวิธีการเดียวกับการได้มาของสมการ (A.25) หรือเราเขียนเดี๋ยวนี้แบบสมการ (A.25) ได้เลยเป็น

$$f(\theta) = \frac{1}{2ik} \sum_{l=0}^{\infty} (2l+1)(\eta_l - 1) P_l(\cos\theta) \quad (\text{A.35})$$

เมื่อ  $\eta_l$  กำหนดให้โดย

$$\eta_l = A_l e^{2i\delta_l} \quad (\text{A.36})$$

เมื่อ  $0 \leq A_l \leq 10$

ในกรณีที่เป็นการกระเจิงบริสุทธิ์ (pure scattering) ซึ่งไม่มีการดูดกลืนเลย ค่า  $A_l$  จะเท่ากับ 1 และ  $\eta_l = e^{2i\delta_l}$  ในกรณีที่มีการดูดกลืน ค่า  $A_l$  จะน้อยกว่า 1 [หมายเหตุ:  $A_l = 1$  และ  $\eta_l = e^{2i\delta_l} = 1$  คือกระเจิงจะเหมือนกับคลื่นตกกระทบ นั่นคือไม่มีอันตรกิริยา] เพราะฉะนั้นจึงกล่าวสรุปได้ว่า ในการกระเจิง  $\eta_l = e^{2i\delta_l} \neq 1$  ขณะที่ในการดูดกลืน  $A_l \neq 1$  และแอนพลิจูดของคลื่นกระเจิงจะน้อยกว่าคลื่นตกกระทบ

การคำนวณหาภาคตัดขวางของการกระเจิงทำได้โดยการแทน  $f(\theta)$  จากสมการ (A.35) ลงในสมการ (A.7) ซึ่งมีรูปแบบ

$$\sigma = \int \frac{d\sigma(\theta)}{d\Omega} d\Omega = 2\pi \int |f(\theta)|^2 \sin\theta d\theta \quad (\text{A.7})$$

แล้วหาปริพันธ์เข่นเดียวกับที่เคยทำกับสมการ (A.7) ที่ผ่านมา จะได้ภาคตัดขวางการกระเจิงออกมานี้เป็น

$$\begin{aligned} \sigma_s &= \frac{\pi}{k^2} \sum_{l=0}^{\infty} (2l+1) |\eta_l|^2 \\ &= \pi k^2 \sum_{l=0}^{\infty} (2l+1) |A_l|^2 \end{aligned} \quad (\text{A.37})$$

การคำนวณหาภาคตัดขวางของการดูดกลืนจะเริ่มต้นด้วยการนิยามให้ภาคตัดขวางของ การดูดกลืนเท่ากับจำนวนอนุภาคที่หายออกไปจากลำอนุภาคต่อหนึ่งหน่วยอนุภาคตกกระทบ (อนุภาคหายออกไปจากจำนวนอนุภาคเนื่องจากถูกดูดกลืน) ซึ่งก็คือ

$$\sigma_r = \frac{\text{จำนวนอนุภาคที่หายออกไปจากลำอนุภาคต่อวินาที}}{\text{ฟลักซ์ตกกระทบ}} \quad (\text{A.38a})$$

ฟลักซ์ตกกระทบ (incident flux) เท่ากับความเร็ว  $v$  (เช่นเดียวกับที่เคยกำหนดในตอนแรก) และจำนวนอนุภาคที่หลุดหายออกไปจากลำอนุภาคต่อวินาที คือฟลักซ์ดูดคลื่น (absorbed flux)

$$\begin{aligned} N_a &= \text{ฟลักซ์ดูดคลื่น} \\ &= \text{จำนวนอนุภาคที่ผ่านทรงกลมรัศมี } R \text{ ที่ห่อหุ้มนิวเคลียสเป็นไว้ต่อวินาที} \end{aligned}$$

หรือ

$$N_a = \int Ids = \int IR^2 \sin \theta d\theta d\phi \quad (\text{A.38b})$$

เมื่อ  $I$  คือความหนาแน่นกระแสโอกาส (probability current density) ซึ่งนิยามให้เป็น

$$I = \frac{\hbar}{2iM} \left( \psi^* \frac{\partial \psi}{\partial r} - \frac{\partial \psi^*}{\partial r} \psi \right) \quad (\text{A.38c})$$

$M$  เป็นมวลคลื่น  $\psi$  เป็นพิงค์ชันคลื่นตามสมการ (A.34) ซึ่งเมื่อแทน  $\psi$  นี้ลงไปในสมการ (A.38c) แล้วคำนวณหา  $\sigma_r$  โดยใช้สมการ (A.38a), (A.38b), และ (A.38c) จะได้

$$\sigma_r = \pi \lambda^2 \sum_{l=0}^{\infty} (2l+1)(1 - |\eta_l|^2) \quad (\text{A.39})$$

เพราะจะนั่นจากสมการ (A.37) และ (A.39) เราจะได้ว่า

$$\sigma_{s,l} = \pi \lambda^2 (2l+1)|1 - \eta_l|^2 \quad (\text{A.40})$$

$$\sigma_{r,l} = \pi \lambda^2 (2l+1)(1 - |\eta_l|^2) \quad (\text{A.41})$$

เมื่อ

$$\eta_l = A_l e^{2i\delta_l} = U_l + iW_l \quad (\text{A.42})$$

ส่วนจริง (real part) ในนิพจน์ของ  $\eta_l$  สัมพันธ์กับการเปลี่ยนแผลจุด และส่วนจินตภาพ (imaginary part) สัมพันธ์กับการเปลี่ยนเฟส สมการ (A.40) และ (A.41) แสดงให้เห็นว่าการกระเจิงและการดูดคลื่นไม่ใช่จะไม่ขึ้นต่อ กัน เมื่อใดที่มีการดูดคลื่นเกิดขึ้น,  $|\eta_l|^2 \neq 1$ , จะต้องมีการกระเจิงเกิดขึ้นด้วย,  $\eta_l \neq 1$ , แต่ถ้ามีการกระเจิงเกิดขึ้น,  $\eta_l \neq 1$ ,  $\eta_l^* \neq 1$ , การดูดคลื่นอาจจะไม่เกิดขึ้นก็ได้

คือเป็นไปได้ที่  $|\eta_l|^2 = 1$ , จึงสรุปได้ว่า เมื่อมีการคูณกลืนต้องมีการกระเจิง แต่ถ้ามีการกระเจิงไม่จำเป็นต้องมีการคูณกลืนเสมอไป  
 เพราะว่า  $|\eta_l| \leq 1$  จึงเป็นไปได้ที่จะกล่าวว่า

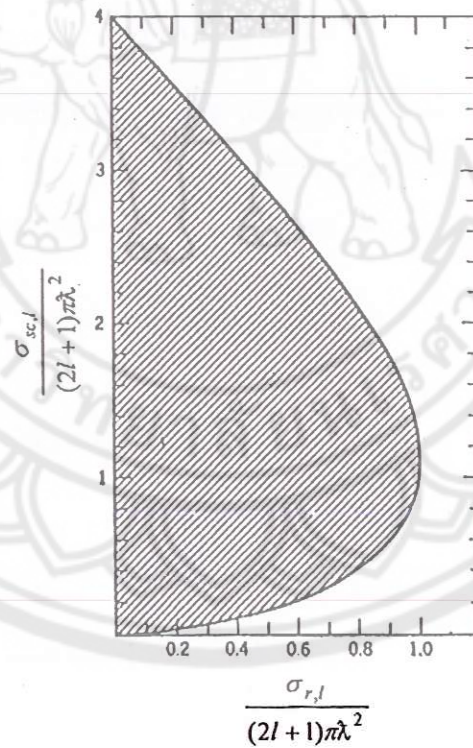
$$\sigma_{s,l} \leq 4\pi\lambda^2(2l+1)$$

$$\sigma_{r,l} \leq \pi\lambda^2(2l+1) \quad (\text{A.43})$$

$$\sigma_{t,l} \leq 4\pi\lambda^2(2l+1)$$

ความสัมพันธ์ระหว่าง  $\sigma_{s,l}$  และ  $\sigma_{r,l}$  แสดงดังในรูป A.4

พิจารณากรณีการกระเจิงของอนุภาคที่มีพลังงานสูงมาก ๆ ซึ่ง ก ของอนุภาคต่อระบบจะนโยบายรัศมี  $R$  ของนิวเคลียสมาก ๆ ในกรณีเช่นนี้นิวเคลียลักษณะเป็นทรงกลมที่มีการคูณกลืนอย่างบริบูรณ์ (perfectly absorption sphere) เราจะเรียกนิวเคลียลสในกรณีเช่นนี้ว่าเป็น นิวเคลียลสด



รูป A.4 ค่าที่เป็นไปได้ของภาคตัดขวางการกระเจิงย่อยในแต่ละภาคตัดขวาง การคูณกลืนย่อย ที่นี่แสดงแทนค่าที่เรียกอ่านว่ายกันของภาคตัดขวางทั้งสองนี้ (จาก J.M. Blatt และ V.F. Weisskopf, *Theoretical Nuclear Physics.*, New York: John Willy & Sons, 1952, p. 326)

## 150 การปฏิบัติการกระเจิงในแบบกลศาสตร์คลื่น

(black nucleus) หรือ ทรงกลมดำ (black sphere) การพิจารณาจะเริ่มต้นด้วยการ ให้อนุภาคมี โนเมนตัมเชิงเส้น  $p$  โนเมนตัมเชิงมุมของอนุภาคในเชิงกลศาสตร์แบบฉบับ จะเป็น  $pb$  และ เท่ากับ โนเมนตัมเชิงมุมในเชิงกลศาสตร์ความตั้ม ซึ่งเป็น  $l\hbar (= \sqrt{l(l+1)}\hbar)$  ดังนั้น

$$l = bp / \hbar = b / \lambda$$

หรือ

$$b = \lambda l$$

นั่นคือปฎิกริยาจะเกิดขึ้นต่อเมื่อ

$$b = \lambda l \leq R$$

หรือ

$$l \leq R / \lambda (= Rk)$$

ถ้า  $l \leq R / \lambda$  ปฎิกริยาจะเกิดขึ้นทุกขณะ, เมื่อ  $\eta_l = 0$  ภาคตัดขวางปฎิกริยาจะมีค่ามาก ที่สุด, ถ้า  $l > R / \lambda$  และ  $\eta_l = 1$  ปฎิกริยาจะไม่เกิดขึ้น  
เพราะขณะนั้น เมื่อพิจารณาภาคตัดขวางย่อยที่  $l$  แรก เมื่อ  $l \leq R / \lambda (= Rk)$  เราจะได้

$$\sigma_s = \sum_{l=0}^{R/\lambda} \sigma_{s,l} = \pi \lambda^2 \sum_{l=0}^{R/\lambda} (2l+1) \approx \pi R^2 \quad (\text{A.44a})$$

$$\sigma_r = \sum_{l=0}^{R/\lambda} \sigma_{r,l} = \pi \lambda^2 \sum_{l=0}^{R/\lambda} (2l+1) \approx \pi R^2 \quad (\text{A.44b})$$

นั่นคือ

$$\sigma_s = \sigma_r = \pi R^2$$

และ

$$\sigma_t = \sigma_s + \sigma_r = 2\pi R^2 = 2 \times \text{ภาคตัดขวางเชิงเรขาคณิต} \quad (\text{A.44c})$$

ซึ่งผลนี้ได้รับการตรวจสอบในทางการทดลองมาแล้ว เราชะสังเกตเห็นอย่างหนึ่งว่าที่พลังงานสูง มาก ๆ,  $\lambda \ll R$ , ภาคตัดขวางรวมจะเท่ากับภาคตัดขวางปฎิกริยาเท่านั้น โดยไม่มีการกระเจิง

เลย และเท่ากับภาคตัดขวางเชิงเรขาคณิต,  $\pi R^2$ , แต่ก็ไม่ได้หมายความว่าจะถูกต้องนัก เพราะการเดี่ยวบนที่เกิดขึ้นยังทำให้มีการคงค่า  $\sigma_s (= \pi R^2)$  ไว้ในภาคตัดขวางรวมอยู่

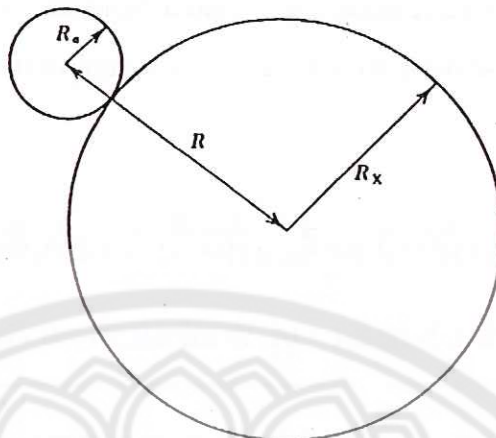
## ก.2 ปฏิกิริยานิวเคลียร์กับนิวเคลียสที่มีพื้นผิวแจ่มชัด (Nuclear Reactions with a Nucleus of Well-Defined Surface)

การคำนวณหากาตัดขวางของปฏิกิริยานิวเคลียร์ ควรจะคำนวณจากโครงสร้างภายในนิวเคลียส แต่เนื่องจากขณะนี้เรา秧ไม่รู้จักโครงสร้างภายในนิวเคลียสดีพอ ในการคำนวณหากาตัดขวางที่ทำกันอยู่ในเวลานี้ จึงคำนวณจากการใช้เงื่อนไขขอบ (boundary condition) ที่พื้นผิวของนิวเคลียสแทน ซึ่งเงื่อนไขขอบที่ใช้นี้คือความต่อเนื่อง (continuity) ของอนุพันธ์ลอการิทึม (logarithmic derivative) ของฟังก์ชันคลื่นที่พื้นผิวนิวเคลียส เมื่อเป็นเช่นนี้นิวเคลียสจะต้องมีพื้นผิวแจ่มชัด (well-defined surface) ซึ่งหมายถึงอนุภาคโพเรเจกไทล์ (ใช้เรียกอนุภาคที่เคลื่อนที่เข้ามายังนิวเคลียสเป้า)  $a$  และนิวเคลียส  $X$  จะไม่มีอันตรกิริยาต่อ กันถ้าระยะห่าง จากกัน  $r$  มากกว่ารัศมีแซนแนล (channel radius)  $R$ , นิยามของรัศมีแซนแนลคือ  $R = R_X + R_a$  (ดูรูป A.5), บริเวณ  $r > R$  ถือเป็นภายนอกนิวเคลียส และบริเวณ  $r < R$  ถือเป็นภายในนิวเคลียส (หมายเหตุ: ตำราบางเล่มอาจประมาณค่ารัศมีแซนแนล  $R$  ให้เป็นรัศมีของนิวเคลียสเป้า  $R_X$ )

ในคำนวณหากาตัดขวางกับนิวเคลียสพื้นผิวแจ่มชัด ข้อสมมุติที่ใช้กันเพื่อให้นิวเคลียสนิมบตเป็นนิวเคลียสแจ่มชัดจึงมักเป็นข้อสมมุติต่อไปนี้

(ก) ให้อนุภาคตกระบทมีพลังงานต่ำ ถ้าอนุภาคมีพลังงานต่ำ ความยาวคลื่นของอนุภาคตกระบทจะยาวมากเมื่อเทียบกับรัศมีแซนแนล  $R$  (หรือรัศมีนิวเคลียสเป้า  $R_X$ ) กรณีเช่นนี้ อันตรกิริยาระหว่างอนุภาคตกระบทกับนิวเคลียสเป้าจะยังไม่เกิดขึ้นถ้าระยะห่าง  $r$  ระหว่างอนุภาคตกระบทกับนิวเคลียสเป้ามากกว่ารัศมีแซนแนล จึงถือว่านิวเคลียสนิมบตเป็นพื้นผิวแจ่มชัด

(ข) ให้อนุภาคตกระบทเป็นนิวตรอนที่มี  $I=0$  การไม่มีประจุของนิวตรอนจะทำให้ปราศจากศักย์คูลอนบ์ซึ่งเป็นศักย์พิสัยยา ดังนั้นที่ระยะห่าง  $r$  มากกว่ารัศมีแซนแนล อันตรกิริยาอันเนื่องจากศักย์คูลอนบ์จึงไม่มี และการที่มี  $I=0$  จะทำให้ปราศจากศักย์  $I(I+1)\hbar^2 / 2Mr^2$  ซึ่งเป็นศักย์หนีศูนย์กลางและมีพิสัยยาวนานเกี่ยวกับด้วย เช่นกัน ที่ระยะห่างมากกว่ารัศมีแซนแนลจึงไม่มีอันตรกิริยาระหว่างอนุภาคตกระบทกับนิวเคลียสเป้า และจะถือได้ว่านิวเคลียสเป้ามีพื้นผิวแจ่มชัด



รูป A.5 นิยามของรัศมีแขนเนล รัศมีแขนเนล  $R = R_x + R_a$  เมื่อ  $R_a$  เป็นรัศมีของอนุภาคโพเรเจกไทล์  $R_x$  เป็นรัศมีของนิวเคลียสเป้า  
(จาก J.M. Blatt และ V.F. Weisskopf, *Theoretical Nuclear Physics.*, New York: John Wiley & Sons, 1952, p. 326)

### (ก) ให้สเปินของนิวเคลียสเป้าเป็นศูนย์

ดังนั้นในการคำนวณหาภาคตัดขวางด้วยการให้นิวเคลียสมีพื้นผิวแจ่มชัดนี้ เราจะทำให้ นิวเคลียสเป้ามีพื้นผิวแจ่มชัดโดยกำหนดให้อนุภาคโพเรเจกไทล์เป็นนิวตรอนพลังงานต่ำ และมี  $I = 0$  เพื่อให้ปราศจากอันตรกิริยาใด ๆ ระหว่างอนุภาคโพเรเจกไทล์กับนิวเคลียสเป้า ที่ระยะห่าง  $r$  มากกว่ารัศมีแขนเนลโดยถึงแข็ง แม้กระทั้งอันตรกิริยาเนื่องจากศักย์พิสัยขาวเช่นศักย์คูลอมบ์ หรือศักย์หนีศูนย์กลางก็ตาม

เราสามารถอธิบายการเคลื่อนที่สัมพัทธ์ (relative motion) อย่างไม่มีอันตรกิริยาต่อกันของ อนุภาค  $a$  ซึ่งเป็นนิวตรอน กับนิวเคลียสเป้า  $X$  ที่ระยะ  $r > R$  โดยฟังก์ชันคลื่น  $\psi(r)$  ซึ่ง สมนัยกับสมการคลื่นในบริเวณนี้คือ

$$\frac{d^2\psi}{dr^2} + k^2 \psi = 0 \quad (r > R) \quad (\text{A.45})$$

เมื่อ  $k$  เป็นเลขค่าคงของแขนเนลเข้า นิพจน์ในสมการ (A.45) นี้ใช้ได้เฉพาะบริเวณภายนอก นิวเคลียส  $r > R$  จะนำไปใช้กับบริเวณภายนอกนิวเคลียส  $r < R$  ไม่ได้ เพราะการเคลื่อนที่ภายใน นิวเคลียสไม่สามารถอธิบายได้ด้วยฟังก์ชันคลื่นที่มีพิกัดเพียงพิกัดเดียว

ฟังก์ชันคลื่น  $\psi$  ที่ระยะห่างจากนิวเคลียสมาก ๆ จะประกอบไปด้วยคลื่นต่อกันที่ซึ่ง เป็นคลื่นระนาบ (plane wave)  $\exp(ikz)$  กับคลื่นอ กซึ่งเป็นคลื่นทรงกลมซ้อนกัน (superposition)

กันอยู่เมื่อนัดดังที่เคยเห็นในสมการ (A.34) แต่ความสนใจในฟังก์ชันคลื่น  $\psi$  ของเราตอนนี้จะไม่สนใจเฉพาะแต่ในรูปแบบเชิงเส้นกำกับที่  $kr$  มีค่ามาก ๆ อีกแล้ว หากแต่จะสนใจในกรณีที่  $r$  มีค่าน้อยลงจนกระทั่ง  $r > R$  ด้วย

ฟังก์ชันคลื่น  $\psi$  สามารถเขียนให้ออยู่ในรูปผลบวกของคลื่นย่อที่มีโน้ม-men ตั้งเชิงมุน  $l$  กำกับด้วยคือ

$$\psi(r) = \psi(r, \theta) = \sum_{l=0}^{\infty} \left( \frac{u_l}{r} \right) Y_{l,0}(\theta) \quad (\text{A.46})$$

เมื่อ  $Y_{l,0}$  เป็นฮาร์มอนิกทรงกลม (spherical harmonic) คลื่นย่อที่รวมกันอยู่ในเฉพาะคลื่นย่อที่มี  $m=0$  เท่านั้น ทั้งนี้ เพราะคลื่นตกกระทบเป็นคลื่นระนาบจึงไม่ขึ้นกับมุม  $\phi$  ในกรณีที่กำลังกล่าวถึงอยู่นี้ อนุภาคไฟร์เกกไทร์มี  $l=0$  ดังนั้นเราสามารถพจน์ในสมการ (A.46) มีเฉพาะพจน์ที่มี  $l=0$  แล้วแทนลงในสมการ (A.45) จะได้สมการเรอดิจิงเรอร์ของคลื่นรัศมีเป็น

$$\frac{d^2 u_0}{dr^2} + k^2 u_0 = 0 \quad \text{สำหรับ } (r > R) \quad (\text{A.47})$$

เมื่อ  $u_0$  เป็นฟังก์ชันคลื่นรัศมีที่มี  $l=0$  ผลเฉลยของสมการ (A.47) จะมีรูปแบบเป็น

$$u_0(r) = C \sin(kr + \delta_0) \quad \text{สำหรับ } r > R \quad (\text{A.48})$$

เมื่อ  $\delta_0$  เป็นการเลื่อนเฟส

เรานำเงื่อนไขขอบมาใช้ในการอธิบายพฤติกรรมของฟังก์ชันคลื่นรัศมีภายนอกพื้นผิวซึ่งจะทำให้สามารถหาภาคตัดขวางได้ โดยเงื่อนไขขอบที่ใช้คือเงื่อนไขที่เป็นความต่อเนื่องของอนุพันธ์ล็อการิทึมของ  $u_0$  ที่ขอบ (หรือพื้นผิวนิวเคลียส) และนิยามความต่อเนื่องของอนุพันธ์ล็อการิทึม  $f_0$  นี้ได้เป็น

$$f_0(r) = R \left( \frac{du_0 / dr}{u_0} \right)_{r=R} = R \left( \frac{d(\ln u_0)}{dr} \right) \quad (\text{A.49})$$

ซึ่งเมื่อแทน  $u_0$  จากสมการ (A.48) ลงไปแล้วจะมีรูปแบบเป็น

$$f_0 = kR \cot(kR + \delta_0) \quad (\text{A.50})$$

สมการนี้อาจเขียนได้ใหม่ในรูปแบบ

$$f_0 = -ikR \left\{ \frac{e^{-2ikR} + \eta_0}{e^{-2ikR} - \eta_0} \right\}$$

เมื่อ  $\eta_0 = e^{2i\delta_0}$  หรือจัดเรียงเสียใหม่เป็น

$$\eta_0 = e^{2i\delta_0} = \frac{f_0 + ikR}{f_0 - ikR} e^{-2ikR} \quad (\text{A.51})$$

ดึงตรงนี้เราสามารถคำนวณหาภาคตัดขวางการกระเจิงและภาคตัดขวางปฏิกิริยาโดยใช้สมการ (A.40) และ (A.41) เข้าช่วย ซึ่งรูปแบบของสมการทั้งสองที่มี  $l=0$  จะเป็น

$$\sigma_{s,0} = \pi \hat{\lambda}^2 |1 - \eta_0|^2 \quad (\text{A.52})$$

และ

$$\sigma_{r,0} = \pi \hat{\lambda}^2 \left( 1 - |\eta_0|^2 \right) \quad (\text{A.53})$$

เมื่อแทน  $\eta_0$  ตามสมการ (A.51) ลงใน (A.52) จะได้ภาคตัดขวางการกระเจิงที่มี  $l=0$  เป็น

$$\begin{aligned} \sigma_{s,0} &= \pi \hat{\lambda}^2 \left| 1 - \frac{f_0 + ikR}{f_0 - ikR} e^{-2ikR} \right|^2 \\ &= \pi \hat{\lambda}^2 \left| e^{2ikR} - \frac{f_0 + ikR}{f_0 - ikR} \right|^2 \\ &= \pi \hat{\lambda}^2 \left| e^{2ikR} - 1 - \frac{f_0 + ikR}{f_0 - ikR} + 1 \right|^2 \\ &= \pi \hat{\lambda}^2 \left| \frac{-2ikR}{f_0 - ikR} + e^{2ikR} - 1 \right|^2 \\ &= \pi \hat{\lambda}^2 |A_{res} + A_{pol}|^2 \end{aligned} \quad (\text{A.54})$$

เมื่อ

$$A_{res} = \frac{-2ikR}{f_0 - ikR} \quad (\text{A.55})$$

และ

$$A_{pol} = e^{2ikR} - 1 \quad (\text{A.56})$$

จะเรียก  $A_{res}$  ว่าเป็น แอมเพลจุดการกระเจิงเรโซนэнซ์ (resonance scattering-amplitude) หรือ

แอนพลิจูดการกระเจิงภายใน (internal scattering-amplitude) เพราะการกระเจิงเร โฉmannซ์เกิดขึ้นภายในนิวเคลียส และจะเรียก  $A_{pol}$  ว่าเป็นแอนพลิจูดการกระเจิงศักย์ทรงกลมแข็ง (hard-sphere potential scattering-amplitude)

ถึงตรงนี้เราจะพิจารณาการกระเจิงโดยศักย์ทรงกลมแข็งหรือการกระเจิงแบบยึดหยุ่น สัณฐาน (shape-elastic scattering) แทรกเข้ามา การกระเจิงแบบนี้อนุภาคทั้งหมดจะกระเจิงที่ภายนอกนิวเคลียส ด้วยเหตุที่ว่าไม่มีอนุภาคทะลุเข้าไปในนิวเคลียสได้เลย ที่พื้นผิวหรือขอบของนิวเคลียสซึ่งมี  $u_0(r) = 0$  และ  $f_0 = \infty$  มีผลให้  $A_{res} = 0$  ดังนั้นภาคตัดขวางการกระเจิง  $\sigma_{r,0}$  ขึ้นอยู่เฉพาะกับ  $A_{pol}$  แต่เพียงอย่างเดียวเท่านั้น

สำหรับภาคตัดขวางปฏิกิริยาที่จะหาได้โดยวิธีเดียวกันคือแทน  $\eta_0$  จากสมการ (A.51) ลงใน (A.53) ซึ่งจะได้

$$\sigma_{r,0} = \pi\lambda^2 \frac{-4kR \operatorname{Im} f_0}{(\operatorname{Re} f_0)^2 + (\operatorname{Im} f_0 - kR)^2} \quad (\text{A.57})$$

เมื่อ  $\operatorname{Re} f_0$  และ  $\operatorname{Im} f_0$  เป็นส่วนจริงและส่วนจินตภาพของ  $f_0$  ตามลำดับ (หมายเหตุ: ถ้า  $f_0$  เป็นจำนวนจริงแล้ว  $\delta_0$  จะเป็นจำนวนจริง และจะมีเฉพาะการกระเจิงเท่านั้นโดยไม่มีปฏิกิริยา (หรือการคูคคลื่น) หรือในทางกลับกันถ้า  $\sigma_{r,0} \neq 0$  แล้ว  $f_0$  จะต้องมีส่วนจินตภาพ)

เพราะว่าภาคตัดขวางปฏิกิริยาเป็นปริมาณที่ต้องเป็นบวกเสมอ,  $\sigma_{r,0} \geq 0$ , ดังนั้นส่วนจินตภาพของอนุพันธ์ลอการิทึม  $f_0$  จะต้องเป็นลบ

$$\operatorname{Im} f_0 \leq 0 \quad (\text{A.58})$$

ซึ่งจะเห็นได้จากสมการ (A.53) เมื่อกำหนดให้  $|\eta_0|^2 \leq 1$

### ก.3 การหาภาคตัดขวางจากการใช้เงื่อนไขที่พื้นผิวนิวเคลียส, กรณีทั่วไป (The Determination of Cross Sections from the Conditions at the Nuclear Surface., General Case.)

ที่กล่าวมาในหัวข้อ A.2 เป็นเพียงกรณีพิเศษกรณีหนึ่งเท่านั้น ซึ่งอนุภาคตัดขวางเป็นนิวตรอนที่ไม่มีประจุและมีโมเมนตัมเชิงบวก  $l=0$  จึงไม่มีศักย์คูลอมบ์และศักย์หนีศูนย์กลางมา

เกี่ยวข้อง สำหรับกรณีที่ว่าไป ซึ่งอนุภาคมีไมเมนตัมเชิงบุม  $l$  และ (หรือ) มีประจุ การหาภาคตัดขวางจะกระทำดังต่อไปนี้

ฟังก์ชันคลื่น  $\psi(r)$  ที่สมนัยกับการเคลื่อนที่สัมพัทธ์ของอนุภาค  $a$  และนิวเคลียสเป้า  $X$  จะอยู่ในรูปสมการคลื่นเดิมรูปดัง

$$\nabla^2 \psi + \left[ k^2 - \frac{2M}{\hbar^2} V(r) \right] \psi = 0 \quad (\text{A.59})$$

เมื่อ  $M$  เป็นมวลคงในแซนแนล และ  $V(r)$  เป็นพลังงานศักย์ของ  $a$  และ  $X$  ที่อยู่ห่างกัน  $r > R$  ฟังก์ชันคลื่นร่วม  $u(r)$  ของสมการ (A.59) นี้จะยังคงเป็นไปตามนิยามในสมการ (A.46) ซึ่งเมื่อแทนสมการ (A.46) ลงใน (A.59) จะได้

$$\frac{d^2 u_l}{dr^2} + \left[ k^2 - \frac{l(l+1)}{r^2} - \frac{2M}{\hbar^2} V(r) \right] u_l(r) = 0 \quad (\text{A.60})$$

พลังงานศักย์  $V(r)$  ที่ปรากฏในสมการนั้นเป็นพลังงานศักย์คูลอมบ์

$$V(r) = \frac{Z_a Z_X e^2}{r} \quad (\text{A.61})$$

เมื่อ  $Z_a$  และ  $Z_X$  เป็นประจุของอนุภาค  $a$  และนิวเคลียสเป้า  $X$  ตามลำดับ ผลเฉลยของสมการ (A.60) นี้ จะจัดระเบียบให้อยู่ในรูปแบบผลบวกเชิงเส้น (linear combination) ของผลเฉลยสมำเสมอ (regular solution)  $F_l(r)$  และผลเฉลยไม่สมำเสมอ (irregular solution)  $G_l(r)$  ซึ่งมีนิยามดังต่อไปนี้  $F_l(r)$  เป็นฟังก์ชันจริง (real function) ที่สมนัยกับสมการ (A.60) และจะหายไปที่  $r = 0$ ,  $F_l(r)$  สำหรับนิวตรอนในพฤติกรรมเชิงเส้นกำกับจะเป็น

$$F_l(r) \cong \sin(kr - \frac{1}{2}l\pi) \quad \text{สำหรับนิวตรอน} \quad kr \gg l \quad (\text{A.62})$$

และสำหรับอนุภาคมีประจุ

$$F_l(r) \cong \sin[kr - \frac{1}{2}l\pi - \gamma \ln(2kr) + \sigma_l] \quad \text{สำหรับอนุภาคมีประจุ} \quad kr \gg l \quad (\text{A.63})$$

เมื่อ  $\gamma$  เป็นพารามิเตอร์ที่กำหนดความสำคัญของผลคูลอมบ์ (Coulomb effect) นีนิยามเป็น

$$\gamma = \frac{Z_a Z_X e^2}{\hbar v} \quad (\text{A.64})$$

v เป็นความเร็วในแนวนอน และ  $\sigma_l$  เป็นการเลื่อนเฟสคูลอนบ์ (Coulomb phase shift) ซึ่งเป็นตัวกำหนดการกระเจิงทางไฟฟ้าสถิต (การกระเจิงรัหเทอร์ฟอร์ด)  $\sigma_l$  มีนิยามเป็น

$$e^{2i\sigma_l} = \frac{(l+i\gamma)!}{(l-i\gamma)!} = \frac{(l+i\gamma)(l-1+i\gamma)\dots(l+i\gamma)}{(l-i\gamma)(l-1-i\gamma)\dots(l-i\gamma)} e^{2i\sigma_0} \quad (\text{A.65})$$

ส่วนผลเฉลยไม่สมำเสมอ  $G_l(r)$  ของสมการ (A.60) สำหรับนิวตรอนและอนุภาคมีประจุในพฤษกรรมเชิงเส้นกำกับจะเป็น

$$G_l(r) = \cos(kr - \frac{1}{2}l\pi) \quad \text{สำหรับนิวตรอน} \quad kr \gg l \quad (\text{A.66})$$

$$G_l(r) \cong \cos[kr - \frac{1}{2}l\pi - \gamma \ln(2kr) + \sigma_l] \quad \text{สำหรับอนุภาคมีประจุ} \quad kr \gg l \quad (\text{A.67})$$

ผลรวมของ (Wronskian combination) ของ  $G_l(r)$  และ  $F_l(r)$  ในรูปแบบเชิงเส้นกำกับที่  $r$  มีค่ามาก ๆ คือ

$$G_l\left(\frac{dF_l}{dr}\right) - F_l\left(\frac{dG_l}{dr}\right) = k \quad (\text{A.68})$$

สำหรับนิวตรอน [ $V(r) = 0$ ] ผลเฉลย  $F_l(r)$  และ  $G_l(r)$  สามารถเปลี่ยนให้อยู่ในพจน์ของฟังก์ชันเบสเซล (Bessel function) ได้คือ

$$F_l(r) = \left(\frac{\pi kr}{2}\right)^{1/2} J_{l+1/2}(kr) \quad (\text{A.69})$$

$$G_l(r) = -\left(\frac{\pi kr}{2}\right)^{1/2} N_{l+1/2}(kr) \quad (\text{A.70})$$

ในทฤษฎีปฏิกิริยานิวเคลียร์ เราต้องการผลรวมเชิงเส้นของ  $F_l(r)$  และ  $G_l(r)$  ที่สอดคล้องกับคดีนั้นทรงกลมออกและคดีนั้นทรงกลมเข้า เราจึงนิยาม  $u_l^{(+)}(r)$  และ  $u_l^{(-)}(r)$  ให้เป็น

$$\begin{aligned} u_l^{(+)}(r) &\equiv G_l(r) + iF_l(r) && \text{สำหรับนิวตรอน} \\ u_l^{(+)} &\equiv e^{-i\sigma_l} [G_l(r) + iF_l(r)] && \text{สำหรับอนุภาคมีประจุ} \quad (\text{A.71}) \\ u_l^{(-)}(r) &= \text{complex conjugate of } u_l^{(+)}(r) \end{aligned}$$

สำหรับนิวตรอนที่มี  $l=0$

$$u_0^{(+)}(r) = e^{ikr}$$

และในกรณีทั่วไป (ในพฤษตกรรมเชิงเส้นกำกับ)

$$u_l^{(+)}(r) \cong e^{i(kr - \frac{1}{2}l\pi)}, \quad kr \gg l \quad (\text{A.72})$$

ฟังก์ชันคลื่นรัศมี  $u_l(r)$  สามารถเขียนได้ในรูปแบบ

$$u_l(r) \equiv Au_l^{(-)}(r) + Bu_l^{(+)}(r) \quad (\text{A.73})$$

ค่าคงตัว  $A$  และ  $B$  หาได้จากการเปรียบเทียบกับสมการ (A.33) ซึ่งเป็นฟังก์ชันคลื่นที่ระยะห่าง  $r$  มาก ๆ จะได้ค่าเป็น

$$A = i^{l+1} (2l+1)^{1/2} \frac{\sqrt{\pi}}{k}, \quad B = -\eta_l A \quad (\text{A.74})$$

ปริมาณ  $\eta_l$  จะต้องต่อเนื่องที่ผิวของนิวเคลียส เพราะจะนั่นอนุพันธ์ลอกาลิทึมของฟังก์ชันคลื่น  $u_l(r)$ ,  $f_l$  ที่ขอบของนิวเคลียสจะเป็น

$$f_l \equiv R \left[ \frac{du_l / dr}{u_l} \right]_{r=R} \quad (\text{A.75})$$

เพื่อให้นิพจน์  $\eta_l$  อยู่ในพจน์ของ  $f_l$  เราจะแนะนำปริมาณ  $\Delta_l$  และ  $s_l$  ซึ่งเป็นจำนวนจริง และ นิยามปริมาณทั้งสองโดยต่อไปนี้

$$R \left[ \frac{du_l^{(+)} / dr}{u_l^{(+)}} \right]_{r=R} \equiv \Delta_l + is_l \quad (\text{A.76})$$

$\Delta_l$  และ  $s_l$  ขึ้นกับเลขคณิต  $k$ , รัศมีแฟชันเนล  $R$ , โนเมนตัมเชิงมุม  $l$ , และพารามิเตอร์ประจุ  $\gamma$  ตามสมการ (A.64) เมื่อเปรียบเทียบสมการ (A.71) และ (A.76) จะได้ความสัมพันธ์ระหว่าง  $\Delta_l$  และ  $s_l$  กับ  $F_l(r)$  และ  $G_l(r)$  เป็น

$$\Delta_l = R \left[ \frac{G_l(dG_l / dr) + F_l(dF_l / dr)}{G_l^2 + F_l^2} \right]_{r=R} \quad (\text{A.77})$$

$$s_l = R \left[ \frac{G_l(dF_l/dr) - F_l(dG_l/dr)}{G_l^2 + F_l^2} \right]_{r=R} \quad (\text{A.78})$$

นิพจน์ที่เป็นตัวเศษทางด้านขวาของสมการ (A.78) เท่ากับ  $k$  ตามสมการ (A.68) ส่วนนิพจน์  $G_l^2 + F_l^2$  ที่เป็นตัวส่วนจะมีค่าเป็น 1 ถ้าอนุภาคตกระบบที่มี  $l=0$  และจะมีค่ามากกว่า 1 ถ้า  $l \neq 0$  และ (หรือ) เป็นอนุภาคมีประจุ เนื่องจากนิพจน์นี้จำเป็นต้องใช้อู่บอย ๆ เพื่อความสะดวกเราจะจัดกำหนดปริมาณ  $v_l$  ขึ้นมาใหม่

$$v_l \equiv \frac{1}{G_l^2(R) + F_l^2(R)} \quad (\text{A.79})$$

ถ้า  $v_l << 1$  จะมีนัยว่าอนุภาค  $a$  "ไม่สามารถทะลุพื้นผิวฝ่าเข้าไปในนิวเคลียสได้" และจะเป็นการเข้าไปสู่ อันตรกิริยานิวเคลียร์อย่างอ่อน ๆ (weak nuclear interaction) ด้วยเหตุนี้เราจึงเรียก  $v_l$  ว่า เป็น ตัวประกอบการทะลุผ่าน (penetration factor)

ปริมาณ  $s_l$  ในสมการ (A.78) เมื่อเปลี่ยนให้อยู่ในพจน์ของตัวประกอบการทะลุผ่าน  $v_l$  และเลขค่า  $k$  จะได้เป็น

$$s_l = kRv_l \quad (\text{A.80})$$

เราต้องการทราบเพสของ  $u_l^{(-)}(r)$  ที่  $r = R$  ด้วย เราจึงนิยามค่าคงตัวเฟส (phase constant)  $\xi_l$  ขึ้นมาเป็น

$$e^{2i\xi_l} = \frac{u_l^{(-)}(R)}{u_l^{(+)}(R)} = \frac{G_l(R) - iF_l(R)}{G_l(R) + iF_l(R)} e^{2i\sigma_l} \quad (\text{A.81})$$

เมื่อ  $\sigma_l = 0$  สำหรับกรณีที่เป็นนิวตรอน และมีค่าตามที่กำหนดให้ในสมการ (A.65) ในกรณีของอนุภาคมีประจุ

สำหรับกรณีกับนิวตรอน  $\xi_l$  จะมีค่าสัมบูรณ์ลดลงตาม  $v_l$  และมีค่าใกล้ศูนย์เมื่อ  $v_l$  มีค่าต่ำมาก ๆ ค่าจำกัดของ  $\xi_l$  ในกรณีพลังงานสูง ( $v_l$  ใกล้ 1,  $kr \gg l$ ) และในกรณีพลังงานต่ำ ( $v_l$  ใกล้ 0,  $kR \ll l$ ) คือ [เราให้สัญกรณ์  $(2l+1)!! = 1 \times 3 \times 5 \times \dots \times (2l+1)$ ]

$$\begin{aligned} kR >> l; \quad \xi_l &\cong -(kR - \frac{1}{2}l\pi) & \text{สำหรับนิวตรอน} \\ kR << l; \quad \xi_l &\cong \frac{(kR)^{2l+1}}{(2l-1)!!(2l+1)!!} & (\text{A.82}) \end{aligned}$$

แต่สำหรับกรณีอนุภาคมีประจุ ค่าจำพวกของ  $\eta_l$  ที่พลังงานสูง ( $\eta_l$  ใกล้ 1,  $kR \gg l$ ) จะมีค่า เห็นเดียวกับสมการ (A.82) แต่ที่พลังงานต่ำ ( $\eta_l$  ใกล้ 0,  $kR \ll R$ ) ค่า  $\xi_l$  จะมีค่าใกล้เดียวกับการ เลื่อนเฟสคูลอนน์  $\sigma_l$  ในสมการ (A.65)

ความสัมพันธ์ระหว่าง  $\eta_l$  และค่าอนุพันธ์ลอการิทึม (logarithmic derivative)  $f'_l$  ที่ขอบ ของนิวเคลียสหาได้โดยการแทนสมการ (A.73) และค่าคงตัวในสมการ (A.74) ลงในสมการ (A.75) ที่เป็นนิยามของ  $f'_l$  และขัดสมการที่ได้เสียใหม่ จะได้ความสัมพันธ์เป็นแบบ

$$\eta_l = \frac{f_l - \Delta_l + is_l}{f_l - \Delta_l - is_l} e^{2i\xi_l} \quad (\text{A.83})$$

ในกรณีที่เป็นอนุภาคนิวตรอนและมี  $l=0$  สมการ (A.83) จะลดรูปเป็นสมการ (A.51)

เพราะว่า  $|\eta_l|^2 \leq 1$  และตามสมการ (A.40) ภาคตัดขวางการกระเจิงจะมีค่าสูงสุดต่อเมื่อ  $\eta_l = -1$  เสื่อนไหเหล่านี้จะบังคับให้  $f'_l$  ในสมการ (A.83) มีค่าเป็น

$$f'_l = \Delta_l + s_l \tan \xi_l \quad (\text{สำหรับ } \eta_l = -1) \quad (\text{A.84})$$

เราอาจคำนวณหาภาคตัดขวางการกระเจิงและภาคตัดขวางปฏิกริยาได้จากการแทน  $\eta_l$  จากสมการ (A.83) ลงไปในสมการ (A.40) และ (A.41) ตามลำดับ ภาคตัดขวางการกระเจิงที่ได้ จะเป็น

$$\sigma_{s,l} = (2l+1)\pi\lambda^2 \left| A_{res}^l + A_{pol}^l \right|^2 \quad (\text{A.85})$$

เมื่อแอนเพลจูดการกระเจิงเร ไซแนนซ์ และแอนเพลจูดการกระเจิงศักย์ทรงกลมแข็ง เป็น

$$A_{res}^l = \frac{-2is_l}{(\text{Re } f_l - \Delta_l) + i(\text{Im } f_l - s_l)} \quad (\text{A.86})$$

$$A_{pol}^l = e^{-2i\xi_l} - 1 \quad (\text{A.87})$$

เมื่อ  $\text{Re } f_l$  และ  $\text{Im } f_l$  เป็นส่วนจริงและส่วนจินตภาพของ  $f_l$  ตามลำดับ ถ้าหากว่าอนุภาคที่ ตกกระแทกเป็นนิวตรอนที่มี  $l=0$  สมการทั้งสองนี้จะลดรูปเป็นสมการ (A.55) และ (A.56) ส่วน ภาคตัดขวางปฏิกริยาที่ได้จะเป็น

$$\sigma_{r,l} = (2l+1)\pi\lambda^2 \frac{-4s_l \text{Im } f_l}{(\text{Re } f_l - \Delta_l)^2 + (\text{Im } f_l - s_l)^2} \quad (\text{A.88})$$

เราอาจสรุปได้จากสมการ (A.88) นี้ว่าส่วนจินตภาพของ  $f_l$  จะต้องเป็นลบหรือศูนย์ ยิ่งกว่านั้น  $s_l$

ที่อยู่ในตัวเลขของเศษส่วนในสมการนั้นเป็นข้อพิสูจน์ได้อย่างคือว่าการมีค่าต่ำลงของตัวประกอบการทะลุผ่าน  $\eta_l$  (ทำให้ค่า  $s_l$  ตามสมการ (A.80) มีค่าต่ำลง) จะทำให้ภาคตัดขวางปฏิกริยามีค่าต่ำลงด้วย

#### ก.4 การแจกแจงเชิงมุมของอนุภาคที่กระเจิงแบบยืดหยุ่น (The Angular Distribution of Elastically Scattered Particles.)

ถ้าหากเราใช้  $\eta_l$  จากสมการ (A.83) กับสมการ (A.35) และ (A.7) จะได้ภาคตัดขวางการกระเจิงที่ขึ้นกับมุม อยู่ในพจน์ของ  $A_{res}^l$  และ  $A_{pol}^l$  เป็น

$$d\sigma_s(\theta) = \pi \lambda^2 \left| \sum_{l=0}^{\infty} \sqrt{2l+1} e^{2i\xi_l} (A_{res}^l + A_{pol}^l) Y_{l,0}(\theta) \right|^2 d\Omega \quad (\text{A.89})$$

ถ้า  $A_{res}^l = 0$  สมการ (A.89) จะให้ภาคตัดขวางการกระเจิงที่ขึ้นกับมุมแบบเป็นการสะท้อนออกมาจากศักย์ทรงกลมที่ห่อหุ้มนิวเคลียสอยู่ (หรือการกระเจิงศักย์ทรงกลมแท้) ภาคตัดขวางของการกระเจิงที่เป็นผลจากภายในนิวเคลียสจะแฟงอยู่ในพจน์ของ  $A_{res}^l$  และที่เป็นผลจากภายนอกนิวเคลียสจะแฟงอยู่ในพจน์ของ  $A_{pol}^l$  โดยพจน์ทั้งสองนี้รวมกันอยู่อย่างอาพาธน์ดังนั้นจึงมีพจน์ของการแทรกสอดระหว่างกันอยู่ด้วย (หมายเหตุ: คลื่นที่กระเจิงออกมานากันนิวเคลียสจะแทรกสอดกับคลื่นที่กระเจิงออกมานากภายในนิวเคลียส)

ในกรณีอนุภาคตัดกระทบเป็นอนุภาคมีประจุ สมการ (A.89) จะบรรจุการกระเจิงอันเนื่องมาจากสนามคูลโอมบ์ของนิวเคลียสอยู่ด้วย การกระเจิงเฉพาะกับศักย์คูลโอมบ์แต่เพียงอย่างเดียวเนื่องจากมีลักษณะเหมือนกับการกระเจิงโดยศักย์ทรงกลมแท้ที่สนามห่อหุ้มเป็นสนามคูลโอมบ์ และการกระเจิงที่บวิเวณห่างนิวเคลียสซึ่งมุมกระเจิงเกบจะมีลักษณะสอดคล้องกับการกระเจิงแบบรัทเทอร์ฟอร์ด และจะแตกต่างไปเมื่อการกระเจิงเกิดในบริเวณใกล้นิวเคลียส ซึ่งมุมกระเจิงกว้าง

ในกรณีของการกระเจิงของอนุภาคมีประจุนี้ อนุกรมในสมการ (A.89) จะมีลักษณะถูกเข้า เพราะทุกพจน์ได้มาจากการกระเจิงคูลโอมบ์ ดังนั้นนิพจน์ของภาคตัดขวางจึงใช้นิพจน์สมมูลย์ (equivalent expression) ซึ่งมีส่วนหลักของแอนพลิจูดของการกระเจิงเป็นการกระเจิงแบบรัทเทอร์ฟอร์ดอย่างบริสุทธิ์ (pure Rutherford scattering) และนิพจน์ที่ซึ่งไม่แยกแต่ละค่า  $l$  ออกมาก็จะเป็น

$$d\sigma_s(\theta) = \left| \frac{Z_a Z_x e^2}{2Mv^2} \operatorname{cosec}^2\left(\frac{1}{2}\theta\right) e^{-2i\gamma \ln \sin\left(\frac{1}{2}\theta\right)} - i\lambda \sqrt{\pi} \sum_{l=0}^{\infty} \sqrt{2l+1} e^{2i\sigma_l - 2i\sigma_0} \times \left\{ 1 - e^{2i\xi_l - 2i\sigma_l} [1 - A'_{res}] \right\} Y_{l,0}(\theta) \right|^2 d\Omega \quad (\text{A.90})$$

พร้อมกับสูตรสำรองคือ

$$e^{2i\sigma_l - 2i\sigma_0} = \frac{(l+i\gamma)(l-1+i\gamma)\dots(l+i\gamma)}{(l-i\gamma)(l-1-i\gamma)\dots(l-i\gamma)} \quad (\text{A.91a})$$

และ

$$e^{2i\xi_l - 2i\sigma_l} = \frac{G_l(R) - iF_l(R)}{G_l(R) + iF_l(R)} \quad (\text{A.91b})$$

เมื่อ  $F_l$  และ  $G_l$  เป็นฟังก์ชันคลื่นคู่ล้อมบ์สมำเสมอ และไม่สมำเสมอ ตามลำดับ

## ก.5 ทฤษฎีบทส่วนกลับของปฏิกิริยานิวเคลียร์ (The Reciprocity

### Theorem for Nuclear Reaction)

ได้เคยกล่าวมาแล้วในตอนต้นว่า แทนแทน  $\alpha$  เพียงแทนแทนเดียวอาจให้แทนแทนออกได้หลายแทนแทน ต่าง ๆ กัน โดยโอกาสที่จะเป็นแทนแทนใด ๆ นั้นถูกรวบอยู่ในภาคตัดขวางปฏิกิริยา  $\sigma_r(\alpha)$  เราจะให้รายละเอียดบางประการในเรื่องนี้เป็นการเพิ่มเติมในต่อไปนี้ ถ้าพิจารณาให้แทนแทนเข้า  $\alpha$  ทำให้เกิดแทนแทนออก  $\beta$  และให้  $\sigma(\alpha, \beta)$  เป็นภาคตัดขวางของการมีแทนแทนเข้าเป็น  $\alpha$  และมีแทนแทนออกเป็น  $\beta$  แล้ว ภาคตัดขวางปฏิกิริยา  $\sigma_r(\alpha)$  ในแทนแทน  $\alpha$  จะกำหนดให้โดย

$$\sigma_r(\alpha) = \sum_{\beta \neq \alpha} \sigma(\alpha, \beta) + \sigma_c(\alpha) \quad (\text{A.92})$$

ในนิพจน์ทางความเชื่อของสมการ พจน์แรกเป็นการรวมแต่ละภาคตัดขวางที่ให้แทนแทนออก  $\beta$  ต่าง ๆ กัน ส่วนพจน์ที่สอง  $\sigma_c(\alpha)$  เป็นภาคตัดขวางของการถูกจับไว้ในนิวเคลียสของอนุภาค  $\alpha$  โดยนิวเคลียสมิได้มีการขยายอนุภาคอื่นใดออกมา พิจารณาปฏิกิริยาสองปฏิกิริยา ที่เป็นไปในทางตรงข้ามกันหรือกลับกัน ดังนี้

$$a_{\alpha'} + X_{\alpha'} = Y_{\beta'} + b_{\beta'}$$

$$b_{\beta'} + Y_{\beta'} = X_{\alpha'} + a_{\alpha'}$$

โดยที่  $\sigma(\alpha, \beta)$  เป็นภาคตัดขวางของสมการแรก และ  $\sigma(\beta, \alpha)$  เป็นของสมการที่สอง ซึ่งภาคตัดขวางทั้งสองนี้ตรงข้ามกัน หรือกลับกันเข่นเดียวกับสมการทั้งสอง ความสัมพันธ์อย่างกว้าง ๆ ของสองภาคตัดขวางนี้จะขึ้นกับความยาวคลื่น  $\lambda_\alpha$  ของแท่งเนล  $\alpha$  และ  $\lambda_\beta$  ของแท่งเนล  $\beta$  จะเป็นดังต่อไปนี้

$$\frac{\sigma(\alpha, \beta)}{\lambda_\alpha^2} = \frac{\sigma(\beta, \alpha)}{\lambda_\beta^2} \quad (\text{A.93})$$

$\lambda_\alpha$  และ  $\lambda_\beta$  มีนิยามตามสมการ  $1/\lambda_\alpha = k_\alpha = (2M_\alpha \varepsilon_\alpha)^{1/2}/\hbar$  และ  $1/\lambda_\beta = k_\beta = (2M_\beta \varepsilon_\beta)^{1/2}/\hbar$  ที่เคยผ่านมาแล้วในบทนี้

ถ้าการพิจารณาปฏิกิริยาเฉพาะจงลง ไปถึงทิศทางสัมพันธ์ของอนุภาคตกรอบและอนุภาคระเด็นออกด้วย เราจะกำหนดภาคตัดขวางเชิงอนุพันธ์  $\sigma(A, B)$  ขึ้นมา และมีนิยามตามสมการ

$$\sigma(A, B) = \sigma(\alpha; \beta, \theta, \phi) d\Omega \quad (\text{A.94})$$

ซึ่งนิยามให้เป็นภาคตัดขวางของปฏิกิริยาที่อนุภาคตกรอบ  $a$  เคลื่อนที่เข้ามาในทิศทางบนันกับแกน  $z$  และอนุภาคตกรอบ  $b$  เคลื่อนที่ออกไปภายในมุมด้านบ่อย  $d\Omega$  ซึ่งทิศทางของ  $b$  จะกำหนดโดยมุมเชิงข้าม (polar angle)  $\theta$  และ  $\phi$  เมื่อ  $\sigma(A, B)$  มีนิยามดังสมการ (A.94) ส่วนกลับของ  $\sigma(A, B)$  ก็จะเป็น

$$\sigma(-A, -B) = \sigma(\beta, \theta, \phi; \alpha) d\Omega \quad (\text{A.95})$$

ซึ่งเป็นภาคตัดขวางของปฏิกิริยาตรงข้าม หรือปฏิกิริยากลับกัน โดยอนุภาคตกรอบ  $b$  จะเข้ามาในทิศทาง  $\theta, \phi$  และอนุภาคตกรอบ  $a$  กระเด็นออกไปในทิศทางบนันกับแกน  $-z$  ความสัมพันธ์ระหว่าง  $\sigma(A, B)$  และ  $\sigma(-A, -B)$  จะคล้ายกับสมการ (A.93) คือ

$$\frac{\sigma(A, B)}{\lambda_\alpha^2} = \frac{\sigma(-B, -A)}{\lambda_\beta^2} \quad (\text{A.96})$$

หมายเหตุ:  $\int \sigma(\alpha; \beta, \theta, \varphi) d\Omega = \sigma(\alpha, \beta)$  และ  $\int \sigma(\beta, \theta, \varphi; \alpha) d\Omega = \sigma(\beta, \alpha)$

ความสัมพันธ์ในสมการ (A.93) และ (A.96) นี้เรียกว่า ทฤษฎีบทส่วนกลับ (reciprocity) ของปฏิกิริยานิวเคลียร์ ทฤษฎีบทนี้ได้แสดงให้เห็นการเชื่อมโยงกันระหว่างภาคตัดขวางของ

ปฏิกริยาที่ตรงข้ามกัน

บรรณานุกรม

1. A.P. Arya, *Fundamentals of Nuclear Physics*, Allyn and Bacon, Boston, 1968.
2. J.M. Blatt and V.F. Weisskopf, *Theoretical Nuclear Physics*, John Wiley & Sons, New York, 1952.
3. B.H. Bransden and C.J. Joachain, *Introduction to Quantum Mechanics*, Longman, Hong Kong, 1990.
4. W.E. Burcham and Jobes, *Nuclear and Particle Physics*, Longman, Singapore, 1995.
5. H.A. Enge, *Introduction to Nuclear Physics*, Addison-Wesley, Reading, Massachusetts, 1967.
6. R.D. Evans, *The Atomic Nucleus*, McGraw-Hill, New York, 1955.
7. E.S. Green, *Nuclear Physics*, McGraw-Hill, New York, 1955.
8. S. Gasiorowicz, *Quantum Physics*, John Wiley & Sons, New York, 1974.
9. N.A. Jelley, *Fundamentals of Nuclear Physics*, Cambridge University, Cambridge, 1990.
10. W.E. Meyerhof, *Elements of Nuclear Physics*, McGraw-Hill, New York, 1989.
11. D. Park, *Introduction to Quantum Theory* (third edition), Mc Graw-Hill, Inc., Singapore, 1992.
12. S.M. Wong, *Introductory Nuclear Physics*, Plentice-Hall, New Jersey, 1990.

# ภาคผนวก ๖

## ตารางแสดงสมบัติของนิวเคลียส

### (TABLE OF NUCLEAR PROPERTIES)

ตารางต่อไปนี้ แสดงสมบัตินางประการของแต่ละไอโซโทปที่เลือกสรรมาเฉพาะพวกที่เสถียรและพวกที่มีอายุยาว มวลอะตอม (atomic mass) และสpin-ภาวะคู่หรือคี่ (spin-parity) ที่ปรากฏในตารางเป็นค่าที่สถานะพื้น ในไอโซโทปเสถียรจะแสดงเฉพาะค่าความอุดมสมบูรณ์ (abundance) ส่วนไอโซโทปกัมมันตรังสีจะแสดงค่าครึ่งชีวิต (half-life) และวิธีการถ่ายตัว (decay-mode) แบบหลัก ๆ [ $\varepsilon$  - การจับอิเล็กตรอน (electron capture);  $\beta^-$  - การถ่ายตัวให้นีต้าลบ (beta decay);  $\alpha$  - การถ่ายตัวให้แอดฟ้า (alpha decay);  $f$  - การแบ่งแยกตัวแบบเกิดเอง (spontaneous fission)] มวลของแต่ละไอโซโทปเป็นมวลของอะตอมที่เป็นกลางทางประจุที่ประมวลหามาใน ค.ศ. 1983 : A.H. Wapstra and G. Audi, *Nucl. Phys.* A432, 1(1985). ความไม่แน่นอนของค่ามวลโดยทั่วไปอยู่ที่  $10^{-5}$  u (หรือ  $10^{-4}$  u สำหรับบางกรณีที่ห่างจากเสถียรภาพ) ส่วนค่าความไม่แน่นอนของความอุดมสมบูรณ์และครึ่งชีวิตโดยทั่วไปอยู่ที่ระดับของความแปรปรวนของตัวเลขตัวสุดท้ายหรือต่ำกว่า (ตารางคัดลอกมาจาก K.S. Krane, *Introductory Nuclear Physics*, John Wiley & Sons, Singapore, 1988, p. 822-833)

Z	A	Abundance				Z	A	Abundance			
		Atomic mass (u)	$J^\pi$	or	Half-life			Atomic mass (u)	$J^\pi$	or	Half-life
H	1	1.007825	$\frac{1}{2}^+$	99.985%			10	10.012937	$3^+$	19.8%	
	2	2.014102	$1^+$	0.015%			11	11.009305	$\frac{3}{2}^-$	80.2%	
	3	3.016049	$\frac{1}{2}^+$	12.3 y ( $\beta^-$ )			12	12.014353	$1^+$	20.4 ms ( $\beta^-$ )	
He	2	3.016029	$\frac{1}{2}^+$	$1.38 \times 10^{-4}\%$			13	13.017780	$\frac{3}{2}^-$	17.4 ms ( $\beta^-$ )	
	4	4.002603	$0^+$	99.99986%			C	6	9	9.031039	$\frac{1}{2}^-$
Li	3	6.015121	$1^+$	7.5%			10	10.016856	$0^+$	19.2 s ( $\varepsilon$ )	
	7	7.016003	$\frac{3}{2}^-$	92.5%			11	11.011433	$\frac{3}{2}^-$	20.4 m ( $\varepsilon$ )	
	8	8.022486	$2^+$	0.84 s ( $\beta^-$ )			12	12.000000	$0^+$	98.89%	
Be	4	7.016928	$\frac{1}{2}^-$	53.3 d ( $\varepsilon$ )			13	13.003355	$\frac{1}{2}^-$	1.11%	
	8	8.005305	$0^+$	0.07 fs ( $\alpha$ )			14	14.003242	$0^+$	5730 y ( $\beta^-$ )	
	9	9.012182	$\frac{3}{2}^-$	100 %			15	15.010599	$\frac{1}{2}^+$	2.45 s ( $\beta^-$ )	
	10	10.013534	$0^+$	1.6 My ( $\beta^-$ )			N	7	12	12.018613	$1^+$
B	11	11.021658	$\frac{1}{2}^+$	13.8 s ( $\beta^-$ )			13	13.005739	$\frac{1}{2}^-$	9.96 m ( $\varepsilon$ )	
	8	8.024606	$2^+$	0.77 s ( $\varepsilon$ )			14	14.003074	$1^+$	99.63%	
	9	9.013329	$\frac{3}{2}^-$	0.85 as ( $\alpha$ )			15	15.000109	$\frac{1}{2}^-$	0.366%	
							16	16.006100	$2^-$	7.13 s ( $\beta^-$ )	

	Z	A	Abundance			Abundance			
			Atomic mass (u)	I <sup>*</sup>	or Half-life	Atomic mass (u)	I <sup>*</sup>	or Half-life	
O	17	17.008450	$\frac{1}{2}^-$	4.17 s ( $\beta^-$ )		26	25.986892	5 <sup>+</sup> 0.72 My ( $\epsilon$ )	
	18	18.014081	1 <sup>-</sup>	0.63 s ( $\beta^-$ )		27	26.981539	$\frac{3}{2}^+$ 100 %	
	8	14	14.008595	0 <sup>+</sup>	71 s ( $\epsilon$ )	28	27.981910	3 <sup>+</sup> 2.24 m ( $\beta^-$ )	
	15	15.003065	$\frac{1}{2}^-$	122 s ( $\epsilon$ )		29	28.980446	$\frac{5}{2}^+$ 6.6 m ( $\beta^-$ )	
	16	15.994915	0 <sup>+</sup>	99.76 %		30	29.982940	3 <sup>+</sup> 3.7 s ( $\beta^-$ )	
	17	16.999131	$\frac{5}{2}^+$	0.038 %		Si 14	26.992330	0 <sup>-</sup> 2.21 s ( $\epsilon$ )	
	18	17.999160	0 <sup>+</sup>	0.204 %		27	26.986704	$\frac{5}{2}^+$ 4.13 s ( $\epsilon$ )	
	19	19.003577	$\frac{5}{2}^+$	26.9 s ( $\beta^-$ )		28	27.976927	0 <sup>+</sup> 92.23 %	
	20	20.004076	0 <sup>+</sup>	13.5 s ( $\beta^-$ )		29	28.976495	$\frac{1}{2}^+$ 4.67 %	
	F	9	17	17.002095	$\frac{5}{2}^+$	64.5 s ( $\epsilon$ )	30	29.973770	0 <sup>+</sup> 3.10 %
	18	18.000937	1 <sup>+</sup>	110 m ( $\epsilon$ )		31	30.975362	$\frac{5}{2}^+$ 2.62 h ( $\beta^-$ )	
	19	18.998403	$\frac{1}{2}^+$	100 %		32	31.97-148	0 <sup>+</sup> 105 y ( $\beta^-$ )	
	20	19.999981	2 <sup>+</sup>	11 s ( $\beta^-$ )		33	32.997920	( $\frac{3}{2}^+$ ) 6.2 s ( $\beta^-$ )	
	21	20.999948	$\frac{5}{2}^+$	4.3 s ( $\beta^-$ )	P	15	28.981803	$\frac{1}{2}^+$ 4.1 s ( $\epsilon$ )	
	22	22.003030	(3, 4) <sup>+</sup>	4.2 s ( $\beta^-$ )		30	29.978307	1 <sup>+</sup> 2.50 m ( $\epsilon$ )	
	23	23.003600	( $\frac{1}{2}$ , $\frac{5}{2}$ ) <sup>+</sup>	2.2 s ( $\beta^-$ )		31	30.973762	1 <sup>+</sup> 100 %	
Ne	10	17	17.017690	$\frac{1}{2}^-$	0.11 s ( $\epsilon$ )		32	31.973907	1 <sup>+</sup> 14.3 d ( $\beta^-$ )
	18	18.005710	0 <sup>+</sup>	1.7 s ( $\epsilon$ )		33	32.971725	$\frac{1}{2}^+$ 25.3 d ( $\beta^-$ )	
	19	19.001880	$\frac{1}{2}^+$	17.3 s ( $\epsilon$ )		34	33.973636	1 <sup>+</sup> 12.4 s ( $\beta^-$ )	
	20	19.992436	0 <sup>+</sup>	90.51 %	S	16	30.984903	0 <sup>+</sup> 1.2 s ( $\epsilon$ )	
	21	20.993843	$\frac{1}{2}^+$	0.27 %		31	30.979554	$\frac{1}{2}^+$ 2.6 s ( $\epsilon$ )	
	22	21.991383	0 <sup>+</sup>	9.22 %		32	31.972071	0 <sup>+</sup> 95.07 %	
	23	22.994465	$\frac{5}{2}^+$	37.6 s ( $\beta^-$ )		33	32.971458	$\frac{3}{2}^+$ 0.75 %	
	24	23.993613	0 <sup>+</sup>	3.4 m ( $\beta^-$ )		34	33.967867	0 <sup>+</sup> 4.21 %	
	25	24.997690	( $\frac{1}{2}$ , $\frac{5}{2}$ ) <sup>+</sup>	0.60 s ( $\beta^-$ )		35	34.969032	$\frac{1}{2}^+$ 87.4 d ( $\beta^-$ )	
	Na	11	20	20.007344	2 <sup>+</sup>	0.45 s ( $\epsilon$ )	36	35.967081	0 <sup>+</sup> 0.017 %
	21	20.997651	$\frac{5}{2}^+$	22.5 s ( $\epsilon$ )		37	36.971126	$\frac{7}{2}^-$ 5.0 m ( $\beta^-$ )	
	22	21.994434	3 <sup>+</sup>	2.60 y ( $\epsilon$ )		38	37.971162	0 <sup>+</sup> 170 m ( $\beta^-$ )	
	23	22.989768	$\frac{3}{2}^+$	100 %	Cl 17	33	32.977452	$\frac{3}{2}^+$ 2.51 s ( $\epsilon$ )	
	24	23.990961	4 <sup>+</sup>	15.0 h ( $\beta^-$ )		34	33.973763	0 <sup>+</sup> 1.53 s ( $\epsilon$ )	
	25	24.989953	$\frac{5}{2}^+$	60 s ( $\beta^-$ )		35	34.968853	$\frac{3}{2}^+$ 75.77 %	
	26	25.992586	3 <sup>+</sup>	1.1 s ( $\beta^-$ )		36	35.968307	2 <sup>+</sup> 0.30 My ( $\beta^-$ )	
	27	26.993940	$\frac{5}{2}^+$	0.30 s ( $\beta^-$ )		37	36.965903	$\frac{3}{2}^+$ 24.23 %	
	Mg	12	21	21.011716	( $\frac{1}{2}$ , $\frac{5}{2}$ ) <sup>+</sup>	0.123 s ( $\epsilon$ )	38	37.968011	2 <sup>-</sup> 37.3 m ( $\beta^-$ )
		22	21.999574	0 <sup>+</sup>	3.86 s ( $\epsilon$ )		39	38.968005	$\frac{3}{2}^+$ 56 m ( $\beta^-$ )
		23	22.994124	$\frac{3}{2}^+$	11.3 s ( $\epsilon$ )		40	39.970440	2 <sup>-</sup> 1.35 m ( $\beta^-$ )
		24	23.985042	0 <sup>+</sup>	78.99 %		41	40.970590	( $\frac{1}{2}$ , $\frac{5}{2}$ ) <sup>+</sup> 31 s ( $\beta^-$ )
		25	24.985837	$\frac{5}{2}^+$	10.00 %	Ar 18	34	33.980269	0 <sup>+</sup> 0.844 s ( $\epsilon$ )
		26	25.982594	0 <sup>+</sup>	11.01 %		35	34.975256	$\frac{1}{2}^+$ 1.78 s ( $\epsilon$ )
		27	26.984341	$\frac{1}{2}^+$	9.46 m ( $\beta^-$ )		36	35.967546	0 <sup>+</sup> 0.337 %
		28	27.983877	0 <sup>+</sup>	21.0 h ( $\beta^-$ )		37	36.966776	$\frac{3}{2}^+$ 35.0 d ( $\epsilon$ )
		29	28.988480	$\frac{3}{2}^+$	1.4 s ( $\beta^-$ )		38	37.962732	0 <sup>+</sup> 0.063 %
Al	13	24	23.999941	4 <sup>+</sup>	2.07 s ( $\epsilon$ )		39	38.964314	$\frac{1}{2}^-$ 269 y ( $\beta^-$ )
		25	24.990429	$\frac{5}{2}^+$	7.18 s ( $\epsilon$ )		40	39.962384	0 <sup>+</sup> 99.60 %
							41	40.964501	$\frac{7}{2}^-$ 1.83 h ( $\beta^-$ )

Abundance				Abundance								
	Z	A	Atomic mass (u)	I*	or Half-life	Z	A	Atomic mass (u)	I*	or Half-life		
K	19	42	41.963050	0 <sup>+</sup>	33 y ( $\beta^-$ )	V	23	52	51.946898	0 <sup>+</sup>	1.7 m ( $\beta^-$ )	
		43	42.965670		5.4 m ( $\beta^-$ )			53	52.949730	( $\frac{1}{2}$ ) <sup>-</sup>	33 s ( $\beta^-$ )	
		44	43.965365	0 <sup>+</sup>	11.9 m ( $\beta^-$ )			46	45.960198	0 <sup>+</sup>	0.42 s ( $\epsilon$ )	
		37	36.973377	$\frac{3}{2}^+$	1.23 s ( $\epsilon$ )			47	46.954906	$\frac{1}{2}^-$	32.6 m ( $\epsilon$ )	
		38	37.969080	$\frac{3}{2}^+$	7.61 m ( $\epsilon$ )			48	47.952257	4 <sup>+</sup>	16.0 d ( $\epsilon$ )	
		39	38.963707	$\frac{3}{2}^+$	93.26%			49	48.948517	$\frac{1}{2}^-$	330 d ( $\epsilon$ )	
		40	39.963999	4 <sup>-</sup>	1.28 Gy ( $\beta^-$ )			50	49.947161	6 <sup>+</sup>	0.250%	
		41	40.961825	$\frac{3}{2}^+$	6.73%			51	50.943962	$\frac{1}{2}^-$	99.750%	
		42	41.962402	2 <sup>-</sup>	12.4 h ( $\beta^-$ )			52	51.944778	3 <sup>+</sup>	3.76 m ( $\beta^-$ )	
		43	42.960717	$\frac{1}{2}^-$	22.3 h ( $\beta^-$ )			53	52.944340	$\frac{1}{2}^-$	1.6 m ( $\beta^-$ )	
Ca	20	44.961560	2 <sup>-</sup>	22.1 m ( $\beta^-$ )	Cr	24	54	53.946442	(3, 4, 5) <sup>+</sup>	50 s ( $\beta^-$ )		
		45	44.960695	$\frac{1}{2}^+$	17 m ( $\beta^-$ )		46	45.968360	0 <sup>+</sup>	0.26 s ( $\epsilon$ )		
		46	45.961976	(2 <sup>-</sup> )	115 s ( $\beta^-$ )		47	46.962905	$\frac{1}{2}^-$	0.51 s ( $\epsilon$ )		
		47	46.961677	$\frac{1}{2}^+$	17.5 s ( $\beta^-$ )		48	47.954033	0 <sup>+</sup>	21.6 h ( $\epsilon$ )		
		38	37.976318	0 <sup>+</sup>	0.44 s ( $\epsilon$ )		49	48.951338	$\frac{1}{2}^-$	41.9 m ( $\epsilon$ )		
		39	38.970718	$\frac{3}{2}^+$	0.86 s ( $\epsilon$ )		50	49.946046	0 <sup>+</sup>	4.35%		
		40	39.962591	0 <sup>+</sup>	96.94%		51	50.944768	$\frac{1}{2}^-$	27.7 d ( $\epsilon$ )		
		41	40.962278	$\frac{1}{2}^-$	0.10 My ( $\epsilon$ )		52	51.940510	0 <sup>+</sup>	83.79%		
		42	41.958618	0 <sup>+</sup>	0.647%		53	52.940651	$\frac{1}{2}^-$	9.50%		
		43	42.958766	$\frac{1}{2}^-$	0.135%		54	53.938882	0 <sup>+</sup>	2.36%		
Sc	21	44	43.955481	0 <sup>+</sup>	2.09%	Mn	25	55	54.940842	$\frac{1}{2}^-$	3.50 m ( $\beta^-$ )	
		45	44.956185	$\frac{1}{2}^-$	165 d ( $\beta^-$ )			56	55.940643		5.9 m ( $\beta^-$ )	
		46	45.953689	0 <sup>+</sup>	0.0035%			50	49.954240	0 <sup>+</sup>	0.28 s ( $\epsilon$ )	
		47	46.954543	$\frac{1}{2}^-$	4.54 d ( $\beta^-$ )			51	50.948213	$\frac{1}{2}^-$	46.2 m ( $\epsilon$ )	
		48	47.952533	0 <sup>+</sup>	0.187%			52	51.945568	6 <sup>+</sup>	5.59 d ( $\epsilon$ )	
		49	48.955672	$\frac{1}{2}^-$	8.72 m ( $\beta^-$ )			53	52.941291	$\frac{1}{2}^-$	3.7 My ( $\epsilon$ )	
		50	49.957519	0 <sup>+</sup>	14 s ( $\beta^-$ )			54	53.940361	3 <sup>+</sup>	312 d ( $\epsilon$ )	
		42	41.965514	0 <sup>+</sup>	0.68 s ( $\epsilon$ )			55	54.938047	$\frac{1}{2}^-$	100%	
		43	42.961150	$\frac{1}{2}^-$	3.89 h ( $\epsilon$ )			56	55.938907	3 <sup>+</sup>	2.58 h ( $\beta^-$ )	
		44	43.959404	2 <sup>+</sup>	3.93 h ( $\epsilon$ )			57	56.938285	$\frac{1}{2}^-$	1.6 m ( $\beta^-$ )	
Ti	22	45	44.955910	$\frac{1}{2}^-$	100%	Fe	26	58	57.940060	3 <sup>+</sup>	65 s ( $\beta^-$ )	
		46	45.955170	4 <sup>+</sup>	83.8 d ( $\beta^-$ )			55	54.938296	$\frac{1}{2}^-$	2.7 y ( $\epsilon$ )	
		47	46.952409	$\frac{1}{2}^-$	3.35 d ( $\beta^-$ )			56	55.934939	0 <sup>+</sup>	91.8%	
		48	47.952235	6 <sup>+</sup>	43.7 h ( $\beta^-$ )			57	56.935396	$\frac{1}{2}^-$	2.15%	
		49	48.950022	$\frac{1}{2}^-$	57.0 m ( $\beta^-$ )			58	57.933277	0 <sup>+</sup>	0.29%	
		50	49.952186	5 <sup>+</sup>	1.71 m ( $\beta^-$ )			59	58.934877	$\frac{1}{2}^-$	44.6 d ( $\beta^-$ )	
		43	42.968523	$\frac{1}{2}^-$	0.51 s ( $\epsilon$ )			60	59.934078	0 <sup>+</sup>	1.5 My ( $\beta^-$ )	
		44	43.959690	0 <sup>+</sup>	54 y ( $\epsilon$ )			61	60.936748	( $\frac{1}{2}, \frac{1}{2}$ ) <sup>-</sup>	6.0 m ( $\beta^-$ )	
		45	44.958124	$\frac{1}{2}^-$	3.09 h ( $\epsilon$ )			62	61.936773	0 <sup>+</sup>	68 s ( $\beta^-$ )	
		46	45.952629	0 <sup>+</sup>	8.2%							
Sc	21	47	46.951764	$\frac{1}{2}^-$	7.4%							
		48	47.947947	0 <sup>+</sup>	73.7%							
Ti	22	49	48.947871	$\frac{1}{2}^-$	5.4%							
		50	49.944792	0 <sup>+</sup>	5.2%							
Co	27	51	50.946616	$\frac{1}{2}^-$	5.80 m ( $\beta^-$ )							
		54	53.948460	0 <sup>+</sup>								

Z	A	Abundance			Z	A	Abundance			
		Atomic mass (u)	$J^\pi$	or Half-life			Atomic mass (u)	$J^\pi$	or Half-life	
Ni	55	54.942001	$\frac{1}{2}^-$	17.5 h ( $\epsilon$ )	Ga	31	64	63.936836	$0^+$	2.6 m ( $\epsilon$ )
	56	55.939841	$4^+$	78.8 d ( $\epsilon$ )			65	64.932738	$\frac{1}{2}^-$	15.2 m ( $\epsilon$ )
	57	56.936294	$\frac{1}{2}^-$	271 d ( $\epsilon$ )			66	65.931590	$0^+$	9.4 h ( $\epsilon$ )
	58	57.935755	$2^+$	70.8 d ( $\epsilon$ )			67	66.928204	$\frac{1}{2}^-$	78.3 h ( $\epsilon$ )
	59	58.933198	$\frac{1}{2}^-$	100 %			68	67.927982	$1^+$	68.1 m ( $\epsilon$ )
	60	59.933820	$5^+$	5.27 y ( $\beta^-$ )			69	68.925580	$\frac{1}{2}^-$	60.1 %
	61	60.932478	$\frac{1}{2}^-$	1.65 h ( $\beta^-$ )			70	69.926028	$1^+$	21.1 m ( $\beta^-$ )
	62	61.934060	$2^+$	1.5 m ( $\beta^-$ )			71	70.924701	$\frac{1}{2}^-$	39.9 %
	63	62.933614	$(\frac{7}{2})^-$	27.5 s ( $\beta^-$ )			72	71.926365	$3^-$	14.1 h ( $\beta^-$ )
	28	55	54.951336	$\frac{1}{2}^-$	0.19 s ( $\epsilon$ )		73	72.925169	$\frac{1}{2}^-$	4.87 h ( $\beta^-$ )
	56	55.942134	$0^+$	6.10 d ( $\epsilon$ )		74	73.926940	$(4)^-$	8.1 m ( $\beta^-$ )	
	57	56.939799	$\frac{1}{2}^-$	36.0 h ( $\epsilon$ )		75	74.926499	$\frac{1}{2}^-$	2.1 m ( $\beta^-$ )	
Cu	58	57.935346	$0^+$	68.3 %	Ge	32	66	65.933847	$0^+$	2.3 h ( $\epsilon$ )
	59	58.934349	$\frac{1}{2}^-$	0.075 My ( $\epsilon$ )			67	66.932737	$(\frac{1}{2})^-$	19.0 m ( $\epsilon$ )
	60	59.930788	$0^+$	26.1 %			68	67.928096	$0^+$	271 d ( $\epsilon$ )
	61	60.931058	$\frac{1}{2}^-$	1.13 %			69	68.927969	$\frac{1}{2}^-$	39.0 h ( $\epsilon$ )
	62	61.928346	$0^+$	3.59 %			70	69.924250	$0^+$	20.5 %
	63	62.929670	$\frac{1}{2}^-$	100 y ( $\beta^-$ )			71	70.924954	$\frac{1}{2}^-$	11.2 d ( $\epsilon$ )
	64	63.927968	$0^+$	0.91 %			72	71.922079	$0^+$	27.4 %
	65	64.930086	$\frac{1}{2}^-$	2.52 h ( $\beta^-$ )			73	72.923463	$\frac{1}{2}^+$	7.8 %
	66	65.929116	$0^+$	54.8 h ( $\beta^-$ )			74	73.921177	$0^+$	36.5 %
	67	66.931570	?	21 s ( $\beta^-$ )			75	74.922858	$\frac{1}{2}^-$	82.8 m ( $\beta^-$ )
	29	59	58.939503	$\frac{1}{2}^-$	82 s ( $\epsilon$ )		76	75.921402	$0^+$	7.8 %
	60	59.937366	$2^+$	23.4 m ( $\epsilon$ )		77	76.923548	$\frac{1}{2}^+$	11.3 h ( $\beta^-$ )	
	61	60.933461	$\frac{1}{2}^-$	3.41 h ( $\epsilon$ )		78	77.922853	$0^+$	1.45 h ( $\beta^-$ )	
Zn	62	61.932586	$1^+$	9.73 m ( $\epsilon$ )	As	33	70	69.930929	$4^+$	53 m ( $\epsilon$ )
	63	62.929599	$\frac{3}{2}^-$	69.2 %			71	70.927114	$\frac{1}{2}^-$	61 h ( $\epsilon$ )
	64	63.929266	$1^+$	12.7 h ( $\epsilon$ )			72	71.926755	$2^-$	26.0 h ( $\epsilon$ )
	65	64.927793	$\frac{1}{2}^-$	30.8 %			73	72.923827	$\frac{1}{2}^-$	80.3 d ( $\epsilon$ )
	66	65.928872	$1^+$	5.10 m ( $\beta^-$ )			74	73.923928	$2^-$	17.8 d ( $\epsilon$ )
	67	66.927747	$\frac{1}{2}^-$	61.9 h ( $\beta^-$ )			75	74.921594	$\frac{1}{2}^-$	100 %
	68	67.929620	$1^+$	31 s ( $\beta^-$ )			76	75.922393	$2^-$	26.3 h ( $\beta^-$ )
	30	61	60.939514	$\frac{1}{2}^-$	89 s ( $\epsilon$ )		77	76.920646	$\frac{1}{2}^-$	38.8 h ( $\beta^-$ )
	62	61.934332	$0^+$	9.2 h ( $\epsilon$ )		78	77.921830	$(2^-)$	91 m ( $\beta^-$ )	
	63	62.933214	$\frac{3}{2}^-$	38.1 m ( $\epsilon$ )		79	78.920946	$\frac{1}{2}^-$	9.0 m ( $\beta^-$ )	
	64	63.929145	$0^+$	48.6 %		76	75.922393	$2^-$	4.7 m ( $\epsilon$ )	
	65	64.929243	$\frac{1}{2}^-$	244 d ( $\epsilon$ )		72	71.927110	$0^+$	8.4 d ( $\epsilon$ )	
	66	65.926035	$0^+$	27.9 %		73	72.926768	$\frac{1}{2}^+$	7.1 h ( $\epsilon$ )	
	67	66.927129	$\frac{1}{2}^-$	4.10 %		74	73.922475	$0^+$	0.87 %	
Se	68	67.924846	$0^+$	18.8 %		75	74.922522	$\frac{1}{2}^+$	119.8 d ( $\epsilon$ )	
	69	68.926552	$\frac{1}{2}^-$	56 m ( $\beta^-$ )		76	75.919212	$0^+$	9.0 %	
	70	69.925325	$0^+$	0.62 %		77	76.919913	$\frac{1}{2}^-$	7.6 %	
	71	70.927727	$\frac{1}{2}^-$	2.4 m ( $\beta^-$ )		78	77.917308	$0^+$	23.5 %	
	72	71.926856	$0^+$	46.5 h ( $\beta^-$ )		79	78.918498	$\frac{1}{2}^+$	< 0.065 My ( $\beta^-$ )	
	73	72.929780	$(\frac{1}{2})^-$	24 s ( $\beta^-$ )						

Z	A	Abundance			Z	A	Abundance		
		Atomic mass (u)	I*	or Half-life			Atomic mass (u)	I*	or Half-life
Br	80	79.916520	0 <sup>+</sup>	49.8%	Y	87	86.908884	2 <sup>+</sup>	7.0%
	81	80.917991	( $\frac{1}{2}$ ) <sup>-</sup>	18.5 m ( $\beta^-$ )		88	87.905619	0 <sup>+</sup>	82.6%
	82	81.916698	0 <sup>+</sup>	9.2%		89	88.907450	2 <sup>+</sup>	50.5 d ( $\beta^-$ )
	83	82.919117	( $\frac{1}{2}$ ) <sup>+</sup>	22.5 m ( $\beta^-$ )		90	89.907738	0 <sup>+</sup>	28.8 y ( $\beta^-$ )
	84	83.918463	0 <sup>+</sup>	3.3 m ( $\beta^-$ )		91	90.910187	( $\frac{1}{2}$ ) <sup>+</sup>	9.5 h ( $\beta^-$ )
	76	75.924528	1 <sup>-</sup>	16.1 h ( $\epsilon$ )		92	91.910944	0 <sup>+</sup>	2.7 h ( $\beta^-$ )
	77	76.921378	$\frac{3}{2}^-$	57.0 h ( $\epsilon$ )		93	92.913987	( $\frac{1}{2}$ ) <sup>+</sup>	7.4 m ( $\beta^-$ )
	78	77.921144	1 <sup>+</sup>	6.46 m ( $\epsilon$ )		84	83.920310	(5 <sup>-</sup> )	39 m ( $\epsilon$ )
	79	78.918336	$\frac{1}{2}^-$	50.69%		85	84.916437	( $\frac{1}{2}$ ) <sup>-</sup>	2.7 h ( $\epsilon$ )
	80	79.918528	1 <sup>+</sup>	17.6 m ( $\beta^-$ )		86	85.914893	4 <sup>-</sup>	14.7 h ( $\epsilon$ )
Kr	81	80.916289	$\frac{1}{2}^-$	49.31%		87	86.910882	$\frac{1}{2}^-$	80.3 h ( $\epsilon$ )
	82	81.916802	5 <sup>-</sup>	35.3 h ( $\beta^-$ )		88	87.909508	4 <sup>-</sup>	106.6 d ( $\epsilon$ )
	83	82.915179	( $\frac{1}{2}$ ) <sup>-</sup>	2.39 h ( $\beta^-$ )		89	88.905849	$\frac{1}{2}^-$	100%
	84	83.916503	2 <sup>-</sup>	31.8 m ( $\beta^-$ )		90	89.907152	2 <sup>-</sup>	64.1 h ( $\beta^-$ )
	85	84.915612	( $\frac{1}{2}$ ) <sup>-</sup>	2.9 m ( $\beta^-$ )		91	90.907303	$\frac{1}{2}^-$	58.5 d ( $\beta^-$ )
	75	74.931029	? <sup>+</sup>	4.3 m ( $\epsilon$ )		92	91.908917	2 <sup>-</sup>	3.54 h ( $\beta^-$ )
	76	75.925959	0 <sup>+</sup>	14.8 h ( $\epsilon$ )		93	92.909571	$\frac{1}{2}^-$	10.2 h ( $\beta^-$ )
	77	76.924610	$\frac{3}{2}^+$	75 m ( $\epsilon$ )		94	93.911597	2 <sup>-</sup>	18.7 m ( $\beta^-$ )
	78	77.920396	0 <sup>+</sup>	0.356%	Zr	87	86.914817	( $\frac{9}{2}$ ) <sup>+</sup>	1.6 h ( $\epsilon$ )
	79	78.920084	$\frac{1}{2}^-$	35.0 h ( $\epsilon$ )		88	87.910225	0 <sup>+</sup>	83.4 d ( $\epsilon$ )
Rb	80	79.916380	0 <sup>+</sup>	2.27%		89	88.908890	$\frac{9}{2}^+$	78.4 h ( $\epsilon$ )
	81	80.916590	$\frac{1}{2}^+$	0.21 My ( $\epsilon$ )		90	89.904703	0 <sup>+</sup>	51.5%
	82	81.913482	0 <sup>+</sup>	11.6%		91	90.905644	$\frac{1}{2}^+$	11.2%
	83	82.914135	$\frac{9}{2}^+$	11.5%		92	91.905039	0 <sup>+</sup>	17.1%
	84	83.911507	0 <sup>+</sup>	57.0%		93	92.906474	$\frac{1}{2}^+$	1.5 My ( $\beta^-$ )
	85	84.912531	$\frac{9}{2}^+$	10.7 y ( $\beta^-$ )		94	93.906315	0 <sup>+</sup>	17.4%
	86	85.910616	0 <sup>+</sup>	17.3%		95	94.908042	$\frac{5}{2}^+$	64.0 d ( $\beta^-$ )
	87	86.913360	$\frac{5}{2}^+$	76 m ( $\beta^-$ )		96	95.908275	0 <sup>+</sup>	2.80%
	88	87.914453	0 <sup>+</sup>	2.84 h ( $\beta^-$ )		97	96.910950	$\frac{1}{2}^+$	16.9 h ( $\beta^-$ )
	89	88.917640	( $\frac{1}{2}$ ) <sup>+</sup>	3.18 m ( $\beta^-$ )		98	97.912735	0 <sup>+</sup>	31 s ( $\beta^-$ )
Sr	82	81.918195	1 <sup>+</sup>	1.25 m ( $\epsilon$ )	Nb	41	89.88.913449	( $\frac{1}{2}$ ) <sup>-</sup>	2.0 h ( $\epsilon$ )
	83	82.915144	$\frac{5}{2}^-$	86.2 d ( $\epsilon$ )		90	89.911263	8 <sup>+</sup>	14.6 h ( $\epsilon$ )
	84	83.914390	2 <sup>-</sup>	32.9 d ( $\epsilon$ )		91	90.906991	( $\frac{9}{2}$ ) <sup>+</sup>	700 y ( $\epsilon$ )
	85	84.911794	$\frac{3}{2}^-$	72.17%		92	91.907192	(7) <sup>+</sup>	35 My ( $\epsilon$ )
	86	85.911172	2 <sup>-</sup>	18.8 d ( $\beta^-$ )		93	92.906377	$\frac{9}{2}^+$	100%
	87	86.909187	$\frac{1}{2}^-$	27.83%		94	93.907281	6 <sup>+</sup>	0.020 My ( $\beta^-$ )
	88	87.911326	2 <sup>-</sup>	17.8 m ( $\beta^-$ )		95	94.906835	$\frac{9}{2}^+$	35.0 d ( $\beta^-$ )
	89	88.912278	( $\frac{1}{2}$ ) <sup>-</sup>	15.2 m ( $\beta^-$ )		96	95.908100	6 <sup>+</sup>	23.4 h ( $\beta^-$ )
	90	89.914811	(1 <sup>-</sup> )	153 s ( $\beta^-$ )		97	96.908097	$\frac{9}{2}^+$	72 m ( $\beta^-$ )
	81	80.923270	( $\frac{1}{2}^-$ )	22 m ( $\epsilon$ )		42	89.913933	0 <sup>+</sup>	5.67 h ( $\epsilon$ )
Mo	82	81.918414	0 <sup>+</sup>	25.0 d ( $\epsilon$ )		91	90.911755	$\frac{9}{2}^+$	15.5 m ( $\epsilon$ )
	83	82.917566	$\frac{1}{2}^+$	32.4 d ( $\epsilon$ )		92	91.906808	0 <sup>+</sup>	14.8%
	84	83.913430	0 <sup>+</sup>	0.56%		93	92.906813	$\frac{1}{2}^+$	3500 y ( $\epsilon$ )
	85	84.912937	$\frac{9}{2}^+$	64.8 d ( $\epsilon$ )		94	93.905085	0 <sup>+</sup>	9.3%
	86	85.909267	0 <sup>+</sup>	9.8%		95	94.905841	$\frac{1}{2}^+$	15.9%

Abundance				Abundance							
Z	A	Atomic mass (u)	I <sup>+</sup>	or Half-life	Z	A	Atomic mass (u)	I <sup>+</sup>	or Half-life		
	96	95.904679	0 <sup>+</sup>	16.7%		108	107.903895	0 <sup>+</sup>	26.7%		
	97	96.906021	½ <sup>+</sup>	9.6%		109	108.905954	½ <sup>+</sup>	13.4 h ( $\beta^-$ )		
	98	97.905407	0 <sup>+</sup>	24.1%		110	109.905167	0 <sup>+</sup>	11.8%		
	99	98.907711	½ <sup>+</sup>	66.0 h ( $\beta^-$ )		111	110.907660	½ <sup>+</sup>	23 m ( $\beta^-$ )		
	100	99.907477	0 <sup>+</sup>	9.6%		112	111.907323	0 <sup>+</sup>	21.0 h ( $\beta^-$ )		
	101	100.910345	½ <sup>+</sup>	14.6 m ( $\beta^-$ )	Ag	47	103	102.908980	½ <sup>+</sup>		
Tc	43	94	93.909654	7 <sup>+</sup>	293 m ( $\epsilon$ )		104	103.908623	5 <sup>+</sup>	69.2 m ( $\epsilon$ )	
		95	94.907657	½ <sup>+</sup>	20.0 h ( $\epsilon$ )		105	104.906520	½ <sup>-</sup>	41.3 d ( $\epsilon$ )	
		96	95.907870	7 <sup>+</sup>	4.3 d ( $\epsilon$ )		106	105.906662	1 <sup>+</sup>	24.0 m ( $\epsilon$ )	
		97	96.906364	½ <sup>+</sup>	2.6 My ( $\epsilon$ )		107	106.905092	½ <sup>-</sup>	51.83%	
		98	97.907215	(6) <sup>+</sup>	4.2 My ( $\beta^-$ )		108	107.905952	1 <sup>+</sup>	2.4 m ( $\beta^-$ )	
		99	98.906254	½ <sup>+</sup>	0.214 My ( $\beta^-$ )		109	108.904756	½ <sup>-</sup>	48.17%	
		100	99.907657	1 <sup>+</sup>	15.8 s ( $\beta^-$ )		110	109.906111	1 <sup>+</sup>	24.4 s ( $\beta^-$ )	
Ru	44	94	93.911361	0 <sup>+</sup>	52 m ( $\epsilon$ )		111	110.905295	½ <sup>+</sup>	7.45 d ( $\beta^-$ )	
		95	94.910414	½ <sup>+</sup>	1.65 h ( $\epsilon$ )		112	111.907010	2 <sup>-</sup>	3.14 h ( $\beta^-$ )	
		96	95.907599	0 <sup>+</sup>	5.5%	Cd	48	104	103.909851	0 <sup>+</sup>	58 m ( $\epsilon$ )
		97	96.907556	½ <sup>+</sup>	2.88 d ( $\epsilon$ )		105	104.909459	½ <sup>+</sup>	56.0 m ( $\epsilon$ )	
		98	97.905287	0 <sup>+</sup>	1.86%		106	105.906461	0 <sup>+</sup>	1.25%	
		99	98.905939	½ <sup>+</sup>	12.7%		107	106.906613	½ <sup>+</sup>	6.50 h ( $\epsilon$ )	
		100	99.904219	0 <sup>+</sup>	12.6%		108	107.904176	0 <sup>+</sup>	0.89%	
		101	100.905582	½ <sup>+</sup>	17.0%		109	108.904953	½ <sup>+</sup>	463 d ( $\epsilon$ )	
		102	101.904348	0 <sup>+</sup>	31.6%		110	109.903005	0 <sup>+</sup>	12.5%	
		103	102.906323	½ <sup>+</sup>	39.4 d ( $\beta^-$ )		111	110.904182	½ <sup>+</sup>	12.8%	
		104	103.905424	0 <sup>+</sup>	18.7%		112	111.902757	0 <sup>+</sup>	24.1%	
		105	104.907744	½ <sup>+</sup>	4.44 h ( $\beta^-$ )		113	112.904400	½ <sup>+</sup>	12.2%	
		106	105.907321	0 <sup>+</sup>	372 d ( $\beta^-$ )		114	113.903357	0 <sup>+</sup>	28.7%	
		107	106.910130	(½ <sup>+</sup> )	3.8 m ( $\beta^-$ )		115	114.905430	½ <sup>+</sup>	53.4 h ( $\beta^-$ )	
Rh	45	98	97.910716	(2) <sup>+</sup>	8.7 m ( $\epsilon$ )		116	115.904755	0 <sup>+</sup>	7.5%	
		99	98.908192	(½ <sup>-</sup> )	16.1 d ( $\epsilon$ )		117	116.907228	½ <sup>+</sup>	2.4 h ( $\beta^-$ )	
		100	99.908116	1 <sup>-</sup>	20.8 h ( $\epsilon$ )		118	117.911700	0 <sup>+</sup>	50.3 m ( $\beta^-$ )	
		101	100.906159	½ <sup>-</sup>	3.3 y ( $\epsilon$ )	In	49	110	109.907230	2 <sup>+</sup>	69.1 m ( $\epsilon$ )
		102	101.906814	6 <sup>+</sup>	2.9 y ( $\epsilon$ )		111	110.905109	½ <sup>+</sup>	2.83 d ( $\epsilon$ )	
		103	102.905500	½ <sup>-</sup>	100%		112	111.905536	1 <sup>+</sup>	14.4 m ( $\epsilon$ )	
		104	103.906651	1 <sup>+</sup>	42.3 s ( $\beta^-$ )		113	112.904061	½ <sup>+</sup>	4.3%	
		105	104.905686	½ <sup>+</sup>	35.4 h ( $\beta^-$ )		114	113.904916	1 <sup>+</sup>	71.9 s ( $\beta^-$ )	
		106	105.907279	1 <sup>+</sup>	29.8 s ( $\beta^-$ )		115	114.903882	½ <sup>+</sup>	95.7%	
Pd	46	99	98.911763	(½ <sup>+</sup> )	21.4 m ( $\epsilon$ )		116	115.905264	1 <sup>+</sup>	14.1 s ( $\beta^-$ )	
		100	99.908527	0 <sup>+</sup>	3.6 d ( $\epsilon$ )		117	116.904517	½ <sup>+</sup>	43.8 m ( $\beta^-$ )	
		101	100.908287	½ <sup>+</sup>	8.5 h ( $\epsilon$ )	Sn	50	109	108.911294	½ <sup>+</sup>	18.0 m ( $\epsilon$ )
		102	101.905634	0 <sup>+</sup>	1.0%		110	109.907858	0 <sup>+</sup>	4.1 h ( $\epsilon$ )	
		103	102.906114	½ <sup>+</sup>	17.0 d ( $\epsilon$ )		111	110.907741	½ <sup>+</sup>	35 m ( $\epsilon$ )	
		104	103.904029	0 <sup>+</sup>	11.0%		112	111.904826	0 <sup>+</sup>	1.01%	
		105	104.905079	½ <sup>+</sup>	22.2%		113	112.905176	½ <sup>+</sup>	115.1 d ( $\epsilon$ )	
		106	105.903478	0 <sup>+</sup>	27.3%		114	113.902784	0 <sup>+</sup>	0.67%	
		107	106.905127	½ <sup>+</sup>	6.5 My ( $\beta^-$ )		115	114.903348	½ <sup>+</sup>	0.38%	

Z	A	Atomic mass (u)	Abundance or Half-life		Z	A	Atomic mass (u)	Abundance or Half-life			
			I <sup>+</sup>	14.6%				I <sup>+</sup>	16 My ( $\beta^-$ )		
	116	115.901747	0 <sup>+</sup>	14.6%		129	128.904986	2 <sup>+</sup>	16 My ( $\beta^-$ )		
	117	116.902956	1 <sup>+</sup>	7.75%		130	129.906713	5 <sup>+</sup>	12.4 h ( $\beta^-$ )		
	118	117.901609	0 <sup>+</sup>	24.3%		131	130.906114	2 <sup>+</sup>	8.04 d ( $\beta^-$ )		
	119	118.903311	1 <sup>+</sup>	8.6%		132	131.907987	4 <sup>+</sup>	2.30 h ( $\beta^-$ )		
	120	119.902199	0 <sup>+</sup>	32.4%	Xe	54	121.911450	( $\frac{1}{2}$ ) <sup>+</sup>	40.1 m ( $\epsilon$ )		
	121	120.904239	2 <sup>-</sup>	27.1 h ( $\beta^-$ )		122	121.908170	0 <sup>+</sup>	20.1 h ( $\epsilon$ )		
	122	121.903440	0 <sup>+</sup>	4.56%		123	122.908469	( $\frac{1}{2}$ ) <sup>+</sup>	2.08 h ( $\epsilon$ )		
	123	122.905722	1 <sup>+</sup>	129 d ( $\beta^-$ )		124	123.905894	0 <sup>+</sup>	0.096%		
	124	123.905274	0 <sup>+</sup>	5.64%		125	124.906397	( $\frac{1}{2}$ ) <sup>+</sup>	17 h ( $\epsilon$ )		
	125	124.907785	1 <sup>+</sup>	9.62 d ( $\beta^-$ )		126	125.904281	0 <sup>+</sup>	0.090%		
	126	125.907654	0 <sup>+</sup>	0.1 My ( $\beta^-$ )		127	126.905182	( $\frac{1}{2}$ ) <sup>+</sup>	36.4 d ( $\epsilon$ )		
	127	126.910355	( $\frac{11}{2}$ ) <sup>-</sup>	2.1 h ( $\beta^-$ )		128	127.903531	0 <sup>+</sup>	1.92%		
Sb	51	118	117.905534	1 <sup>+</sup>	3.6 m ( $\epsilon$ )		129	128.904780	1 <sup>+</sup>	26.4%	
		119	118.903948	2 <sup>+</sup>	38.0 h ( $\epsilon$ )		130	129.903509	0 <sup>+</sup>	4.1%	
		120	119.905077	1 <sup>+</sup>	15.8 m ( $\epsilon$ )		131	130.905072	2 <sup>+</sup>	21.2%	
		121	120.903821	2 <sup>+</sup>	57.3%		132	131.904144	0 <sup>+</sup>	26.9%	
		122	121.905179	2 <sup>-</sup>	2.70 d ( $\beta^-$ )		133	132.905888	2 <sup>+</sup>	5.25 d ( $\beta^-$ )	
		123	122.904216	2 <sup>+</sup>	42.7%		134	133.905395	0 <sup>+</sup>	10.4%	
		124	123.905938	3 <sup>-</sup>	60.2 d ( $\beta^-$ )		135	134.907130	2 <sup>+</sup>	9.1 h ( $\beta^-$ )	
		125	124.905252	2 <sup>+</sup>	2.7 y ( $\beta^-$ )		136	135.907214	0 <sup>+</sup>	8.9%	
		126	125.907250	8 <sup>-</sup>	12.4 d ( $\beta^-$ )		137	136.911557	2 <sup>-</sup>	3.82 m ( $\beta^-$ )	
		127	126.906919	2 <sup>+</sup>	3.85 d ( $\beta^-$ )	Cs	55	130	129.906753	1 <sup>+</sup>	29.2 m ( $\epsilon$ )
Te	52	117	116.908630	1 <sup>+</sup>	62 m ( $\epsilon$ )		131	130.905444	2 <sup>+</sup>	9.69 d ( $\epsilon$ )	
		118	117.905908	0 <sup>+</sup>	6.00 d ( $\epsilon$ )		132	131.906431	2 <sup>-</sup>	6.47 d ( $\epsilon$ )	
		119	118.906411	1 <sup>+</sup>	16.0 h ( $\epsilon$ )		133	132.905429	1 <sup>+</sup>	100%	
		120	119.904048	0 <sup>+</sup>	0.091%		134	133.906696	4 <sup>+</sup>	2.06 y ( $\beta^-$ )	
		121	120.904947	1 <sup>+</sup>	16.8 d ( $\epsilon$ )		135	134.905885	2 <sup>+</sup>	3 My ( $\beta^-$ )	
		122	121.903050	0 <sup>+</sup>	2.5%		136	135.907289	5 <sup>+</sup>	13.1 d ( $\beta^-$ )	
		123	122.904271	1 <sup>+</sup>	0.89%		137	136.907073	2 <sup>+</sup>	30.2 y ( $\beta^-$ )	
		124	123.902818	0 <sup>+</sup>	4.6%		138	137.911004	3 <sup>-</sup>	32.2 m ( $\beta^-$ )	
		125	124.904429	1 <sup>+</sup>	7.0%	Ba	56	127	126.911130	( $\frac{1}{2}$ ) <sup>+</sup>	12.7 m ( $\epsilon$ )
		126	125.903310	0 <sup>+</sup>	18.7%		128	127.908237	0 <sup>+</sup>	2.43 d ( $\epsilon$ )	
		127	126.905221	2 <sup>+</sup>	9.4 h ( $\beta^-$ )		129	128.908642	1 <sup>+</sup>	2.2 h ( $\epsilon$ )	
		128	127.904463	0 <sup>+</sup>	31.7%		130	129.906282	0 <sup>+</sup>	0.106%	
		129	128.906594	2 <sup>+</sup>	69 m ( $\beta^-$ )		131	130.906902	1 <sup>+</sup>	12.0 d ( $\epsilon$ )	
		130	129.906229	0 <sup>+</sup>	34.5%		132	131.905042	0 <sup>+</sup>	0.101%	
		131	130.908528	2 <sup>+</sup>	25.0 m ( $\beta^-$ )		133	132.905988	2 <sup>-</sup>	10.7 y ( $\epsilon$ )	
		132	131.908517	0 <sup>+</sup>	78.2 h ( $\beta^-$ )		134	133.904486	0 <sup>+</sup>	2.42%	
		133	132.910910	( $\frac{1}{2}$ ) <sup>+</sup>	12.5 m ( $\beta^-$ )		135	134.905665	2 <sup>+</sup>	6.59%	
53	123	122.905594	2 <sup>+</sup>	13.2 h ( $\epsilon$ )		136	135.904553	0 <sup>+</sup>	7.85%		
	124	123.906207	2 <sup>-</sup>	4.18 d ( $\epsilon$ )		137	136.905812	2 <sup>+</sup>	11.2%		
	125	124.904620	2 <sup>+</sup>	60.2 d ( $\epsilon$ )		138	137.905232	0 <sup>+</sup>	71.7%		
	126	125.905624	2 <sup>-</sup>	13.0 d ( $\epsilon$ )		139	138.908826	2 <sup>-</sup>	82.9 m ( $\beta^-$ )		
	127	126.904473	2 <sup>+</sup>	100%		140	139.910581	0 <sup>+</sup>	12.7 d ( $\beta^-$ )		
	128	127.905810	1 <sup>+</sup>	25.0 m ( $\beta^-$ )		141	140.914363	2 <sup>-</sup>	18.3 m ( $\beta^-$ )		

Z	A	Atomic mass (u)	$I^\pi$	Abundance or Half-life		Z	A	Atomic mass (u)	$I^\pi$	Abundance or Half-life	
La	57	135	134.906953	$\frac{5}{2}^+$	19.5 h ( $\epsilon$ )	Sm	145	144.912743	$\frac{5}{2}^+$	17.7 y ( $\epsilon$ )	
		136	135.907630	$1^+$	9.87 m ( $\epsilon$ )		146	145.914708	$3^-$	5.5 y ( $\epsilon$ )	
		137	136.906460	$\frac{1}{2}^+$	0.06 My ( $\epsilon$ )		147	146.915135	$\frac{5}{2}^+$	2.62 y ( $\beta^-$ )	
		138	137.907105	$5^+$	0.089%		148	147.917473	$1^-$	5.37 d ( $\beta^-$ )	
		139	138.906347	$\frac{1}{2}^+$	99.911%		149	148.918332	$\frac{5}{2}^+$	53.1 h ( $\beta^-$ )	
		140	139.909471	$3^-$	40.3 h ( $\beta^-$ )		150	149.920981	( $1^-$ )	2.68 h ( $\beta^-$ )	
		141	140.910896	$\frac{1}{2}^+$	3.90 h ( $\beta^-$ )		142	141.915206	$0^+$	72.5 m ( $\epsilon$ )	
		142	141.914090	$2^-$	91.1 m ( $\beta^-$ )		143	142.914626	$\frac{1}{2}^+$	8.83 m ( $\epsilon$ )	
							144	143.911998	$0^+$	3.1%	
							145	144.913409	$\frac{1}{2}^-$	340 d ( $\epsilon$ )	
Ce	58	133	132.911360	$\frac{1}{2}^+$	5.4 h ( $\epsilon$ )	Eu	146	145.913053	$0^+$	103 My ( $\alpha$ )	
		134	133.908890	$0^+$	76 h ( $\epsilon$ )		147	146.914894	$\frac{1}{2}^-$	15.1%	
		135	134.909117	$\frac{1}{2}^+$	17.6 h ( $\epsilon$ )		148	147.914819	$0^+$	11.3%	
		136	135.907140	$0^+$	0.190%		149	148.917180	$\frac{1}{2}^-$	13.9%	
		137	136.907780	$\frac{1}{2}^+$	9.0 h ( $\epsilon$ )		150	149.917273	$0^+$	7.4%	
		138	137.905985	$0^+$	0.254%		151	150.919929	$\frac{1}{2}^-$	90 y ( $\beta^-$ )	
		139	138.906631	$\frac{1}{2}^+$	137.2 d ( $\epsilon$ )		152	151.919728	$0^+$	26.6%	
		140	139.905433	$0^+$	88.5%		153	152.922094	$\frac{1}{2}^+$	46.8 h ( $\beta^-$ )	
		141	140.908271	$\frac{1}{2}^-$	32.5 d ( $\beta^-$ )		154	153.922205	$0^+$	22.6%	
		142	141.909241	$0^+$	11.1%		155	154.924636	$\frac{1}{2}^-$	22.4 m ( $\beta^-$ )	
		143	142.912383	$\frac{1}{2}^-$	33.0 h ( $\beta^-$ )						
		144	143.913643	$0^+$	284 d ( $\beta^-$ )						
		145	144.917230	$\frac{1}{2}^+$	2.98 m ( $\beta^-$ )						
						Gd	148	147.918125	$5^-$	54.5 d ( $\epsilon$ )	
Pr	59	138	137.910748	$1^+$	1.45 m ( $\epsilon$ )		149	148.917926	$\frac{5}{2}^+$	93.1 d ( $\epsilon$ )	
		139	138.908917	$\frac{5}{2}^+$	4.4 h ( $\epsilon$ )		150	149.919702	$0^-$	36 y ( $\epsilon$ )	
		140	139.909071	$1^+$	3.39 m ( $\epsilon$ )		151	150.919847	$\frac{5}{2}^+$	47.9%	
		141	140.907647	$\frac{5}{2}^+$	100%		152	151.921742	$3^-$	13 y ( $\epsilon$ )	
		142	141.910039	$2^-$	19.2 h ( $\beta^-$ )		153	152.921225	$\frac{5}{2}^+$	52.1%	
		143	142.910814	$\frac{5}{2}^+$	13.6 d ( $\beta^-$ )		154	153.922975	$3^-$	8.5 y ( $\beta^-$ )	
		144	143.913301	$0^-$	17.3 m ( $\beta^-$ )		155	154.922889	$\frac{5}{2}^+$	4.9 y ( $\beta^-$ )	
							156	155.924752	$0^+$	15 d ( $\beta^-$ )	
Nd	60	139	138.911920	$\frac{3}{2}^+$	29.7 m ( $\epsilon$ )	Tb	149	148.919344	$\frac{7}{2}^-$	9.4 d ( $\epsilon$ )	
		140	139.909306	$0^+$	3.37 d ( $\epsilon$ )		150	149.918662	$0^+$	1.8 My ( $\alpha$ )	
		141	140.909594	$\frac{3}{2}^+$	2.5 h ( $\epsilon$ )		151	150.920346	$\frac{7}{2}^-$	120 d ( $\epsilon$ )	
		142	141.907719	$0^+$	27.2%		152	151.919786	$0^+$	0.20%	
		143	142.909810	$\frac{7}{2}^-$	12.2%		153	152.921745	$\frac{7}{2}^-$	242 d ( $\epsilon$ )	
		144	143.910083	$0^+$	23.8%		154	153.920861	$0^+$	2.1%	
		145	144.912570	$\frac{7}{2}^-$	8.3%		155	154.922618	$\frac{7}{2}^-$	14.8%	
		146	145.913113	$0^+$	17.2%		156	155.922118	$0^+$	20.6%	
		147	146.916097	$\frac{7}{2}^-$	11.0 d ( $\beta^-$ )		157	156.923956	$\frac{7}{2}^-$	15.7%	
		148	147.916889	$0^+$	5.7%		158	157.924099	$0^+$	24.8%	
		149	148.920145	$\frac{7}{2}^-$	1.73 h ( $\beta^-$ )		159	158.926384	$\frac{7}{2}^-$	18.6 h ( $\beta^- \gamma$ )	
		150	149.920887	$0^+$	5.6%		160	159.927049	$0^+$	21.8%	
		151	150.923825 ( $\frac{7}{2}^+$ )	$\frac{7}{2}^+$	12.4 m ( $\beta^-$ )		161	160.929664	$\frac{7}{2}^-$	3.7 m ( $\beta^-$ )	
Pm	61	142	141.912970	$1^+$	40.5 s ( $\epsilon$ )		156	155.924742	$3^-$	5.34 d ( $\epsilon$ )	
		143	142.910930	$\frac{5}{2}^+$	265 d ( $\epsilon$ )		157	156.924023	$\frac{5}{2}^+$	150 y ( $\epsilon$ )	
		144	143.912588	$5^-$	349 d ( $\epsilon$ )						

Abundance				Abundance						
Z	A	Atomic mass (u)	I <sup>-</sup>	or Half-life	Z	A	Atomic mass (u)	I <sup>-</sup>	or Half-life	
	158	157.925411	3 <sup>-</sup>	150 y (ε)	Yb	70	166	165.933875	0 <sup>-</sup>	56.7 h (ε)
	159	158.925342	3 <sup>+</sup>	100 %			167	166.934946	3 <sup>-</sup>	17.5 m (ε)
	160	159.927163	3 <sup>-</sup>	72.1 d (β <sup>-</sup> )			168	167.933894	0 <sup>-</sup>	0.13%
	161	160.927566	3 <sup>+</sup>	6.90 d (β <sup>-</sup> )			169	168.935186	3 <sup>-</sup>	32.0 d (ε)
	162	161.929510	1 <sup>-</sup>	7.76 m (β <sup>-</sup> )			170	169.934759	0 <sup>-</sup>	3.1%
Dy 66	153	152.925769	2 <sup>-</sup>	6.4 h (ε)			171	170.936323	1 <sup>-</sup>	14.4%
	154	153.924429	0 <sup>+</sup>	3 My (α)			172	171.936378	0 <sup>+</sup>	21.9%
	155	154.925747	2 <sup>-</sup>	10.0 h (ε)			173	172.938208	2 <sup>-</sup>	16.2%
	156	155.924277	0 <sup>+</sup>	0.057%			174	173.938859	0 <sup>+</sup>	31.6%
	157	156.925460	2 <sup>-</sup>	8.1 h (ε)			175	174.941273	2 <sup>-</sup>	4.19 d (β <sup>-</sup> )
	158	157.924403	0 <sup>+</sup>	0.100%			176	175.942564	0 <sup>+</sup>	12.6%
	159	158.925735	2 <sup>-</sup>	144.4 d (ε)			177	176.945253	2 <sup>+</sup>	1.9 h (β <sup>-</sup> )
	160	159.925193	0 <sup>+</sup>	2.3%			178	177.946639	0 <sup>+</sup>	74 m (β <sup>-</sup> )
	161	160.926930	3 <sup>+</sup>	19.90%	Lu 71	172	171.939085	(4 <sup>-</sup> )	6.70 d (ε)	
	162	161.926795	0 <sup>+</sup>	25.5%			173	172.938929	2 <sup>+</sup>	1.37 y (ε)
	163	162.928728	2 <sup>-</sup>	24.9%			174	173.940336	1 <sup>-</sup>	3.3 y (ε)
	164	163.929171	0 <sup>+</sup>	28.1%			175	174.940770	2 <sup>+</sup>	97.39%
	165	164.931700	2 <sup>+</sup>	2.33 h (β <sup>-</sup> )			176	175.942679	7 <sup>-</sup>	2.61%
	166	165.932803	0 <sup>+</sup>	81.6 h (β <sup>-</sup> )			177	176.943752	2 <sup>+</sup>	6.71 d (β <sup>-</sup> )
Ho 67	162	161.929092	1 <sup>+</sup>	15 m (ε)			178	177.945963	1 <sup>+</sup>	28.4 m (β <sup>-</sup> )
	163	162.928731	(2 <sup>+</sup> ) <sup>-</sup>	33 y (ε)	Hf 72	171	170.940490	(2 <sup>+</sup> ) <sup>-</sup>	12.1 h (ε)	
	164	163.930285	1 <sup>+</sup>	29.0 m (ε)			172	171.939460	0 <sup>+</sup>	1.87 y (ε)
	165	164.930319	2 <sup>-</sup>	100 %			173	172.940650	1 <sup>-</sup>	24.0 h (ε)
	166	165.932281	0 <sup>-</sup>	26.8 h (β <sup>-</sup> )			174	173.940044	0 <sup>+</sup>	0.16%
	167	166.933127	(2 <sup>-</sup> ) <sup>-</sup>	3.1 h (β <sup>-</sup> )			175	174.941507	2 <sup>-</sup>	70 d (ε)
Er 68	160	159.929080	0 <sup>+</sup>	28.6 h (ε)			176	175.941406	0 <sup>+</sup>	5.2%
	161	160.929996	2 <sup>-</sup>	3.24 h (ε)			177	176.943217	2 <sup>-</sup>	18.6%
	162	161.928775	0 <sup>+</sup>	0.14%			178	177.943696	0 <sup>+</sup>	27.1%
	163	162.930030	2 <sup>-</sup>	75.1 m (ε)			179	178.945812	2 <sup>+</sup>	13.7%
	164	163.929198	0 <sup>+</sup>	1.56%			180	179.946546	0 <sup>+</sup>	35.2%
	165	164.930723	2 <sup>-</sup>	10.4 h (ε)			181	180.949096	1 <sup>-</sup>	42.4 d (β <sup>-</sup> )
	166	165.930290	0 <sup>+</sup>	33.4%			182	181.950550	0 <sup>+</sup>	9 My (β <sup>-</sup> )
	167	166.932046	2 <sup>+</sup>	22.9%			183	182.953530	(2 <sup>-</sup> ) <sup>-</sup>	64 m (β <sup>-</sup> )
	168	167.932368	0 <sup>+</sup>	27.1%	Ta 73	178	177.945750	1 <sup>+</sup>	9.31 m (ε)	
	169	168.934588	1 <sup>-</sup>	9.40 d (β <sup>-</sup> )			179	178.945930	(2 <sup>+</sup> ) <sup>-</sup>	665 d (ε)
	170	169.935461	0 <sup>+</sup>	14.9%			180	179.947462	1 <sup>+</sup>	0.0123%
	171	170.938027	2 <sup>-</sup>	7.52 h (β <sup>-</sup> )			181	180.947992	2 <sup>+</sup>	99.9877%
	172	171.939353	0 <sup>+</sup>	49.3 h (β <sup>-</sup> )			182	181.950149	3 <sup>-</sup>	115 d (β <sup>-</sup> )
Tm 69	166	165.933561	2 <sup>+</sup>	7.70 h (ε)			183	182.951369	2 <sup>+</sup>	5.1 d (β <sup>-</sup> )
	167	166.932848	1 <sup>+</sup>	9.25 d (ε)	W 74	178	177.945840	0 <sup>+</sup>	21.5 d (ε)	
	168	167.934170	3 <sup>+</sup>	93.1 d (ε)			179	178.947067	(2 <sup>-</sup> ) <sup>-</sup>	38 m (ε)
	169	168.934212	1 <sup>+</sup>	100 %			180	179.946701	0 <sup>+</sup>	0.13%
	170	169.935798	1 <sup>-</sup>	128.6 d (β <sup>-</sup> )			181	180.948192	2 <sup>+</sup>	121 d (ε)
	171	170.936427	2 <sup>+</sup>	1.92 y (β <sup>-</sup> )			182	181.948202	0 <sup>+</sup>	26.3%
	172	171.938397	2 <sup>-</sup>	63.6 h (β <sup>-</sup> )			183	182.950220	1 <sup>-</sup>	14.3%

Z	A	Abundance			Z	A	Abundance				
		Atomic mass (u)	J <sup>π</sup>	or Half-life			Atomic mass (u)	J <sup>π</sup>	or Half-life		
	184	183.950928	0 <sup>+</sup>	30.7%		198	197.967869	0 <sup>+</sup>	7.2%		
	185	184.953416	1 <sup>-</sup>	75.1 h (β <sup>-</sup> )		199	198.970552	(1 <sup>-</sup> )	30.8 m (β <sup>-</sup> )		
	186	185.954357	0 <sup>+</sup>	28.6%		200	199.971417	0 <sup>+</sup>	12.5 h (β <sup>-</sup> )		
	187	186.957153	2 <sup>-</sup>	23.9 h (β <sup>-</sup> )	Au	79	194	193.965348	1 <sup>-</sup>		
	188	187.958480	0 <sup>+</sup>	69.4 d (β <sup>-</sup> )		195	194.965013	2 <sup>-</sup>	39.5 h (ε)		
Re	75	182	181.951210	2 <sup>+</sup>	12.7 h (ε)		196	195.966544	3 <sup>-</sup>	186 d (ε)	
	183	182.950817	(3 <sup>-</sup> ) <sup>+</sup>	71 d (ε)		197	196.966543	2 <sup>-</sup>	6.18 d (ε)		
	184	183.952530	3 <sup>-</sup>	38 d (ε)		198	197.968217	2 <sup>-</sup>	100 ε		
	185	184.952951	3 <sup>-</sup>	37.40%		199	198.968740	3 <sup>-</sup>	2.696 d (β <sup>-</sup> )		
	186	185.954984	1 <sup>-</sup>	90.6 h (β <sup>-</sup> )		200	199.970670	1 <sup>-</sup>	3.14 d (β <sup>-</sup> )		
	187	186.955744	1 <sup>-</sup>	62.60%	Hg	80	193	192.966560	2 <sup>-</sup>	48.4 m (β <sup>-</sup> )	
	188	187.958106	1 <sup>-</sup>	16.9 h (β <sup>-</sup> )		194	193.965391	0 <sup>+</sup>	3.8 h (ε)		
	189	188.959219	(1 <sup>-</sup> ) <sup>+</sup>	24.3 h (β <sup>-</sup> )		195	194.966640	0 <sup>+</sup>	520 y (ε)		
Os	76	182	181.952120	0	21.5 h (ε)		196	195.965807	0 <sup>+</sup>	9.5 h (ε)	
	183	182.953290	(1 <sup>-</sup> ) <sup>+</sup>	13.0 h (ε)		197	196.967187	1 <sup>-</sup>	0.15%		
	184	183.952488	0 <sup>+</sup>	0.013%		198	197.966743	0 <sup>+</sup>	64.1 h (ε)		
	185	184.954041	1 <sup>-</sup>	0.013%		199	198.968254	1 <sup>-</sup>	10.0%		
	186	185.953830	0 <sup>+</sup>	93.6 d (ε)		200	199.968300	1 <sup>-</sup>	16.8%		
	187	186.955741	0 <sup>+</sup>	1.6%		201	200.970277	0 <sup>+</sup>	23.1%		
	188	187.955830	1 <sup>-</sup>	1.6%		202	201.970617	0 <sup>+</sup>	13.2%		
	189	188.958137	0 <sup>+</sup>	13.3%		203	202.972848	0 <sup>+</sup>	29.8%		
	190	189.958436	1 <sup>-</sup>	16.1%		204	203.973467	0 <sup>+</sup>	46.6 d (β <sup>-</sup> )		
	191	190.960920	0 <sup>+</sup>	26.4%		205	204.976047	0 <sup>+</sup>	6.9%		
	192	191.961467	0 <sup>+</sup>	15.4 d (β <sup>-</sup> )	Tl	81	200	199.970934	2 <sup>-</sup>	5.2 m (β <sup>-</sup> )	
	193	192.964138	0 <sup>+</sup>	41.0%		201	200.970794	1 <sup>-</sup>	26.1 h (ε)		
	194	193.965173	1 <sup>-</sup>	30.6 h (β <sup>-</sup> )		202	201.972085	1 <sup>-</sup>	73 h (ε)		
	Ir	77	188	187.958830	(2 <sup>-</sup> ) <sup>+</sup>	74.2 d (β <sup>-</sup> )		203	202.972320	0 <sup>+</sup>	12.2 d (ε)
	189	188.958712	1 <sup>-</sup>	41.5 h (ε)		204	203.973839	1 <sup>-</sup>	29.5%		
	190	189.960580	(4 <sup>+</sup> )	13.1 d (ε)		205	204.974401	2 <sup>-</sup>	3.77 y (β <sup>-</sup> )		
	191	190.960584	1 <sup>-</sup>	11.8 d (ε)		206	205.976084	1 <sup>-</sup>	70.5%		
	192	191.962580	2 <sup>-</sup>	37.3%		207	206.975872	0 <sup>-</sup>	4.20 m (β <sup>-</sup> )		
	193	192.962917	2 <sup>-</sup>	74.2 d (β <sup>-</sup> )	Pb	82	201	200.972830	0 <sup>+</sup>	9.3 h (ε)	
	194	193.965069	1 <sup>-</sup>	62.7%		202	201.972134	0 <sup>+</sup>	0.05 My (ε)		
	195	194.965966	(1 <sup>-</sup> ) <sup>+</sup>	19.2 h (β <sup>-</sup> )		203	202.973365	0 <sup>+</sup>	22.3 y (β <sup>-</sup> )		
	Pt	78	187	186.960470	2 <sup>-</sup>	2.9 h (ε)		204	203.973020	0 <sup>+</sup>	51.9 h (ε)
	188	187.959386	0 <sup>+</sup>	10.2 d (ε)		205	204.974458	0 <sup>+</sup>	1.42%		
	189	188.960817	1 <sup>-</sup>	10.9 h (ε)		206	205.974440	0 <sup>+</sup>	24.1%		
	190	189.959917	0 <sup>+</sup>	0.013%		207	206.975872	0 <sup>+</sup>	22.1%		
	191	190.961665	1 <sup>-</sup>	2.9 d (ε)		208	207.976627	0 <sup>+</sup>	52.3%		
	192	191.961019	0 <sup>+</sup>	0.78%		209	208.981063	0 <sup>+</sup>	3.25 h (β <sup>-</sup> )		
	193	192.962977	(1 <sup>-</sup> ) <sup>+</sup>	50 y (ε)		210	209.984163	0 <sup>+</sup>	22.3 y (β <sup>-</sup> )		
	194	193.962655	0 <sup>+</sup>	32.9%		211	210.988735	(1 <sup>-</sup> ) <sup>+</sup>	36.1 m (β <sup>-</sup> )		
	195	194.964766	1 <sup>-</sup>	33.8%		212	211.991871	0 <sup>+</sup>	10.6 h (β <sup>-</sup> )		
	196	195.964926	0 <sup>+</sup>	25.3%	Bi	83	206	205.978478	6 <sup>+</sup>	6.24 d (ε)	
	197	196.967315	1 <sup>-</sup>	18.3 h (β <sup>-</sup> )		207	206.978446	2 <sup>-</sup>	32 y (ε)		

Abundance				Abundance							
Z	A	Atomic mass (u)	I <sup>*</sup>	or Half-life	Z	A	Atomic mass (u)	I <sup>*</sup>	or Half-life		
	208	207.979717	(5 <sup>+</sup> )	0.368 My (ε)		232	232.038051	0 <sup>+</sup>	100 %		
	209	208.980374	2 <sup>-</sup>	100 %		233	233.041577	(1 <sup>+</sup> )	22.3 m (β <sup>-</sup> )		
	210	209.984095	1 <sup>-</sup>	5.01 d (β <sup>-</sup> )	Pa	91	229	229.032073	(1 <sup>+</sup> )	1.4 d (ε)	
	211	210.987255	2 <sup>-</sup>	2.15 m (α)		230	230.034527	(2 <sup>-</sup> )	17.7 d (ε)		
	212	211.991255	1 <sup>-</sup>	60.6 m (β <sup>-</sup> )		231	231.035880	2 <sup>-</sup>	32,800 y (β)		
Po	84	206	205.980456	0 <sup>+</sup>	8.8 d (ε)		232	232.038565	(2 <sup>-</sup> )	1.31 d (β <sup>-</sup> )	
	207	206.981570	2 <sup>-</sup>	5.8 h (ε)		233	233.040243	2 <sup>-</sup>	27.0 d (β <sup>-</sup> )		
	208	207.981222	0 <sup>+</sup>	2.90 y (α)		209	208.982404	2 <sup>-</sup>	102 y (α)		
					U	92	233	233.039628	2 <sup>+</sup>	0.1592 My (α)	
						234	234.040947	0 <sup>+</sup>	0.245 My (α)		
						235	235.043924	2 <sup>-</sup>	0.720 %		
At	85	208	207.986510	6 <sup>+</sup>	1.63 h (ε)		236	236.045563	0 <sup>+</sup>	23.42 My (α)	
	209	208.986149	2 <sup>-</sup>	5.4 h (ε)		237	237.048725	2 <sup>+</sup>	6.75 d (β <sup>-</sup> )		
	210	209.987126	5 <sup>+</sup>	8.3 h (ε)		238	238.050785	0 <sup>+</sup>	99.275 %		
	211	210.987469	2 <sup>-</sup>	7.21 h (ε)		239	239.054290	2 <sup>+</sup>	23.5 m (β <sup>-</sup> )		
	212	211.990725	(1 <sup>-</sup> )	0.31 s (α)	Np	93	236	236.046550	(6 <sup>-</sup> )	0.11 My (ε)	
	213	212.992911	2 <sup>-</sup>	0.11 μs (α)		237	237.048168	2 <sup>+</sup>	2.14 My (α)		
Rn	86	207	206.990690	2 <sup>-</sup>	9.3 m (ε)		238	238.050941	2 <sup>+</sup>	2.117 d (β <sup>-</sup> )	
	210	209.989669	0 <sup>+</sup>	2.4 h (α)		239	239.052933	2 <sup>+</sup>	2.36 d (β <sup>-</sup> )		
	211	210.990576	1 <sup>-</sup>	14.6 h (ε)	Pu	94	237	237.048401	2 <sup>-</sup>	45.3 d (ε)	
	212	211.990697	0 <sup>+</sup>	24 m (α)		238	238.049555	0 <sup>+</sup>	87.74 y (α)		
	218	218.005580	0 <sup>+</sup>	35 ms (α)		239	239.052158	1 <sup>+</sup>	24,100 y (α)		
	222	222.017571	0 <sup>+</sup>	3.82 d (α)		240	240.053808	0 <sup>+</sup>	6570 y (α)		
	224		0 <sup>+</sup>	107 m (β <sup>-</sup> )		241	241.056846	2 <sup>+</sup>	14.4 y (β <sup>-</sup> )		
Fr	87	209	208.995870	2 <sup>-</sup>	50 s (α)		242	242.058737	0 <sup>+</sup>	0.376 My (α)	
	212	211.996130	5 <sup>+</sup>	20 m (ε)		243	243.061998	2 <sup>+</sup>	4.96 h (β <sup>-</sup> )		
	215	215.000310	2 <sup>-</sup>	0.12 μs (α)	Am	95	240	240.055278	(3 <sup>-</sup> )	50.9 h (ε)	
	220	220.012293	1	27.4 s (α)		241	241.056824	2 <sup>-</sup>	433 y (α)		
	223	223.019733	(1 <sup>2</sup> )	21.8 m (β <sup>-</sup> )		242	242.059542	1 <sup>-</sup>	16.0 h (β <sup>-</sup> )		
Ra	88	222	222.015353	0 <sup>+</sup>	38 s (α)		243	243.061375	2 <sup>-</sup>	7370 y (α)	
	223	223.018501	1 <sup>+</sup>	11.4 d (α)		244	244.064279	(6 <sup>-</sup> )	10.1 h (β <sup>-</sup> )		
	224	224.020186	0 <sup>+</sup>	3.66 d (α)	Cm	96	246	246.067218	0 <sup>+</sup>	4700 y (α)	
	225	225.023604	(1 <sup>2</sup> ) <sup>+</sup>	14.8 d (β <sup>-</sup> )		247	247.070347	2 <sup>-</sup>	16 My (α)		
	226	226.025403	0 <sup>+</sup>	1602 y (α)		248	248.072343	0 <sup>+</sup>	0.34 My (α)		
	227	227.029171	(1 <sup>2</sup> ) <sup>+</sup>	42 m (β <sup>-</sup> )		249	249.075948	1 <sup>+</sup>	64 m (β <sup>-</sup> )		
Ac	89	224	224.021685	(0 <sup>-</sup> )	2.9 h (ε)	Bk	97	246	246.068720	2 <sup>-</sup>	1.8 d (ε)
	225	225.023205	(1 <sup>2</sup> ) <sup>-</sup>	10.0 d (α)		247	247.070300	(2 <sup>-</sup> )	1380 y (α)		
	226	226.026084	(1 <sup>-</sup> )	29 h (β <sup>-</sup> )	Cf	98	251	251.079580	1 <sup>+</sup>	898 y (α)	
	227	227.027750	1 <sup>-</sup>	21.77 y (β <sup>-</sup> )		252	252.081621	0 <sup>+</sup>	2.64 y (α)		
	228	228.031015	(3 <sup>+</sup> )	6.1 h (β <sup>-</sup> )	Es	99	252	252.082944	(4 <sup>+, 5^-</sup> )	472 d (α)	
Th	90	228	228.028715	0 <sup>+</sup>	1.91 y (α)		253	253.084818	1 <sup>+</sup>	20.5 d (α)	
	229	229.031755	2 <sup>+</sup>	7300 y (α)							
	230	230.033128	0 <sup>+</sup>	75,400 y (α)							
	231	231.036299	2 <sup>+</sup>	25.52 h (β <sup>-</sup> )							

Z	A	Atomic mass (u)	$I^\pi$	or Half-life	Z	A	Atomic mass (u)	$I^\pi$	or Half-life	
Fm	100	256	256.091767	$0^+$	2.63 h (f)	Lr	103	260	260.105320	180 s ( $\alpha$ )
		257	257.095099	( $\frac{5}{2}^+$ )	100 d ( $\alpha$ )	Rf	104	261	261.108690	65 s ( $\alpha$ )
Md	101	257	257.095580	( $\frac{7}{2}^-$ )	5.2 h ( $\epsilon$ )	Ha	105	261	261.111820	1.8 s ( $\alpha$ )
		258	258.098570	( $\frac{8}{2}^-$ )	55 d ( $\alpha$ )		262	262	262.113760	34 s (f)
No	102	258	258.098150	$0^+$	1.2 ms (f)		106	263	263.118220	0.8 s (f)
		259	259.100931	( $\frac{5}{2}^+$ )	60 m ( $\alpha$ )		107	262	262.122930	115 ms ( $\alpha$ )



ภาคนวัก ค  
ค่าคงตัวเชิงฟิสิกส์  
(PHYSICAL CONSTANTS)

ค่าคงตัวเชิงฟิสิกส์

ค่าถาวร ค.ศ. 2006 จากเว็บไซต์ The National Institute of Standards  
and Technology (NIST), <http://physics.nist.gov/constants>

alpha particle mass, $m_\alpha$	$6.644\ 656\ 20 \times 10^{-27}$ kg
alpha particle mass in u, $m_\alpha$	4.001 506 179 127 u
atomic mass constant, $m_u$	$1.660\ 538\ 782 \times 10^{-27}$ kg
atomic mass constant energy equivalent, $m_u c^2$	$1.492\ 417\ 830 \times 10^{-10}$ J
atomic mass constant energy equivalent in MeV, $m_u c^2$	931.494 028 MeV
atomic unit of charge, $e$	$1.602\ 176\ 487 \times 10^{-19}$ C
Avogadro constant, $N_A$ , $L$	6.022 141 79 $\times 10^{23}$ mol <sup>-1</sup>
Bohr magneton, $\mu_B$	$927.400\ 915 \times 10^{-26}$ J T <sup>-1</sup>
Bohr magneton in eV/T, $\mu_B$	$5.788\ 381\ 7555 \times 10^{-5}$ eV T <sup>-1</sup>
Bohr radius, $a_0$	$0.529\ 177\ 208\ 59 \times 10^{-10}$ m
Boltzmann constant, $k$	$1.380\ 6504 \times 10^{-23}$ JK <sup>-1</sup>
Boltzmann constant in eV/K, $k$	$8.617\ 343 \times 10^{-5}$ eV K <sup>-1</sup>
Compton wavelength, $\lambda_c$	$2.426\ 310\ 2175 \times 10^{-12}$ m
Compton wavelength / $2\pi$ , $\lambda_c$	$386.159\ 264\ 59 \times 10^{-15}$ m
deuteron mass, $m_d$	$3.343\ 583\ 20 \times 10^{-27}$ kg
deuteron mass in u, $m_d$	2.013 553 212 724 u

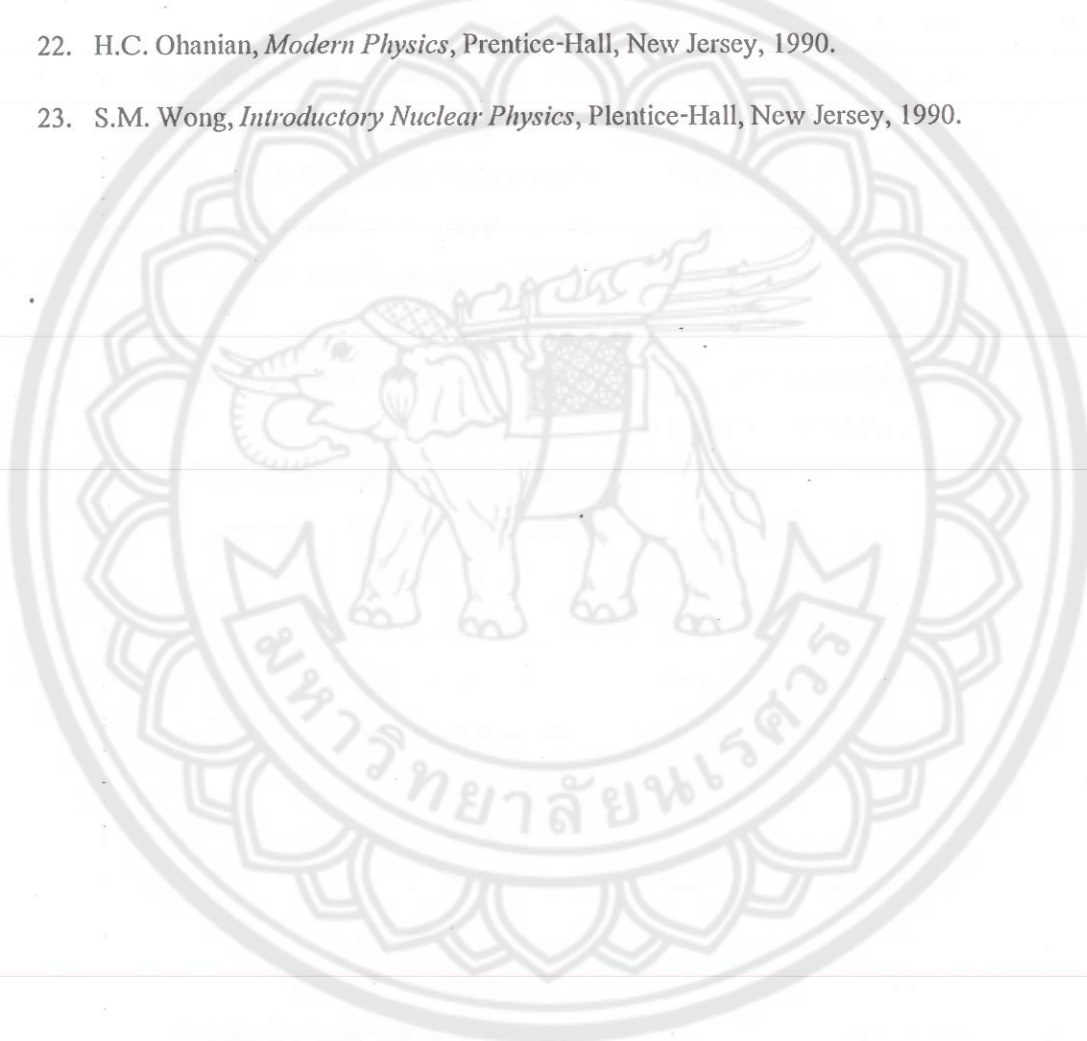
electron magnetic momment, $\mu_d$	$-928.476\ 377 \times 10^{-26}\ \text{JT}^{-1}$
electron mass, $m_e$	$9.109\ 382\ 15 \times 10^{-31}\ \text{kg}$
electron mass energy equivalent, $m_e c^2$	$8.187\ 104\ 38 \times 10^{-14}\ \text{J}$
electron mass energy equivalent in MeV, $m_e c^2$	$0.510\ 998\ 910\ \text{MeV}$
electron mass in u, $m_e$	$5.485\ 799\ 0943 \times 10^{-4}\ \text{u}$
electron volt, eV	$1.602\ 176\ 487 \times 10^{-19}\ \text{J}$
electron volt-atomic mass unit relationship, $(1\ \text{eV})/c^2$	$1.073\ 544\ 188 \times 10^{-9}\ \text{u}$
electron volt-joule relationship, 1 eV	$1.602\ 176\ 487 \times 10^{-19}\ \text{J}$
electron volt-kelvin relationship, $(1\ \text{eV})/k$	$1.160\ 4505 \times 10^4\ \text{K}$
electron volt-kilogram relationship, $(1\ \text{eV})/c^2$	$1.782\ 661\ 758 \times 10^{-36}\ \text{kg}$
elementary charge, $e$	$1.602\ 176\ 487 \times 10^{-19}\ \text{C}$
fine-structure constant, $\alpha$	$7.297\ 352\ 5376 \times 10^{-3}$
inverse fine-structure constant, $\alpha^{-1}$	$137.035\ 999\ 679$
inverse meter-atomic mass unit relationship, $(1\ \text{m}^{-1})h/c$	$1.331\ 025\ 0394 \times 10^{-15}\ \text{u}$
inverse meter-electron volt relationship, $(1\ \text{m}^{-1})/hc$	$1.239\ 841\ 875 \times 10^{-6}\ \text{eV}$
joule-atomic mass unit relationship, $(1\ \text{J})/c^2$	$6.700\ 536\ 41 \times 10^9\ \text{u}$
joule-electron volt relationship, 1 J	$6.241\ 509\ 65 \times 10^{18}\ \text{eV}$
kilogram-atomic mass unit relationship, 1 kg	$6.022\ 141\ 79 \times 10^{26}\ \text{u}$
kilogram-electron volt relationship, $1\ \text{kg}/c^2$	$5.609\ 589\ 12 \times 10^{35}\ \text{eV}$
neutron magnetic moment, $\mu_n$	$-0.966\ 236\ 41 \times 10^{-26}\ \text{JT}^{-1}$
neutron mass, $m_n$	$1.674\ 927\ 211 \times 10^{-27}\ \text{kg}$
neutron mass energy equivalent, $m_n c^2$	$1.505\ 349\ 505 \times 10^{-10}\ \text{J}$
neutron mass in u, $m_n$	$1.008\ 664\ 915\ 97\ \text{u}$
nuclear magneton, $\mu_N$	$5.050\ 783\ 24 \times 10^{-27}\ \text{JT}^{-1}$
nuclear magneton in eV/T, $\mu_N$	$3.152\ 451\ 2326 \times 10^{-8}\ \text{eV T}^{-1}$
Planck constant, $h$	$6.626\ 068\ 96 \times 10^{-34}\ \text{J s}$

Planck constant in eV s , $h$	$4.135\ 667\ 33 \times 10^{-15}$ eV s
Planck constant / $2\pi$ , $\hbar$	$1.054\ 571\ 628 \times 10^{-34}$ J s
Planck constant / $2\pi$ in eV s , $\hbar$	$6.582\ 118\ 99 \times 10^{-16}$ eV s
proton magnetic moment, $\mu_p$	$1.410\ 606\ 662 \times 10^{-26}$ JT $^{-1}$
proton mass, $m_p$	$1.672\ 621\ 637 \times 10^{-27}$ kg
proton mass in u , $m_p$	1.007 276 466 77 u
Rydberg constant, $R_\infty$	$10\ 973\ 731.568\ 527\ m^{-1}$
speed of light in vacuum, $c, c_0$	$299\ 792\ 458\ m\ s^{-1}$
Stefan-Boltzmann constant, $\sigma$	$5.670\ 400 \times 10^{-8}\ W\ m^{-2}\ K^{-4}$
unified atomic mass unit, u	$1.660\ 538\ 782 \times 10^{-27}$ kg

## បររណ្ឌាណក្រម

1. A. P. Arya, *Elementary Modern Physics*, Addison-Wesley, Philippines, 1970.
2. A.P. Arya, *Fundamentals of Nuclear Physics*, Allyn and Bacon, Boston, 1968.
3. J.M. Blatt and V.F. Weisskopf, *Theoretical Nuclear Physics*, John Wiley & Sons, New York, 1952.
4. W.E. Burcham and Jobes, *Nuclear and Particle Physics*, Longman, Singapore, 1995.
5. W. N. Cottingham and D.A. Greenwood, *An Introduction to Nuclear Physics*. 2nd edit, Cambridge University, Cambridge, 2001.
6. A. Das and T. Ferbel, *Introduction to Nuclear and Particle Physics*, John Wiley & Sons, New York, 1994.
7. R.D. Dunlap, *The Physics of Nuclei and Particles*, Thomson, Canada, 2004.
8. V. Devanathan, *Nuclear Physics*, Narosha Publishing House, New Delhi, 2006
9. H.A. Enge, *Introduction to Nuclear Physics*, Addison-Wesley, Reading, Massachusetts, 1967.
10. R.D. Evans, *The Atomic Nucleus*, McGraw-Hill, New York, 1955.
11. E. Gadioli and P.E. Hodgson, *Pre-Equilibrium Nuclear Reactions*, Oxford University Press, New York, 1992.
12. K. Gottfried, *Quantum Mechanics*, W.A. Benjamin, New York, 1966.
13. E.S. Green, *Nuclear Physics*, McGraw-Hill, New York, 1955.
14. E. M. Henley and A. Garcia, *Subatomic Physics*, 3rd edit, World Scientific, New Jersey 2007.
15. K. Heyde, *Basic Ideas and Concepts in Nuclear Physics: An Introductory Approach*, 2nd edit, Institute of Physics, Brista, 1999.
16. N.A. Jelley, *Fundamentals of Nuclear Physics*, Cambridge University, Cambridge, 1990.

17. I. Kaplan, *Nuclear Physics*, Addison-Wesley, London, 1958.
18. K.S. Krane, *Introductory Nuclear Physics*, John Wiley & Sons, Singapore, 1988.
19. B.R. Martin, *Nuclear and Particle Physics*, Wiley, West Sussex, 2006.
20. E. Merzbacher, *Quantum Mechanics*, John Wiley & Sons, New York, 1970.
21. W.E. Meyerhof, *Elements of Nuclear Physics*, McGraw-Hill, New York, 1989.
22. H.C. Ohanian, *Modern Physics*, Prentice-Hall, New Jersey, 1990.
23. S.M. Wong, *Introductory Nuclear Physics*, Plentice-Hall, New Jersey, 1990.



## ดัชนี

- absorbed flux ฟลักซ์อุคกเลิน 148  
activation energy พลังงานการก่อภัยมันต์ 17, 18,  
19  
amplitude of scattering wave แอนพลิจูดของ  
คลื่นกระเจิง 138  
analyzing power กำลังวิเคราะห์ 125  
angular distribution การแจกแจงเชิงมุม 110  
of elastically scattered particles ของอนุภาคที่  
กระเจิงแบบยึดหยุ่น 161  
angular momentum quantum number เลขคุณต้ม  
โนเมนตัมเชิงมุม 36  
antisymmetrization การปฏิสัมมาตร 130  
asymmetric fission การแบ่งแยกตัวแบบสมมาตร  
19  
barrier penetration factor ตัวประกอบการทะลุผ่าน  
ศักย์ขวางกั้น 92  
barrier transmission factor ตัวประกอบการส่งผ่าน  
ศักย์ขวางกั้น 92  
Bessel function ฟังก์ชันเบสเซล 157  
binding energy พลังงานยึดเหนี่ยว 6  
of the last neutron or proton ของนิวตรอนหรือ  
โปรตอนตัวสุดท้าย 31  
black nucleus นิวเคลียสคำ 149  
black sphere ทรงกลมคำ 150  
Bohr assumption ข้อสมมุติของโบร์ 73, 75, 76  
Born approximation การประมาณบอร์น 107  
boundary condition เงื่อนไขขอบ 151  
at nuclear of nucleus เงื่อนไขขอบที่พื้นผิวของ  
นิวเคลียส 151  
branching probability โอกาสแตกสาขา 77  
branching ratio สัดส่วนการแตกสาขา 76  
Briet-Wigner formulae สูตรไบรท์-วิกเนอร์ 85  
central potential ศักย์สูนย์กลาง 137  
channel radius รัศมีแขนเนล 151  
cloudy crystal ball model แบบจำลองลูกบود  
ฟลักซ์ 118, 119  
collective model แบบจำลองกลุ่ม 54  
collective motion การเคลื่อนที่กลุ่ม 54  
complete asymptotic solution ผลเฉลยเชิงเส้นกำกับ  
บริบูรณ์ 141  
complete set of solution เช็คบริบูรณ์ของผลเฉลย  
120  
complex amplitude แอนพลิจูดเชิงซ้อน 83  
compound nucleus model แบบจำลอง  
นิวเคลียสประกอบ 73  
compound nucleus formation การก่อรูปเป็น  
นิวเคลียสประกอบ 73  
conditions at the nuclear surface เงื่อนไขที่พื้นผิว  
นิวเคลียส 155  
configuration of nucleon โครงแบบการเรียงตัวของ  
นิวเคลียน 5  
continuities of logarithm derivative ความต่อเนื่อง  
ของอนุพันธ์ลอการิทึม 153  
continuum region บริเวณภาวะต่อเนื่อง 78  
continuum theory ทฤษฎีภาวะต่อเนื่อง 86  
core แก่น 54  
Coulomb คูลอมบ์  
Coulomb effect ผลคูลอมบ์ 40, 156  
Coulomb energy พลังงานคูลอมบ์ 8  
Coulomb phase shift การเดี่อนไฟส์คูลอมบ์

156, 160	elastic scattering การกระเจิงแบบยึดหยุ่น 145
Coulomb potential energy พลังงานศักย์คูลومบ์ 156	electric quadrupole moment of nucleus ควอครูโพล โนเมนต์ทางไฟฟ้าของนิวเคลียส 60
Coulomb term พจน์คูลอมบ์ 8, 128	electric quadrupole moments ควอครูโพล โนเมนต์ทางไฟฟ้า 34, 48
coupling rule กฏการถือครอง 43	electric quadrupole transition การข้ามควอครูโพลทางไฟฟ้า 25
cross sections ภาคตัดขวาง 76	emission rates อัตราการปล่อย 76
decay product ผลผลิตการ��เส 31	energy distribution การแจกแจงพลังงาน 98
of radioactive series ของอนุกรมกัมมันตรังสี 31	energy eigenvalue ค่าเฉพาะพลังงาน 36
definite state สถานะกำหนดแน่ 35	energy level of neutron ระดับพลังงานของนิวตรอน 42
deformation parameter พารามิเตอร์การบิดเบี้ยว 12, 55	energy level of proton ระดับพลังงานของโปรตอน 42
cross sections ภาคตัดขวาง	entrance channel ช่องเนตเข้า 162
determination of cross sections การหาภาคตัดขวาง 155	evidence for the shell structure หลักฐานสำหรับโครงสร้างชั้น 30
differential scattering cross section ภาคตัดขวางการกระเจิงเชิงอนุพันธ์ 139	exchange term พจน์แลกเปลี่ยน 131
direct nuclear interaction อันตรกิริยานิวเคลียร์ตรง 100	exit channel ช่องเนตออก 162
direct nuclear reaction ปฏิกิริยานิวเคลียร์ตรง 100	far from resonance ไกลจาก共振 81
direct reaction ปฏิกิริยาระดับ 100	Fermi energy พลังงานเฟร์นี 67
direct term พจน์ตรง 131	Fermi Gas Model แบบจำลองแก๊สเฟร์นี 64
dispersion formula สูตรการกระเจิง 81	Fermi level ระดับเฟร์นี 21
distorted wave Born approximation การประมาณบอร์นคืนบิดเบี้ยว 114	Fermi particle อนุภาคเฟร์นี 65
doubly magic number เลขคู่คู่ 31	Fermi surface พื้นผิวเฟร์นี 21
DWBA ดี-ดับเบิลบี บี เอ 114, 134	first Born approximate การประมาณบอร์นอันดับแรก 109
dynamics property of nuclei สมบัติเชิงพลศาสตร์ของนิวเคลียส 30	fission barrier กำแพงการแยกตัว 18, 20
eccentricity ความเยื่องศูนย์กลาง 12	fission cross section ภาคตัดขวางการแยกตัว 16
effect of pairing ผลของการเข้าคู่ 69	fission fragment of $^{252}\text{Cf}$ ส่วนแบ่งแยกตัวของ $^{252}\text{Cf}$ 30
effective nucleon-nucleon interaction อันตรกิริยานิวเคลียร์-นิวเคลียร์ 130	fission isomer ไอโซเมอร์การแยกตัว 20
eigenvalue problem ปัญหาค่าเฉพาะ 120	

- fission theory ทฤษฎีของการแบ่งแยกนิวเคลียส 12  
 folding model แบบจำลองการหบ 129  
 folding procedure กรรมวิธีการหบ 132  
 formal derivative อนุพันธ์เชิงรูปแบบ 119  
     of the optical model potential ของศักย์  
     แบบจำลองทัศน์ 120  
 half-width ครึ่งส่วนกว้าง 80  
 hard sphere potential scattering amplitude  
     แอนพลิจูดการกระเจิงศักย์ทรงกลมแข็ง 155,  
     160  
 harmonic-oscillator ศักย์ฮาร์มอนิก-อสซิลเลเตอร์  
     36, 37  
 higher energy และระดับพลังงานบน 38  
 higher oscillator state สถานะอสซิลเลเตอร์บน 51  
  
 IA ไอ เอ 130  
 imaginary potential ศักย์จินตภาพ 118  
 impact parameter เป็นพารามิเตอร์กระหบ 144  
 impulse approximation การประมาณอิมพัลส์ 130  
 incident flux ฟลักซ์ตกระหบ 148  
 inelastic scattering การกระเจิงแบบไม่ยึดหยุ่น 104  
 intermediate region บริเวณมัธยันตร์ 82  
 internal scattering-amplitude  
     แอนพลิจูดการกระเจิงภายใน 155  
 intrinsic magnetic dipole moment  
     ไดโอลิโມเอนต์แม่เหล็กประจำตัว 126  
 island of isomerism เกาะไอโซเมอริซึม 49  
 isomer ไอโซเมอร์ 19  
 isomeric pair คู่ไอโซเมอร์ 49  
 isomeric state สถานะไอโซเมอริก 30  
 isospin ไอโซสpin 111  
  
 knock-out reactions ปฏิกิริยากระแทกออก 104  
  
 Legendre polynomial พหุนามเดอจองด์ 140  
  
 level density ความหนาแน่นระดับ 21  
 level width ส่วนกว้างระดับ 77  
 liquid drop model แบบจำลองหยดน้ำเหลว 5  
 local momentum approximation การประมาณ  
     โนเมนตัมเฉพาะที่ 131  
 local potential ศักย์เฉพาะที่ 124  
 logarithm derivative อนุพันธ์ลอการิทึม 91  
     of wave function ของฟังก์ชันคลื่น 157  
 lower energy level ระดับพลังงานล่าง 38  
 lower oscillator state สถานะอสซิลเลเตอร์ล่าง 51  
 lower Schmidt limit จุดจำกัดชุมนุมที่ล่าง 46  
  
 magic number เลขกล 30  
     of neutron ของนิวตรอน 35  
     of proton ของโปรตอน 35  
 magnetic and electric moment โนเมนต์แม่เหล็ก  
     และไฟฟ้า 59  
 magnetic moment โนเมนต์แม่เหล็ก 46  
 mass defect ส่วนพร่องมวล 6  
 mass semiempirical formula  
     สูตรกี่จักรทดลองของมวล 10  
 mean field สนามเฉลี่ย 119  
 mean free path วิถีอิสระเฉลี่ย 64, 74  
 mean lifetime ช่วงชีวิตเฉลี่ย 77  
 method of projection operator ระเบียบวิธีของ  
     ตัวดำเนินการ โพรเจกชัน 120  
 microscopic optical model potential  
     ศักย์แบบจำลองทัศน์จุลภาค 129  
 microscopic scattering cross section  
     ภาคตัดขวางจุลภาคของการกระเจิง 139  
 moment of inertia โนเมนต์ความเรื่อย 57  
 momentum transfer vector เวกเตอร์การถ่ายโอน  
     โนเมนตัม 110  
  
 near resonance ใกล้เรโซแนนซ์ 81

- neutron capture cross section ภาคตัดขวางการจับ  
 นิวตรอน 31  
 neutron Fermi gas แก๊สเฟอร์มินิวตรอน 65  
 neutron-induced fission การแบ่งแยกนิวเคลียสโดย  
 การกระแทกนิวตรอน 12, 16  
 Nilsson model แบบจำลองนิลสัน 21, 22, 23  
 nuclear reaction ปฏิกิริยานิวเคลียร์ 76  
 nuclear fission การแบ่งแยกนิวเคลียส 12  
 nuclear isomerism 'ไอโซเมอร์' ของนิวเคลียส 49  
 nuclear potential ศักย์นิวเคลียร์ 91  
 nuclear reactions ปฏิกิริยานิวเคลียร์  
     with a nucleus of well-defined surface  
         กับนิวเคลียสที่มีพื้นผิวแน่นชัด 151  
 nuclear shell mode แบบจำลองชั้นของนิวเคลียส  
     35  
 nuclear spins แพริตี 40  
 nuclear temperature อุณหภูมนิวเคลียร์ 97  
 number of stable isotope จำนวนของ  
     'ไอโซโทป' 31  
 oblate รูปแบนขี้ว 60  
 optical model แบบจำลองทัศน์ 118, 119  
 optical model potential ศักย์แบบจำลองทัศน์ 123  
 optical potential parameter พารามิเตอร์ศักย์ทัศน์  
     127  
 orbital angular momentum  
     โมเมนตัมเชิงมุมวงโคจร 140  
 orthonormal condition เงื่อนไขเชิงตัวถูกปกติ 112  
 pairing effect ผลการเข้ากู่ 40  
 pairing energy พลังงานการเข้ากู่ 9  
 pairing term พจน์ของการเข้ากู่ 9  
 Paris potential ศักย์แพริตี 132, 133  
 parity แพริตี 40  
     even parity แพริตีคู่ 45  
     negative parity แพริตีคู่ 45  
     odd parity แพริตีคี่ 45  
 parity operator ตัวดำเนินการแพริตี 58  
     positive parity แพริตีบวก 45  
 partial wave analysis วิธีวิเคราะห์คลื่นย่อ 137  
 partial width ส่วนกว้างย่อ 77  
 penetration factor ตัวประกอบการทะลุผ่าน 159  
 perfectly absorption sphere ทรงกลมที่มีการ  
     ดูดซึมอย่างบริบูรณ์ 149  
 perfectly reflecting sphere ทรงกลมสะท้อน  
     บริบูรณ์ 93  
 peripheral process กระบวนการผิวนอก 100  
 permanent deform การบิดเบี้ยวถาวร 55  
 phase constant ค่าคงตัวเฟส 159  
 phenomenological optical model potential  
     ศักย์แบบจำลองทัศน์เชิงประกายการณ์วิทยา  
     124  
 pick-up reaction ปฏิกิริยาหนอนหัว 104, 106  
     pick-up reaction ( $d, p$ )  
         ปฏิกิริยาหนอนหัวชนิด ( $d, p$ ) 104, 106  
     pick-up reaction ( $d, n$ )  
         ปฏิกิริยาหนอนหัวชนิด ( $d, n$ ) 104, 106  
 plane wave คลื่นระนาบ 152  
 plane wave Born approximate  
     การประมาณอัณฑะคลื่นระนาบ 112  
 polarization ไฟลาเรชัน 125  
 potential interaction ศักย์อันตรกิริยา 118  
 probability current density ความหนาแน่น  
     กระแสโอกาส 148  
 process of direct reaction กระบวนการของ  
     ปฏิกิริยาตรง 100  
 projectile particle อนุภาคไหรเจกไทร์ 120, 152  
 prolate รูปแบนข้าง 60  
 proton Fermi gas แก๊สเฟอร์มิโปรตอน 64  
 proton hole หลุมโปรตอน 61

- pure Rutherford scattering การกระเจิงแบบรัทเทอร์ฟอร์ดอย่างบริสุทธิ์ 161
- pure scattering การกระเจิงบริสุทธิ์ 147
- PWBA ที่ คืนเบลยู บี เอ 112
- quantum mechanics tunnel อุโมงค์ทางกลศาสตร์ควอนตัม 18
- quasi-stationary state สถานะคล้ายคงที่ 86
- radiative capture process กระบวนการจับและแผ่รังสี 83
- reaction cross section ภาคตัดขวางปฏิกิริยา 145, 154
- real potential ศักย์จริง 118
- reciprocity theorem ทฤษฎีบทส่วนกัน 162
- for nuclear reaction สำหรับปฏิกิริยานิวเคลียร์ 162, 163
- resonance เรโซโนนซ์
- resonance energy พลังงานเรโซโนนซ์ 80
  - resonance region บริเวณเรโซโนนซ์ 78, 79
  - resonance scattering amplitude แอมเพลจูด การกระเจิงเรโซโนนซ์ 154, 160
- rotation wave function ฟังก์ชันคลื่นการหมุน 58
- rotational angular momentum โมเมนตัมเชิงหมุนของการหมุน 57, 58
- rotational band แบบการหมุน 24
- rotational kinetic energy พลังงานจลน์การหมุน 57
- rotational level ระดับการหมุน 56, 57
- rotational motion การเคลื่อนที่เชิงหมุน 55
- Rutherford scattering การกระเจิงรัทเทอร์ฟอร์ด 157
- scattering amplitude แอมเพลจูดการกระเจิง 109
- scattering cross section ภาคตัดขวางการกระเจิง 154
- of direct reaction ของปฏิกิริยาตรง 107
- Schmidt's limit ปีกจำกัดของชมิดท์ 46
- Schrödinger equation of nucleon คลื่น Schroedinger ของนิวเคลียส 65
- semiclassical physics ฟิสิกส์กึ่งแบบฉบับ 143
- semiempirical formula สูตรเชิงกึ่งการทดลอง 5, 6, 8
- shape isomerism ไอโซเมอริซึมรูปร่าง 25
- shape-elastic scattering การกระเจิงแบบรีดหัก 155
- shell collections การเก็บค่าโครงสร้างชั้น 21
- shell model แบบจำลองชั้น 30
- single nucleon นิวเคลียสเดียว 35
- single particle model แบบจำลองอนุภาคเชิงเดียว 35
- Specht experiment การทดลองของสเปชต์ 25
- spherical Bessel function ฟังก์ชันแบบแซลท์รอนกลม 140
- spherical wave คลื่นทรงกลม 138
- spin-orbit coupling model แบบจำลองการคู่ควอนตัสปิน-ออร์บิท 38
- spin-orbit interaction อันตรกิริยาสปิน-ออร์บิท 38
- spin-orbit interaction energy พลังงานอันตรกิริยาสปิน-ออร์บิท 126
- spin-orbit term พจน์สปิน-ออร์บิท 125, 128, 132
- square well potential ศักย์หมุนสี่เหลี่ยม 36, 37
- stripping reaction ปฏิกิริยาปลดเปลือก 104, 106
- surface energy พลังงานผิว 9
- surface tension force แรงความตึงผิว 12
- surface term พจน์ผิว 8
- symmetry energy พลังงานสมมาตร 9
- symmetry term พจน์สมมาตร 9, 70
- theory of resonance scattering ทฤษฎีของการกระเจิงเรโซโนนซ์ 79

- thermodynamic system ระบบอุณหพลวัต 91  
 thermodynamics model แบบจำลองอุณหพลวัต 95  
 Thomas spin-orbit potential ศักย์สpins-ออร์บิท โภมัส 125  
 total cross section ภาคตัดขวางรวม 143  
     of elastic scattering ของการกระเจิงแบบ ยึดหยุ่น 143  
 total decay rate อัตราการสลายตัวรวม 77  
 total energy of all proton and neutron พลังงานของ รวมของทุกโปรตอนและนิวตรอน 68  
 total width ส่วนกว้างรวม 77  
 transition energy in ground state พลังงานการข้าม ในແດນສຕານະພື້ນ 26  
 transition probability โอกาสการข้าม 51  
 transverse polarization of nucleon โพลาไรเซชัน ตามขวางของนิวเคลียส 125  
 two parameter Fermi form รูปแบบเฟร์นิสตอง พารามิเตอร์ 124  
 unit lattice-point จุดแล替ที่ซ่อน่วย 66  
 upper Schmidt limit จีดจำกัดหมิกทั่วน 46  
 vibrational motion การเคลื่อนที่เชิงสั่น 55  
 volume energy พลังงานปริมาตร 8  
 volume term พจน์ปริมาตร 8, 124, 128  
 wave mechanics กลศาสตร์คลื่น  
     of scattering ของการกระเจิง 137  
     treatment of scattering การปฏิบัติกับการกระเจิง 137  
 weak nuclear interaction อันตรกิริยานิวเคลียร์ อย่างอ่อน ๆ 159  
 Weizsacker formula สูตรไวซ์แซคเกอร์ 8  
 Weizsacker semi-empirical mass formula สูตรมวลกึ่งการทดลองไวซ์แซคเกอร์ 12  
 well-defined surface พื้นผิวแจ่มชัด 151  
 Woods-Saxon form รูปแบบวูดส์-แซกโซน 124  
 Wronskian combination ผลบวกการอนศัก 157